

Memoria interpretativa de las actuaciones arqueológicas en las Termas Orientales de La Alcudia (Elche, Alicante).

Campaña 2018

PROYECTO ASTERO-UNIVERSIDAD DE ALICANTE

S. ref. expte. 2017/1066-A (SSTT: A-2004-055)

Jaime Molina Vidal

Francisco Javier Muñoz Ojeda

Juan Francisco Álvarez Tortosa



1. Antecedentes

Las estructuras que dan forma al conjunto denominado como Termas Orientales de La Alcudia se encuentran ubicadas en el Sector 7-F del yacimiento arqueológico de La Alcudia, tradicionalmente denominado como “Sector del Alcantarillado”:

- Coordenadas ETRS89 - UTM Huso 30 (25830), X: 701823.28541525, Y: 4234872.0594627
- Referencia catastral de la parcela: 03065A09900078).

Su descubrimiento casual, fruto de unas obras de mantenimiento, provocó que las campañas 63, 64 y 65 en La Alcudia se centrasen en su excavación y estudio, dejando a la vista durante esas excavaciones gran parte de las estructuras que hoy día pueden visitarse. Producto de estas intervenciones son las dos únicas **publicaciones** que de manera concreta describen y analizan este conjunto termal: por un lado, la publicación en el marco del Coloquio Internacional de Gijón del año 2000 Termas romanas en el Occidente del Imperio (Ramos Molina- Tendero Porras, 2000) y la publicación de R. Ramos Fernández y A. Ramos Molina (2007).

En ambas publicaciones se realiza una descripción estructural del conjunto termal, además de algunas indicaciones sobre materiales aparecidos y su adscripción cronológica, aunque dejando en todo momento claro que es una zona en estudio. Del mismo se realiza una primera aproximación cronológica ajustando sus fases constructivas a las que tradicionalmente se han documentado en el yacimiento arqueológico de La Alcudia (Ramos Folqués, 1966).

Durante las dos primeras campañas (1998 y 1999) la excavación se centró en descubrir gran parte de la planta que en la actualidad puede visitarse en el yacimiento. La estructura general descrita en las publicaciones se compone de un denominado vestíbulo o estancia D, en la parte oriental, cuyo pavimento se encuentra decorado con

un mosaico polícromo que ocupa todo el espacio, desde el cual se abren dos vanos al norte y un acceso mediante escaleras al oeste.

En todo momento llama la atención a los excavadores la presencia de un sistema complejo de alcantarillado, algo por otro lado lógico teniendo en cuenta la naturaleza del edificio. En cuanto a las cronologías que se barajan para la construcción de las termas, en un primer momento éstas podrían arrancar en la primera mitad del s. I d. C. con una amortización aún por definir (Ramos Molina-Tendero Porras, 2000). Mientras que la excavación de un perfil conservado en la conocida como dependencia C durante la campaña del 2000 (Ramos Fernández- Ramos Molina, 2007) reveló una cronología de abandono visigoda, mientras que su fundación no parecía moverse del s. I d.C. Además, durante la excavación del perfil comentado se documentaron varios niveles de pavimentación que ilustran, al menos dos fases intermedias entre la visigoda comentada y la de fundación. Estas dos nuevas fases parecen asimilarse, según sus excavadores, en los siglos II y III d.C., respectivamente.

De forma adicional en las publicaciones se señala a existencia de, al menos, dos fases constructivas en función de la presencia de varios modos constructivos y la propia relación estratigráfica entre estructuras, aunque en ningún momento se aclara una asignación cronológica para estas fases estructurales. En ambos artículos se realiza una descripción detallada de la articulación de espacios, apuntando en algunos casos la aparición de materiales que, por su particularidad, llama la atención de los excavadores. En el caso de la estancia conocida como Vestíbulo se apunta la aparición de un nutrido conjunto de agujas de hueso (Tendero- Lara, 2003), plaquetas de mármol, un *urceus* tardorromano, ánforas y lo que podría ser un posible *labrum*, sin especificar en ningún momento asignación estratigráfica o fase constructiva con la que se asocia. Cabe destacar la presencia de tres monedas, identificada como ases altoimperiales, en el relleno de la canalización presente bajo el umbral del ambiente. Por otro lado, a la hora de describir el espacio que ocupa la gran *natatio* (estancia F) se indica que se encontraba amortizada y rellena por gran cantidad de material constructivo, llamando la atención sobre el nutrido conjunto de enlucidos pintados que imitaban tipos marmóreos, algo que por otro lado es típico de los primeros estilos pictóricos que se desarrollan durante

época alto imperial. Finalmente apuntan la presencia de dos monedas fechadas en el s. III d.C. y s. II d.C. respectivamente.

Tal y como ya hemos comentado, la campaña del 2000 se centró en finalizar la excavación de la conocida como estancia C, donde se había dejado, a modo de testigo, un gran perfil en la parte norte del ambiente. A partir de esta excavación se propusieron hasta **cuatro fases** vinculadas a los cuatro niveles de pavimentación detectados:

- Fase 1: cuya cota coincide con el nivel de paso documentado en la estancia F de la *natatio*, se vincula a la denominada fase visigoda
- Fase 2: el segundo nivel se vincula al s. III d.C.
- Fase 3: el tercer nivel se relaciona con la construcción de la estancia C y por tanto con el funcionamiento del conjunto termal en el s. II d.C.
- Fase 4: finalmente, bajo el último pavimento se documentaron una serie de estructuras que los excavadores relacionan con una primera distribución del espacio termal en la primera mitad del s. I d.C.

Al margen de las publicaciones comentadas no tenemos constancia de más estudios en profundidad sobre este espacio termal, a pesar haberse excavado en posteriores campañas algunas zonas realmente amplias relacionadas con el edificio en cuestión y de haberse realizado sucesivas intervenciones de consolidación y restauración.

Tal como podemos ver en la **planimetría** adjunta en el artículo de R. Ramos Fernández y A. Ramos Molina (2007), hasta la campaña de 2000 el vestíbulo en su extremo oeste conducía a unas escaleras que ascendían hasta un pequeño espacio que daba paso a la gran estancia F de la *natatio*. En posteriores campañas se procedió a la excavación del espacio existente al oeste, tras las escaleras, dejándose a la vista un ambiente que discurre de forma paralela a la estancia F, separada de esta por un muro al norte. En alguna fase, que desconocemos, este gran pasillo se encontraba compartimentado por tabiques con orientación norte-sur, que durante la consolidación y puesta en valor fueron eliminados.

También se amplió el sector excavado en su extremo oeste y norte, entorno a la estancia F de la *natatio*, dejando al descubierto una serie de ambientes de pequeño tamaño que presentaban pilas de ladrillos besales, lo cual apunta a la presencia de varios hipocaustos. La articulación de estos ambientes en torno a la estancia F nos hace pensar en la presencia de un gran *caldarium* o zona caliente aún por definir y comprender. Esta zona, al menos en su parte occidental también se encuentra recorrida por el sistema de alcantarillado que viene desde el extremo oriental del conjunto termal.

De este modo, y a falta de una revisión en profundidad de la documentación producida durante las distintas campañas llevadas a cabo en el conjunto termal, quedaría por definir lo que ahora mismo es la parte perimetral del sector. Los perfiles perimetrales en estos momentos no coinciden con muros limítrofes del conjunto.

Finalmente habría que señalar la reciente actuación en este sector del equipo de **Patrimonio Virtual**, dirigido por J. Molina Vidal (IP de esta propuesta de proyecto) que ha dado como resultado un conjunto de actuaciones de carácter básicamente docente y divulgativo:

- Campo de experimentación de diversos workshops sobre patrimonio virtual
- Laboratorio abierto de prácticas de toma de datos con GPS diferencial y captura fotogramétrica con drones
- Contribución en la reciente a la obra de divulgación coordinada por el prof. L. Abad Casal, 2016: *L'Alcúdia d'Elx. Un passeig per la història i l'entorn*, Alicante.

BIBLIOGRAFÍA

- Abad Casal, L.- Moratalla Jávega, J. - Tendero Porras, M., 2000: "Contextos de antigüedad tardía en las termas occidentales de La Alcudia", *Anales de Prehistoria y Arqueología de la Universidad de Murcia* 16, 133-147.
- Abad Casal, L.- Tendero Porras, M., 2008: *Ilici (La Alcudia de Elche, Alicante). Guía del Parque Arqueológico*, Alicante.
- Abad Casal, L.- Sala Sellés, F.- Grau Mira, I., 2002: *La Contestania Ibérica, treinta años después*, Alicante.
- Abad, L., 2003: "Vivir en Ilici", *Canelobre* 48, 59-81.
- 2016: *L'Alcúdia d'Elx. Un passeig per la història i l'entorn*, Alicante.
- Abad, L.- Abascal, J. M., 1991: *Textos para la historia de Alicante. Historia Antigua*, Alicante.
- Alföldy, G., 2003: "Administración, urbanización, instituciones, vida pública y orden social", *Canelobre (Las ciudades y los campos de Alicante en época romana)*, 48, Inst. Cult. Juan Gil-Albert, Alicante, 35-57.
- Almagro Gorbea, M. 1999: *El Rey Lobo de La Alcudia de Elche*, Alicante.

- Badie, A.- Gailledrat, E.- Moret, P.- Rouillard, P.- Sánchez, M. J.- Sillières, P., 2000: *Le site antique de La Picola à Santa Pola (Alicante, Espagne)*, París-Madrid.
- Castellano Hernández, Á., 1996: "Joyas de La Alcudia de Elche en la colección de orfebrería romana del Museo Arqueológico Nacional", *Boletín del Museo Arqueológico Nacional*, T. XIV, Madrid, 55-62.
- Corell, J., 1999: *Inscripcions romanes d'Ilici, Lucentum, Allon, Dianium i els seus respectius territoris*, Valencia.
- Chao Fernández, J. J.- Mesa Sanz, J. F. - Serrano Espinosa, M., 1999: "Un nuevo bronce hallado en la Alcudia", en J. González (ed.): *Ciudades privilegiadas del Occidente romano*, Sevilla, 417-424.
- Gozálvez Pérez, V., 1974: "La Centuriatio de Ilici", *Estudios sobre Centuriaciones Romanas en España*, Univ. Autónoma Madrid, 101-113.
- Gurt J. M.- de Lanuza, A. - Palet, J. M., 1996: "Revisión del catastro romano de Ilici (Elche)", *Pyrenae* 27, 215-226.
- Gutiérrez Lloret, S., 1996: *La Cora de Tudmîr: de la antigüedad tardía al mundo islámico. Poblamiento y cultura material*, Madrid.
- Gutiérrez Lloret, S., 1999: "Cuando el Portus dejó de ser puerto: el territorio ilicitano en la Alta Edad Media (ss. VI-X)", *I Congreso de Historia Local* (Santa Pola, octubre 1997), 79-94.
- Hernández Pérez, M.-Abad Casal, L., 2004: *Iberia, Hispania, Spania. Una mirada desde Ilici*, Alicante.
- Ibarra y Manzoni, A., 1981: *Ilici, su situación y antigüedades*, Instituto de Estudios Alicantinos, Diputación Provincial de Alicante, Serie II, 14, 320 págs. (Reproducción facsímil de la edición de Establecimiento Tipográfico de Antonio Reus, Alicante, 1879).
- Lara Vives, G., 2005: *El culto a Juno en Ilici y sus evidencias*, Villena.
- Lorenzo de San Román, R., 2004-2005: "La basilica-sinagoga de l'Alcúdia d'Elx (1905-2005). Problemes i estat de la qüestió 100 anys després", *Lucentum* 23-24, 127-156.
- Lorenzo de San Román, R., 2006: *L'Alcúdia d'Elx a l'Antiguitat tardana. Anàlisi historiogràfica i arqueològica de l'Ilici dels segles V-VIII*, Alicante.
- Llorens, M. M., 1987: *La ceca de Ilici*, Valencia.
- Márquez Villora, J. C., 1999: *El comercio romano en el Portus Ilicitanus. El abastecimiento exterior de productos alimentarios (siglos I a. C.- V d. C.)*, Alicante.
- Márquez Villora, J. C.- Molina Vidal, J., 2001: *El comercio en el territorio de Ilici. Epigrafía, importación de alimentos y relación con los mercados mediterráneos*, Alicante.
- Márquez Villora, J. C.- Poveda Navarro, A., 2000: "Espacio religioso y cultura material en Ilici (SS. IV-VII d. C.)", *V Reunió d'Arqueologia Cristiana Hispànica (Cartagena, 1998)*, Barcelona, 185-198.
- Mayer, M. - Olesti, O., 2001: "La sortitio de Ilici. Del documento epigráfico al paisaje histórico", *DHA* 27, 109-130.
- Márquez Villora, J.C.; Molina Vidal, J.; Sánchez Fernández, M. J., 1999: "La factoría de salazones del Portus Ilicitanus (Santa Pola, Alicante). Nuevos descubrimientos y estado de la cuestión", *Actas del XXV Congreso Nacional de Arqueología* (Valencia, febrero de 1999), 360-364.
- Molina Vidal J.; Poveda Navarro, A. M., 1997: "Nivel de abandono de un sector del foro de Ilici", *Actas del XXIII Congreso Nacional de Arqueología*, Vol. 1., 141-154.
- Molina Vidal, J., 2005: "La cetaria de Picola y la evolución del Portus Ilicitanus (Santa Pola, España)", *III Congreso Internacional de Estudios Históricos. El Mediterráneo: la cultura del mar y la sal* (Santa Pola, 24 al 27 de octubre de 2004) (Molina Vidal, J.- Sánchez Fernández, Mª J. Eds.), Santa Pola, 110-145.
- Molina Vidal, J., 2012: "La Cetaria bajo imperial de Picola (Santa Pola, Alicante)", *Santa Pola, arqueología y museo: Museos municipales en el MARQ*, 138-141.
- Molina Vidal, J., 2015: "Poblamiento rural en el territorium de Ilici: la granja romana del Cabezo-Clot de Galvany (Elx, Alacant)". *Saguntum* 47, 105 - 120.
- Moratalla Jávega, J., 1996: "Explotación agropecuaria en época ibérica en torno a La Alcudia (Elche): el instrumental", *XXIII Congreso Nacional de Arqueología* (Elche, 1995), vol. I, Elche, 369-376.
- Moratalla Jávega, J., 2001: "Restos de catastros romanos en el Medio Vinalopó y unos apuntes sobre Aspis", *Alquibla, Revista de Investigación del Bajo Segura* 7, Escuela Politécnica Superior de Orihuela-Instituto Universitario de Geografía, Orihuela, 551-579.
- Olmos, R. - Tortosa, T., 1997: *La Dama de Elche. Lecturas desde la diversidad*, col. Lynx 2, Madrid.
- Poveda, A., 2000: "El obispado de Ilici, Los orígenes del Cristianismo en Valencia y su entorno". *Grandes Temas Arqueológicos* 2, 85-92.
- Ramallo, S. - Vizcaíno, J., 2002: "Bizantinos en Hispania. Un problema en la arqueología española", *Archivo Español de Arqueología* 75, 313-332.

- Ramos Fernández, R., 1975: *La ciudad romana de Ilici*, Alicante.
- Ramos Fernández, R., 1983a: "Estratigrafía del sector 5-F de La Alcudia de Elche", *Lucentum* 2, 147-172.
- Ramos Fernández, R., 1991: *El yacimiento arqueológico de La Alcudia de Elche*, *Consell Valencià de Cultura, Serie Minor 1*, Valencia.
- Ramos Fernández, R., 1995: *El templo ibérico de La Alcudia. La Dama de Elche*, Elche.
- Ramos Fernández, R.- Uroz Sáez, J., 1992: "Ilici", *Dialoghi di Archeologia* 1-2, 95-104.
- Ramos Fernández, R - Ramos Molina, A., 2007: "Las termas orientales de Ilici", *Caesaraugusta* 78, 545-554.
- Ramos Folqués, A., 1947: "La Dama de Elche. Datos para su cronología. El problema del nivel arqueológico de su hallazgo", *III Congreso Arqueológico del Sudeste Español*, Cartagena, 153-158.
- Ramos Folqués, A., 1966: "Estratigrafía de La Alcudia de Elche", *Saitabi* XVI, 71-76.
- Ramos Folqués, A., 1990: "Cerámica ibérica de la Alcudia (Elche, Alicante)", Alicante.
- Ramos Molina, A., 2000: La escultura ibérica en el Bajo Vinalopó y el Bajo Segura. Institut Municipal de Cultura, Ajuntament d'Elx, Elche.
- Ramos Molina, A.- Tendaro Porras, M., 2000: "Dos nuevos conjuntos termales en Ilici (La Alcudia, Elche)", *II Coloquio Internacional de Arqueología de Gijón, Termas Romanas en el occidente del Imperio* (Fernández Ochoa, C. y García Entero, V. eds.), Gijón, 245-250.
- Reynolds, P., 1993: *Settlement and Pottery in the Vinalopó Valley (Alicante, Spain) A. D. 400-700*, *BAR, Int. Ser. 588*, Oxford, 9-43.
- Rovira, S., 2007 (coord.): *La Dama de Elche*, Madrid.
- Ruiz Roig, E. 2001: *Los mosaicos de Ilici y del Portus Illicitanus*. *Consell Valencià de Cultura*, València.
- Sala Sellés, F., 1992: *La tienda del alfarero del yacimiento de la Alcudia*, Alicante.

2. Objetivos concretos e interés del proyecto con resultados

A partir de los antecedentes y el estado de la investigación que hemos descrito se puede observar que nos hallamos en un sector (F7) en el que el estado de conocimiento de los restos es, según indican los directores de las intervenciones y personal que ha publicado los resultados, parcial, inconcluso y en proceso de estudio. De hecho, la información publicada ofrece una serie de puntos oscuros que han servido de base para orientar nuestro programa de excavaciones con el fin de concluir el análisis y estudio del conjunto. Por otra parte, en La Alcudia de Elche se han ido arrastrando una serie de tesis básicas fruto de la estratigrafía construida por A. Ramos Folqués que ofrece muchas dudas y que debe ser revisada, o sustituida por un nuevo panel de hipótesis y de parámetros de referencia contruidos a partir de las nuevas técnicas y perspectivas de la investigación. En función de ese estado inacabado de las investigaciones planteamos algunos de nuestros objetivos:

- Objetivos concretos relacionado con el conjunto de las Termas Orientales:

Determinar la planta completa del conjunto termal en función de su secuencia evolutiva	Se ha completado en sus lados meridional y occidental
Datar de forma precisa los niveles constructivos y las fases de ocupación	Se ha fijado la etapa principal constructiva a finales del siglo I d.C.
Consolidar todas las estructuras exhumadas en estas intervenciones permitiendo su presentación a los visitantes de forma comprensible	Se han protegido para su puesta en valor a falta de concluir las excavaciones de este sector

- Objetivos relacionados con el análisis arqueológico del yacimiento arqueológico de La Alcudia de Elche:

Documentar la secuencia estratigráfica completa del conjunto para	La actuación en el extremo occidental, con niveles de calle, y en la cimentación
---	--

proporcionar nuevas hipótesis y parámetros interpretativos.	de las termas han precisado los límites cronológicos del conjunto
Establecer las principales fases constructivas del conjunto y de La Alcudia, revisando el análisis e interpretación de la evolución histórica del conjunto.	Se han determinado, al menos, cuatro grandes fases constructivas y de ocupación.
Iniciar la comprensión del conjunto en la trama urbanística general: viales y áreas aledañas del conjunto termal, con el fin de planificar futuras intervenciones en las áreas aledañas	Se ha determinado la existencia de un eje viario principal que conecta con las excavaciones del sector 5F.

• Proyección social del yacimiento de La Alcudia:

Difundir los nuevos descubrimientos entre la sociedad ofreciendo nuevas perspectivas	
Relativizar la obsesiva dependencia social, que no científica, del “mito de la Dama de Elche”, como único e irreplicable hito de referencia de la arqueología ilicitana	
Construir un programa de concienciación y sensibilización social del patrimonio histórico de La Alcudia de Elche sobre nuevos parámetros y bases interpretativos	

Interés del proyecto:

- **Interés científico.** ¿Cómo se puede comprender la arqueología de Hispania suroriental sin información fiable y actualizada de la colonia de referencia de la

región, sin Ilici? Más allá del interés local, desde el punto de vista científico, la paralización de las excavaciones en La Alcudia bloquea el progreso de las investigaciones sobre la Historia romana en este ámbito. Por ello ha sido fundamental reemprender un programa de excavaciones apoyándose, de forma adicional, en el conjunto de nuevas técnicas y metodologías que permitirán avanzar en el conocimiento científico.

- **Interés patrimonial.** La Alcudia de Elche constituye el principal conjunto arqueológico y patrimonial de carácter público de La Comunidad valenciana sin excavar. Contrariamente a lo que se pueda pensar el yacimiento se encuentra en buena parte por descubrir. No son muchas las colonias romanas de las que aún se desconoce la ubicación del foro, o de la que se tenga una secuencia estratigráfica fiable, o lo que es más curioso en la que no se hubieran proyectado intervenciones arqueológicas sistemáticas en los últimos veinte años.
- **Interés pedagógico y formativo.** La Universidad de Alicante, como propietaria del yacimiento, tiene como función preferente la utilización de este recinto arqueológico como laboratorio de prácticas, ámbito docente o espacio de experimentación. Por ello desde la campaña 2017 hemos incorporado cinco alumnas/os de master y más de treinta estudiantes de grado. Además, se ha constituido un equipo de excavación principalmente constituido por alumnado universitario y egresadas/os con el fin de crear un vínculo científico, pero también social con la comunidad científica y profesional.
- **Interés social.** El fin último de toda actuación científica es la sociedad. En el caso de la arqueología esto no es solo una frase pues, a parte de los resultados de la investigación básica en ocasiones de consumo interno, las excavaciones generan restos patrimoniales, interpretaciones de carácter histórico, elementos de carácter identitario y, en general, resultados tangibles para la sociedad. Por ello creemos que una dimensión fundamental de este proyecto es la socialización del conocimiento, la divulgación de sus resultados.
- **Interés estratégico.** Uno de los elementos básicos de la investigación actual es la financiación de la ciencia. En el caso de las actuaciones arqueológicas regulares la financiación proviene preferentemente de los sectores públicos, pero se deben promocionar los canales de financiación privados vía mecenazgo. Pero si no se

ofrecen resultados previos y se impacta en la opinión pública es difícil conseguir generar una dinámica favorable a la financiación externa. Por ello consideramos necesario desarrollar proyectos arqueológicos que abran nuevas perspectivas arqueológicas y patrimoniales.

En resumen, son muchas las razones para impulsar este proyecto, pero si hubiéramos de sintetizar las líneas básicas de este programa de actuaciones podríamos señalar cuatro ejes fundamentales:

- **Austeridad.** Al amparo de las múltiples burbujas que han afectado a la sociedad española en las últimas décadas se ha desarrollado un modelo de intervención arqueológica y de gestión del patrimonio acorde con esa embriaguez de recursos. Pero ese tiempo ha acabado y es necesario recuperar un **modelo de gestión del patrimonio mucho más austero**, sobre todo por responsabilidad social. Por ello planteamos tipos de actuación que reduzcan los presupuestos, que eviten las cadenas de subcontratas, que prioricen la **gestión directa**, que huyan del empleo de materiales costosos, poniendo en primer plano la necesidad de socializar el conocimiento y de sensibilizar a la sociedad frente a los proyectos faraónicos. Este planteamiento de gestión del patrimonio lo hemos aplicado en la Villa Romana de l'Albir, primer museo al aire libre de la Comunidad Valenciana desarrollado con fondos públicos, pero con presupuestos muy ajustados, reduciendo los márgenes y la participación de las empresas externas y, por tanto, haciendo viable un proyecto a partir de la gestión directa de los recursos.
- **Socialización del conocimiento.** Todas las actuaciones científicas, y en el caso de un yacimiento arqueológico de propiedad y gestión pública como el de La Alcudia mucho más, deben estar orientadas a hacer que la parte fundamental de las **actuaciones reviertan en la sociedad** (acciones en RRSS, exposiciones, jornadas de puertas abiertas, publicaciones científicas y divulgativas, sesiones de virtualización, etc.). Por ello, el objetivo fundamental de este proyecto se centra en último término en la necesidad de socializar el conocimiento a través de las TIC.
- Incorporación de la **Arqueología Virtual** al ámbito de la excavación, la consolidación y la divulgación del patrimonio. La arqueología está disfrutando de un cambio

técnico y metodológico que ha de ser incorporado en las actuaciones arqueológicas, especialmente las de carácter estrictamente científico y universitario. En la Universidad de Alicante hemos constituido el grupo **Patrimonio Virtual** referente internacional en proyectos y docencia universitaria de Arqueología y Restauración Virtual. Por ello es necesario incorporar todo este nuevo universo técnico para impulsar el rigor del registro, la fiabilidad de las actuaciones y el impacto social de los resultados.

- **Desarrollo del conocimiento abierto.** La razón fundamental de una actuación arqueológica siempre es profundizar el conocimiento histórico. Por ello nuestro objetivo fundamental siempre será generar un registro **fiable, riguroso y contrastable**. Por esta razón desarrollaremos un plan de publicaciones que incluya el acceso libre a los **metadatos y los parámetros** en el RUA, con el fin de hacer más transparente la actuación científica que llevamos a cabo.

3. Hipótesis de partida

Para alcanzar dichos objetivos centraremos nuestras excavaciones en los escasos espacios del conjunto termal que aún no han sido excavados, especialmente en su parte noroccidental (ver anexo de documentación gráfica). Habremos de revisar la documentación existente, pero creemos que es necesario plantear la intervención como si se tratase de una excavación nueva para no asumir hipótesis previas o construirlas con prejuicios que podrían desviar nuestra atención de las novedades aportadas por la excavación.

1.1. Hipótesis Generales

Nuestra dilatada trayectoria científica respecto a la **arqueología romana** en concreto, y antigua en general, contiene múltiples referencias a los problemas e incertidumbres básicas de la investigación al respecto. De todas formas, apuntamos algunas líneas generales:

- La estratigrafía tradicional de La Alcudia de Elche debe ser revisada y muy probablemente corregida
- A la luz de la bibliografía científica general, habría que cuestionar o al menos revisar la propuesta tradicional de invasiones en la ciudad romana de *Ilici*
- Solo una excavación sistemática y estratigráfica de determinados contextos podría darnos información sobre los inicios de las fases de abandono o declive de las funciones administrativas tradicionales.

1.2. Hipótesis concretas

Del cotejo inicial y previo de la documentación existente y de la lectura precisa de los dos artículos publicados por el equipo arqueológico que excavo parte de este conjunto termal se extraen una serie de conclusiones que pueden sustentar hipótesis complementarias:

- Existen fases constructivas y de ocupación que no han podido ser determinadas en investigaciones anteriores. A modo de hipótesis se detectan dos fases principales constructivas con sus consiguientes fases refacción y amortización cuya cronología podría estar marcada por las épocas alto y bajoimperial.
- Parecería que el uso termal del conjunto se circunscribiría a la época altoimperial
- En las fases en las que el conjunto termal está en uso se observan al menos tres fases de reformas
- Los mosaicos hallados en la entrada del conjunto termal no parecen ser de la fase fundacional

4. Metodología y plan de trabajo

Más allá de las particularidades propias de cada equipo creemos que sería necesario coordinar una serie de elementos básicos en la metodología arqueológica con el fin de hacer compatibles y contrastables los resultados de las investigaciones: registro de unidades, sistema informático de inventario y bases de datos, formas de acometer la consolidación de estructuras y taludes o la trazabilidad del registro y transparencia. Por nuestra parte la metodología arqueológica que proponemos seguiría las siguientes líneas básicas:

1. **Estudio previo** y planificación de las actuaciones del conjunto arqueológico denominado Termas Orientales: fases de intervención a medio y largo plazo
2. Intervención arqueológica en área abierta siguiendo el sistema de excavación **Harris-Carandini**
3. Utilización del **GPS diferencial** y posicionamiento satelital para ubicación de estructuras con georreferenciación
4. Utilización de **estación total** y niveles para el detalle de las estructuras
5. Registro gráfico combinado de **georreferenciación y fotogrametría digital** avanzada
6. **Levantamiento planimétrico 2D** a partir de la documentación métrica de cartografía CAD 2D: plantas, secciones y alzados
7. Registro de **unidades**
8. **Escaneado** de detalles constructivos
9. **Documentación fotográfica** del proceso de excavación
 - Estado de conservación previo a la intervención
 - Documentación del proceso de intervención
 - Documentación final
10. **Documentación fotográfica específica** para la obtención de:
 - Modelo 3D del conjunto arqueológico.
 - Documentación y productos derivados: ortoimágenes (plantas y alzados) y secciones.
11. Realización de **informes** previos y finales
12. Publicación y difusión

Plan de trabajo

Las actuaciones de todos los equipos de investigación han quedado enmarcadas por unas **líneas generales** consensuadas, únicas y de obligado cumplimiento para poder homogenizar los resultados de las excavaciones en La Alcudia de Elche. Se han acordado unos parámetros mínimos de registro: fichas UE, denominaciones, soporte informático, técnicas homogéneas de consolidación y protección, imagen corporativa, etc.

Concepto	Detalle de las actuaciones	Periodo de realización: VII/2016-VII/2017
1. Plan de excavaciones	Estudio previo de la documentación existente	Septiembre 2017-enero 2018
	Intervención arqueológica	16 de abril al 18 de mayo de 2018
	Elaboración de inventarios clasificados	Mayo-junio 2018
	Elaboración de memorias arqueológicas	Noviembre 2018-abril 2019
	Análisis interpretativo	Noviembre 2018-abril 2019
2. Plan de consolidación y preservación	Consolidación de estructuras	Mayo 2018 y campaña 2019

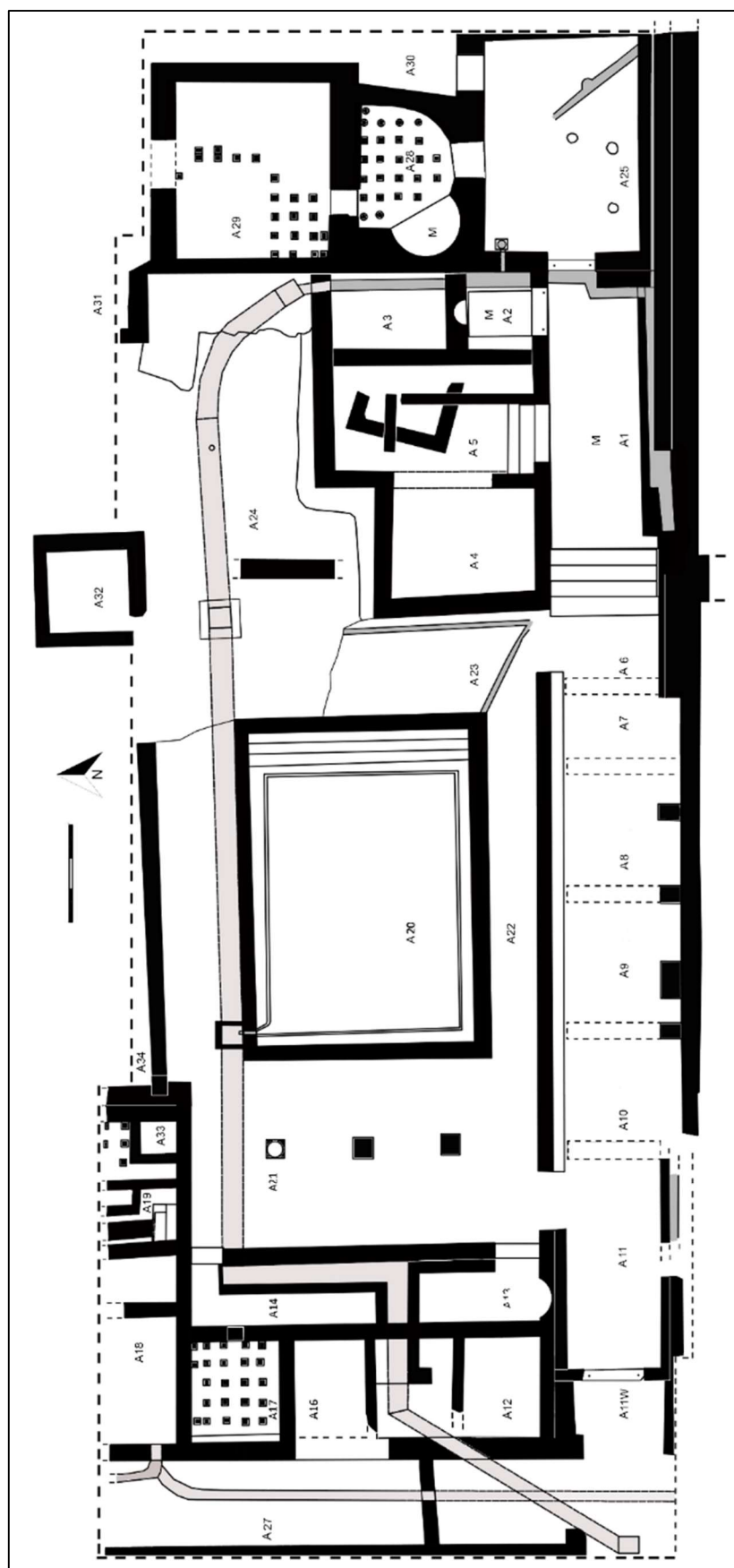


Fig. 1. Planta general 2018

5. Ambientes 4 y 5

En la parte oriental de las termas occidentales a una cota más baja que el área central se halla un conjunto de estancias que tradicionalmente se han relacionado con el *apodyterium* que hemos identificado con los ambientes 2, 3, 4 y 5. La excavación inicial de este conjunto se desarrolló en el año 2000 en las campañas de excavación desarrolladas por R. Ramos Fernández y A. Ramos Molina (Fig. 3), llegando hasta los niveles de pavimentación. La documentación de los procesos de excavación de estas actuaciones es algo precaria y no nos ofrece datos estratigráficos ni cronológicos, de ahí que hayamos renumerado el conjunto de unidades estratigráficas que hemos detectado de la excavación de esos años a partir de 3001.

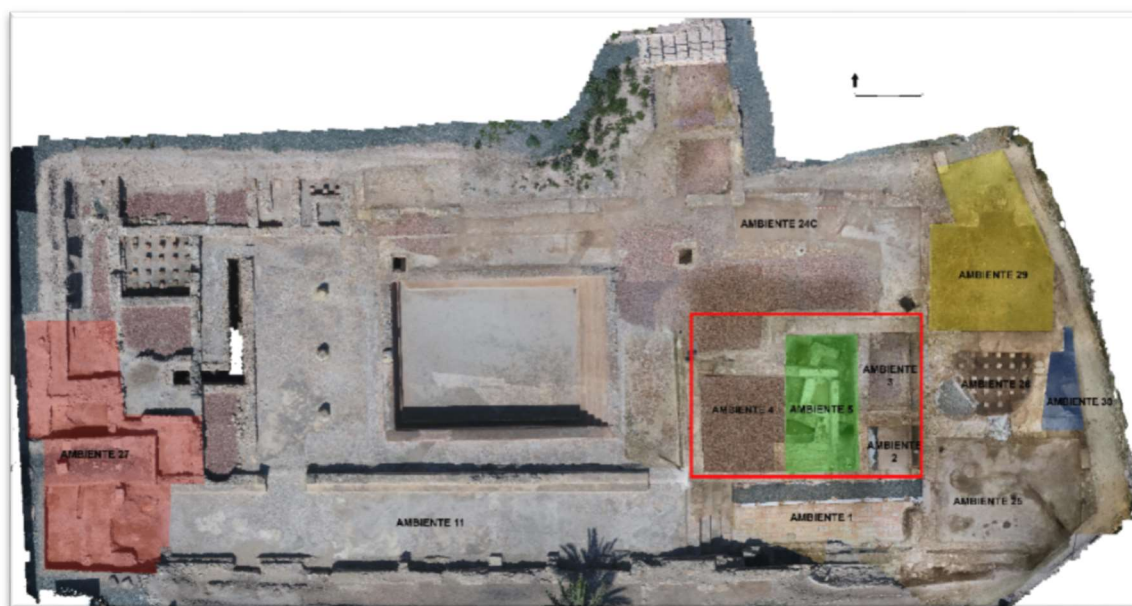


Fig. 2. Amb. 2, 3, 4 y 5

De este conjunto, en la campaña de 2018 hemos decidido intervenir en los ambientes 4 y 5 con el fin de documentar los alzados de las paredes y excavar la parte correspondiente al Amb. 5 mediante el levantamiento de su pavimentación en *opus caementicium*.

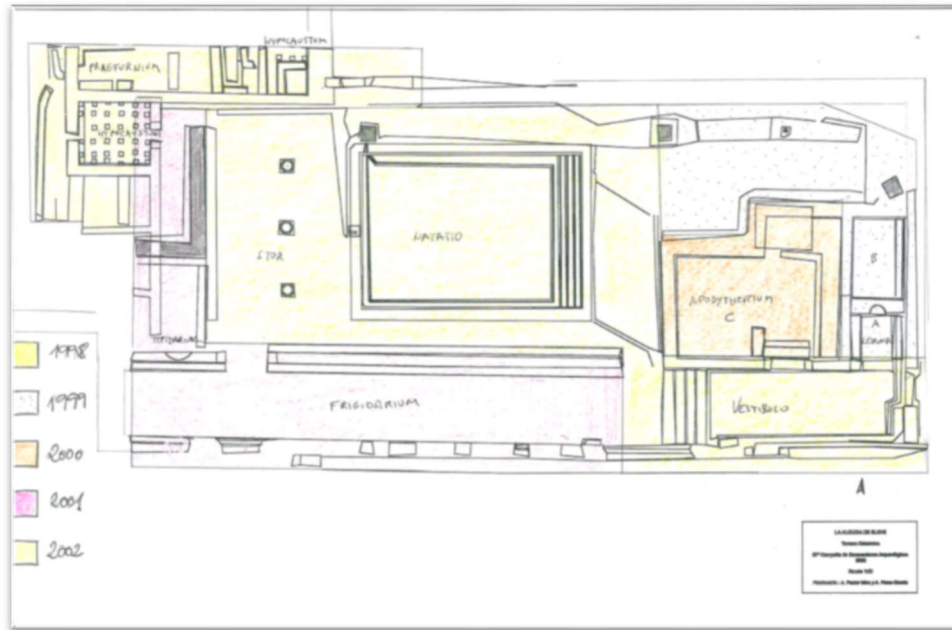


Fig. 3. Esquema general de intervenciones por años de las excavaciones de las termas orientales desarrolladas por R. Ramos Fernández y A. Ramos Molina

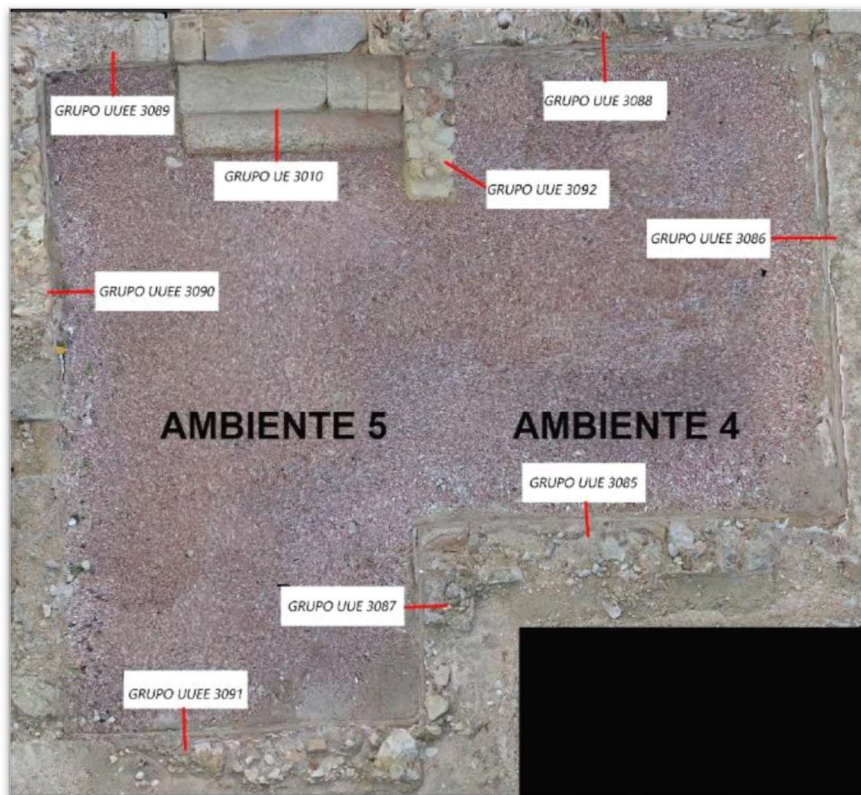


Fig. 4. Grupos de Unidades asignados a cada una de las paredes de los ambientes 4 y 5.

La renumeración, que parte de 3000 para distinguirla de la numeración regular de nuestras intervenciones que se inicia en 0, ha consistido en la atribución de diferentes unidades estratigráficas. Hemos decidido crear Grupos de UUEE (Fig. 4) para simplificar la interpretación de las relaciones estratigráficas. Pasamos a mostrar a continuación de manera detallada dichos grupos de UUEE.

Grupo de Unidades 3089

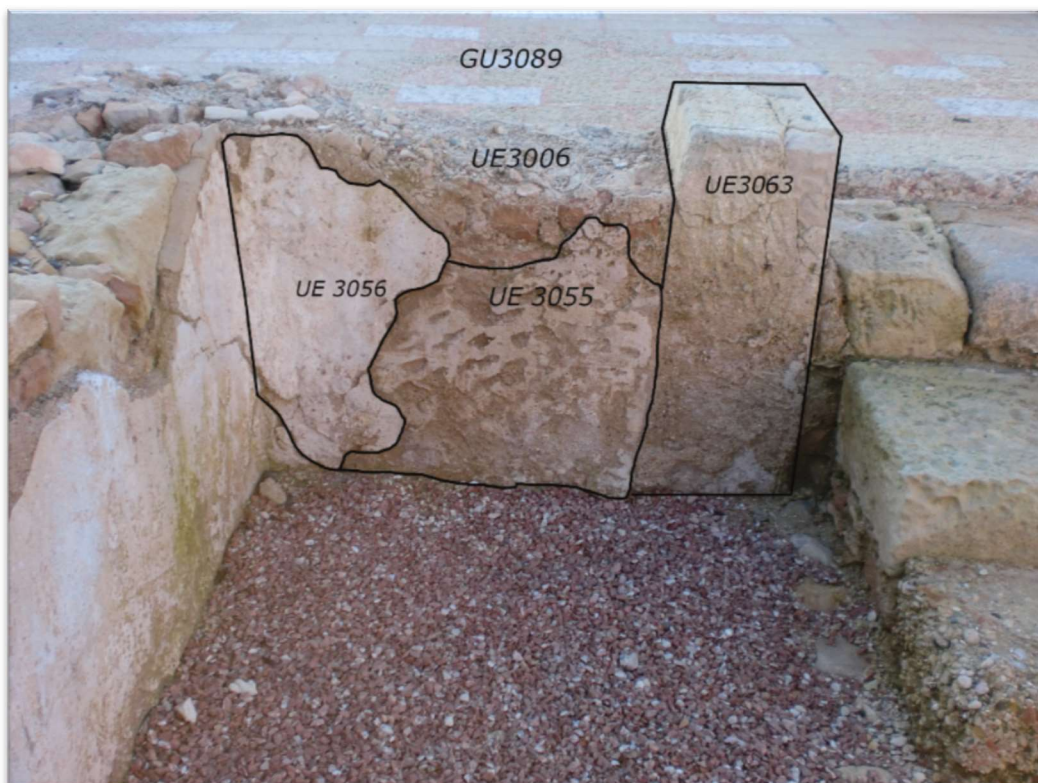
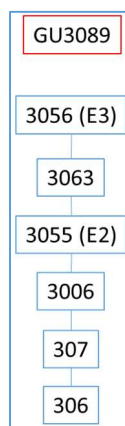


Fig. 5. Grupo de Unidades 3089, sector meridional del Amb 5.



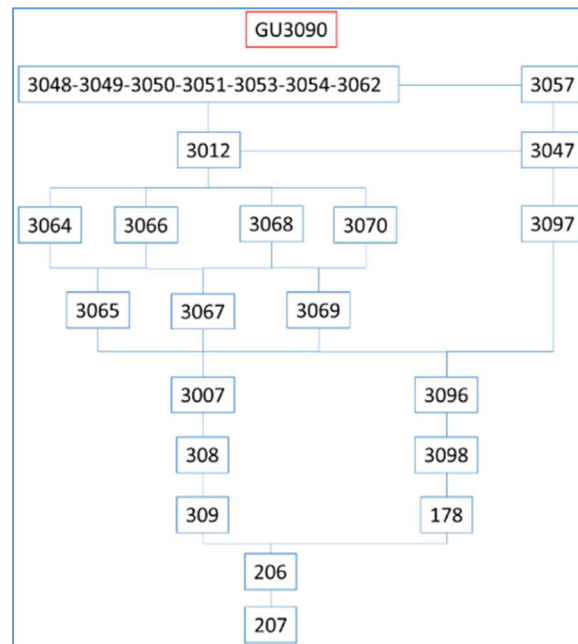
El GU 3089 presenta muro UE 3006 que tiene continuidad en el Amb. 2 lo que indica que en una fase inicial el GU 3090, que se le apoya, no existía. De hecho, la existencia de una capa de enlucido picada (E2) (UE 3055) debajo de la última capa de enlucido (E3) (UE 3056) corrobora dicha evidencia. La excavación de los niveles inferiores fue realizada en las campañas de Alejandro y Rafael Ramos del año 2000, por lo que no tenemos información al respecto. No obstante se observa la existencia de una fosa de fundación (UE 306) del muro (UE3006) rellena de piedras a modo de cimentación (UE 307).

UE	AMB	Definición	Tipo
3006	5	Muro de orientación E-W que constituye el extremo S del A.5 (en su extremo E). Conecta con las UUEE 3007 y 3010	Muro
3055	5	Enlucido sobre la cara interna del muro de UE 3006. Fue picado para preparar una capa de enlucido posterior (UE 3056)	Estrato
3056	5	Enlucido realizado en el muro UE 3006 sobre una capa anterior (UE 3055)	Estrato
3063	5	Bloque de piedra que constituye la jamba E del acceso al A.5. Forma parte del muro de UE 3006	Estrato
3089	5	Grupo de UUEE que integran el lienzo que tiene como principal elemento al muro de UE 3006	GR.
306	5	Fosa de fundación de UE 3089	Interfaz
307	5	Relleno de fosa UE 306 donde se cimienta UE 3089, con piedras, cantos redondos y tierra	Estrato

Grupo de Unidades 3090



Fig. 6. Grupo de Unidades 3090, sector orientall del Amb 5.



El GU 3090 es un conjunto murario perteneciente a la fase de reestructuración de las termas que se apoya en los GU 3089 y 3091. Su construcción es contemporáneo con la del pavimento GU303 y el conjunto de orificios que recorren las paredes de GGUU 3090,

3091, 3085 y 3086. Cabe resaltar el aparejo de la parte alta del conjunto formado por un *opus africanum* (UUEE 3064-3065-3066-3067-3068-3069-3070), muy presente en todo el yacimiento.

UE	AMB	Definición	Tipo
3007	2, 3, 5	Muro de orientación N-S que delimita el A.5 en su extremo E. Conecta con las UUEE 3006 y 3008	Muro
3012	2, 3, 5	Parte del aparejo de <i>opus africanum</i> sobre el muro UE 3007, entre UUEE 3064 y 3065. El enlucido (UE 3047) no permite ver la composición (bloque o estructura de piedras) de este tramo	Estrato
3047	5	Enlucido sobre la cara interna del muro de UE 3007	Estrato
3048	5	Pequeño orificio rectangular practicado en la parte superior izquierda del muro de UE 3007-3012	Estrato
3049	5	Pequeño orificio rectangular practicado en la parte superior central del muro de UE 3007-3065	Estrato
3050	5	Pequeño orificio rectangular practicado en la parte superior derecha del muro de UE 3007-3067	Estrato
3051	5	Pequeño orificio rectangular practicado en la parte media izquierda del muro de UE 3007	Estrato
3052	5	Pequeño orificio rectangular practicado en la parte media derecha del muro de UE 3007	Estrato
3053	5	Pequeño orificio rectangular practicado en la parte inferior izquierda del muro de UE 3007	Estrato
3054	5	Pequeño orificio rectangular practicado en la parte inferior central del muro de UE 3007	Estrato
3055	5	Enlucido sobre la cara interna del muro de UE 3006. Fue picado para preparar una capa de enlucido posterior (UE 3056)	Estrato
3056	5	Enlucido realizado en el muro UE 3006 sobre una capa anterior (UE 3055)	Estrato
3057	5	Pequeño orificio rectangular practicado en la parte inferior derecha del muro de UE 3007	Estrato
3064	2, 3, 5	Estructura de piedras que constituye el extremo N del aparejo de <i>opus africanum</i> sobre UE 3007	Estrato
3065	2, 3, 5	Gran bloque de piedra que forma parte del aparejo de <i>opus africanum</i> sobre UE 3007, entre UUEE 3012 y 3066	Estrato
3066	2, 3, 5	Estructura de piedras que forma parte del aparejo de <i>opus africanum</i> sobre UE 3007, entre UUEE 3065 y 3067	Estrato
3067	2, 3, 5	Gran bloque de piedra que forma parte del aparejo de <i>opus africanum</i> sobre UE 3007, entre UUEE 3066 y 3068	Estrato
3068	2, 3, 5	Estructura de piedras que forma parte del aparejo de <i>opus africanum</i> sobre UE 3007, entre UUEE 3067 y 3069	Estrato
3069	2, 3, 5	Gran bloque de piedra que forma parte del aparejo de <i>opus africanum</i> sobre UE 3007, entre UUEE 3068 y 3070	Estrato
3070	2, 3, 5	Estructura de piedras que forma parte del aparejo de <i>opus africanum</i> sobre UE 3007, al S de 3069	Estrato
3090	5	Grupo de UUEE que integran el lienzo que tiene como principal elemento al muro de UE 3007	GR.
3096	5	Muro de piedra debajo de UE 3070 en GU 3090	Estrato
3097	5	Preparación de enlucido en muro UE 3096 en GU 3090	Estrato
3098	5	Enlucido igual a UE 3047 pero en nivel inferior a la línea de pavimentación en GU 3090	Estrato
178	4	Cimentación del muro S del G.U. 3007, sobre UE 206	Estructura

206	5	Estrato castaño con inclusiones de cal bajo la cimentación de UE 206	Estrato
207	5	Estrato de tierra castaña, apelmazada y compacta, bajo UE 206	Estrato
308	5	Relleno de fosa de UE 309 donde se cimenta UE 3090, con cantos rodados, piedras y tierra	Estrato
309	5	Fosa de fundación de UE 3090, relleno por UE 308	Interfaz

Grupo de Unidades 3091

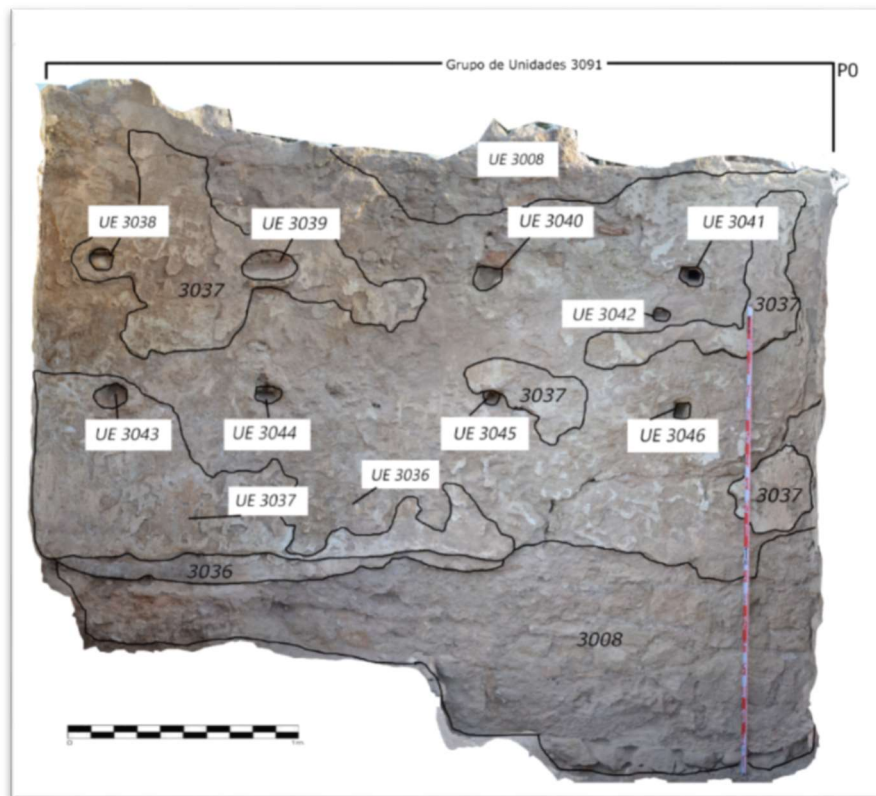
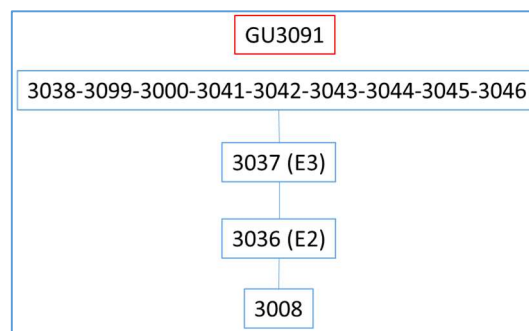


Fig. 7. Grupo de Unidades 3091, sector septentrional del Amb 5.



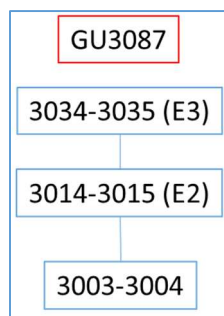
El GU 3091 destaca por presentar dos capas de enlucidos (E2 y E3) y estar recorrido en cota por los orificios presentes en todo el apodyterium en su fase de reestructuración. En un fase previa el muro continuaba hasa el Amb. 2 dado que el conjunto GU 3090 se apoya en GU 3091.

UE	AMB	Definición	Tipo
3008	5	Muro de orientación E-W que constituye el extremo N del A.5. Conecta con UUEE 3003 y 3007	M.
3036	5	Enlucido sobre la cara interna del muro de UE 3008. Fue picado para preparar una capa de enlucido posterior (UE 3037)	EST.
3037	5	Enlucido realizado en el muro UE 3008 sobre una capa anterior (UE 3036)	EST.
3038	5	Pequeño orificio rectangular practicado en la parte superior izquierda del muro de UE 3008	EST.
3039	5	Pequeño orificio rectangular practicado en la parte superior centro-izquierda del muro de UE 3008	EST.
3040	5	Pequeño orificio rectangular practicado en la parte superior centro-derecha del muro de UE 3008	EST.
3041	5	Pequeño orificio rectangular practicado en la parte superior derecha del muro de UE 3008	EST.
3042	5	Pequeño orificio rectangular practicado en la parte media derecha del muro de UE 3008	EST.
3043	5	Pequeño orificio rectangular practicado en la parte inferior izquierda del muro de UE 3008	EST.
3044	5	Pequeño orificio rectangular practicado en la parte inferior centro-izquierda del muro de UE 3008	EST.
3045	5	Pequeño orificio rectangular practicado en la parte inferior centro-derecha del muro de UE 3008	EST.
3046	5	Pequeño orificio rectangular practicado en la parte inferior derecha del muro de UE 3008	EST.
3091	5	Grupo de UUEE que integran el lienzo que tiene como principal elemento al muro de UE 3008	GR.

Grupo de Unidades 3087



Fig. 8. Grupo de Unidades 3087, sector occidental del Amb 5.



Muro NW del conjunto que se une a GU3091 y GU3085. Destaca la ausencia de orificios. Presenta dos capas de enlucidos.

UE	AMB	Definición	Tipo
3003	4, 5	Muro de orientación N-S que constituye el extremo W del A.5 (en su mitad N). Conecta con las UUEE 3001, 3004 y 3008	M.
3004	4, 5	Ángulo que une a los muros de UUEE 3001 y 3003. Emplea sillares en su parte baja y media	EST.
3015	4, 5	Enlucido sobre la cara interna del muro de UE 3003. Fue picado para preparar una capa de enlucido posterior (UE 3035-3034). Igual a UE 3016	EST.
3034	4	Enlucido realizado en el la cara S del ángulo de UE 3004 sobre una capa anterior (UE 3015-3016) igual 3035	EST.
3035	5	Enlucido realizado en el muro 3003 sobre una capa anterior (UE 3015-3016) igual a 3034	EST.
3087	5	Grupo de UUEE que integran el lienzo que tiene como principal elemento al muro de UE 3003	GR.

Grupo de Unidades 3085

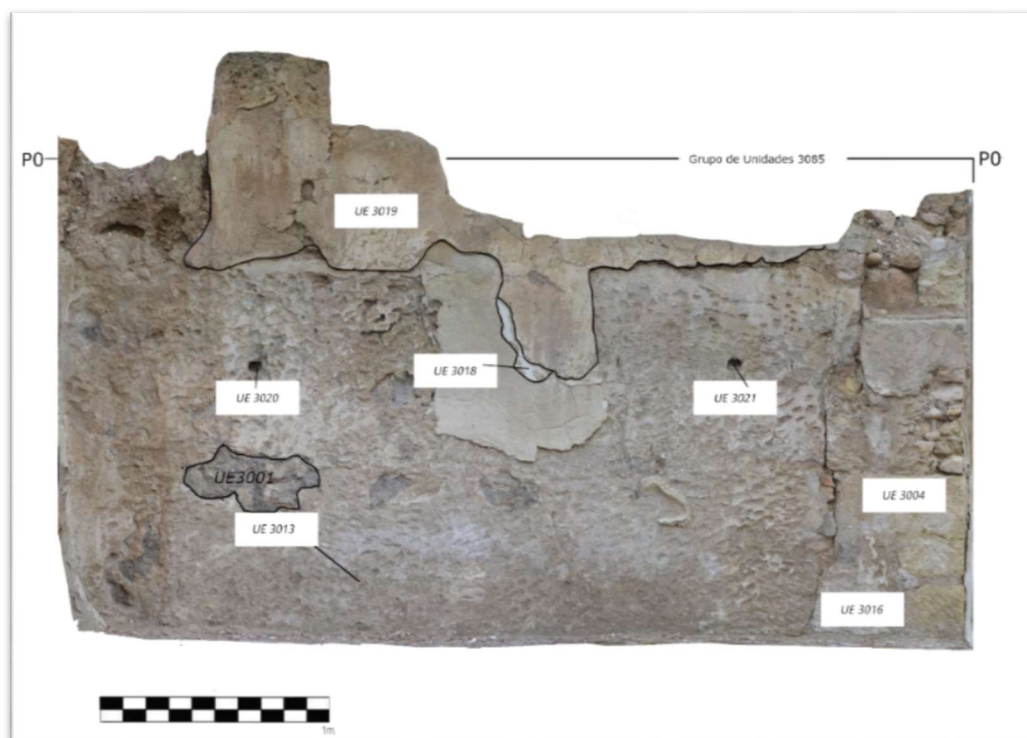
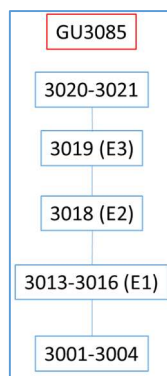


Fig. 9. Grupo de Unidades 3085, sector septentrional del Amb 4.



El GU 3085 liga con los muros GU 3087 y 3086. Presenta la línea de orificios continúa de la fase de reestructuración. Destaca la presencia de tres niveles de enlucido (E1, E2 y E3).

UE	AMB	Definición	Tipo
3001	4	Muro de orientación E-W que delimita el A.4 por su extremo N. Conecta con UUEE 3002, 3003 y 3004	M.
3013	4	Enlucido sobre la cara interna del muro de UE 3001. Fue picado para preparar una capa de enlucido posterior (UE 3018)	EST.
3016	4, 5	Enlucido sobre la cara interna del ángulo de UE 3004. Fue picado para preparar una capa de enlucido posterior (UE 3034-3035). Igual a UE 3015	EST.
3018	4	Enlucido realizado en el muro UE 3001 sobre una capa anterior (UE 3013). Fue picado para preparar una nueva capa de enlucido (UE 3019)	EST.
3019	4	Enlucido realizado en el muro UE 3001 sobre una capa anterior (UE 3018)	EST.
3020	4	Pequeño orificio cuadrangular practicado en la parte superior izquierda del muro UE 3001	NEG.
3021	4	Pequeño orificio cuadrangular practicado en la parte superior derecha del muro UE 3001	NEG.
3085	4	Grupo de UUEE que integran el lienzo que tiene como principal elemento al muro de UE 3001	GR.

Grupo de Unidades 3086

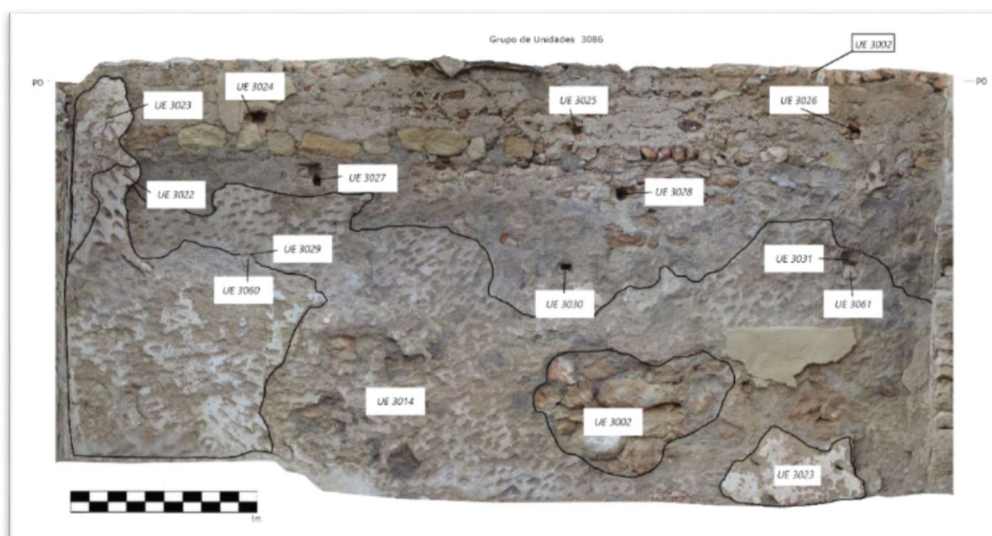
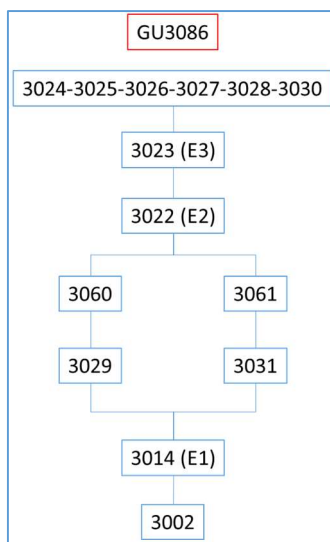


Fig. 10. Grupo de Unidades 3086, sector occidental del Amb 4.



El GU 3086 liga con los muros GU 3085 y 3088. Presenta en cota el conjunto de orificios que interpretamos que sirven para encastrar la estructura ligera que conformaría el conjunto de estantes, a modo de taquillas, que caracterizan los *apoditeria*. Presenta tres capas de enlucido (E1, E2 y E3) y destaca la presencia de orificios a alturas distintas a las del resto del espacio vinculado al *Apodyterium* lo que podría indicar la existencia de un casillero o taquilla perteneciente a una fase anterior.

UE	AMB	Definición	Tipo
3002	4	Muro de orientación N-S que delimita el extremo W del A.4. Conecta con UUEE 3001 y 3005	M.
3014	4	Enlucido sobre la cara interna del muro de UE 3002. Fue picado para preparar una capa de enlucido posterior (UE 3022)	EST.
3022	4	Enlucido realizado en el muro UE 3002 sobre una capa anterior (UE 3014). Fue picado para preparar una capa de enlucido posterior (UE 3023)	EST.
3023	4	Enlucido realizado en el muro UE 3002 sobre una capa anterior (UE 3022)	EST.
3024	4	Pequeño orificio rectangular practicado en la parte superior izquierda del muro UE 3002	NEG.
3025	4	Pequeño orificio rectangular practicado en la parte superior centro del muro de UE 3002	NEG.
3026	4	Pequeño orificio rectangular practicado en la parte superior derecha del muro de UE 3002	NEG.
3027	4	Pequeño orificio rectangular practicado en la parte media izquierda del muro de UE 3002	NEG.
3028	4	Pequeño orificio rectangular practicado en la parte media derecha del muro de UE 3002	NEG.
3029	4	Pequeño orificio rectangular practicado en la parte inferior izquierda del muro de UE 3002. Colmatado por UE 3060	NEG.
3030	4	Pequeño orificio rectangular practicado en la parte inferior central del muro de UE 3002	NEG.
3031	4	Pequeño orificio rectangular practicado en la parte inferior derecha del muro de UE 3002. Colmatado por UE 3061	NEG.
3060	4	Relleno del orificio UE 3029 en el muro de UE 3002	EST.
3061	4	Relleno del orificio UE 3031 en el muro de UE 3002	EST.

3086	4	Grupo de UUEE que integran el lienzo que tiene como principal elemento al muro de UE 3002	GR.
------	---	---	-----

Grupo de Unidades 3088

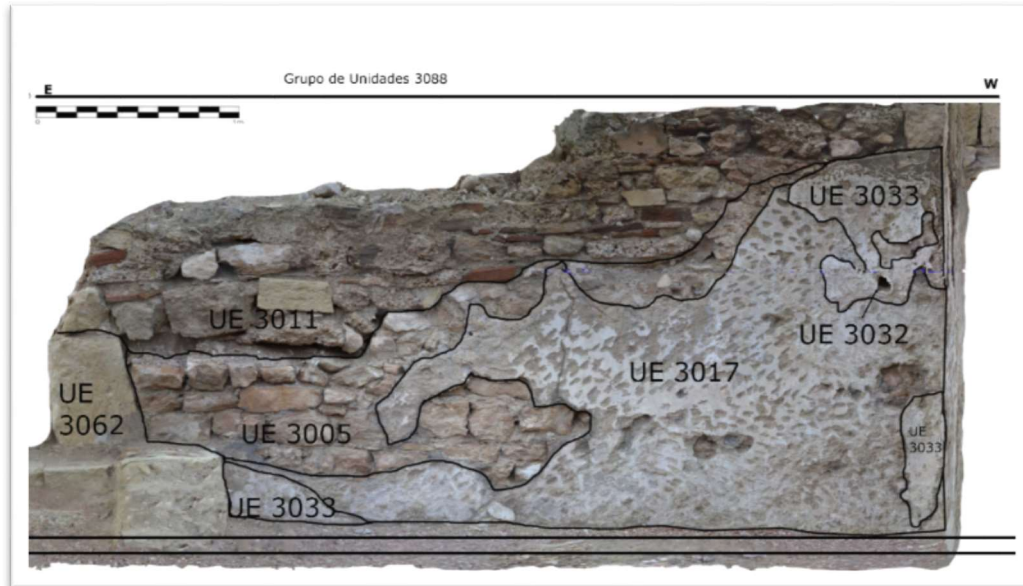
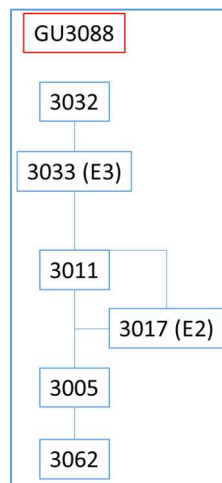


Fig. 11. Grupo de Unidades 3088, sector meridional del Amb 4.



El GU 3088 liga con el muro GU3086 y muy probablemente en la fase inicial del edificio correspondía con el muro GU3089. En la fase de reestructuración del conjunto, muy probablemente se rompió este muro para dar acceso al nuevo conjunto compartimentado creado por la construcción de GU 3090. El acceso corresponde a la escalera GU 3010-3092 y se corresponde con la reestructuración del muro GU3088 en su parte alta (UE3011) que presenta un aparejo compuesto por material reutilizado

(piedra, fragmentos de pavimento, restos constructivos). Este muro presenta dos capas de enlucido (E2 y E3).

UE	AMB	Definición	Tipo
3005	4	Muro de orientación E-W que constituye el extremo S del A.4. Conecta con UUEE 3002, 3009 y 3010	M.
3011	4, 5	Reconstrucción del muro UE 3005 empleando materiales de deshecho	M.
3017	4	Enlucido sobre la cara interna del muro de UE 3005. Fue picado para preparar una capa de enlucido posterior (UE 3033)	EST.
3032	4	Pequeño orificio rectangular practicado en la parte superior derecha del muro de UE 3005-3011	NEG.
3033	4	Enlucido realizado en el muro UE 3005-3011 sobre una capa anterior (UE 3017)	
3088	4	Grupo de UUEE que integran el lienzo que tiene como principal elemento al muro de UE 3005	GR.

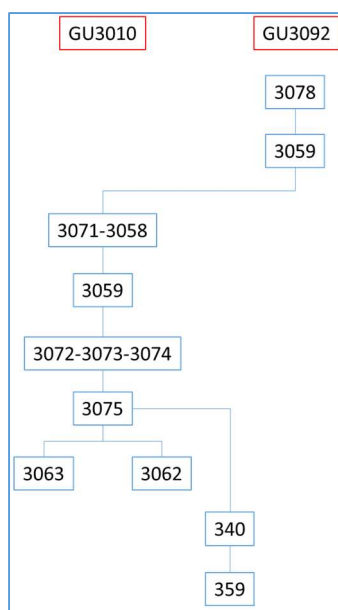
Grupo de Unidades 3010-3092



Fig. 12. Grupo de Unidades 3010, sector meridional del Amb 5.



Fig. 13. Grupo de Unidades 3092, sector meridional de los Amb. 4-5.



El conjunto GU3010-3092 se corresponde con la escalera de acceso al Apodyterium modificado en la fase de reestructuración. Está compuesto por materiales reutilizados (piedra fragmentadas y algunas irregulares) junto a un escalón completamente realizado en *opus caementicium*. Por su parte, en el lado occidental de la escalera tenemos lo que parece una barandilla (UE3009), pero que al excavar debajo del pavimento GU303 observamos que es un muro derruido en una fase posterior.

UE	AMB	Definición	Tipo
3092	4, 5	Grupo de UUEE que integran el lienzo que tiene como principal elemento al muro de UE 3009	GR.
3009	4, 5	Muro de orientación N-S que constituye el extremo E del A.4 (en su extremo S). Además, se trata del límite W (barandilla) de la escalera de acceso al A.5	Muro
3010	5	Grupo de UUEE que integra 3 escalones (distintos entre sí) que descienden en dirección N y facilitan el acceso al A.5. Delimitados por las UUEE 3005, 3006 y 3009	GR.
3058	5	Gran laja granítica rectangular que forma el extremo W del escalón superior de acceso al A.5. Fragmentado	Estructura
3059	5	Conjunto de piedras que reparan la laja de UE 3058 en el escalón superior	Estrato
3062	5	Bloque de piedra que constituye la jamba W del acceso al A.5. Forma parte del muro de UE 3005	Estructura
3063	5	Bloque de piedra que constituye la jamba E del acceso al A.5. Forma parte del muro de UE 3006	Estructura
3071	5	Pequeño bloque de piedra cuadrangular al E de UE 3058. Junto a él constituye el escalón superior de acceso al A.5	Estructura
3072	5	Gran laja rectangular que forma el extremo E del escalón intermedio de acceso al A.5	Estructura
3073	5	Pequeño bloque de piedra cuadrangular al W de UE 3072. Constituye parte del escalón intermedio de acceso al A.5	Estructura

3074	5	Pequeño bloque de piedra cuadrangular al W de UE 3073. Constituye parte del escalón intermedio de acceso al A.5	Estructura
3075	5	Estructura de <i>opus signinum</i> (con revoque de media caña) que constituye el escalón inferior de acceso al A.5	Estructura
3076	5	Estructura de fundación que da asiento al escalón superior de acceso al A.5	Estructura
3077	5	Estructura de fundación que da asiento al escalón intermedio de acceso al A.5	Estructura
3078	4, 5	Enlucido sobre la cara W del muro de UE 3009	Estructura
340	5	Escalón en Ambiente 5 debajo de GU 303	Estructura
359	5	Estrato de argamasa y piedra en el ángulo SW del Ambiente 5. Posiblemente igual a 340	Estrato

El conjunto de paredes de los Amb. 4 y 5 presentan varias capas de enlucido superpuestos que hemos denominado Grupo UUEE 3093, 3094 y 3095. Como podemos observar (Fig. 14) en un principio (GR-UUEE 3095) solo estaban enlucidas las paredes GR-UUEE 3088, 3086 y 3085, asimilable exclusivamente al A.4. Estratigráficamente posterior se presenta GR-UUEE 3094 que ocuparía un amplio espacio que al menos incluiría los Amb. 3, 4 y 5, teniendo dudas sobre la articulación del A.2. Finalmente el GR-UUEE 3093 ocupa todas las paredes de los ambientes 4 y 5 que quedaría separados de los A. 2 y 3 por el muro GR-UUEE 3090.

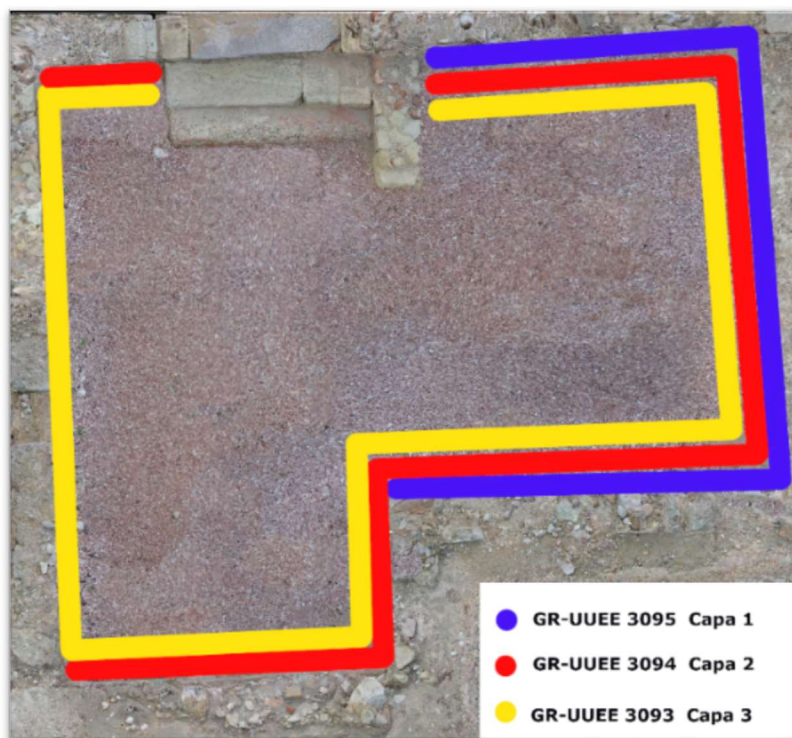


Fig. 14. Grupo de Unidades 3083, 3094 y 3095, enlucidos en los Amb. 4 y 5.

UE	AMB	Definición	Tipo
3093	4, 5	Grupo de UUEE que integran la capa 3 de enlucidos, la más reciente y sin picar, formada por las UUEE 3023-3019-3034-3035-3014-3015-30373012-3047-3056	GR.
3094	4, 5	Grupo de UUEE que integran la capa 2 de enlucidos, la intermedia y picada, formada por las UUEE 3055-3036-3018-3022-3015-3016	GR.
3095	4, 5	Grupo de UUEE que integran la capa 1 de enlucidos, la más antigua y picada, formada por las UUEE 3013-3014-3017	GR.

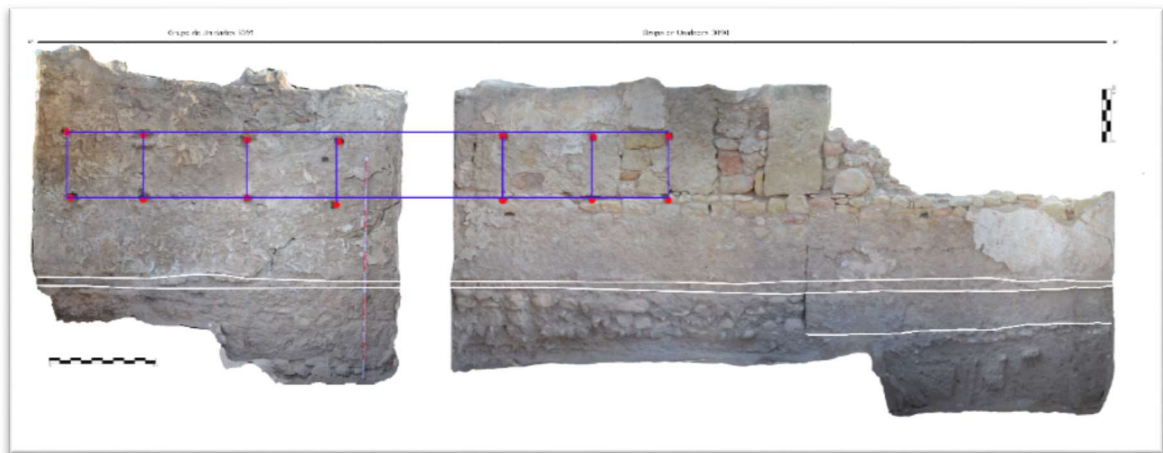


Fig. 15. Ubicación y alineación de orificios para posibles estructuras de madera en Grupo de Unidades 3090 y 3091 del Amb 5.

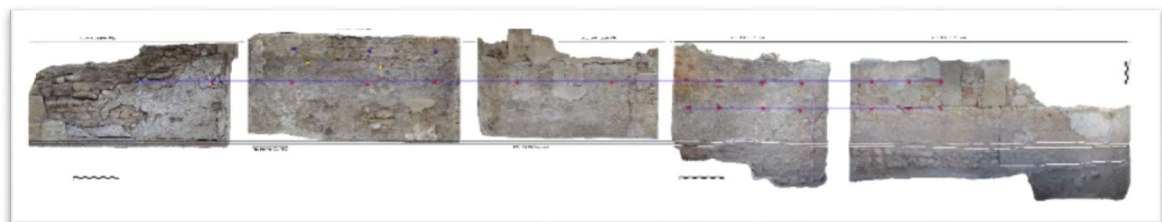


Fig. 16. Ubicación y alineación de orificios para posibles estructuras de madera en Grupo de Unidades 3085, 3086, 3090, 3091 de los Amb. 4 y 5.

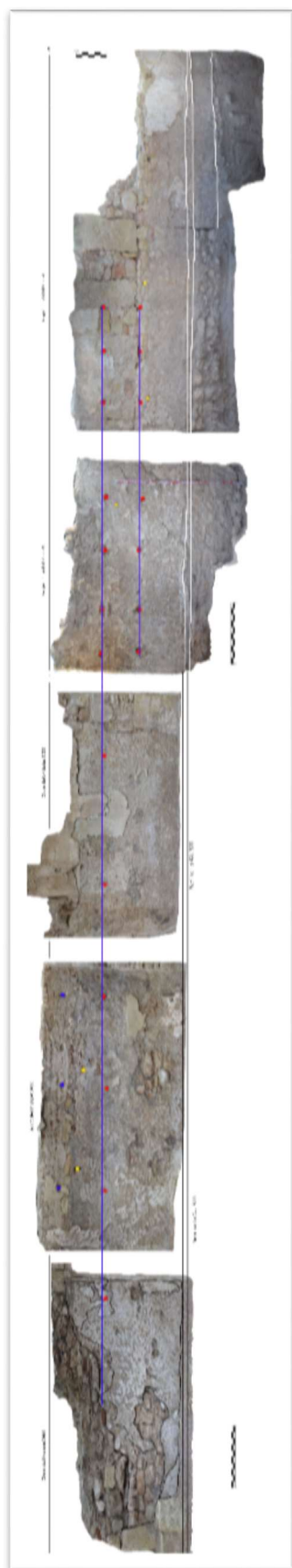


Fig. 17. Ubicación y alineación de orificios para posibles estructuras de madera en Grupo de Unidades 3085, 3086, 3090, 3091 de los Amb. 4 y 5.



Fig. 19. Inicio de la excavación del Amb. 5 con pavimento GU303

El pavimento está compuesto por una capa de mortero fino (UE 304) que tras ser levantada nos muestra un *rudus* o base de canto rodado (UE 305) de 0,10-0,20 m. de tamaño.



Fig. 20. Preparación del pavimento (GU303) formado por un rudus de cantos rodados (UE 305)

Debajo del pavimento encontramos un nivel de tierra compacta color marrón con restos cerámicos (UE 315) de 0.22 a 0.56 m. de grosor. El grado de fiabilidad estratigráfica de esta UE es altísima al encontrarse sellado por el pavimento (GU 303).

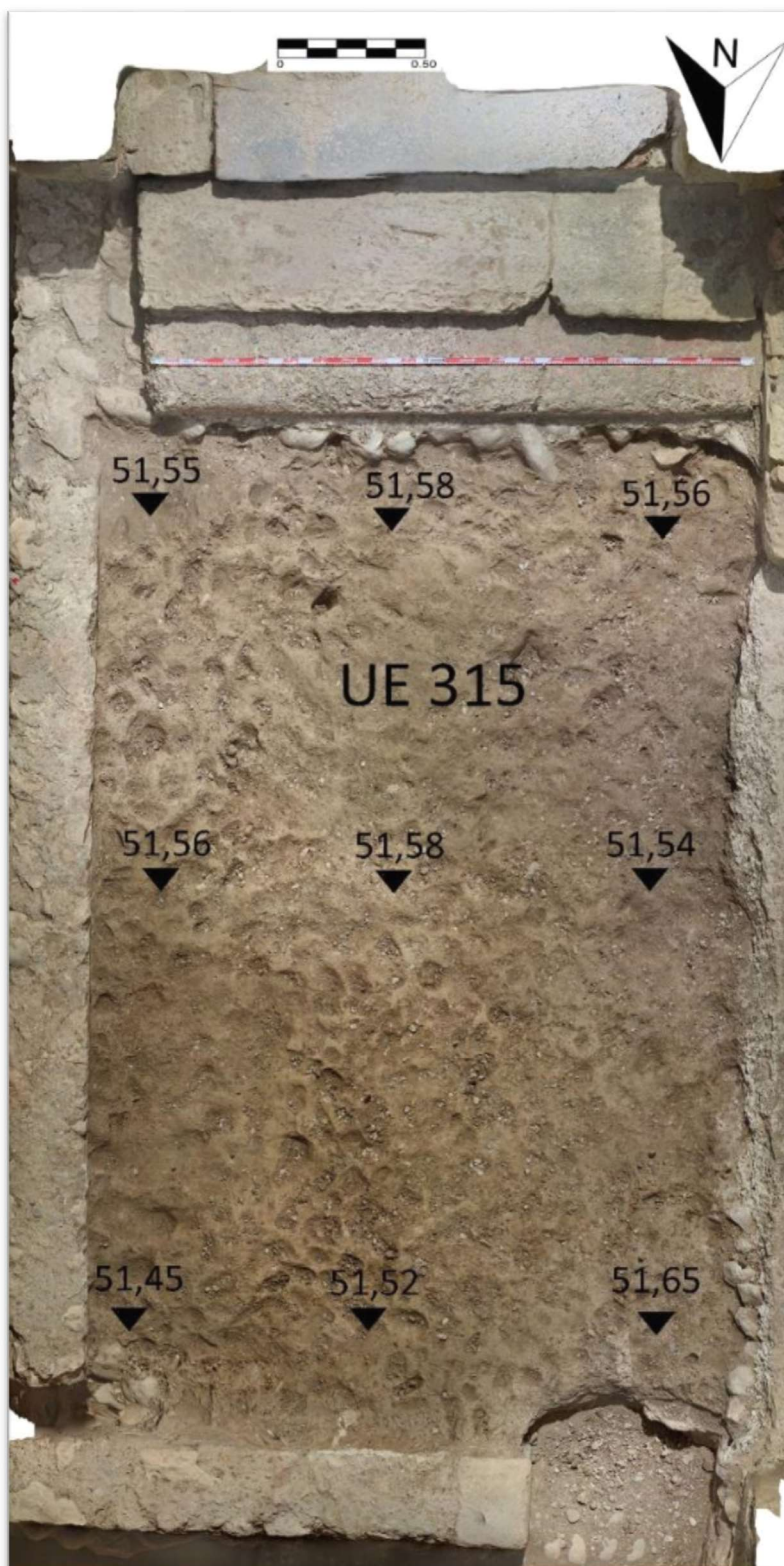


Fig. 21. UE 315 debajo del *rudus* de cantos rodados (UE 305)

Tras excavar la UE 315 hallamos un conjunto de construcciones que han sido destruidas quedando marcadas por la interfaz UE 339.

La Interfaz (UE 339) marca la superficie arrasada del nivel inferior caracterizado por:

- Las caras superiores de los muros UUEE 218 y 338 de una balsa rectangular (GU337) orientada NE-SW
- Rellenando la balsa GU 337 encontramos un estrato de tierra y grava amarillenta UE 336, sobre un estrato claro de tierra y cal compacta en el interior de GU 337, muy similar a UE 353. Debajo de estos niveles encontramos un estrato de tierra amarillenta y textura suelta, diferenciable del resto de estratos superiores.
- En el exterior meridional de la balsa GU 337 encontramos:
 - Los restos de la base (UE 340) de un escalón inferior de la escalera del Amb. 5 (GU3010)
 - Un nivel de tierra, grava, piedra y cal (UE 352)
 - Un estrato de tierra y cal de tendencia horizontal (UE 353)
- En el exterior occidental de la balsa GU 337 hallamos un espacio rectangular realizado con orientación W-S relizado en *opus caementicium* (UE 317) a modo de cubeta amortizado por el rudus UE 305, y la UE 315. Esta cubeta a su vez se encuentra rellena por un estrato de tierra marrón oscuro (UE 316).

UE	AMB	Definición	Tipo
315	5	Estrato de tierra bajo el <i>rudus</i> UE 305, en el pavimento GU 303	Estrato
316	5	Estrato de tierra marrón oscuro bajo UE 305, en la esquina SW del Ambiente 5, rellenando UE 317	Estrato
317	5	Espacio rectangular realizado con <i>opus caementicium</i> a modo de cubeta amortizado por el <i>rudus</i> UE 305 y relleno por UE 316. Orientación W-S	Estructura
336	5	Estrato de tierra y grava amarillenta en el interior del GU 337	Estrato
337	5	Balsa de orientación NE-SW debajo del pavimento GU 303	Grupo de Unidades
338	5	Muro S de la balsa GU 337	Muro
339	5	Interfaz de destrucción de GU 337	Interfaz
340	5	Escalón en Ambiente 5 debajo de GU 303	Estructura
354	5	Estrato claro de tierra y cal compacta en el interior de GU 337, similar a 353	Estrato

364	5	Estrato de tierra amarillenta y textura suelta, diferenciable del resto de estratos superiores	Estrato
-----	---	--	---------

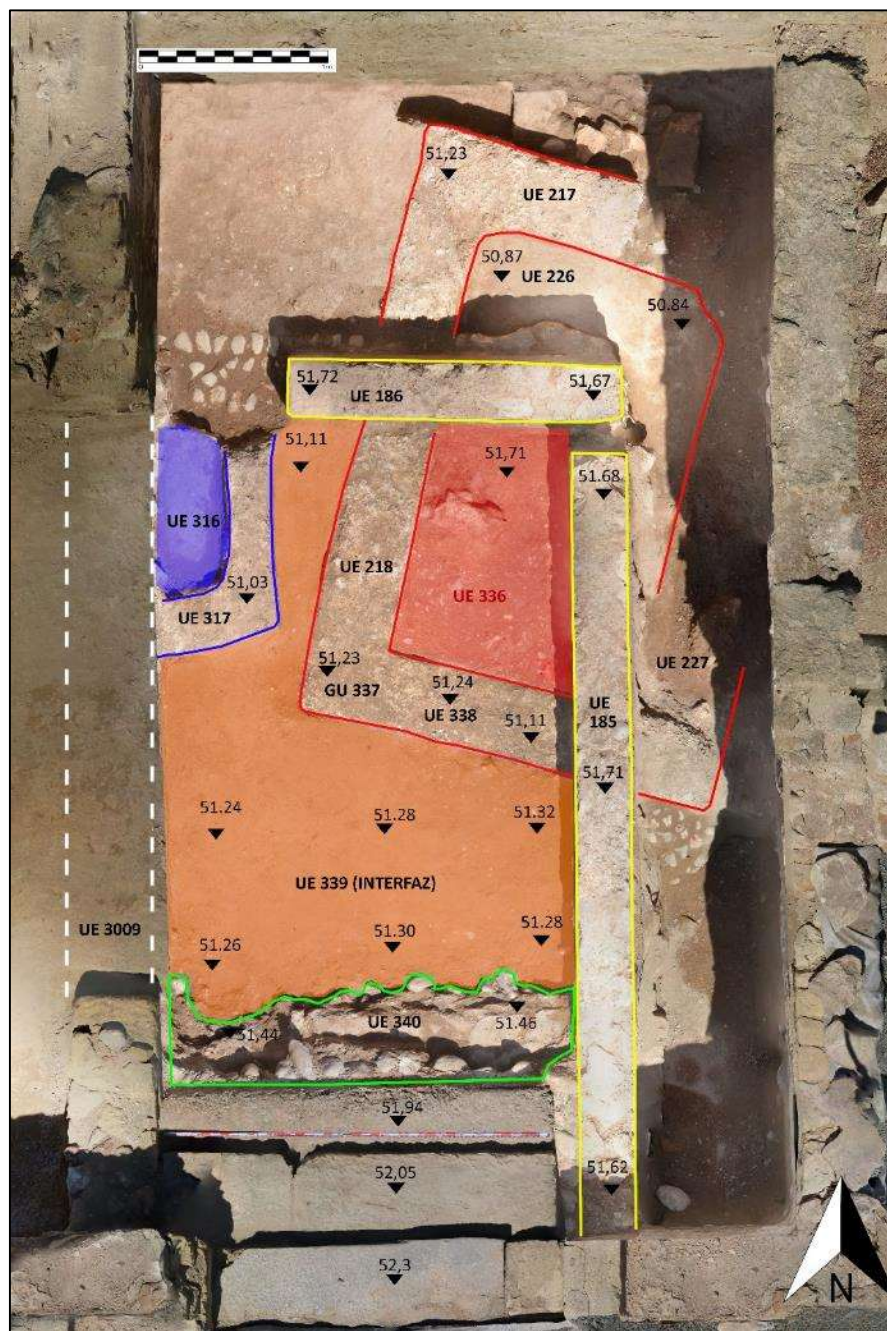


Fig. 22. Interfaz de destrucción de las estructuras y niveles inferiores (UE 339)

La limpieza de la UE 315 al sur del muro UE 338 ofreció la aparición de dos niveles diferenciados de tierra UE 352 y UE 353 que se distinguían entre ellas básicamente por el nivel de compactación. La UE 353 presenta características muy similares a UE 354 pero

la hemos distinguido por hallarse dentro y fuera de la estructura GU 337. Junto a la cimentación de la escalera UE 340 hallamos un estrato (UE 359) de mortero, cal, piedra y tierra sobre UE 353 que parece una colada de mortero de la cimentación del escalón.

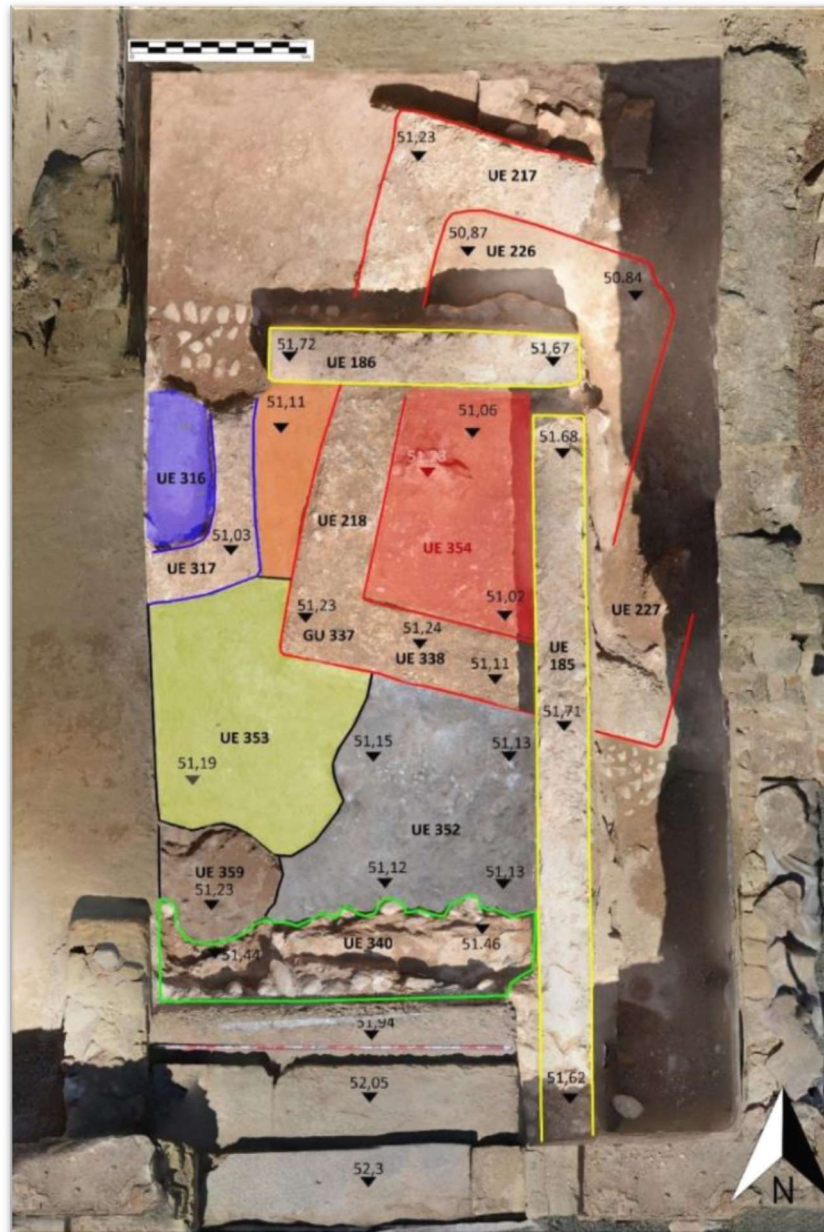


Fig. 23. UUEE 352, 353, 359 y 354 debajo de UE 315

UE	AMB	Definición	Tipo
352	5	Nivel de tierra, grava, piedra y cal bastante suelta debajo de UE 315	Estrato
353	5	Estrato de tierra y cal bastante compacta de tendencia horizontal bajo UE 315 y UE 352	Estrato

354	5	Estrato claro de tierra y cal compacta en el interior de GU 337, similar a 353	Estrato
359	5	Estrato de argamasa y piedra en el ángulo SW del Ambiente 5. Posiblemente igual a 340	Estrato

El levantamiento de los niveles de relleno permite descubrir las estructuras de cimentación de la balsa GU338 formada por un cinturón de adobes (UE383) y piedra (UE403).

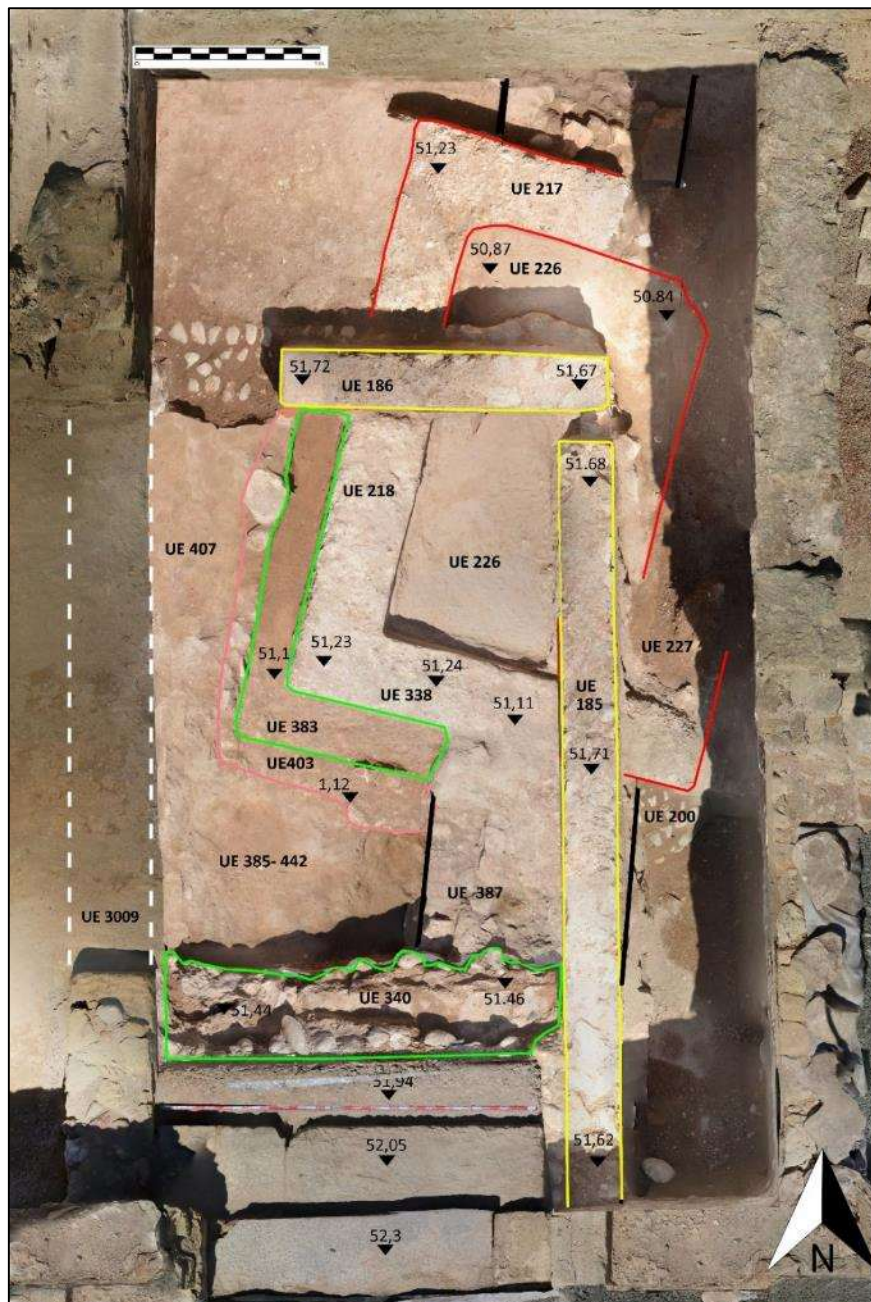


Fig. 24. GU 337 y UUEE 383 Y 403.

UE	AMB	Definición	Tipo
200	5	Base de tendencia horizontal realizada con cantos rodados. Al E del Amb. 4, bajo el muro UE 181 y debajo de la estructura UE 337	Estructura
383	5	Estrato de tierra compacta (posible adobe) sin apenas material arqueológico sobre el que se ha excavado la fosa o hueco de la balsa GU 337	Estrato
384	5	Zapata de fundación del muro UE 3009 debajo del pavimento GU303. La cimentación está realizada con cantos rodados de pequeño tamaño	Estructura
385	5	Fosa rellena de restos de basura (UE 353) en el lado N del Ambiente 5, entre la balsa GU 337 y la escalera	Interfaz
386	5	Solera de cimentación del muro UE 185 sobre muro UE 387 en el interior del Ambiente 5, entre UUEE 185 y 186	Estructura
387	5	Muro de piedra debajo de las estructuras del pavimento de UUEE 303, 305 y 318, con orientación SW-NE	Muro
388	5	Interfaz de recorte en la que se construye la balsa GU 337	Interfaz
403	5	Alineación de piedras E-W paralela al muro S del GU 337, dando forma a UE 383 (al S)	Estructura
407	5	Estrato de tierra al S del GU 337 (383) debajo de UE 403 y 383, sobre el pavimento UE 200	Estrato
442	5	Estrato de tierra con restos de adobe y materia orgánica con poca cerámica sobre el que se recorta la fosa UE 385	Estrato
455	5	Estrato de adobes en el ángulo NW del Ambiente 5, debajo de UUEE 179, 285 y 444	Estrato
337	5	Balsa de orientación NE-SW debajo del pavimento GU 303 formada por los muros UUEE 217, 218, 227 y 338, el pavimento UE 226, los bocelos o cuartos de caña UUEE 230, 231, 232 y 527.	Grupo de Unidades
226	5	Pavimento al NE del Amb. 5, entre los muros UUEE 217, 218 y 227 que tras la excavación de GU303 se ve que es una estructura para contener líquidos GU337 y es el pavimento de la balsa.	Estructura
230	5	Media caña de orientación NE-SW que se adosa a muro UE 218	Estructura
231	5	Media caña de orientación NE-SW que se adosa al muro UE 227	Estructura
232	5	Media caña adosada a los muros UUEE 217 y 228	Estructura
527	5	Cuarto de caña/ bocel de la estructura GU337 al sur de 226 y junto a UE 338	Estructura
225	5	Concentración de mortero de tendencia horizontal en el ángulo de los muros UUEE 217 y 218. Sobre UE 226	Estrato
217	5	Muro de orientación NW-SE al N del Amb. 5. Traba con el muro UE 218	Muro
218	5	Muro de orientación NE-SW al N del Amb. 5. Traba con el muro UE 217	Muro
228	5	Continuación del muro UE 217 a partir de su extremo E	Muro
227	5	Muro de orientación NE-SW bajo UE 176, al E del Amb. 5	Muro
338	5	Muro S de la balsa GU 337	Muro

Tras el levantamiento del nivel de adobes se observa una potente plataforma de cantos rodados (UE200) que encontramos en distintas áreas del Amb.5 a ambos lados de los muros UE185 y 186, dado que estas estructuras se superponen a la balsa GU 338 de la que este nivel de piedras (UE200) constituye su cimentación. Todo el conjunto se construye dentro de una gran fosa (UE445) rellena con un nivel datante muy fiable de tierra y restos cerámicos y orgánicos (UE 446).

Asimismo cabe destacar la aparición en el corte occidental del ambiente 5 que hemos realizado de los restos de la zapata de fundación (UE384) del muro UE3009 que aparece derruido y arrasado en buena parte de A5 al nivel del pavimento GU303, que amortiza esta construcción.

Para realizar la construcción de todo el conjunto GU338 y sus niveles fundacionales se rompe un muro precedente (UE387-181) de 1 m de amplitud que en su lado occidental tiene una fosa fundacional (UE445) rellena por UE446. Sobre este muro (UE387-181) se apoya el muro (UE185). En línea con este segmento de muro encontramos al norte su continuación (UE233) lo que demuestra que este muro de 1m de amplitud fue destruido para construir la balsa GU337.

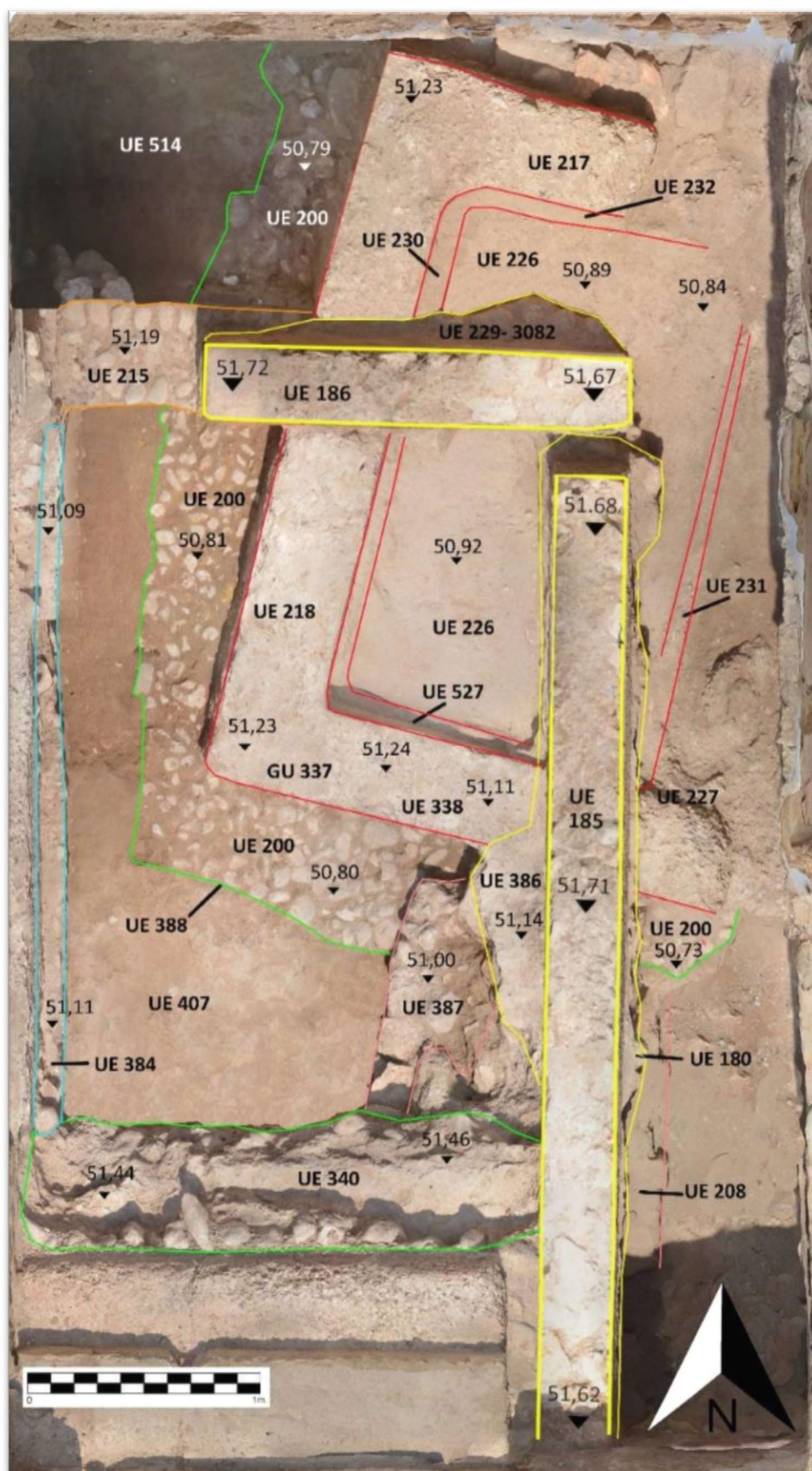


Fig. 25. GU 337 y estado final de la excavación con base UE 220

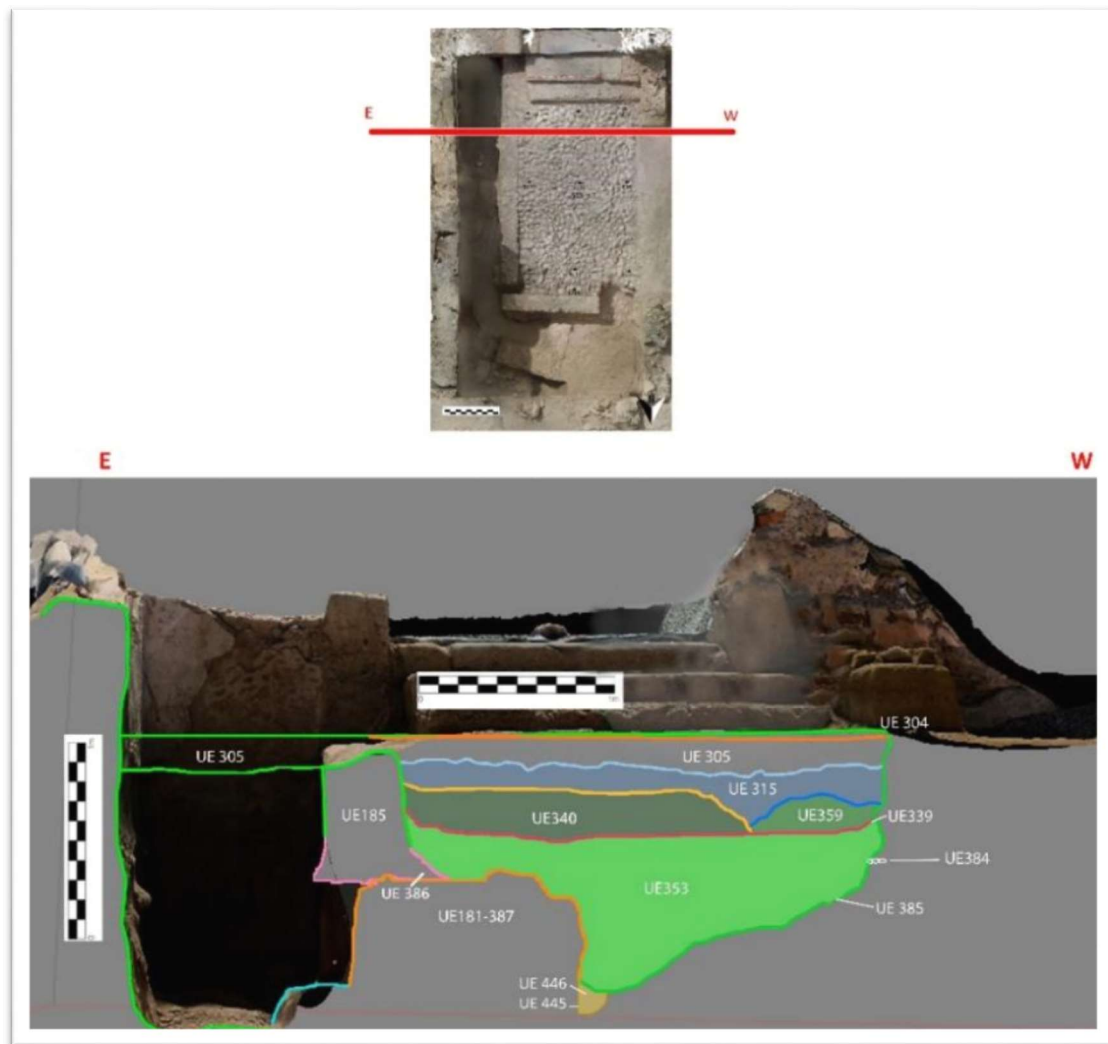


Fig. 26. Sección E-W en Amb 5.

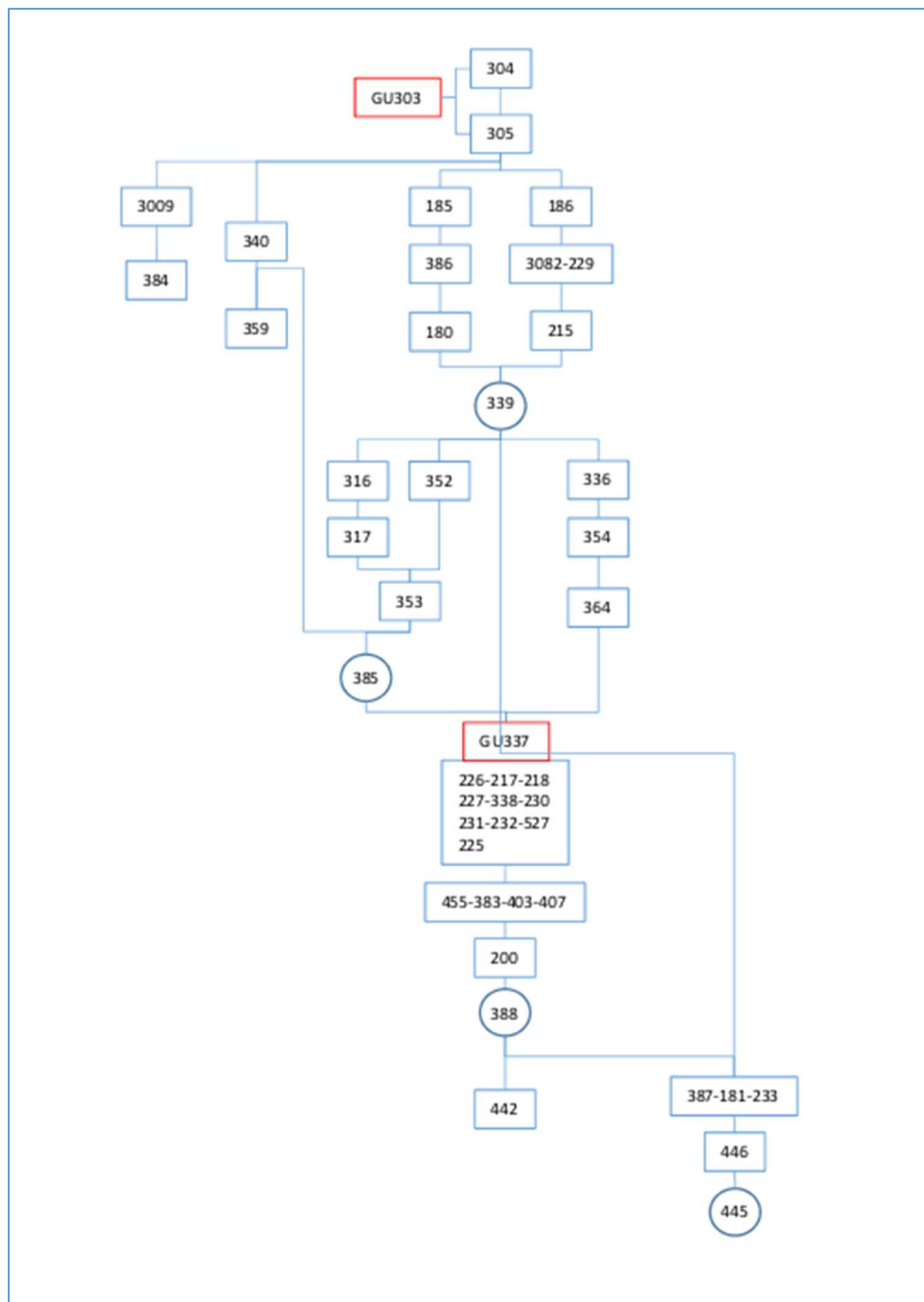


Fig. 27. Diagrama estratigráfico del Amb 5.

6. Sector oriental: Ambientes 24, 29, 30y 31



Fig. 28. Vista en planta de las Termas Orientales con los Ambientes donde hemos destacado con colores los Ambientes intervenidos en esta campaña

La intervención arqueológica desarrollada durante 2017 en este sector del yacimiento nos llevó a detectar un nuevo circuito termal. Pudimos excavar completamente dos de sus estancias -Ambientes 25 y 28-. Del mismo modo documentamos, al menos parcialmente, otras dos: Ambientes 29 y 30-. Uno de los objetivos planteados para la presente campaña pasaba por proseguir la excavación de estos últimos.

Para ello precisábamos hacer avanzar el perfil N provisional fijado en 2017, lo que supuso excavar desde su nivel superficial una explanada en forma de "L", con un brazo largo orientado N-S que mide aproximadamente 7 x 6 m y otro corto, en sentido E-W, de 3 x 2'2 m.

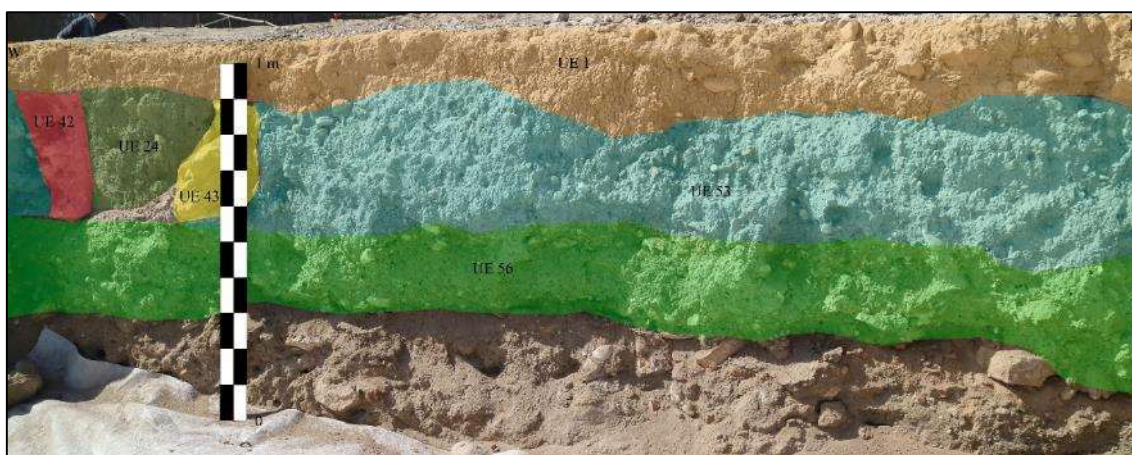


Fig. 29. Perfil N de la campaña de 2017 en el que hemos destacado los paquetes estratigráficos superficiales (UUEE 1, 53 y 56) y la sección de la acequia GU 23 (UUEE 42, 43 y 24)

De este modo, intervenimos en un área que registramos como Sobre Ambientes 29 y 24. Fue excavada estratigráficamente hasta que alcanzamos las estructuras que separaban al Ambiente 29 de los Ambientes 24 y 31. A partir de este momento pudimos intervenir directamente en los Ambientes 29 y 31.

Proseguimos además con la excavación del Ambiente 30, que había quedado inconclusa en 2017. Hicimos lo propio con los niveles del Ambiente 24 que se apoyaban contra la cara externa de las estructuras que delimitan el Ambiente 29.

Recapitulando, las actividades arqueológicas desarrolladas en este sector durante 2018 se dividen en las siguientes áreas de intervención:

- **Sobre Ambientes 29 y 31.** Se trata del conjunto de estructuras y de paquetes estratigráficos documentados en los niveles superiores del Sector, previamente a la identificación de Ambientes en su interior.
- **Ambiente 29.** Estancia cuadrangular situada inmediatamente al N del vano de **UUEE 163 y 164**, a través del cual se comunica con el Ambiente 28.
- **Ambiente 31.** Área ubicada inmediatamente al N del muro **UE 343**, que lo separa del Ambiente 29.
- **Ambiente 30.** Ambiente comprendido entre las estructuras de **UUEE 192, 89, 113 y 189**. Situado al E del Ambiente 28.
- **Ambiente 24.** Área del patio central de las termas que se extiende inmediatamente al N de los Ambientes 3, 4 y 5.

Sobre Ambientes 29 y 31

El perfil N provisional de la campaña 2017 divide la parte excavada de este Sector de la que todavía estaba pendiente de intervenir. Se trata de una amplia explanada en forma de “L”, con un brazo largo orientado N-S que mide aproximadamente 7 x 6 m y otro corto, en sentido E-W, de 3 x 2’2 m. Ambos están cubiertos por una capa superficial **-UE 1-** compuesta por tierra de tonalidad parda, piedras y gravas. Aunque durante el proceso de excavación recuperamos materiales arqueológicos, su presencia era escasa. La cota superior de esta capa oscilaba entre los 53’78 y los 54’18 m (s.n.m.), de tal modo que generaba un nivel de tendencia horizontal.



Fig. 30. Vista general de la explanada cubierta por UE 1 localizada sobre los Ambientes 29 y 31. El perfil N de la campaña 2017 está destacado en rojo

Las actividades arqueológicas se concentraron, en un primer momento, en el brazo largo de la “L”, tarea que se vio dificultada por la presencia de un algarrobo. Una vez iniciado este proceso localizamos estructuras y estratos que habían sido parcialmente documentados en la campaña de 2017.

El tramo de red hidráulica de GU 23

La remoción de la capa superficial -**UE 1**- facilitó la documentación de niveles y estructuras que ya habían sido documentados y parcialmente excavados en 2017. Detectamos, efectivamente, un nuevo tramo del trazado de la acequia **GU 23**, que proseguía su recorrido en dirección N a lo largo de 5'1 m:

- **UE 42.** Muro de mortero de cal que constituye el extremo W del canal. Su anchura, de 0'12 m, se mantiene constante a lo largo del nuevo tramo de trazado. Su altura total, desde su fundación hasta su alzado conservado es de aproximadamente 0'43 m.

- **UE 43.** Paralelo al anterior y a 0'4 m de distancia al E del mismo, registramos otro muro de idéntica composición, anchura y orientación. Se trata del extremo opuesto del canal que, en este caso, conserva una altura máxima 0'38 m.



Fig. 31. Planta estratigráfica con la ubicación de la acequia GU 23

Los dos brazales de la canalización de agua están excavados en **UE 53**, un estrato de tierra de tonalidad castaño-anaranjada y de tendencia horizontal situado bajo **UE 1** que abarca toda la superficie del corte. Fue interpretada como el suelo agrícola asociado al canal de riego de **UE 23**. Asignamos la **UE 180** al recorte practicado en el suelo **UE 53** para instalar los muros del canal. Sus paredes son el único elemento construido en este tramo de la acequia. Carece por tanto de un fondo de obra: es el propio terreno recortado entre ambos muros el que ejerce esta función. Precisamente por este motivo hemos identificado este nivel con una interfaz **-UE 57-**.

El canal estaba colmatado por un paquete de tierra disgregada de tonalidad grisácea, que corresponde a su abandono y amortización, registrada como **UE 24**.



Fig. 32. Vista del nuevo tramo de la acequia GU 23 tras el vaciado de su relleno

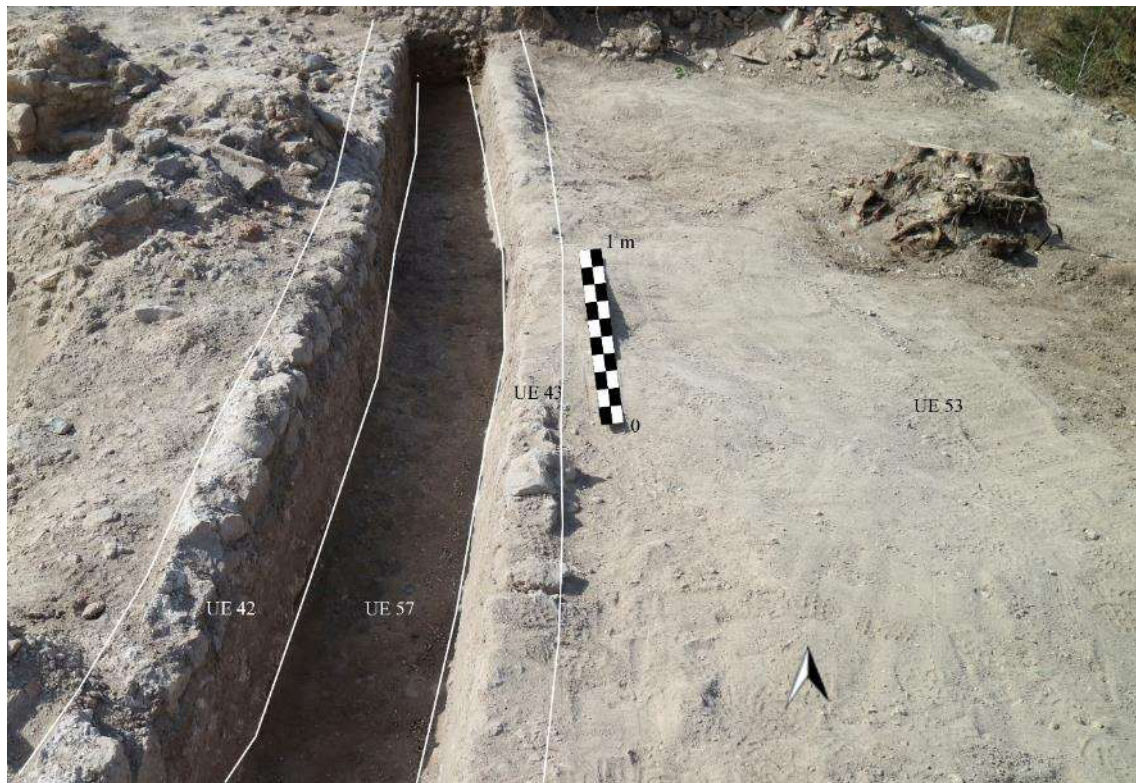


Fig. 33. Vista en detalle del nuevo tramo de la acequia GU 23 tras excavar su relleno



Fig. 34. Vista de la sección de la acequia GU 23 tras el vaciado de su relleno desde el perfil N

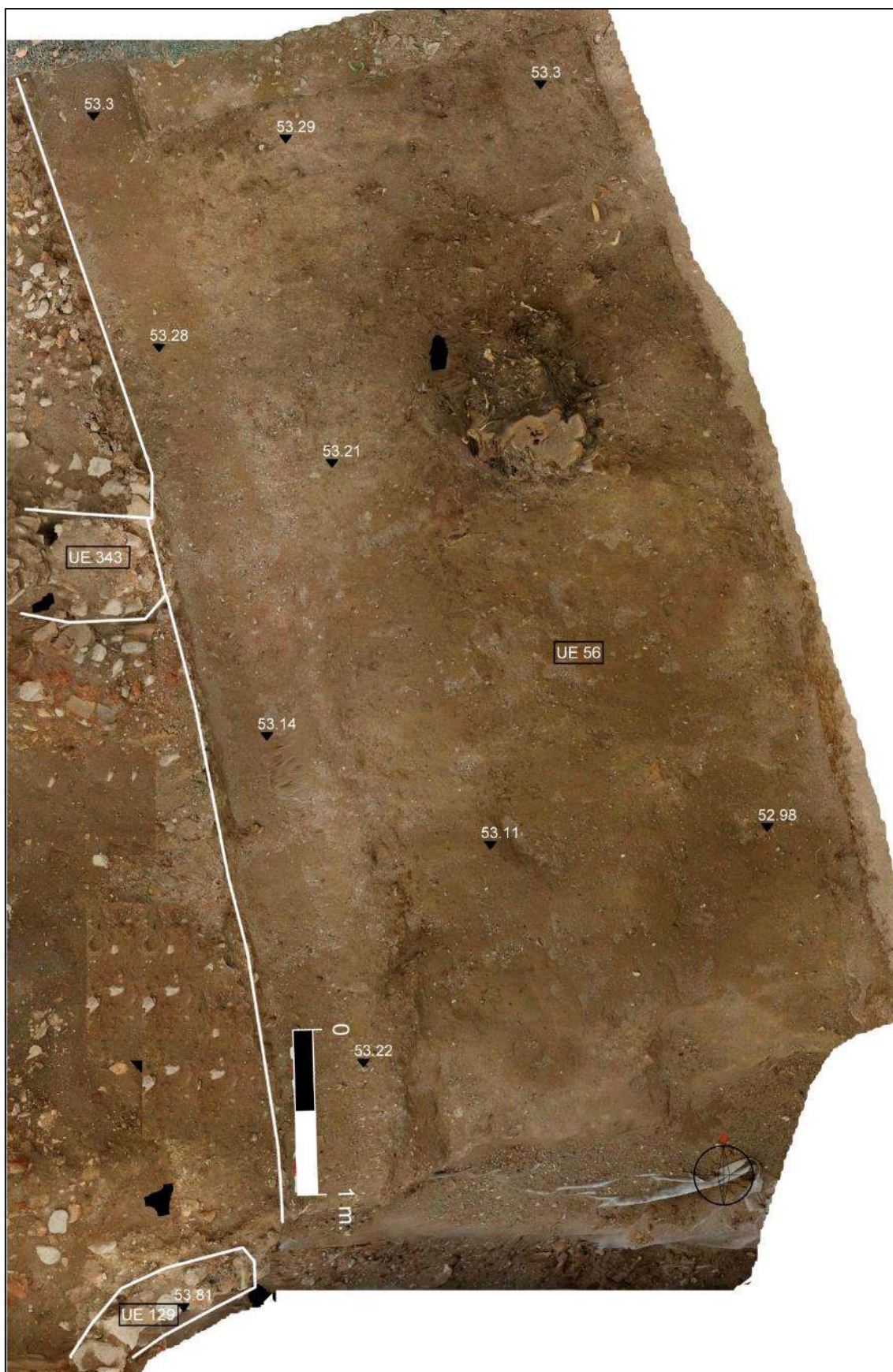


Fig. 35. Planta estratigráfica resultante tras el desmonte de la acequia GU 23 y de la excavación de UE 53

Una vez vaciado el interior de la acequia -**UE 24**- y tras haber documentado esta estructura procedimos a su desmonte para, a continuación, excavar el suelo agrícola -**UE 53**- con el que se relacionaba. Bajo esta capa encontramos un nuevo nivel de tendencia horizontal -**UE 56**-, compuesto por tierra de tonalidad marrón oscuro, piedras y gravas. La presencia de materiales arqueológicos era escasa. Este paquete -**UE 56**-, que ya fue documentado y parcialmente excavado en la campaña 2017, corresponde a la colmatación natural del terreno sobre los niveles arqueológicos. Con su remoción detectamos parte de **UE 343**, un muro de orientación E-W que cierra el Ambiente 29 por su extremo N y lo separa del Ambiente 31.



Fig. 36. Vista del corte tras la remoción de UE 53, donde se aprecia parte del muro UE 343

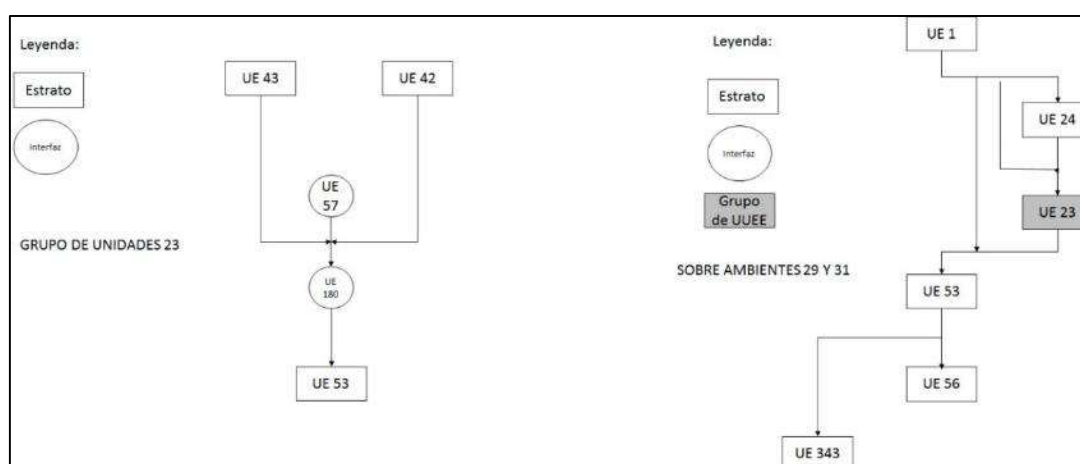


Fig. 37. Diagrama estratigráfico de la excavación realizada en la campaña 2018 sobre los Ambientes 29 y 31

Ambiente 29

Estructuras y primeros niveles arqueológicos



Fig. 38. Planta estratigráfica del Ambiente 29 tras la retirada de la UE 56

Se trata de una habitación cuadrangular cuyas dimensiones son de 5'4 x 4'6 m. Su extremo NE no pudo ser excavado por cuestiones logísticas: es el único paso habilitado en el Sector Oriental para la retirada de tierras procedentes de la excavación. Las estructuras que lo delimitan son:

- **UUEE 3304, 73 y 113**, que constituyen el límite S. Entre los dos últimos -**UUEE 73 y 113**- se abre un vano formado por las **UUEE 163 y 164**, que facilita la comunicación con el Ambiente 28. El primero -**UE 3304**- es un gran muro de mampuestos de pequeño tamaño trabados con mortero de cal, orientado en sentido N-S. Mide 5'3 m de longitud y su anchura es variable. En su punto más

ancho alcanza los 0'8 m. En cuanto a **UE 73**, es una estructura en forma de "L" donde su brazo largo -orientado N-S- mide 0'6 m y el corto 0'3 m. Arranca desde la cara E del muro **UE 3304** y está compuesta de mampuestos de pequeño tamaño trabados con mortero de cal. En último lugar tenemos al muro **UE 113**, que presenta el mismo aparejo. Está ligeramente orientado en sentido NW-SE y sus dimensiones son 3'7 x 0'85. Su cara W es el otro vano de acceso al Ambiente.

- **UE 144**, su límite W. Arranca de la cara N del muro **UE 3304**, más concretamente de su extremo W, formando un ángulo recto. Mide 4'6 x 0'42 m y está formado por mampuestos trabados con mortero de cal.
- **UE 358**, que cierra la estancia por su lado W y la separa del Ambiente 30. Forma ángulo recto con el muro **UE 144**, con el que traba y comparte aparejo. Aunque sus dimensiones completas son de 5'4 x 0'6 m faltan por sacar a la luz 0'9 m de su tramo oriental.
- **UE 343 y 471**, dos tramos del mismo muro que constituyen el extremo N del Ambiente y que marca la línea divisoria frente al Ambiente 31. Están separados por la fosa del algarrobo -**UE 400**-, que parte en dos su recorrido. Su anchura es de 0'52 m. No se pudo documentar parte de su trazado -que completo mide 4'6 m- ya que, tal y como ocurre con **UE 358**, parte de este muro está situado en una zona del Ambiente donde no se ha podido intervenir arqueológicamente por cuestiones logísticas de la excavación. Traba con los muros **UUEE 113 y 343**.

Durante la campaña 2017 se excavó una estrecha franja de este Ambiente, situada inmediatamente al N del muro **UE 113**. Tal y como cabía esperar, la apertura de todo el Ambiente permitió, tras retirar **UE 56**, proseguir con la documentación de una serie de estratos ya conocidos:

- **UE 85**. Nivel de tierra de tendencia horizontal con una elevada presencia de mortero disgregado y de fragmentos de enlucido parietal, localizado en la parte occidental del Ambiente.
- **UE 72**. Nivel de tendencia horizontal y tonalidad naranja a causa de la presencia de ladrillo y adobes -o tapial- disgregados.
- **UE 99**. Estrato arenoso, muy disgregado, de tonalidad castaña que rellena a la fosa **UE 98**.

- **UE 98.** Recorte practicado en **UUEE 85 y 72**, relleno por **UE 99**.

En el extremo N de la estancia identificamos un nuevo estrato que no había sido identificado con anterioridad. Nos referimos a **UE 351**, un nivel de tierra muy disgregada de tonalidad grisácea que rellena a una fosa -**UE 350**-.

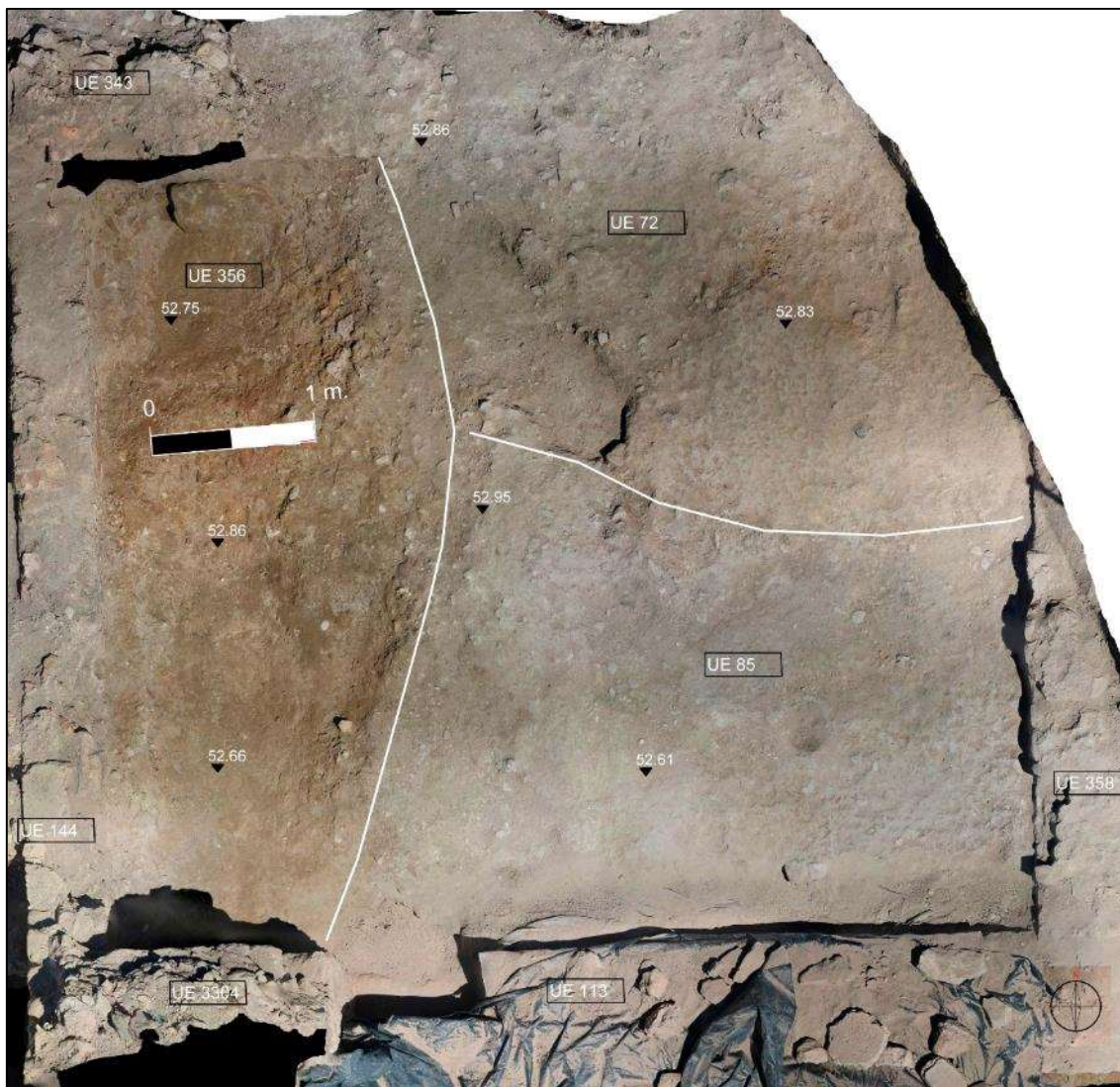


Fig. 39. Planta estratigráfica del Ambiente 30 tras vaciar las fosas de UUEE 98 y 350

Una vez delimitadas estas fosas -**UUEE 98 y 350**- retiramos sus respectivos rellenos dejando visibles en superficie únicamente los estratos **UUEE 72 y 85** en la práctica totalidad de la estancia salvo en su extremo occidental.

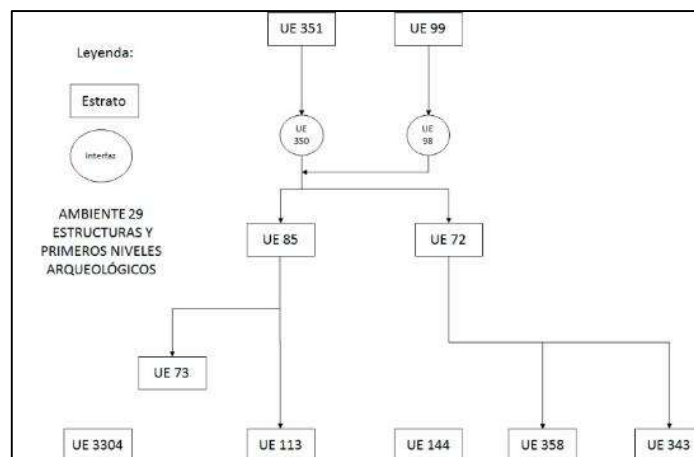


Fig. 40. Diagrama estratigráfico de las estructuras y niveles superficiales del Amb. 29

Limpieza del extremo N del muro UE 3304

Antes de continuar con la excavación estratigráfica del Ambiente 29 optamos por intervenir en su extremo W. El muro de **UE 3304** finalizaba su trazado hacia el N tras formar ángulo recto con la estructura **UE 73**. Quedaba pendiente definir este extremo del corte, que había quedado separado del resto de la estancia por el canal de la acequia **GU 23**.

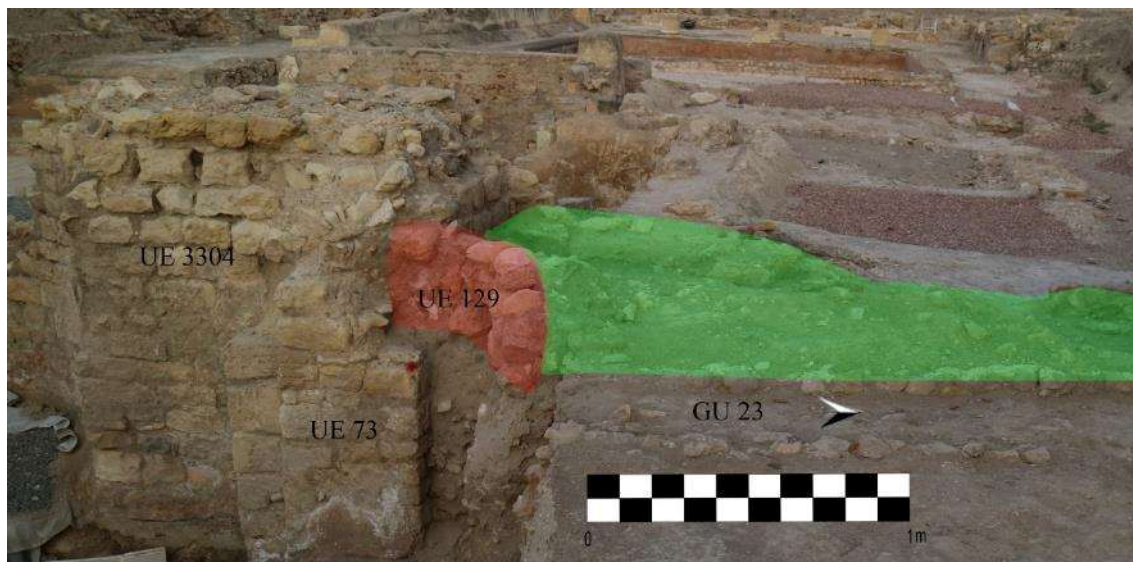


Fig. 41. Vista de la zona donde se practicó la limpieza. Distinguimos los muros de UUEE 3304 y 73, así como la acequia de GU 23. Destacamos en rojo la estructura UE 129 y marcamos de verde el resto del área de intervención



Fig. 42. Vista en detalle del nivel de derrumbe UE 123

Este muro -**UE 3304**- definía una cara en el N. Apoyada contra ella y extendiéndose en sobre una superficie de 5 x 1'4 m (el espacio existente entre el extremo W del Ambiente 29 y la acequia de **GU 23**), documentamos un cúmulo de tierra y de abundantes piedras dispuestas en un talud descendente en sentido S-N. Interpretado como parte del colapso del muro, fue registrado como **UE 123**. Su remoción sacó a la luz nuevas UUEE:

- **UE 129.** Estructura de piedras desbastadas de tamaño mediano (0'2 m de lado) dispuestas en una hilera de anchura y dos de altura, formando un cuarto de circunferencia. Su extremo W se apoya directamente en la cara N del muro **UE 3304**, mientras que su extremo E hace lo propio en el muro de acequia de **UE 42**. Al igual que la acequia, se asienta en **UE 53**. Fue interpretado como algún tipo de estructura posterior a la construcción de la acequia de finales del siglo XIX, probablemente relacionada con ella.
- **UE 125.** Capa de tierra de tonalidad castaña clara que se apoya contra las estructuras **UUEE 3304** y **129**.
- **UE 127.** Nivel de tierra de tendencia horizontal de tonalidad castaño, con presencia de gravas y de mortero disgregado.
- **UE 128.** Recorte del terreno practicado en el nivel situado bajo **UE 123**, ocupando el espacio central de la superficie a la que cubre este derrumbe. Recorta a **UUEE 125** y **127**. No se pudieron hallar sus límites E y W -el primero fue cortado por la construcción de la acequia de **GU 23** y el segundo fue excavado en las campañas 1998-2000-, tal y como exponemos en el apartado correspondiente al Ambiente 24.
- **UE 126.** Estrato de tierra de tonalidad cenicienta que rellena a la fosa de **UE 128**.

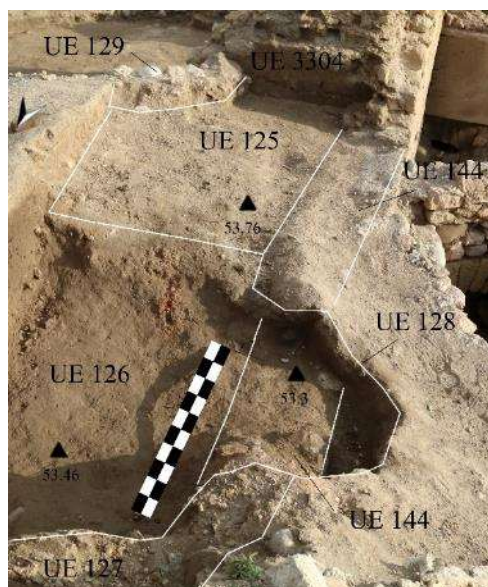


Fig. 43. Vista en detalle del proceso de excavación de la fosa UE 128 con la remoción parcial de su relleno superficial, UE 126. Se aprecian sus efectos en el muro UE 144

Una vez desmontada la estructura de **UE 129** iniciamos la excavación de los distintos niveles detectados en superficie. La remoción de las **UE 126** desveló que toda la superficie de esta área estaba cubierta por un nivel de tierra de tonalidad gris -**UE 143**-, con presencia de restos de enlucidos y de materiales arqueológicos. También sacó a la luz a un muro de orientación N-S que traba con la cara N del muro de **UE 3304**: **UE 144**. Se trata del muro que delimita el Ambiente 29 en su extremo W. Detectamos un recorte en la parte central de su trazado, que coincide con la disposición de **UUEE 143** y **126**. Interpretamos, por tanto, que **UE 143** formaba parte del relleno de la fosa **UE 128**.

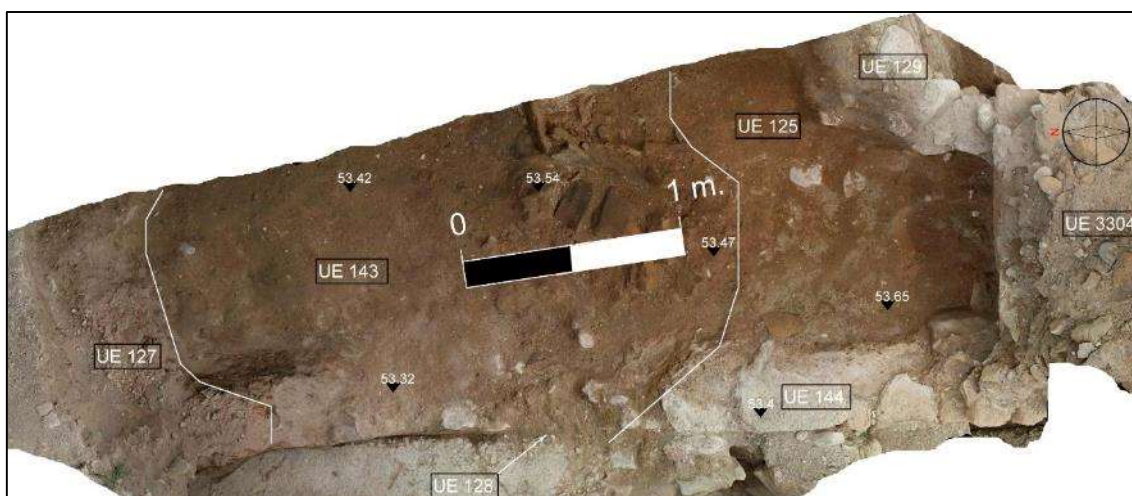


Fig. 44. Planta estratigráfica de la fosa UE 128 tras la retirada de UE 126

La disposición de la fosa **UE 128**, su morfología y la composición de sus rellenos nos llevaron a relacionarla con la fosa **UE 350** y su colmatación **UE 351**, ubicadas al otro lado de la acequia **GU 23**. Interpretamos que se trataba de un mismo basurero, el cual fue cortado durante la realización de la acequia.

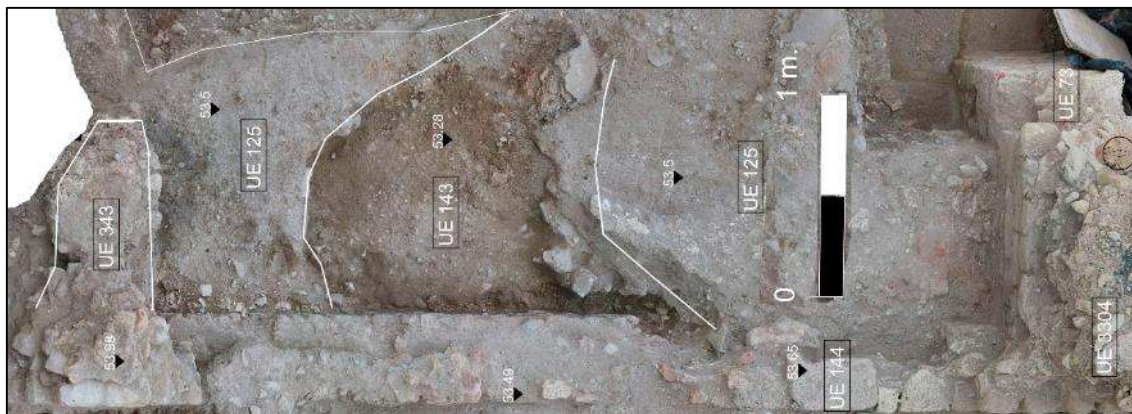


Fig. 45. Planta estratigráfica del extremo E del Ambiente 29 tras la remoción de UE 127 y durante el proceso de retirada de UE 143

La retirada de **UE 127** había sacado a la luz el tramo N del muro **UE 144** y su engarce con el muro **UE 343**. Bajo este nivel encontramos el mismo estrato que ya había sido documentado en el extremo N: **UE 125**. Proseguimos con el vaciado de la fosa que cortaba a este estrato -**UE 128**- mediante la retirada de su relleno inferior, **UE 143**.

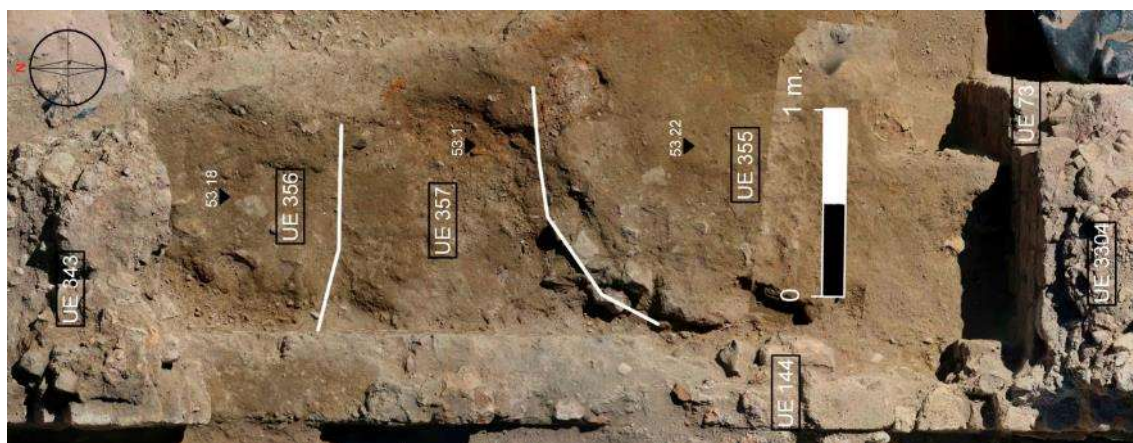


Fig. 46. Planta estratigráfica del extremo W del Ambiente tras la remoción de UE 125

Finalizamos la extracción de los rellenos de la fosa **UE 128** para, inmediatamente después, comenzar a desmontar la capa a la que había recortado -**UE 125**-. Bajo la misma hallamos las siguientes UUEE:

- **UE 355.** Se trata de un estrato de tonalidad castaño claro y de textura muy disgregada situado en el extremo meridional de esta área, contra los muros **UUEE 3304 y 144**.
- **UE 356.** Paquete de tierra y material constructivo situado en el extremo septentrional del área, contra los muros **UUEE 343 y 144**.
- **UE 357.** Capa de tierra de tonalidad anaranjada, cubierta parcialmente por **UE 355**.

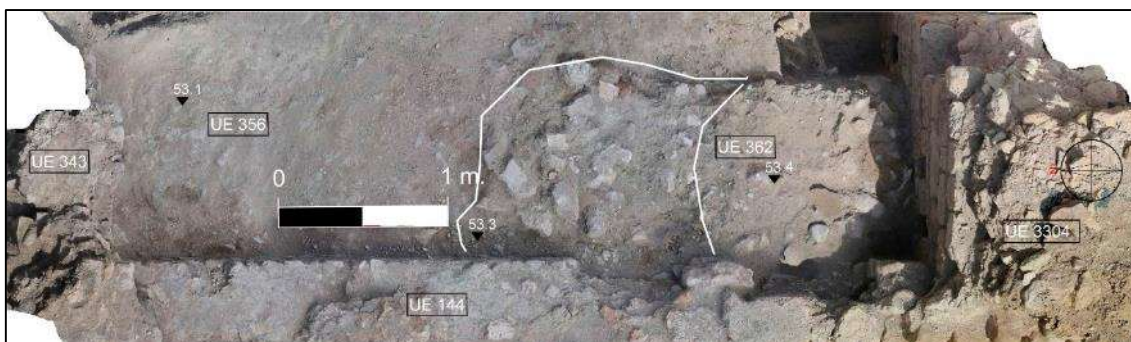


Fig. 47. Planta estratigráfica del extremo W del Ambiente 29 tras la remoción de UUEE 355 y 357

Retiramos las capas superiores -**UUEE 355 y 357**- haciendo visible una mayor superficie del nivel **UE 356** y de otro paquete estratigráfico: **UE 362**. Es un nivel ceniciento de tendencia horizontal con presencia de piedras que se apoya contra los muros **UUEE 144 y 3304**.

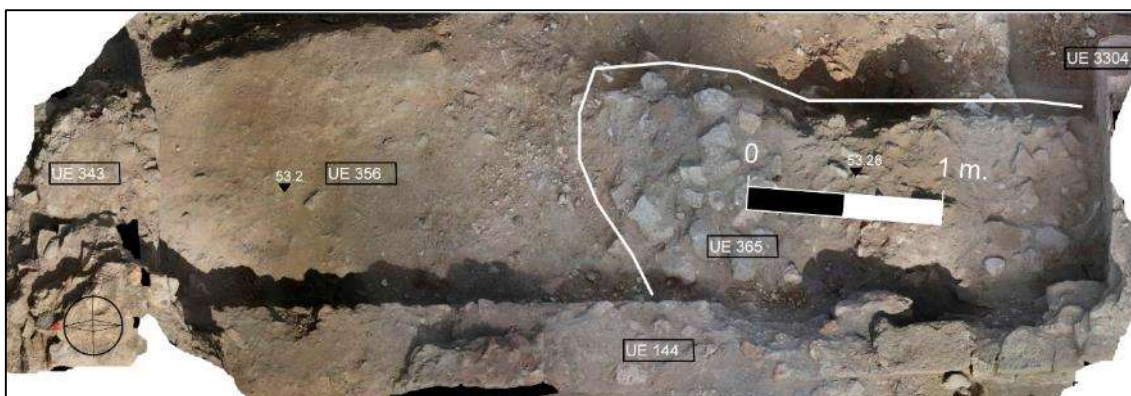


Fig. 48. Planta estratigráfica del extremo W del Ambiente 29 tras la remoción de UE 362

Finalmente, bajo **UE 362** apareció un cúmulo de tierra de tonalidad marrón oscuro mezclada con material de construcción -**UE 365**-, donde destaca la presencia de fragmentos de enlucido parietal y, sobre todo, de mampuestos procedentes de estructuras.

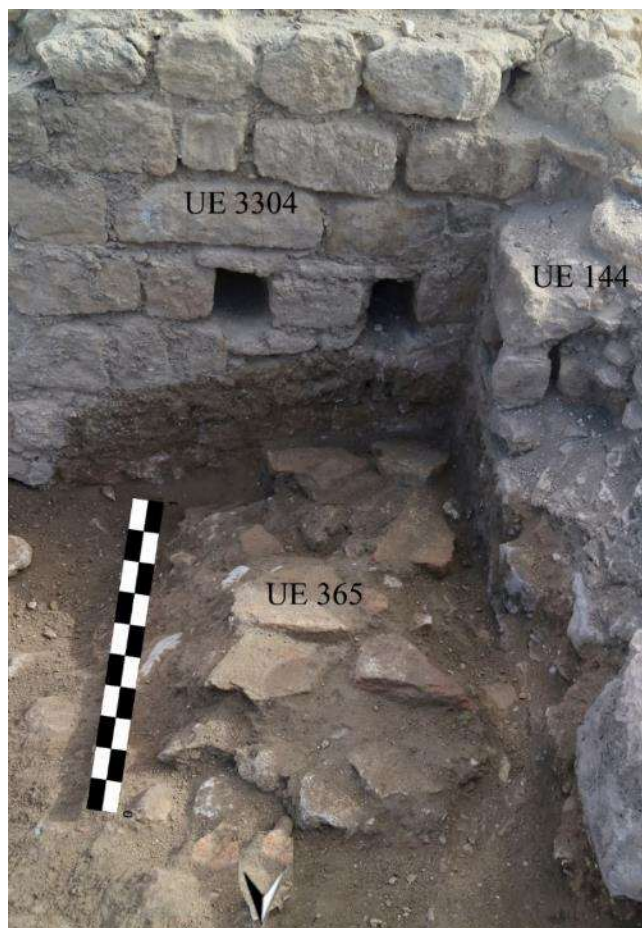


Fig. 49. Vista en detalle de la UE 365 donde se aprecia la presencia de los materiales de construcción

Tras excavarlo comprobamos que **UE 356** se extendía por toda el área y que, además, era similar en composición a una de las capas documentadas en otra parte del Ambiente 29 -**UE 85**-. Recapitulando, podemos afirmar que el conjunto de UUEE documentadas en esta parte del Ambiente son de tipo arqueológico. De ello se deduce que únicamente su parte E, al otro lado de la acequia **GU 23**, estuvo dedicada a la explotación agrícola: no encontramos suelo de cultivo alguno sino niveles arqueológicos que, en el extremo opuesto de la estancia, fueron destruidos hasta el nivel inmediatamente inferior a **UE 56**. Llegados a este punto, ya con un mismo nivel arqueológico en todo el Ambiente 29, retomamos la excavación de toda la estancia de manera simultánea.

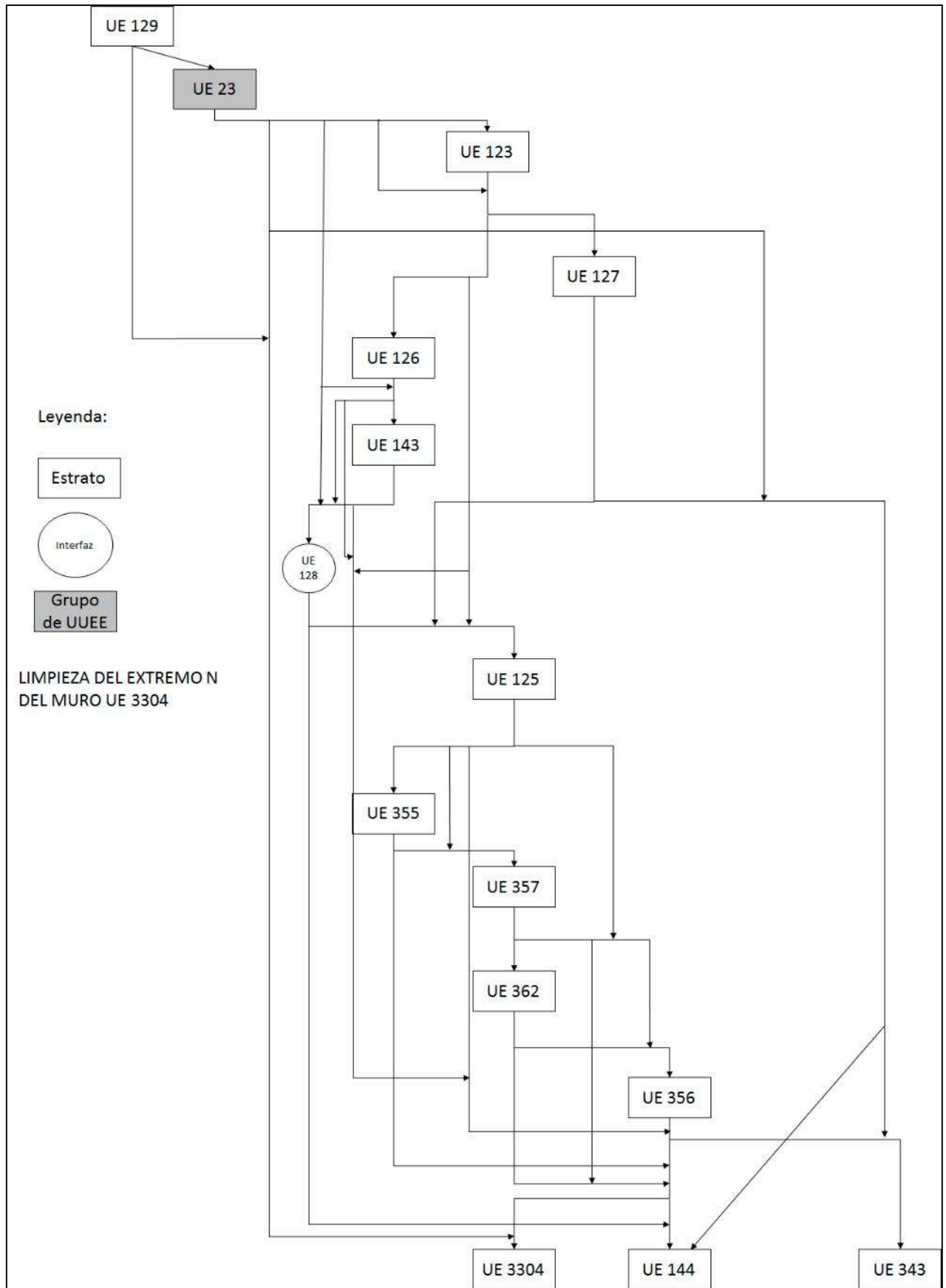


Fig. 50. Diagrama estratigráfico de la limpieza del extremo N del muro UE 3304

Niveles de uso y abandono

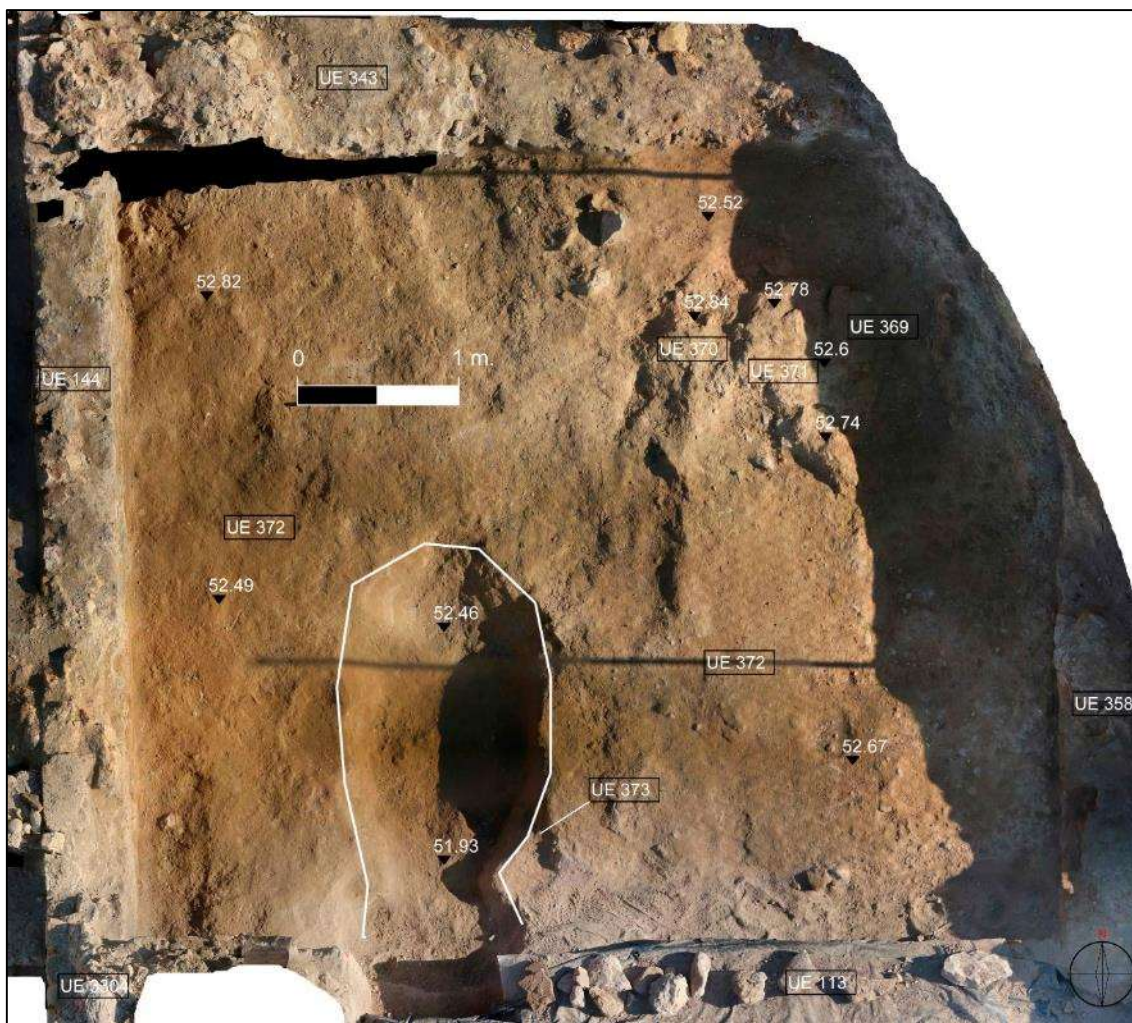


Fig. 51. Planta estratigráfica del Ambiente 29

Tal y como ya hemos expuesto, tras excavar todo el extremo W del Ambiente 29 hasta alcanzar la **UE 356** y habiendo hecho lo propio en el resto de la estancia dejando a la luz las **UE 72** y **85** unificamos finalmente toda la planta de este espacio: **UE 85** y **UE 356** eran el mismo estrato, el cual además se extendía por prácticamente toda la superficie de la habitación. Quedó unificado como **UE 356**.

Retomamos nuestra actividad mediante la retirada de **UE 72**, a la que siguió la excavación de **UE 356**. Durante este proceso se recuperó una abundante cantidad de material constructivo claramente relacionado con estancias termales romanas, como fragmentos de mosaico, de estuco parietal o de *clavi coctiles*. También apareció material

pétreo, dentro del cual destacamos particularmente una gran laja de piedra moldurada que fue individualizada como un elemento singular bajo la **UE 366**.



Fig. 52. Vista en detalle del proceso de excavación de UE 356 y de la moldura de piedra UE 366 hallada en su interior

Bajo esta capa **-UE 356-** hallamos un nuevo nivel de tendencia horizontal **-UE 372-**, de textura arcillosa y tonalidad amarillenta, que se extendía por todo el Ambiente 29. Presentaba un recorte de forma ovalada en su extremo S, próximo al vano que lo comunicaba con el Ambiente 28. Identificado como **UE 373**, estaba relleno por un paquete estratigráfico **-UE 374-** de tierra de tonalidad marrón mezclada con piedras y con restos de materiales constructivos romanos, entre los que abundaban los fragmentos de enlucido.

Además, en el ángulo NE de la estancia encontramos una estructura de barro, orientada en sentido NE-SW. Presentaba dos paredes paralelas **-UE 369 y UE 370-** que flanquean un pequeño corredor central, colmatado por tierra de tonalidad cenicienta **-UE 371-**. Interpretamos que se trataba de parte de la cubierta de un horno.

Continuamos nuestra intervención en el Ambiente 29 excavando la fosa **UE 373** y excavando el nivel comprendido entre las paredes de barro pertenecientes al horno **-UE**

371- para, inmediatamente después, retirar el estrato superficial **UE 372**. Este paquete estratigráfico, por su relación con el horno, fue interpretado como el nivel de uso asociado al horno que, tras su abandono, fue colmatado por **UE 356**.

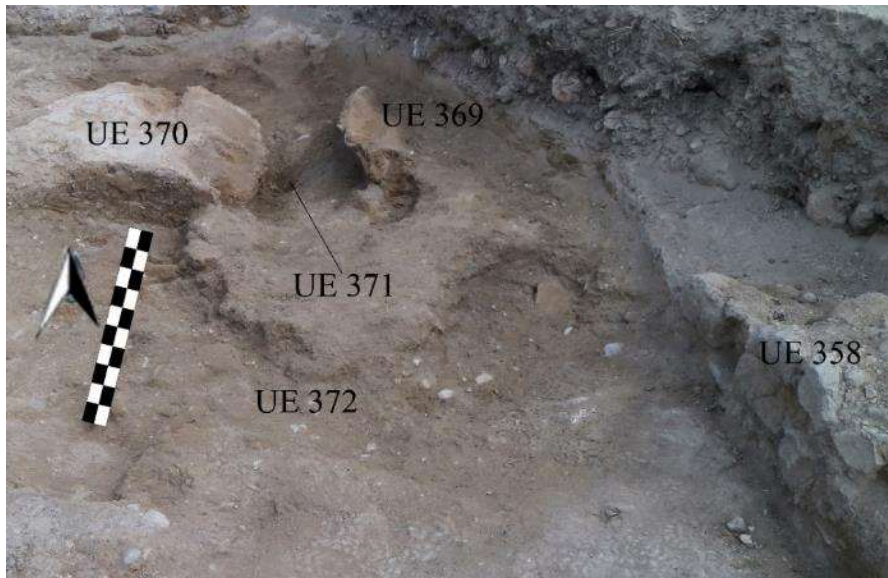


Fig. 53. Vista en detalle de la superestructura del horno

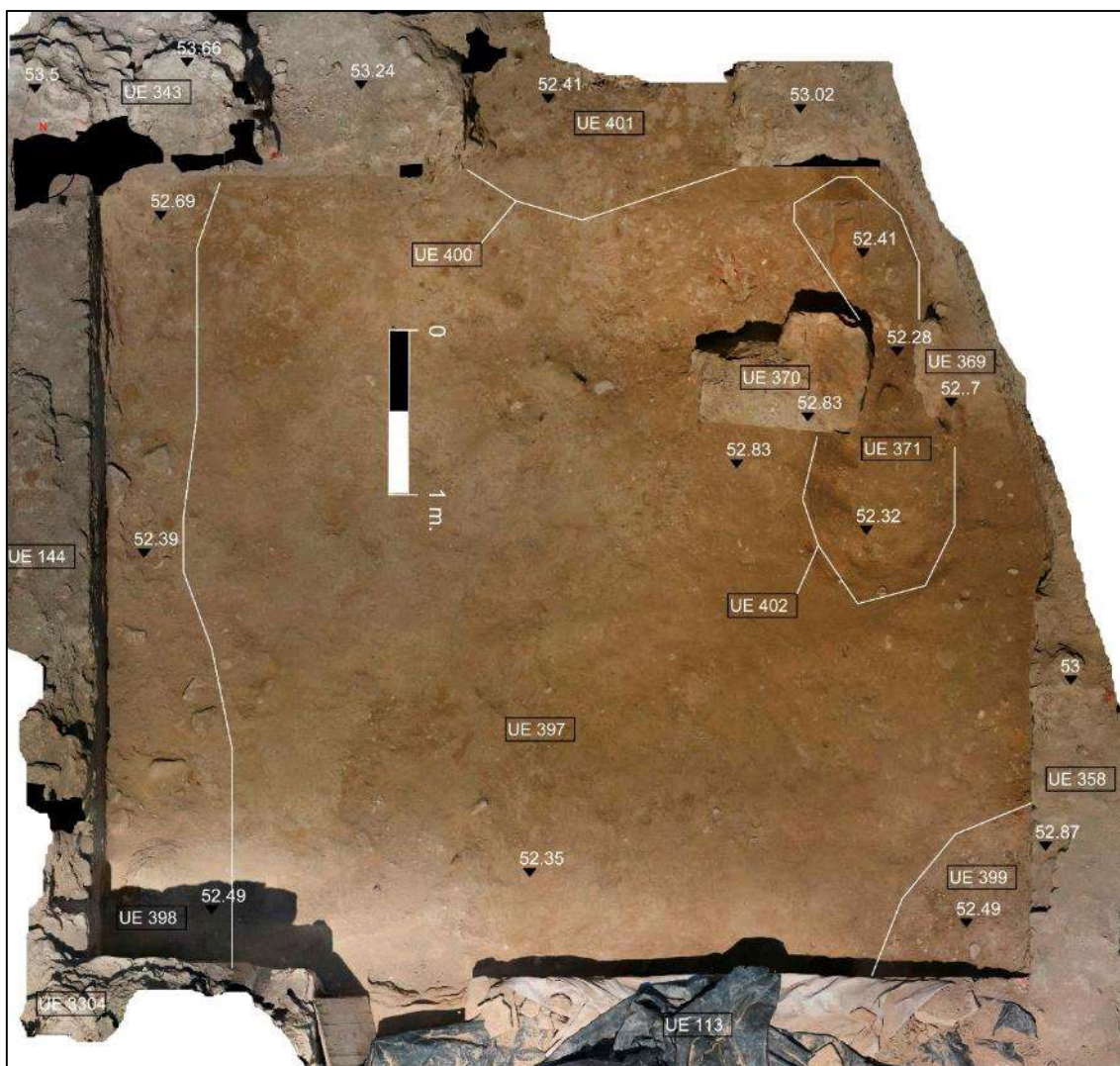


Fig. 54. Planta estratigráfica del Ambiente 29 tras retirar UE 372

La remoción del nivel de uso **UE 372** asociado al horno de **UUEE 369** y **370** nos llevó a documentar dos paquetes estratigráficos relacionados con el colapso de las estructuras del Ambiente:

- **UE 398.** Acumulación de tierra de textura granulosa y tonalidad amarillenta, con una elevada presencia de restos de mortero y de fragmentos de enlucido, situada en el extremo W de la estancia. Se apoya contra los muros **UE 3304**, **343** y **144** y siguiendo la orientación de este último.
- **UE 399.** Estrato similar en composición a **UE 398**, situado en el ángulo SE del Ambiente 30.

Ambos estratos -**UUEE 398 y 399**- fueron hallados sobre un nivel horizontal arcilloso y de textura amarillenta, marcado por la presencia de ceniza y cal, que se extiende por toda la habitación bajo **UE 372**. Nos referimos a **UE 397**, interpretado como el nivel de suelo de la fase de uso del horno.

La excavación de **UE 372** también permitió clarificar la situación del extremo N de la estancia, ya que facilitó la limpieza del muro **UE 343** y la definición de su trazado hacia el E. Durante esta actividad, en la zona central, detectamos una fosa -**UE 401**- con un relleno -**UE 400**- con presencia de materiales contemporáneos. Corresponde a la fosa del algarrobo, que corta en dos la parte superior del muro N del Ambiente 29 y lo divide en dos tramos: **UE 343** y **UE 479**.

Tras documentar este nuevo conjunto estratigráfico procedimos a la retirada de los derrumbes **UUEE 398 y 399** para dejar expedito el nivel de suelo **UE 397**.

Inmediatamente después acometimos la excavación de la colmatación natural situada entre los restos visibles del horno -**UE 371**-. Tras hacerlo pudimos acometer el desmonte de la superestructura de barro del horno -**UUEE 369 y 370**- con el fin de acceder a su parte subterránea. Quedó completamente visible la planta de su cámara -**UE 402**-, un recorte circular en su extremo S unido a un estrechamiento en su parte N que acaba convirtiéndose en un canal. Bajo su relleno **UE 371** hallamos un nuevo nivel de cenizas -**UE 435**-.



Fig. 55. Planta estratigráfica del Ambiente 29 tras retirar UE 397

La remoción del nivel de suelo asociado al horno -**UE 397**- reveló que fue asentado sobre la parte superior de un basurero: **UE 436**. Hallamos, efectivamente, un estrato de tierra de tonalidad grisácea con presencia de piedras y material de construcción situado por debajo del nivel de cota -52'34 m (s.n.m.) de la línea del pavimento original del Ambiente 30, cuya impronta -**UE 486**- todavía es visible en sus muros. Tal y como ya se documentó en el Ambiente 28, el suelo del Ambiente 29 fue roto por la fosa **UE 334** y, en este caso, fue retirado completamente- para verter basura en su interior.

Finalizamos asimismo la extracción del nivel de cenizas **UE 435** de la cámara interna del horno hallando su fondo -**UE 443**-, que estaba recortado directamente en el basurero **UE 436**.



Fig. 56. Vista en detalle del fondo del horno UE 443

Tras haber exhumado los muros del Ambiente 29 hasta la altura de su pavimento nos encontrábamos en disposición de mostrar, en conjunto, las evidencias de su sistema de *concameratio* que venía a confirmar su interpretación como una estancia termal calefactada: todos los lienzos contaban con unas oquedades cuadradas de aproximadamente 0'14 m de lado aproximadamente destinadas a encajar en su interior *clavi coctiles*, parcialmente conservados -en algunos casos- en el interior de estos orificios. Para poder referirnos con la precisión necesaria a la localización de cada uno de ellos emplearemos un sistema de coordenadas para cada muro.

- **UE 410.** Orificio para *concameratio* en la cara N del muro **UE 3304**, en posición B1.
- **UE 411.** Orificio para *concameratio* en la cara N del muro **UE 3304**, en posición C1.

- **UE 412.** Orificio para *concameratio* en la cara N del muro **UE 3304**, en posición B2.
- **UE 413.** Orificio para *concameratio* en la cara N del muro **UE 3304**, en posición C2.
- **UE 414.** Orificio para *concameratio* en la cara N del muro **UE 3304**, en posición A3.
- **UE 415.** Orificio para *concameratio* en la cara N del muro **UE 3304**, en posición B3.
- **UE 416.** Orificio para *concameratio* en la cara N del muro **UE 3304**, en posición C3.
- **UE 516.** Fragmento de *clavus coctile* inserto en el orificio **UE 416**.

El conjunto de orificios de *concameratio* y de sus *clavi coctiles* fue unificado como **GU 522**.

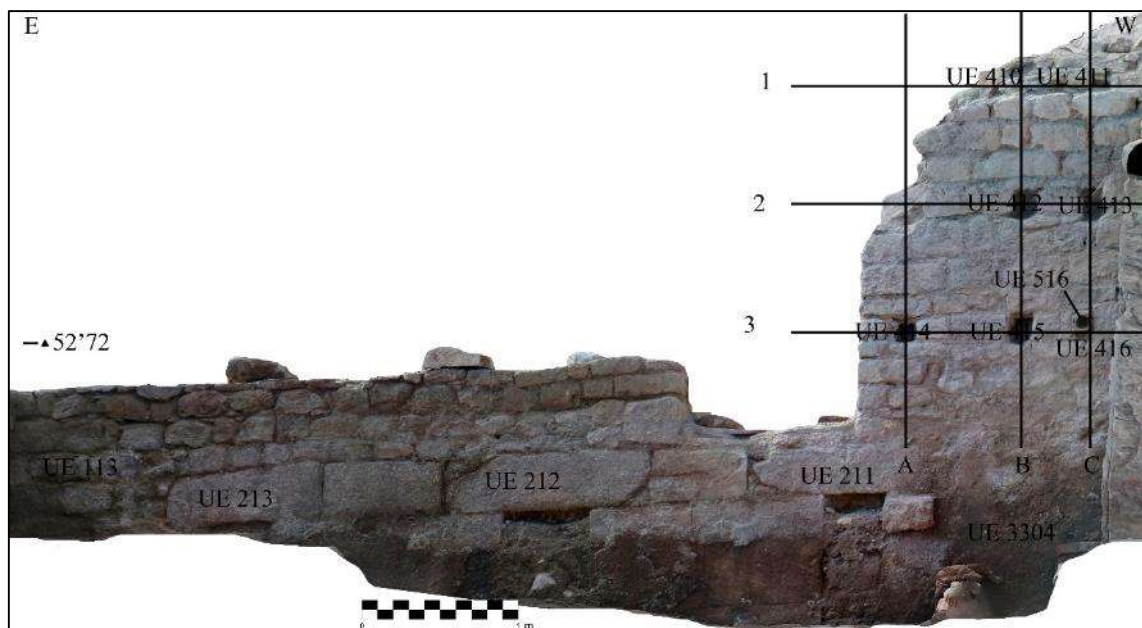


Fig. 57. Ortofotografía de los muros UUEE 3304 y 113 con los orificios de *concameratio*

- **UE 417.** Orificio para *concameratio* en la cara E del muro **UE 144**, en posición A1.
- **UE 418.** Orificio para *concameratio* en la cara E del muro **UE 144**, en posición B1.
- **UE 419.** Orificio para *concameratio* en la cara E del muro **UE 144**, en posición B8.
- **UE 420.** Orificio para *concameratio* en la cara E del muro **UE 144**, en posición C1.
- **UE 421.** Orificio para *concameratio* en la cara E del muro **UE 144**, en posición C2.

- **UE 422.** Orificio para *concameratio* en la cara E del muro **UE 144**, en posición C3.
- **UE 423.** Orificio para *concameratio* en la cara E del muro **UE 144**, en posición C4.
- **UE 424.** Orificio para *concameratio* en la cara E del muro **UE 144**, en posición C5.
- **UE 425.** Orificio para *concameratio* en la cara E del muro **UE 144**, en posición C6.
- **UE 426.** Orificio para *concameratio* en la cara E del muro **UE 144**, en posición C7.
- **UE 517.** Orificio para *concameratio* en la cara E del muro **UE 144**, en posición C8.
- **UE 518.** Fragmento de *clavus coctile* inserto en el orificio **UE 424**.
- **UE 519.** Fragmento de *clavus coctile* inserto en el orificio **UE 425**.

Todo este conjunto fue reunido en el **GU 523**.

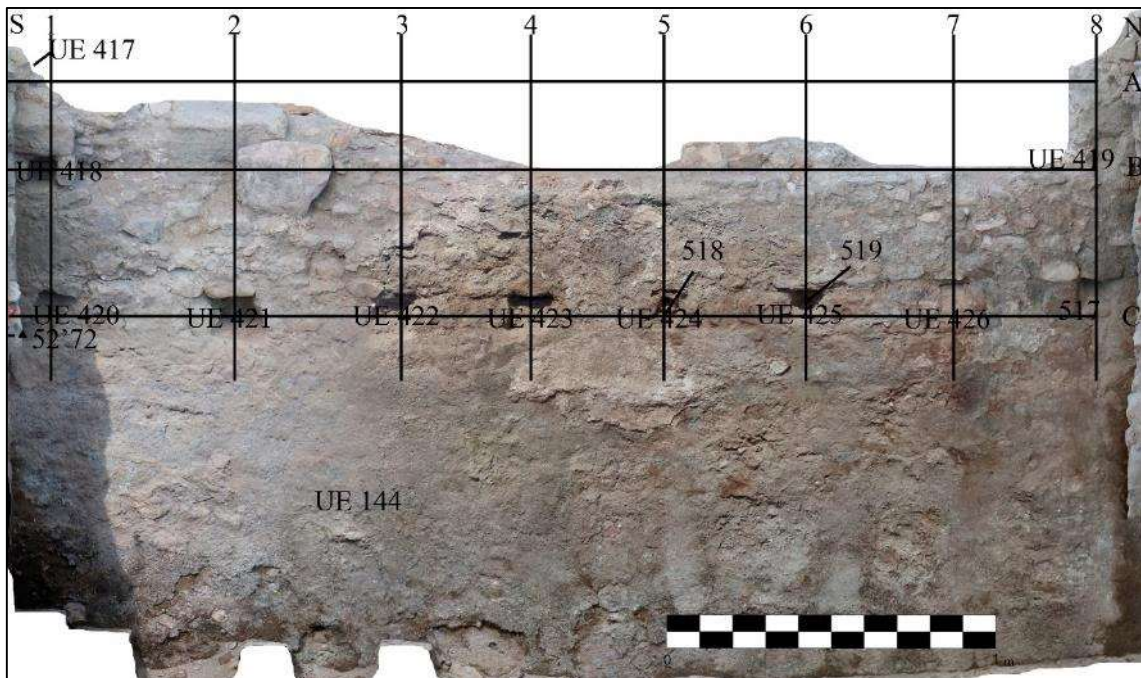


Fig. 58. Ortofotografía del muro UE 144 con los orificios de concameratio

- **UE 427.** Orificio para *concameratio* en la cara S del muro **UE 343**, en posición A1.
- **UE 428.** Orificio para *concameratio* en la cara S del muro **UE 343**, en posición B1.
- **UE 429.** Orificio para *concameratio* en la cara S del muro **UE 343**, en posición B2.
- **UE 430.** Orificio para *concameratio* en la cara S del muro **UE 343**, en posición C1.
- **UE 431.** Orificio para *concameratio* en la cara S del muro **UE 343**, en posición C2.
- **UE 432.** Orificio para *concameratio* en la cara S del muro **UE 343**, en posición C3.
- **UE 518.** Fragmento de *clavus coctile* inserto en el orificio **UE 428**.
- **UE 519.** Fragmento de *clavus coctile* inserto en el orificio **UE 429**.

- **UE 520.** Fragmento de *clavus coctile* inserto en el orificio **UE 432**.

Todos estos elementos de la *concameratio* de la estancia fueron recogidos dentro del **GU 524**.

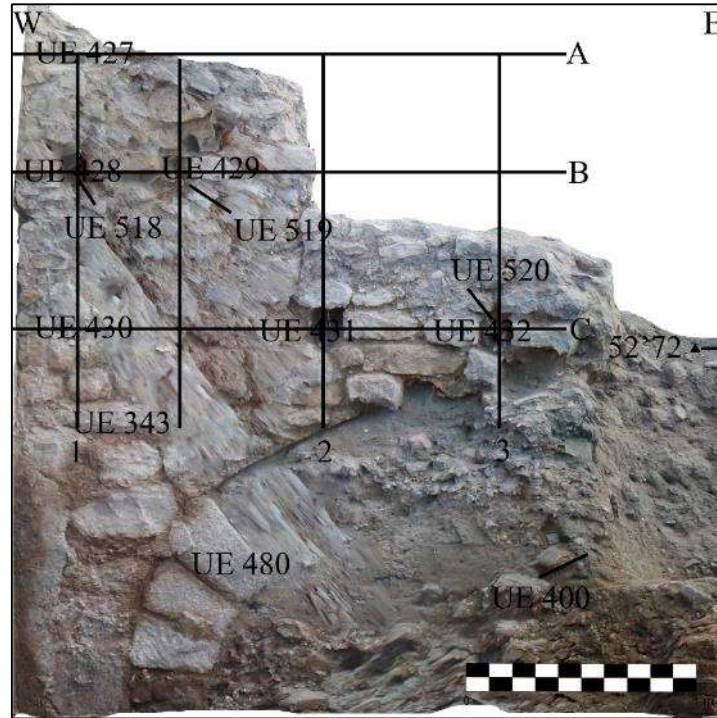


Fig. 59. Ortofotografía del muro UE 343 con los orificios de *concameratio*

- **UE 433.** Orificio para *concameratio* en la cara W del muro **UE 358**, en posición A1.
- **UE 434.** Orificio para *concameratio* en la cara W del muro **UE 358**, en posición A2.

Estos orificios de *concameratio* conforman el **GU 525**.

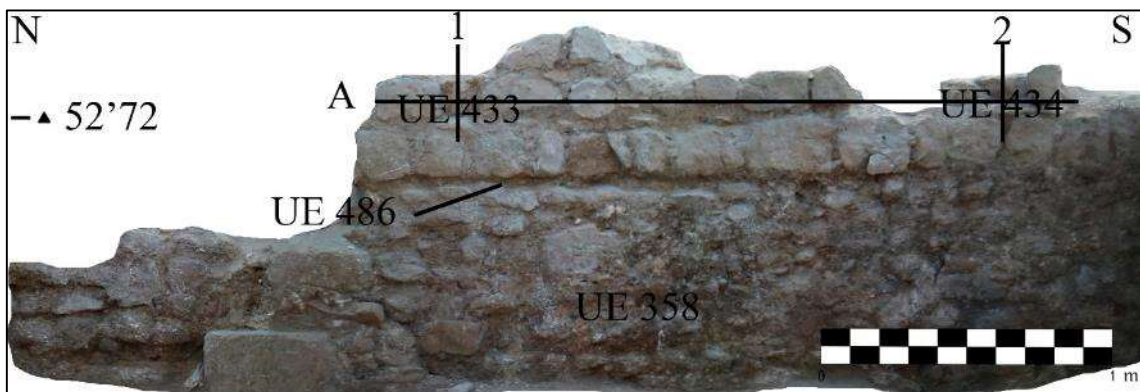


Fig. 60. Ortofotografía del muro UE 358 con los orificios de *concameratio*

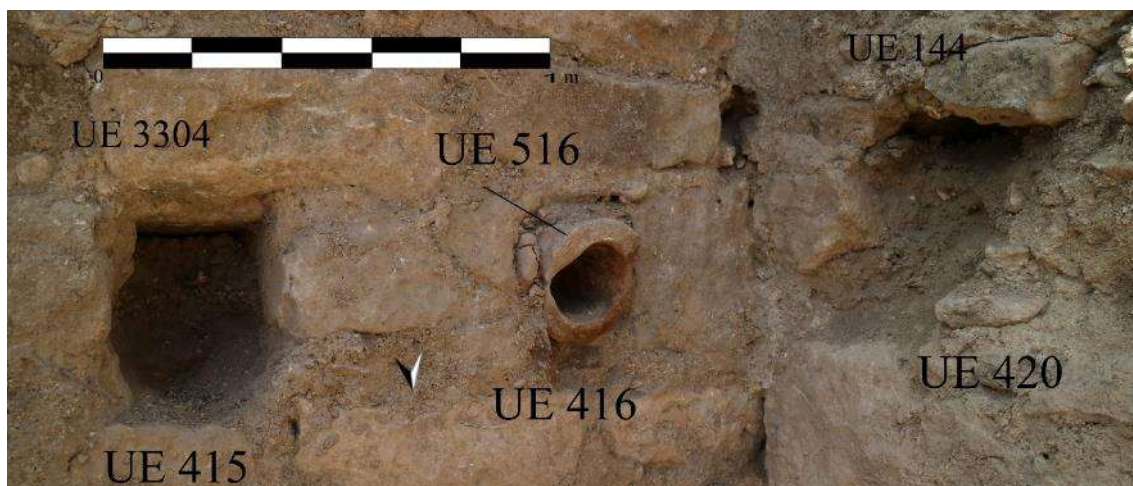


Fig. 61. Vista en detalle de varios orificios de concameratio donde uno de ellos -UE 416- cuenta con parte de un clavus coctile en su interior

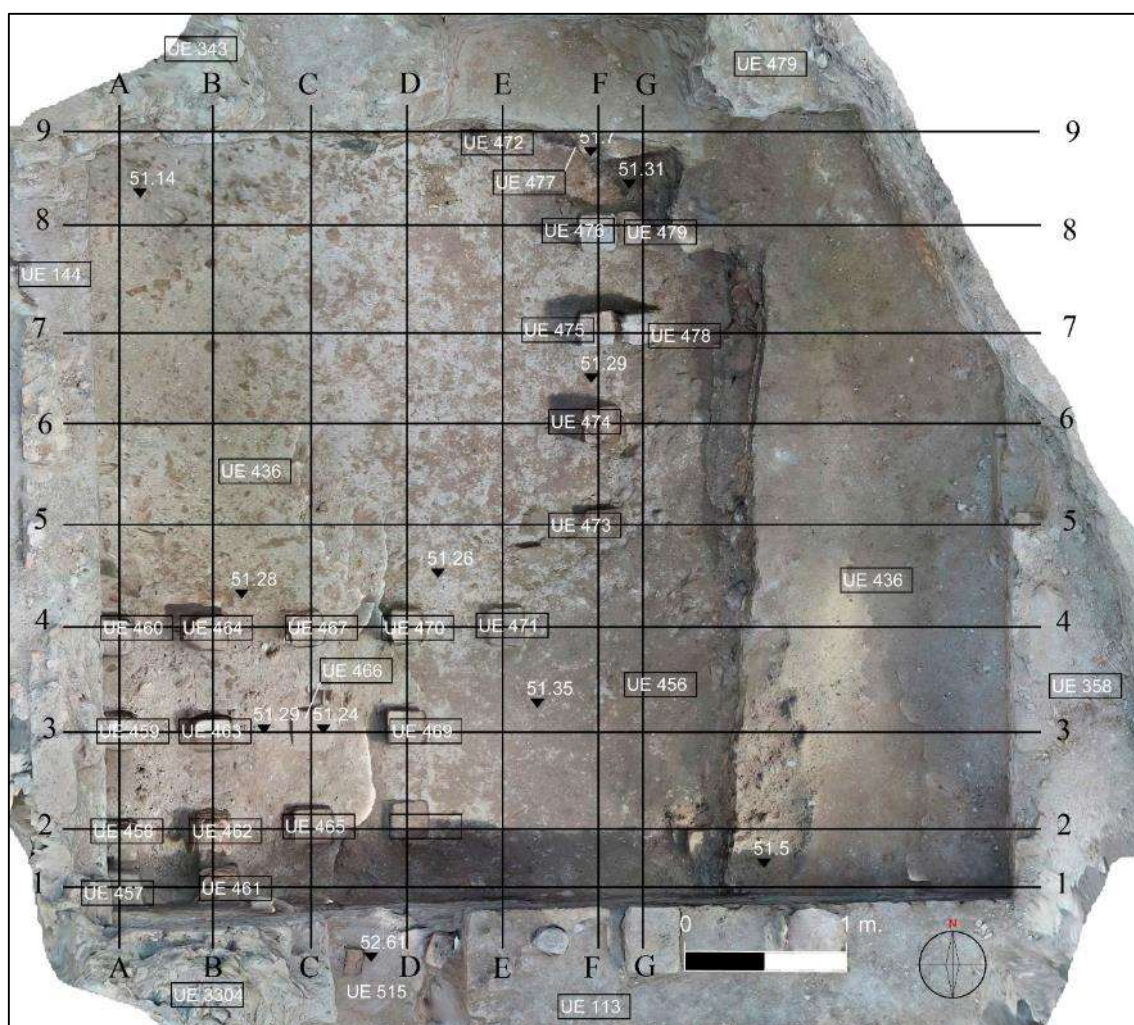


Fig. 62. Planta estratigráfica final del Ambiente 29 en la campaña 2018, tras la retirada parcial de UE 436

Iniciamos la retirada del primer nivel del relleno en el interior del Ambiente, tarea que no pudo ser completada en la presente campaña. En aquellas áreas en las que pudo retirarse detectamos un nivel muy disgregado y ceniciento -**UE 456**- en el que comenzaban a aflorar *pilae* correspondientes a un hipocausto. Todas ellas fueron unificadas en **GU 521**. Tal y como ya hicimos en el caso de los orificios de la *concameratio*, emplearemos un sistema de coordenadas para facilitar su ubicación en la estancia:

- **UE 457.** *Pila* de hipocausto a base de ladrillos besales, situada en posición A1.
- **UE 458.** *Pila* de hipocausto a base de ladrillos besales, situada en posición A2.
- **UE 459.** *Pila* de hipocausto a base de ladrillos besales, situada en posición A3.
- **UE 460.** *Pila* de hipocausto a base de ladrillos besales, situada en posición A4.
- **UE 461.** *Pila* de hipocausto a base de ladrillos besales, situada en posición B1.
- **UE 462.** *Pila* de hipocausto a base de ladrillos besales, situada en posición B2.
- **UE 463.** *Pila* de hipocausto a base de ladrillos besales, situada en posición B3.
- **UE 464.** *Pila* de hipocausto a base de ladrillos besales, situada en posición B4.
- **UE 465.** *Pila* de hipocausto a base de ladrillos besales, situada en posición C2.
- **UE 466.** *Pila* de hipocausto a base de ladrillos besales, situada en posición C3.
- **UE 467.** *Pila* de hipocausto a base de ladrillos besales, situada en posición C4.
- **UE 468.** *Pila* de hipocausto a base de ladrillos besales, situada en posición D2.
- **UE 469.** *Pila* de hipocausto a base de ladrillos besales, situada en posición D3.
- **UE 470.** *Pila* de hipocausto a base de ladrillos besales, situada en posición D4.
- **UE 471.** *Pila* de hipocausto a base de ladrillos besales, situada en posición E4.
- **UE 472.** *Pila* de hipocausto a base de ladrillos besales, situada en posición E9.
- **UE 473.** *Pila* de hipocausto a base de ladrillos besales, situada en posición F5.
- **UE 474.** *Pila* de hipocausto a base de ladrillos besales, situada en posición F6.
- **UE 475.** *Pila* de hipocausto a base de ladrillos besales, situada en posición F7.
- **UE 476.** *Pila* de hipocausto a base de ladrillos besales, situada en posición F8.
- **UE 477.** *Pila* de hipocausto a base de ladrillos besales, situada en posición F9.
- **UE 478.** *Pila* de hipocausto a base de ladrillos besales, situada en posición G7.
- **UE 479.** *Pila* de hipocausto a base de ladrillos besales, situada en posición G8.

Del mismo modo, desveló otros elementos propios del sistema de calefacción del Ambiente. Algunos de ellos ya eran conocidos tras la excavación del Ambiente 28 durante la pasada campaña, como **UUEE 211, 212 y 213**. Se trata de los conductos que permiten la circulación del aire caliente desde el hipocausto del Ambiente 29 al del Ambiente 28.

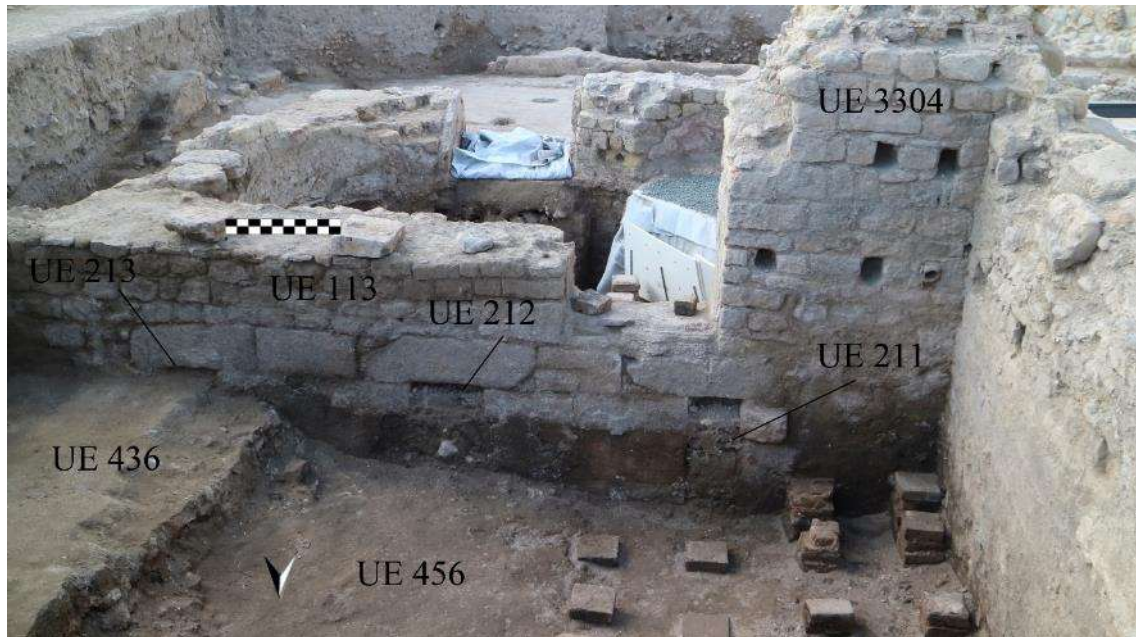


Fig. 63. Vista en detalle de los conductos de aire caliente UUEE 211, 212 y 213



Fig. 64. Vista en detalle del arco UE 480

En el lienzo opuesto, formado por los tramos de muro **UUEE 343 y 479**, documentamos un arco -**UE 480**- por debajo del nivel de pavimento, cortado por la fosa del algarrobo -**UE 400**-. Dada la escasa distancia que separa a las *pilae* del hipocausto de las filas F y G podría tratarse incluso de un arco doble. Su función debió ser hacer llegar el aire caliente desde su fuente hasta el Ambiente 29.

En el curso de la excavación del Ambiente pudimos registrar además restos de las capas de enlucido que revocaban sus muros:

- **UE 454.** Fina capa de enlucido de base de cal sobre el muro 343.
- **UE 458.** Fina capa de enlucido de base de cal sobre el muro 144.

En otros casos, en zonas donde los enlucidos ya se habían desprendido de los muros, detectamos una capa de ceniza directamente sobre la piedra y bajo el nivel de enlucidos, cuya función sería la de servir de aislante:

- **UE 481.** Capa de ceniza sobre el muro UE 144.
- **UE 482.** Capa de ceniza sobre el muro UE 113.
- **UE 483.** Capa de ceniza sobre el muro UE 343.
- **UE 484.** Capa de ceniza sobre el muro UE 358.

Todos estos revoques y enlucidos fueron unificados bajo GU

Por último, el proceso de excavación también nos llevó a documentar un nivel horizontal de mortero de cal situado en el vano que comunica a los Ambientes 28 y 29. Identificado como **UE 515**, se trata de la preparación sobre la que se asentaba el nivel de paso original de la estancia.

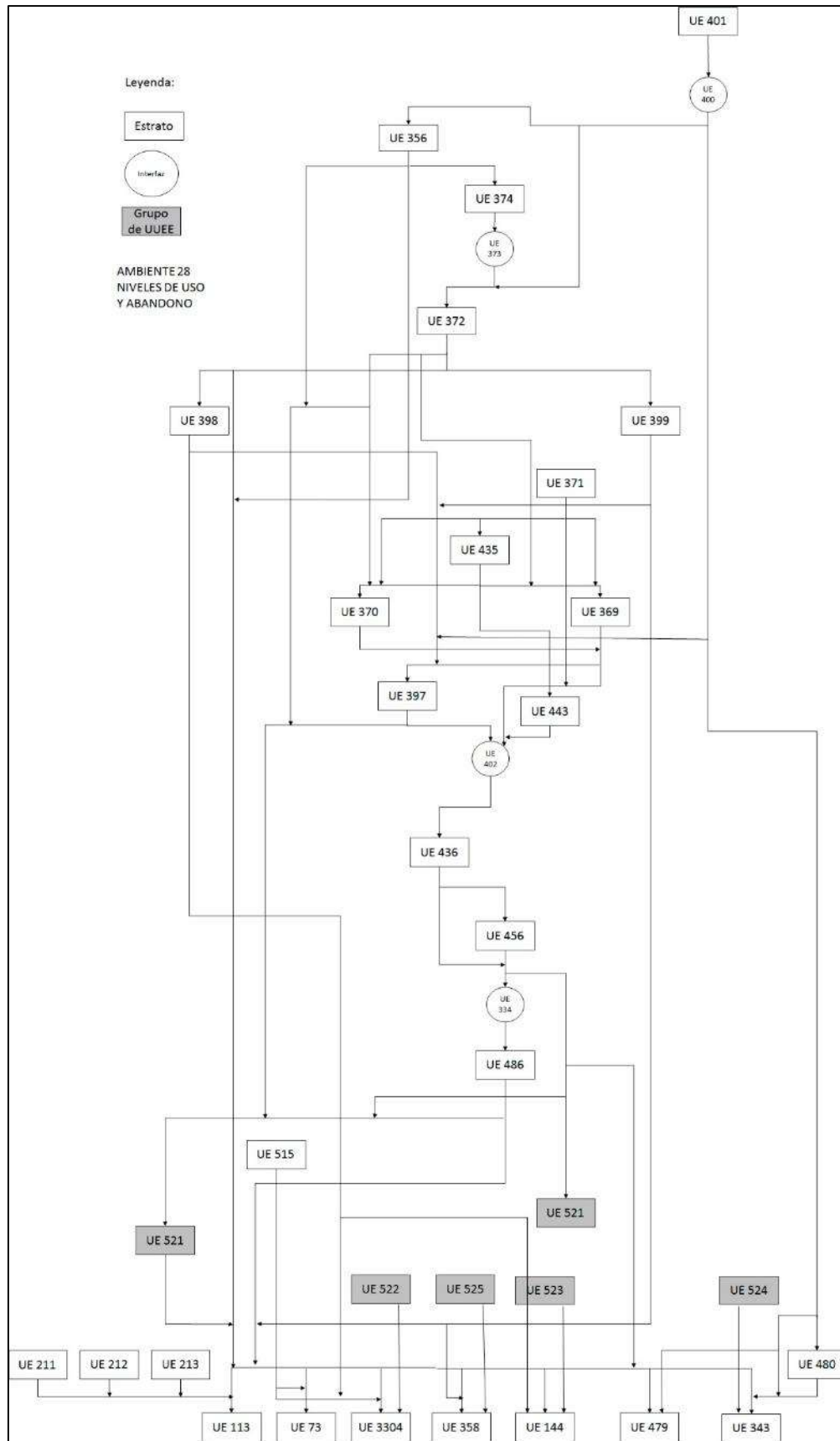


Fig. 65. Diagrama estratigráfico de las estructuras y los niveles de uso y abandono del Ambiente 29

Ambiente 31

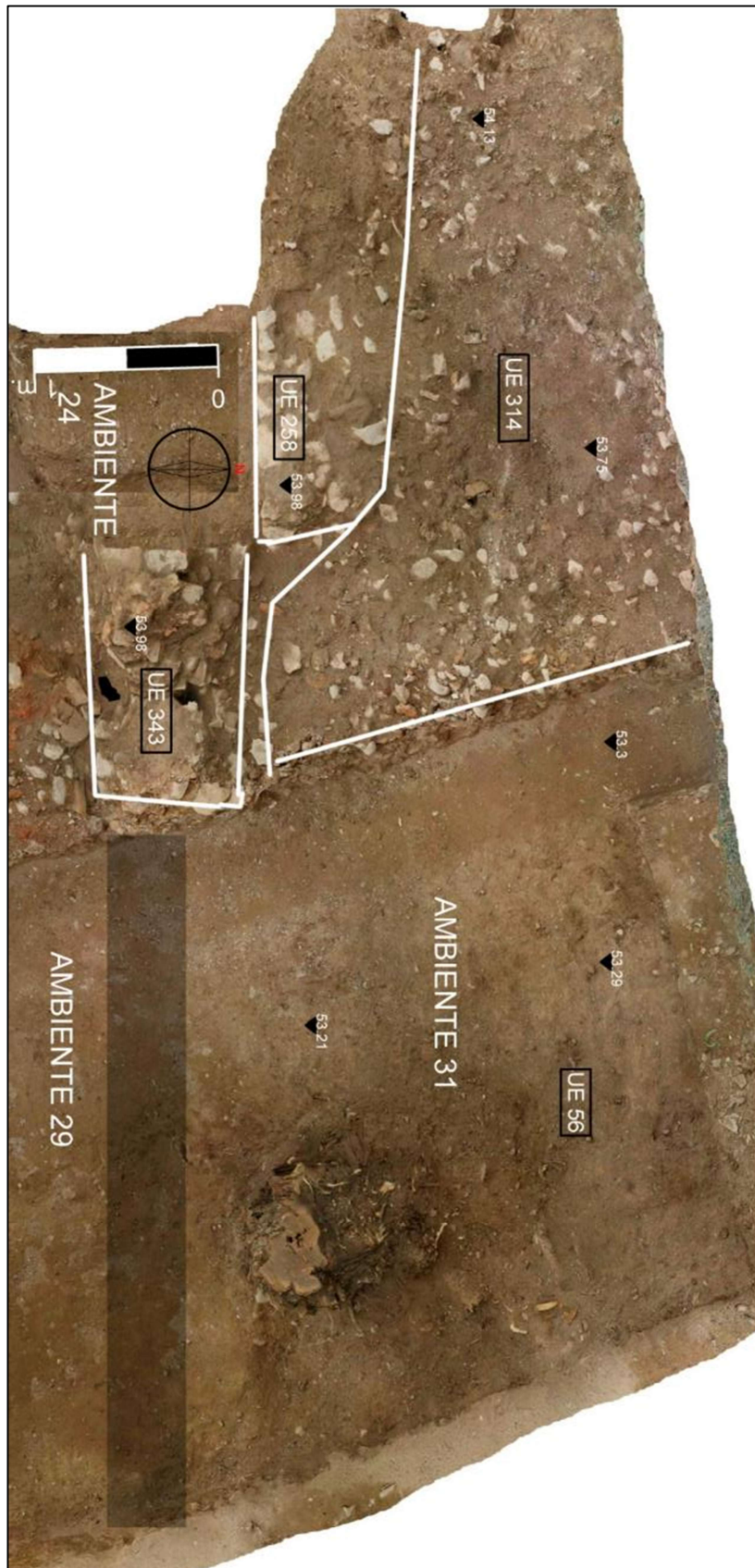


Fig. 66. Planta estratigráfica inicial del Ambiente 31

El hallazgo del muro de **UE 343** hizo posible separar al Ambiente 31 del Ambiente 29. Es una estancia que se corresponde con el brazo corto de la explanada en forma de “L” que encontramos en este Sector al iniciar la presente campaña y con su intersección con el brazo largo. Sin embargo, desconocemos su morfología: únicamente tenemos información acerca de uno de sus límites -el S-, conformado por los muros de **UUEE 258** y **343/479**. El extremo E se pierde más allá del límite del yacimiento, mientras que los extremos N y W coinciden con los perfiles provisionales de la excavación.

La acequia de **GU 23** parte al Ambiente 31 en dos partes. La primera de ellas, tal y como ya expusimos, fue excavada antes del hallazgo del muro **UE 343**. A lo largo de este proceso se desmontó la propia acequia **UE 23** y se dejó visible en superficie a la **UE 56**. En el extremo opuesto de la acequia **GU 23** -a su W- se extendía el mismo nivel superficial que cubría a toda la explanada -**UE 1**-. Bajo él encontramos un nivel de tierra y cantos que forma un talud descendente en sentido E-W -**UE 314**-. Esta capa fue cortada en su extremo E para la realización de la acequia **GU 23**.

Dado que decidimos priorizar la excavación del Ambiente 29 en detrimento del Ambiente 31 se optó por interrumpir la actividad en este último. Queda, por tanto, pendiente para futuras campañas.

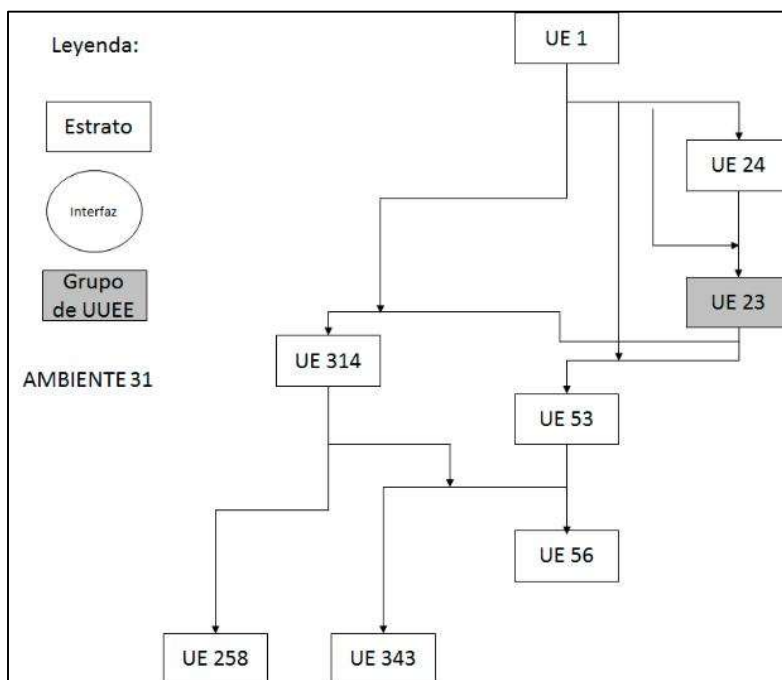


Fig. 67. Diagrama estratigráfico de la excavación del Ambiente 31

Ambiente 30



Fig. 68. Planta estratigráfica del interior del Ambiente 30 tras la extracción de UE 254

Durante la excavación del Ambiente 25 en la campaña previa documentamos una estructura -**UE 288**- perfectamente alineada con el lienzo murario N de esta estancia, que continuaba ese mismo recorrido hasta cerrar en el ángulo NE con el muro **UE 189**. Interpretamos que podría tratarse del vano que daba acceso a un nuevo espacio - Ambiente 30- que solo pudo ser excavado parcialmente. No conocemos ni el tamaño ni la forma que caracterizan a este Ambiente, ya que parte del mismo se encuentra más allá del límite E del yacimiento. Como resultado traza una superficie de tendencia trapezoidal. Presenta dos lados más largos: su extremo W -conformado por los muros **UUEE 89, 192, 113 y 358**-, de 4'9 m de longitud, y un tramo del propio perfil E del yacimiento, de 4'8 m. Por el contrario, su lado S -**UE 288**- mide 2 m y el opuesto, formado por el perfil N provisional, únicamente 0'8 m.

Proseguimos la excavación de un nivel horizontal -**UE 254**- que no pudo ser retirado completamente en la campaña anterior. Tras descender aproximadamente 0'8 m percibimos un cambio de estrato, donde una capa de tierra compacta, con abundante presencia de cal y de piedras -**UE 319**-, constituye el nuevo firme. También permitió revelar partes de estructuras que habían quedado ocultas bajo este relleno superficial. La primera de ellas, **UE 318**, es una estructura. Se trata de una plataforma rectangular de piedras y mortero que flanquea por el lado E al vano **UE 288**. Interpretamos que, al igual que **UE 192**, haría de jamba al acceso del Ambiente 30. La otra son restos de enlucido parietal de cal -**UE 320**- que revisten parcialmente la cara E del muro **UE 89**.



Fig. 69. Vista en detalle del Ambiente 30 donde se aprecia el enlucido parietal UE 320



Fig.70. Planta estratigráfica del interior del Ambiente 30 tras la extracción de UE 319

Continuamos la excavación de este espacio con la exhumación de su colmatación interna -UE 319-. Bajo ella encontramos un nuevo nivel de tendencia horizontal -UE 325-, de tonalidad anaranjada y con una elevada densidad de piedras y cal en su composición. Salieron a la luz nuevos elementos estructurales de la estancia. Nos referimos concretamente a UE 323, una placa de *opus signinum* hallada en su ubicación original - adosada a la cara N de las estructuras UUEE 288 y 318-. Presenta un canal con un seno de forma semicircular, alineado en sentido E-W. La tierra que colmataba el interior de dicho canal, pese a ser similar en composición a UE 325, fue individualizada como UE 324. En el extremo W, adosándose a las estructuras de UUEE 288, 192 y 89, se vislumbraba lo que parecía ser otro fragmento de una gran placa de *opus signinum*, que quedaba parcialmente cubierta por UE 325.

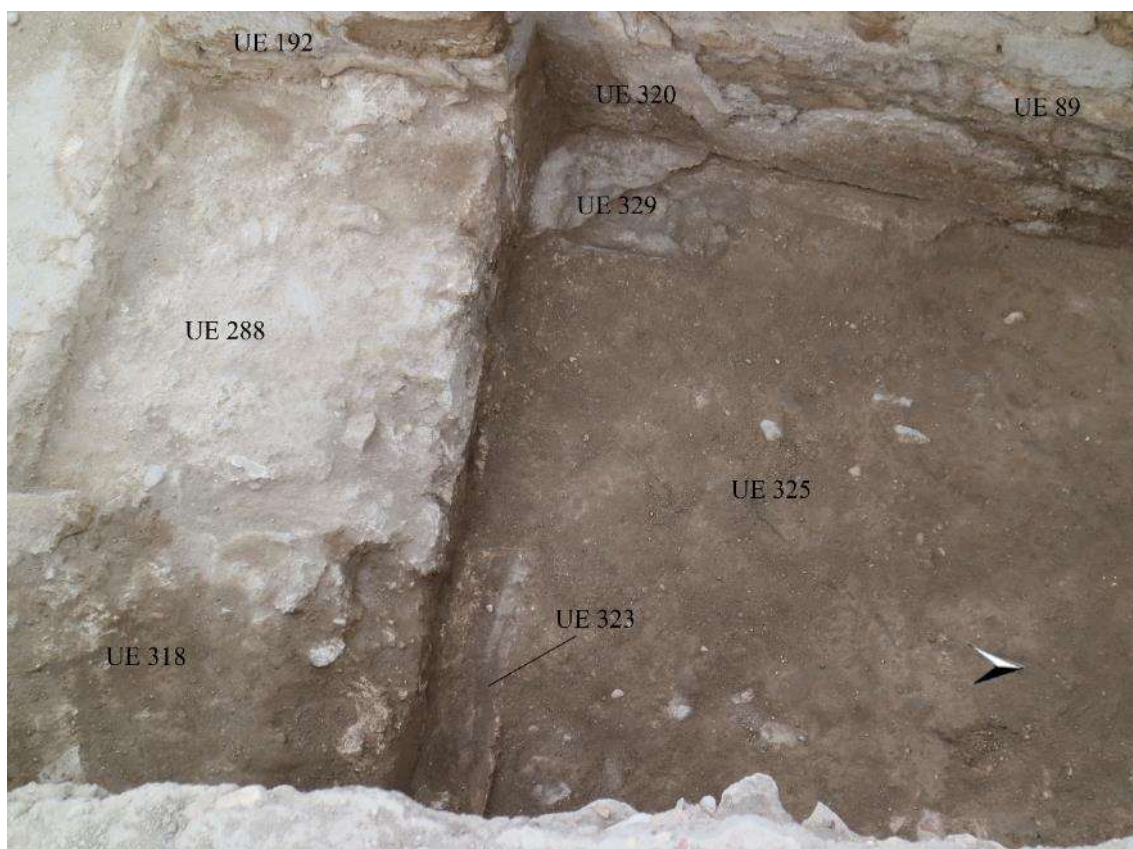


Fig. 71. Vista en detalle del Ambiente 30 donde se vislumbran los restos de placas de *opus signinum* de UUEE 323 y 329

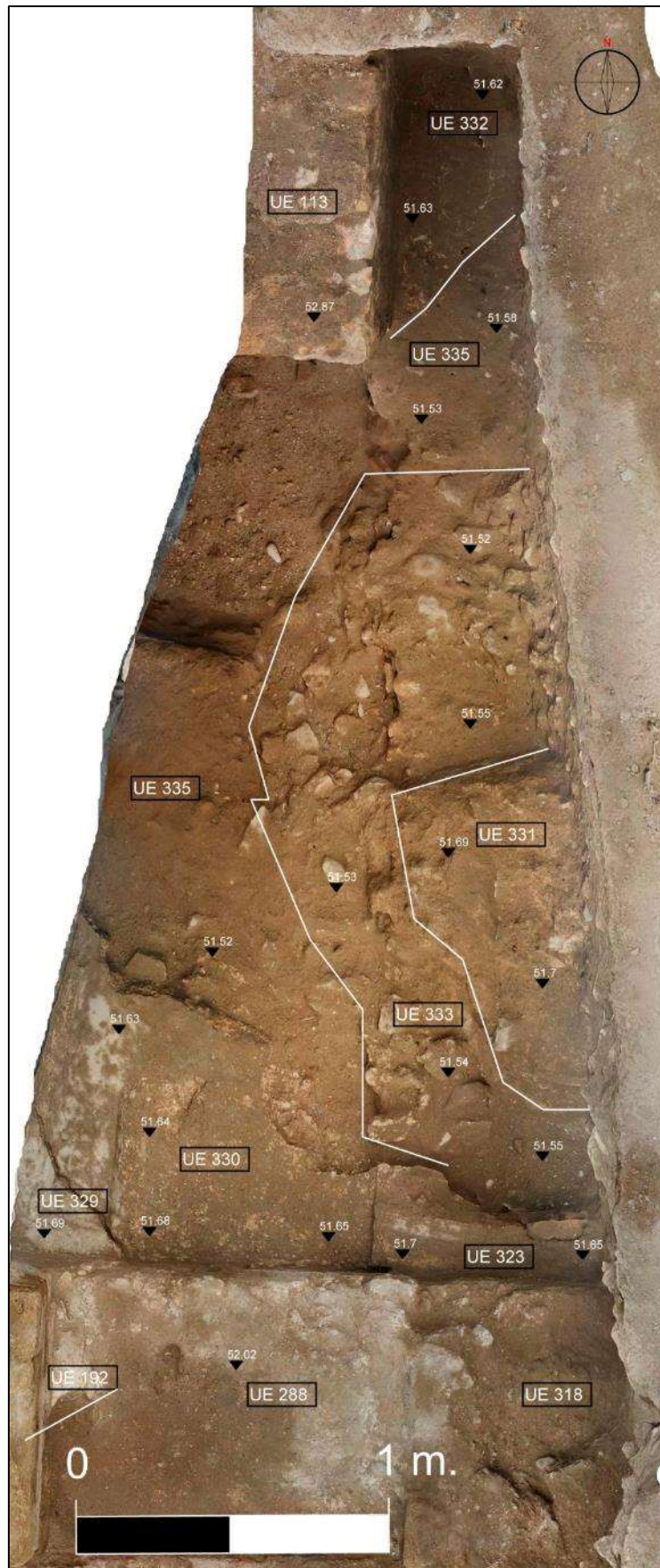


Fig.72. Planta estratigráfica del interior del Ambiente 30 tras la extracción de UE 325

Como ya adelantamos, la remoción de **UE 325** sacó completamente a la luz a la estructura **UE 329** y nos permitió documentarla adecuadamente. Confirmamos que, como **UE 323**, se trataba de una placa de *opus signinum*. Cuenta con un cuarto de caña hidráulica que se adosa a los muros **UUEE 89** y **192** con el fin de protegerlos de la humedad. Esta placa está fracturada y ligeramente vencida hacia el W. A pesar de ello es evidente que formaría parte de un nivel de pavimento junto a **UE 325**.

Entre **UUEE 323** y **329** encontramos una impronta rectangular de mortero -**UE 330**- bordeada por un cuarto de caña hidráulica, que cubre a **UE 329** y que se adosa al vano de **UE 288**. Hemos interpretado que podría corresponder a la marca del escalón que permitiese descender desde el vano **UE 288** hasta el nivel de paso del Ambiente 30. Esta realidad coincide con los hallazgos realizados en la mitad N del Ambiente, donde apareció otro fragmento de pavimento de mortero -**UE 332**- con un cuarto de caña hidráulica adosada a la cara E del muro **UE 113**. Esta placa apareció ligeramente desplazada de su posición original y cedida hacia el SE. Otro pequeño fragmento de pavimento -**UE 342**- se encuentra todavía *in situ* en el ángulo que forman los muros **UUEE 113** y **89**.

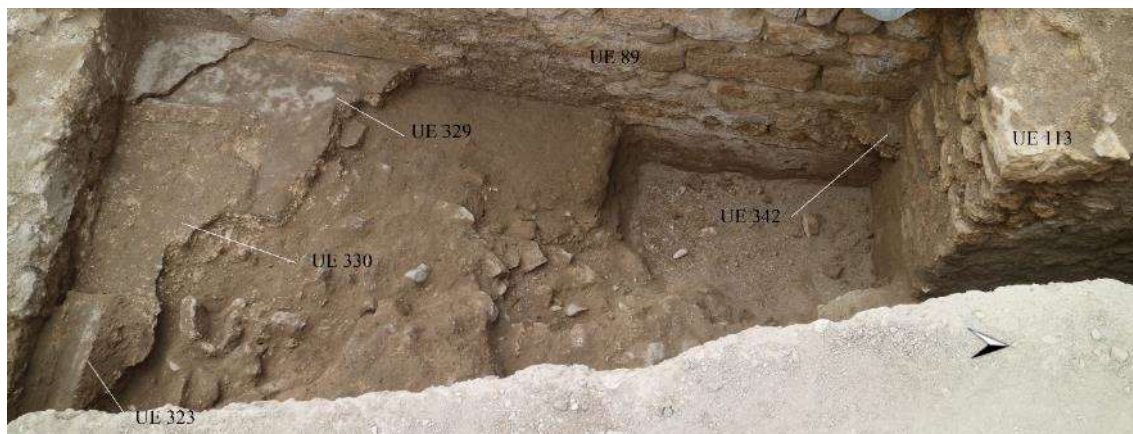


Fig. 73. Vista en detalle de los fragmentos de pavimento UUEE 323, 330, 329 y 342

Resulta evidente que el pavimento del Ambiente 30 fue roto en algún momento posterior a su abandono a través de una fosa que hemos registrado como **UE 321**. Únicamente algunos fragmentos -**UUEE 323, 329, 332** y **342**- pervivieron hasta nuestros días.

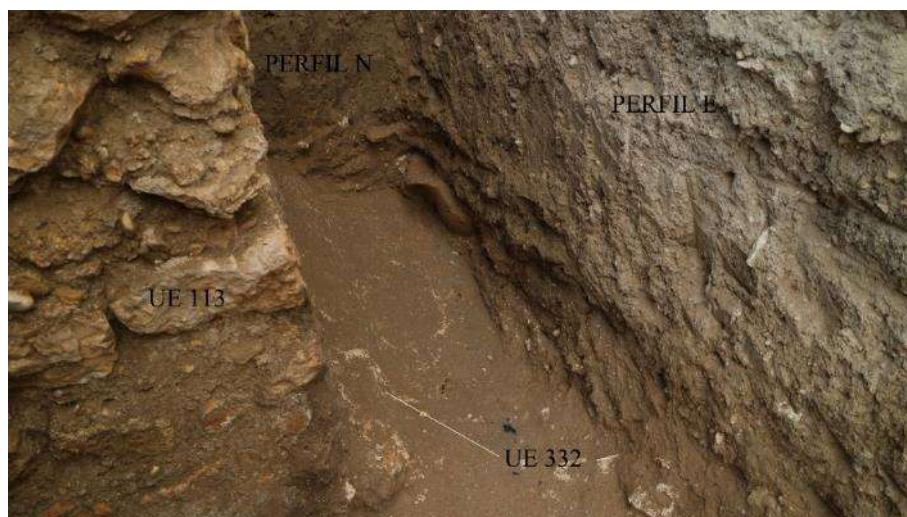


Fig. 74. Vista en detalle del fragmento de pavimento UE 332

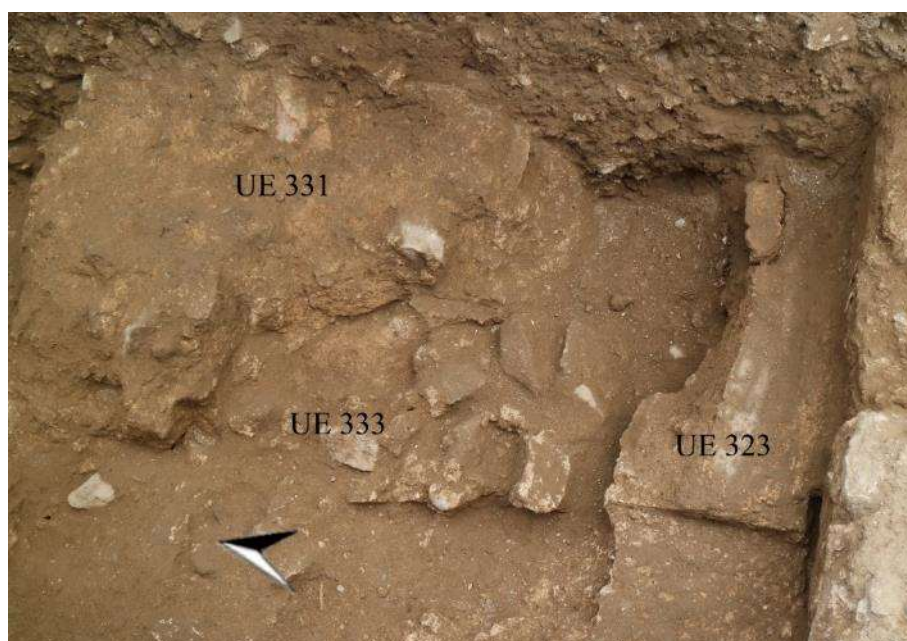


Fig. 75. Vista en detalle de la estructura UE 331 durante el proceso de retirada del derrumbe UE 333

Dentro de la fosa generada al romperse el pavimento **-UE 321-** registramos nuevas UUEE. Destacan particularmente los restos de una estructura maciza de piedras y mortero de cal **-UE 331-** situada en el extremo E del Ambiente. Parte de la misma se pierde precisamente en este perfil, por lo que no podemos definir su morfología. Aparece circundada por un nivel revuelto de piedras **-UE 333-** que, desde el mismo contorno de **UE 331**, desciende en suave talud hacia el interior del Ambiente. El resto

del espacio del interior de la fosa **UE 321** está colmatado por **UE 335**, un estrato de tierra de tonalidad parda que presenta una densidad media de piedras.

Interpretamos que **UE 333** era un derrumbe parcial de la estructura **UE 331** por lo que procedimos a su retirada. Comprobamos que cubría parcialmente a **UE 335** y que, al mismo tiempo, ocultaba a un nuevo estrato al que le asignamos la **UE 341**. Este nuevo nivel se caracterizaba por su textura compacta y su tonalidad marrón oscuro.

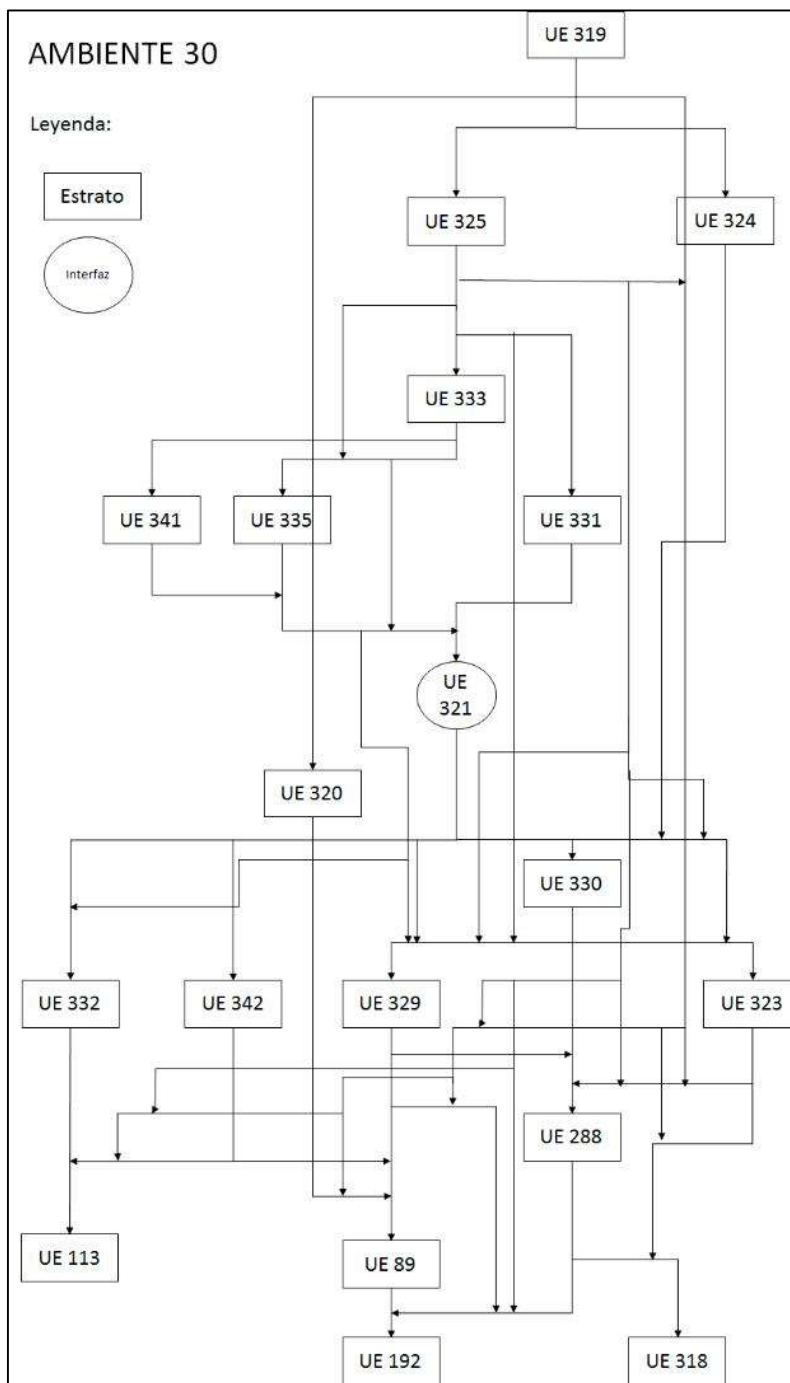


Fig. 76. Diagrama estratigráfico correspondiente al Ambiente 30

Ambiente 24

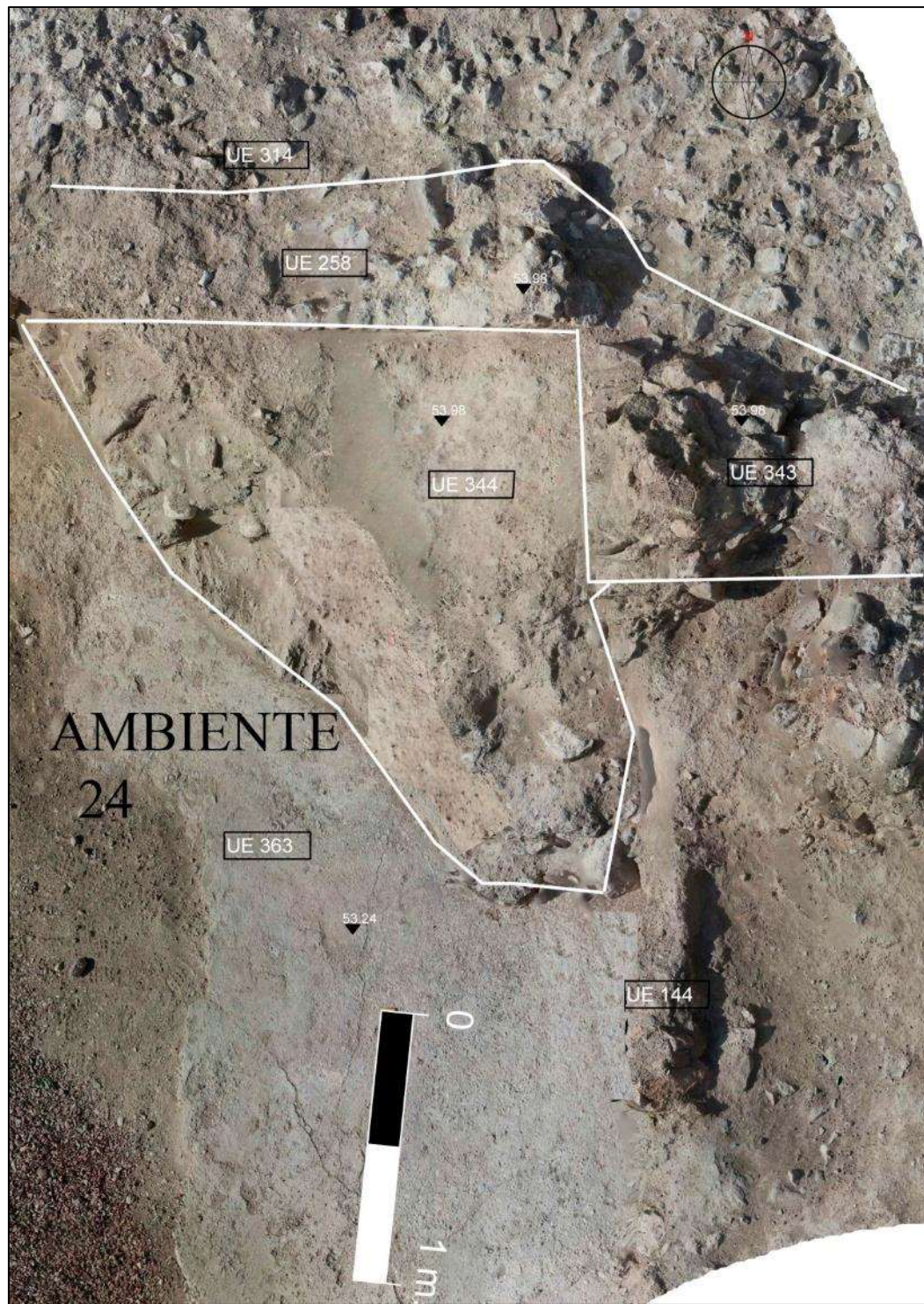


Fig. 77. Planta estratigráfica inicial del ángulo NE del Ambiente 24

El patio que identificamos como Ambiente 24 ya fue objeto de excavaciones en la campaña anterior. En esta ocasión concentramos nuestra atención en su ángulo NE, donde confluyen los muros de **UUEE 343** y **258**. Allí, contra su esquina interna, hay un

talud sobre el pavimento de mortero **-UE 363-** que desciende en dirección SW. Dicho talud son los restos de los paquetes estratigráficos que colmataban el Ambiente 24, los cuales fueron casi completamente retirados en las campañas arqueológicas realizadas entre 1998 y el 2000.



Fig. 78. Vista en detalle de la parte superficial de la UE 344, apoyada contra los muros UUEE 343 y 258

La capa superficial **-UE 344-** es un estrato de tierra de tonalidad castaña y piedras, marcada por una elevada presencia de materiales arqueológicos. Bajo la misma, a una cota de 53'78 m (s.n.m.), documentamos un nivel de tierra muy disgregada de tonalidad cenicienta **-UE 346-** que, en su composición, presenta una elevadísima presencia de materiales.

Desafortunadamente no fue posible poner en relación estos estratos con los paquetes que fueron retirados del interior del Ambiente 24 en intervenciones previas. Observamos una coincidencia entre **UE 346** y **UUEE 143** y **351**, niveles idénticos documentados en el interior del Ambiente 29. Su disposición y orientación -a pesar de la cesura provocada por excavaciones previas- nos lleva a proponer que pudieron formar parte de un mismo basurero, donde sus respectivas fosas serían **345**, **128** y **350**.

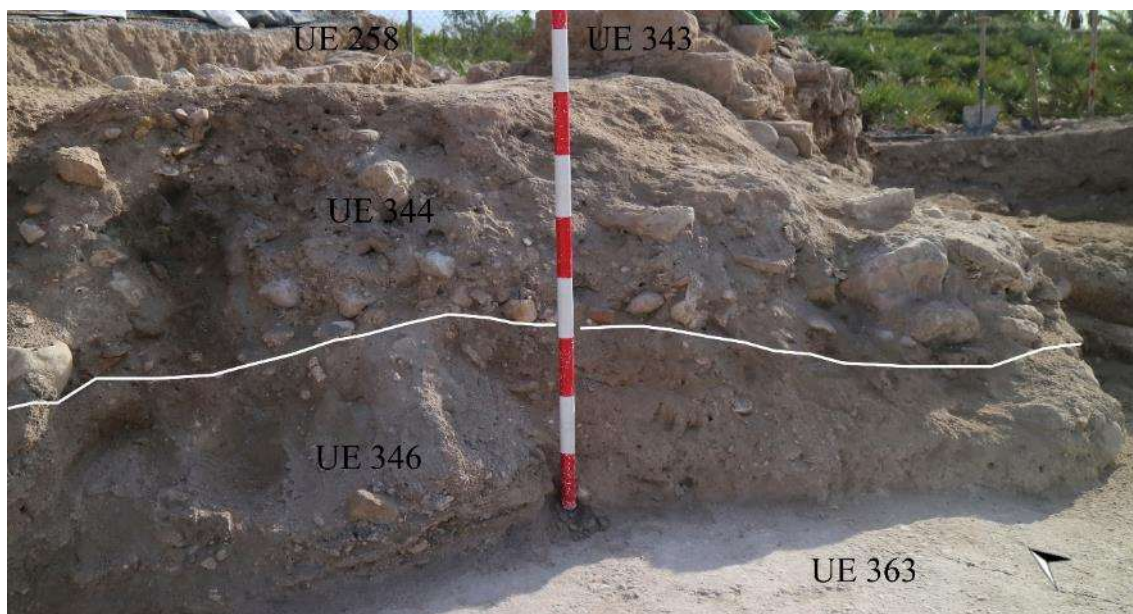


Fig. 79. Vista en detalle del talud formado por las UUEE 344 y 346 sobre el pavimento UE 363

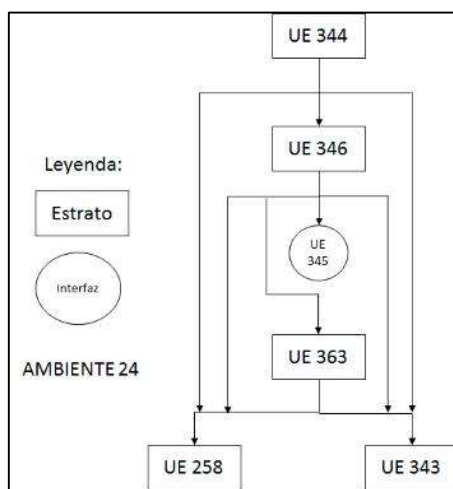


Fig. 80. Diagrama estratigráfico correspondiente al Ambiente 24

Valoración final del Sector Oriental

Las excavaciones llevadas a cabo en el Sector Oriental a lo largo de la campaña 2018 han ampliado y matizado nuestro conocimiento acerca del nuevo circuito termal descubierto en 2017. En aquel momento propusimos la posibilidad de que la estancia situada inmediatamente al N del Ambiente 28 fuese el horno responsable de su calefacción. Sin

embargo, hemos comprobado que, por el contrario, el Ambiente 28 es otra gran estancia termal, calefactada con un sistema de hipocausto y *concameratio*. El aire caliente llegaría a esta sala a través del arco **UE 480** y procedente del Ambiente 31, pasando en última instancia al Ambiente 28.

Todo apunta a que el vano que comunicaría ente sí a los Ambientes 29 y 31 estaría directamente sobre el arco **UE 480**. Así parece intuirse de la posible impronta de un vano, todavía visible en la cara E del muro **UE 343**. De ser así, este nivel de paso daría acceso a otra estancia termal en lugar de a su horno. De ser así el circuito termal sería todavía mayor de lo previsto, con un Ambiente 29 funcionando como *tepidarium*.

Al igual que detectamos en el Ambiente 28, el pavimento original del Ambiente 29 sería un mosaico polícromo. Sin embargo, este suelo fue completamente destruido y está atestiguado únicamente a partir de los numerosos fragmentos de mosaico recuperados. El hipocausto fue utilizado entonces como basurero.

Tras su colmatación se niveló el terreno con niveles de barro **-UE 397-** y se le dio un nuevo uso a la estancia con la construcción de un horno **-UE 369 y 370-**. Dicho horno estuvo relacionado seguramente con la metalurgia según lo sugiere la abundante presencia de escoria de metal detectada en estos niveles.

Tras el abandono del horno la estancia se colmató y quedó sellada. Su último uso fue de tipo agrícola, relacionado con la construcción de la acequia **GU 23**.

También efectuamos sugerentes descubrimientos acerca del Ambiente 30. Su acceso desde el Ambiente 25 se hacía por medio de un escalón **-UE 330-**. Su pavimento fue roto una vez que este espacio cayó en desuso y fue abandonado. El motivo no es otro que asentar en su interior una estructura maciza de piedra y mortero **-UE 331-**. Creemos que pudo tratarse de algún tipo de refuerzo para las estructuras del edificio con el fin de postergar su colapso. La apertura del firme permite ver que los muros del Ambiente 30 siguen descendiendo más allá del nivel de pavimento sin que se alcance el nivel de fundación. No podemos descartar, por tanto, que el pavimento roto sea en realidad una repavimentación que sella el nivel original, más profundo. Únicamente una nueva intervención en este Ambiente podría corroborar esta hipótesis o permitir plantear otras que expliquen la vida de esta sala.

La intervención en el Ambiente 24 reafirmó la existencia de grandes basureros que amortizan el complejo termal, tal y como el que se excavó en este mismo patio en la campaña 2017. En este caso excavamos los restos de un basurero que también abarcaba parte del Ambiente 29, cortando para ello las estructuras situadas entre ambos Ambientes. Estos basureros deben ponerse en relación con todos los que hemos documentado en distintas zonas de las termas con el fin de dilucidar si existe una fase claramente identificable en el tiempo marcada por este tipo de acciones destructivas.

Su datación proporcionaría una fecha *post quem* para las fases posteriores, como el uso posterior que se dio a los Ambientes 28 y 29 del nuevo circuito termal.

7. Ambientes 27 y 11



La excavación en la zona occidental del sector 7F se centrará inicialmente en la excavación del testigo existente entre las dos zonas excavadas durante la campaña 2017. Con la doble intención de conocer la continuidad de los niveles de abandono en la calle ya documentada y definir así la relación de esta con el acceso al conjunto termal en este extremo.

Previo a la excavación de la UE 1 se procedió a la limpieza del testigo, retirada de la grava que protegía la zona y la extracción de las cimentaciones que sirvieron de base al techado provisional que existía en la zona, y que ya desmontamos parcialmente en 2017. Es conveniente señalar que dichas cimentaciones consistían en cuatro soleras de hormigón de 50x50 cm., y una profundidad que también oscilaba los 50 cm. Dichas

estructuras alteraron considerable la estratigrafía, puesto que para su construcción se realizaron sendos agujeros en el suelo.

Una vez eliminada la protección de grava y las bases de hormigón moderno descrito se inició la excavación del testigo, encontrando en primer lugar la continuación de la fosa detectada en la anterior campaña, UE 31 y su relleno UE 18 (+54'70/+54'62; FIG 80), obteniendo así su forma completa. Sorprendentemente vimos como el relleno de la fosa, UE 18 (+54'60/54'58; FIG 81), apenas tenía una potencia de 5 cm., mientras que en la zona septentrional llegó a alcanzar hasta 50 cm. También bajo la UE 1, y recortada por la UE 31 encontramos dos estratos claramente diferenciados, separados

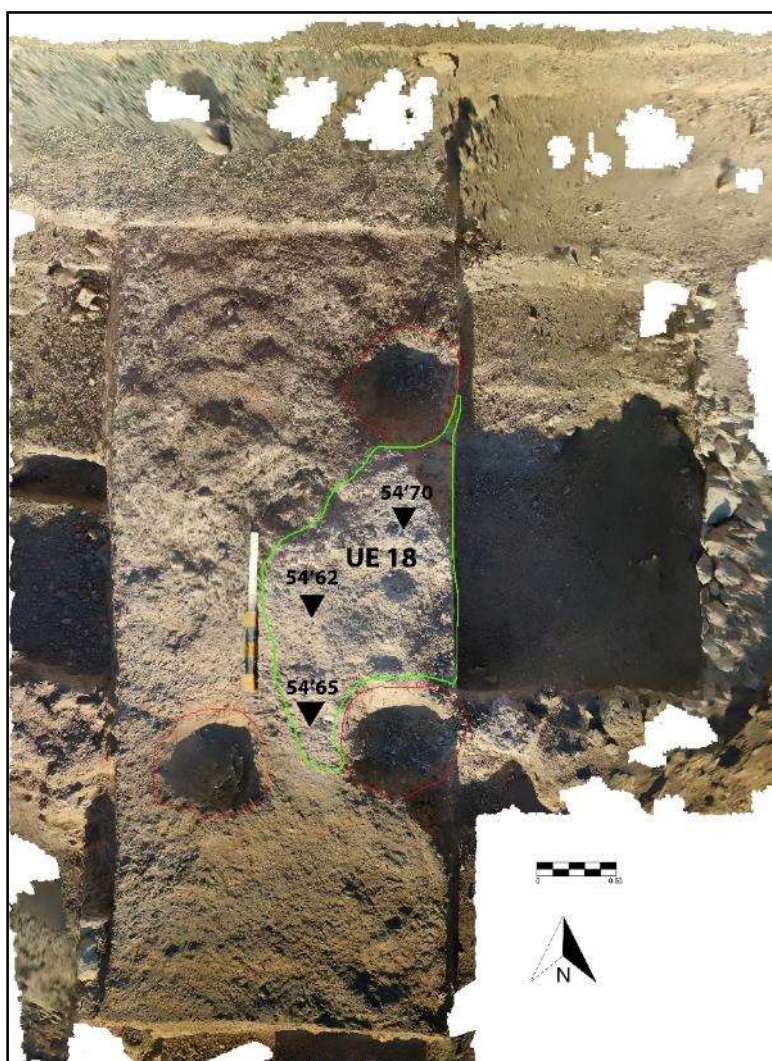


Fig.80. UE 18

entre sí, por la continuación hacia el sur del muro UE 28. Inmediatamente al oeste del muro UE 28, encontramos la UE 17 (FIG 81), documentada en la campaña 2017, y que

estaba recortada por la fosa UE 31, pudiendo corresponder con un nivel de paso, algo irregular, correspondiente a los últimos momentos de uso del entramado viario.

Tras la excavación de la UE 17 encontramos una situación claramente mediatizada o que diferenciaba dos ámbitos claramente diferenciados, siendo la UE 310 (54'52/54'55; FIG 82) el estrato que dividía el corte. La UE 310 es un estrato de tierra marrón anaranjado, donde destaca la presencia de piedras de mediano y pequeño tamaño que no

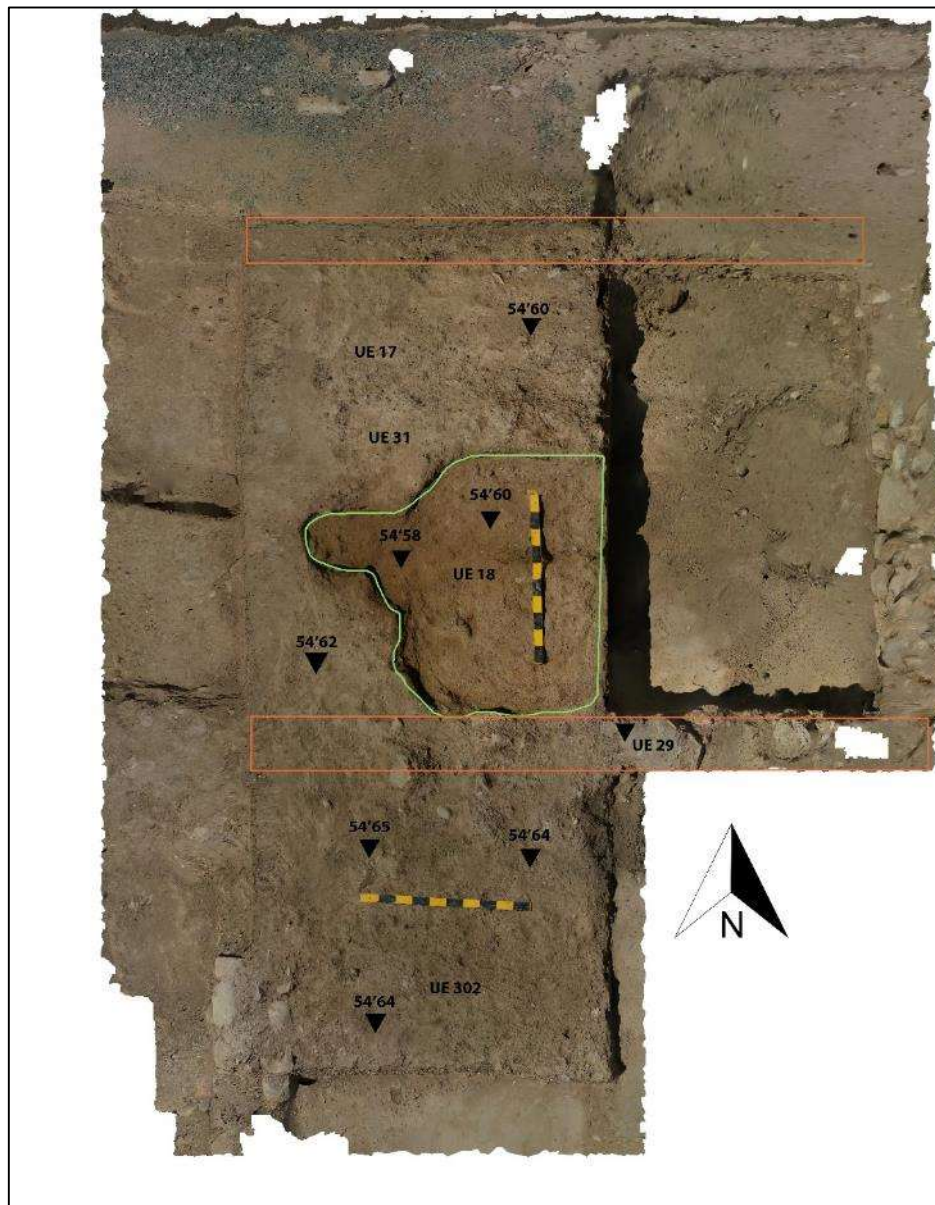
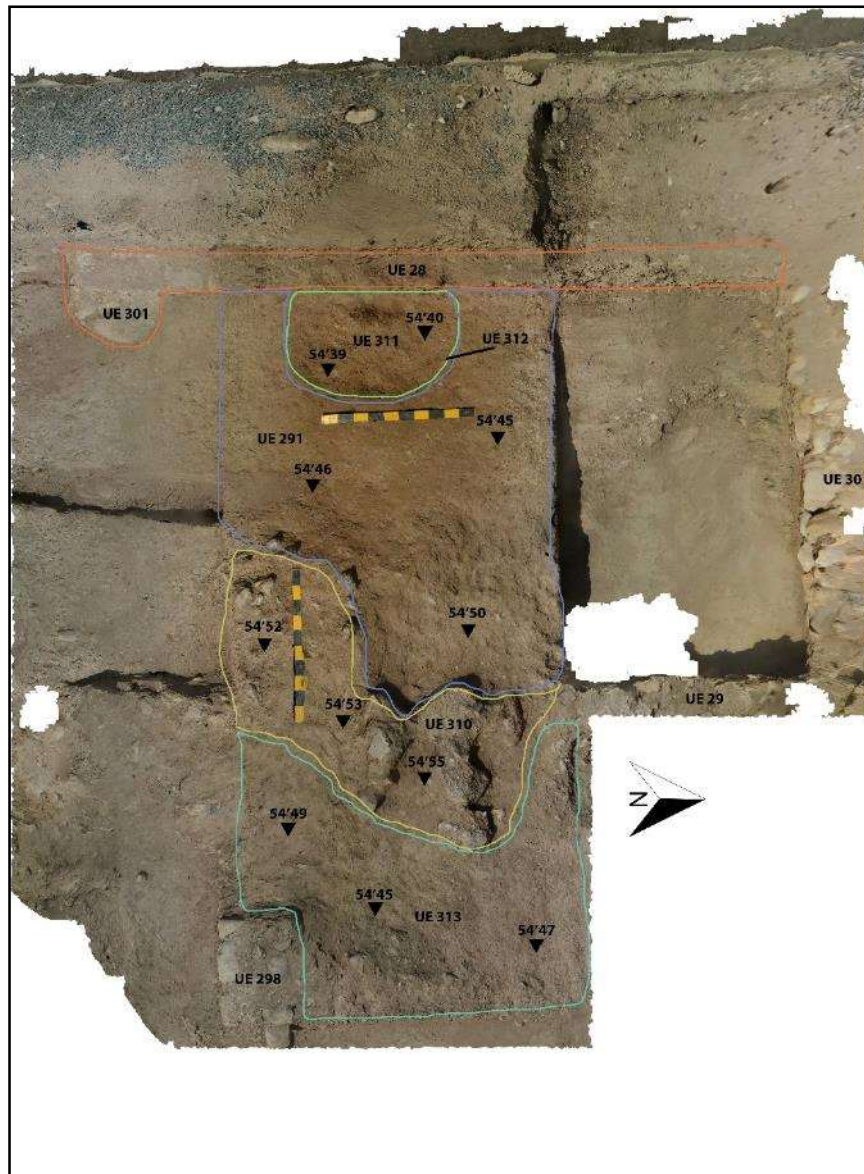


Fig. 81. UE 29, UE 302 Y UE 18.

parecen disponerse siguiendo un orden concreto, aunque se encuentre en la línea de proyección del muro UE 29. La disposición de las piedras, y su ubicación nos hizo pensar que nos encontrábamos en desplome o derrumbe del muro UE 28.

Fig. 82. UE 313, UE 310, UE 291 y UE 28.

Inmediatamente al este de la UE 310 encontramos la UE 313 (54'49/54'55; FIG 82), un estrato de tierra marrón grisáceo, algo compacta y que cubría en su extremo oriental la UE 310 y que apoyaba en la cara norte del muro UE 298. Al oeste de la UE 310 localizamos el nivel de paso que quedó como estrato final en el corte sur en la campaña pasada (UE 166-UE 291; FIG 82). Tras la limpieza de este último estrato pudimos observar la presencia de una nueva fosa en el extremo oeste del corte, recortando el pavimento justo en la zona de contacto con la cara oriental del muro UE 28.



Una vez delimitada correctamente esta nueva fosa, UE 312, procedimos a la excavación de su relleno, UE 311 (54'39/54'40; FIG 82), compuesto por un paquete de tierra no muy compacta, de color marrón anaranjado, y en cuyo fondo localizamos una serie de piedras de mediano y pequeño tamaño que parecían crear una forma semicircular. Esto lo interpretamos como un acto intencionado, a modo de soporte para fijar la base de un posible poste, algo que podría explicar la tendencia circular de la fosa y su proximidad al muro UE 28. De hecho, por su proximidad y posición resulta tentador ponerlo en relación con el muro UE 38, que amortizaba la calle.

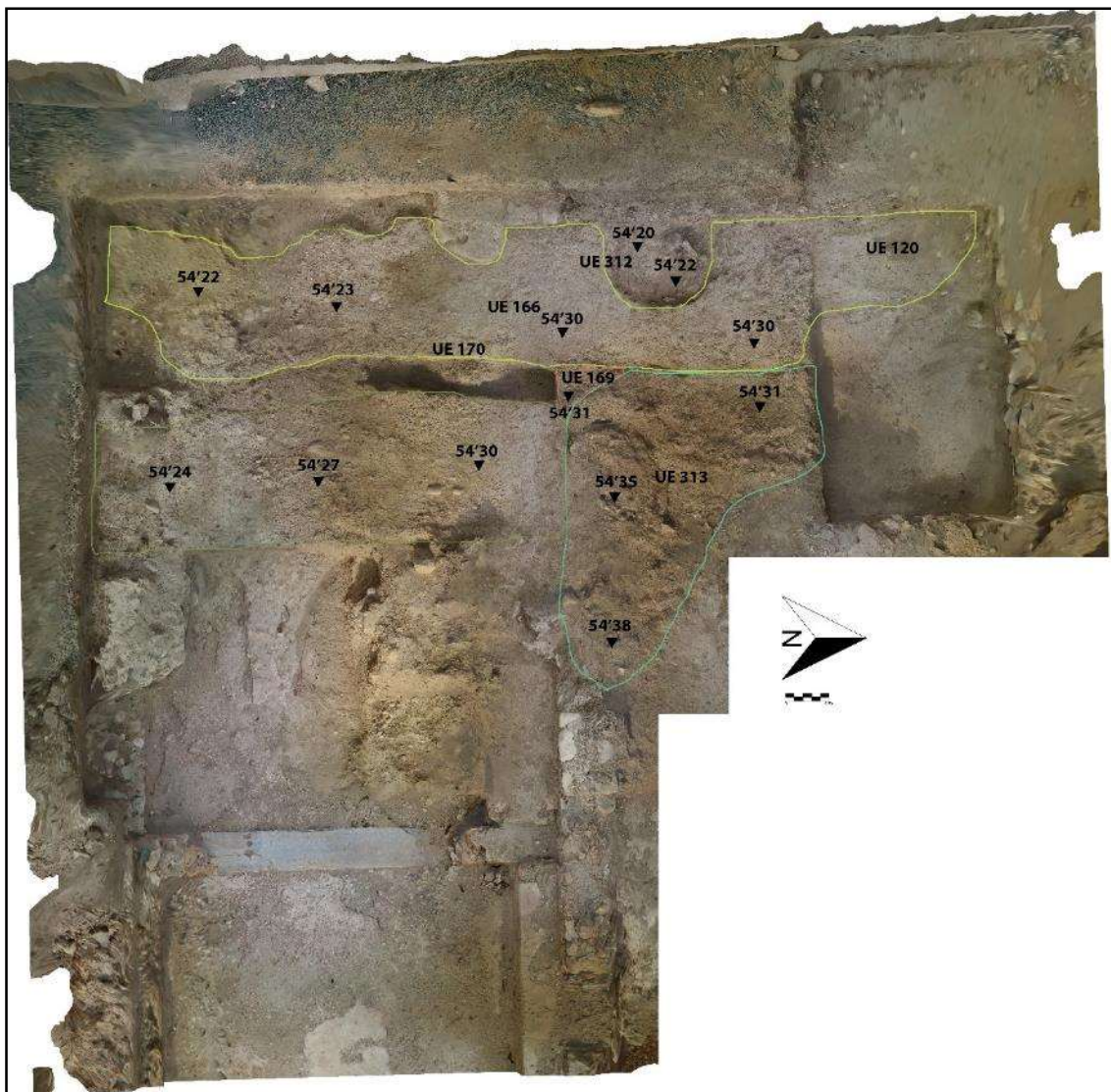


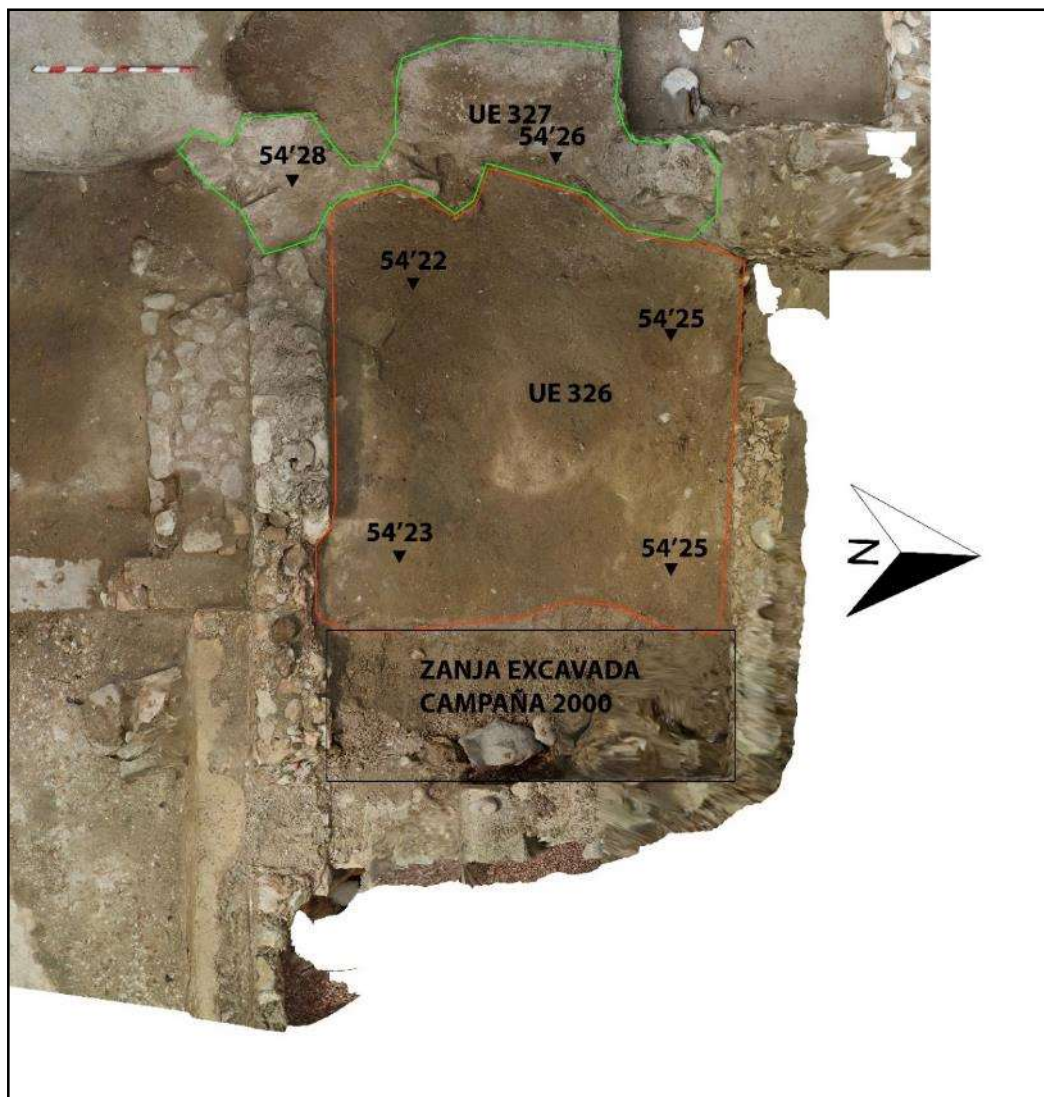
Fig. 83. UE 313, UE 120.

Una vez excavado tanto el relleno de la fosa descrita (UE 312, 54'20/54'22; FIG. 83), como la UE 310 pudimos delimitar claramente la UE 313 (54'31/54'38; FIG. 83), un estrato de tierra anaranjado, de aspecto arcilloso y ligeramente compacto, que cubría a su vez tanto el pavimento UE 120-166 (54'22/54'30; FIG. 83) como el relleno (UE 169) de la zanja-canal (UE 170) ya documentado en la campaña 2017, y que dividía de forma clara el corte con una dirección norte-sur.

En la mitad septentrional del corte, tras la retirada de la UE 313 observamos la aparición de la UE 326 (54'25/54'22; FIG. 84), un estrato cuya superficie tiende a la horizontalidad, con un tono que del naranja al gris, con zonas que presentan una clara iridiscencia. En las zonas más cercanas a las partes que presentan estas iridiscencias hemos podido identificar restos de adobe, lo cual nos lleva a pensar en la posible presencia de un hogar.

Fig. 84. UE 326, UE 327.

El extremo oeste de la UE 326 se encuentra a su vez cubierta por la UE 327 (54'28/54'26; FIG. 5), que a su vez se encontraba también cubierto por la UE 313. Este nuevo estrato está formado por tierra marrón claro, donde se pudieron registrar la presencia de



abundantes fragmentos de mortero y piedras de mediano y pequeño tamaño, que podrían corresponder a la parte superior del muro UE 297 y el banco adosado UE 298.

Pasando a la mitad meridional del corte, ya en el Amb. 12, en su extremo norte, localizamos la UE 328 (54'20/54'15; FIG. 85), que se extendía de forma irregular en la zona más cercana al banco UE 298. El estrato, de tierra marrón anaranjado, no muy compacta y con nódulos arcillosos color grisáceo, además de apoyarse en el enlucido del banco, también cubría en este punto el estrato documentado en la anterior campaña, UE 183. Aunque inicialmente la UE 183 fue identificada como un posible nivel de pavimentación, en muy mal estado de conservación. Tras la excavación de la UE 327, pudimos ver que cubría la cota inferior de la zanja de expolio, que como ya hemos



Fig. 85. UE 29, UE183, UE 327 y UE 328.

mencionado, rompe el extremo occidental del muro UE 297 y el banco adosado UE 298. De este modo, hemos de interpretar la UE 183 como un nivel de frecuentación o amortización de la zona una vez realizado el expolio de la estructura de acceso a las termas.

Una vez excavada la UE 183 definitivamente pudimos observar, ahora si, la aparición de un nuevo estrato, UE 219 (54'10/54'12; FIG. 86), documentado ya en la campaña anterior, que se interpretó como el pavimento contemporáneo al acceso a las termas por este extremo.

Desde este momento, se procedió a la excavación de la mitad occidental del corte, correspondiente al espacio identificado como calle de acceso a las termas en este extremo. La situación estratigráfica, tal como quedó preservada en la campaña 2018, nos mostraba un nivel de paso, UE 166 (FIG. 86), compuesto por tierra marrón clara, con abundantes cantos rodados de pequeño tamaño en su superficie y algunos fragmentos de cerámica. Tal como también se vino documentando desde el inicio de la excavación, el pavimento se encontraba dividido por una zanja, UE 170, que partía el pavimento, en dirección norte sur. Dicha zanja fue identificada como la fosilización del canal de desagüe que tradicionalmente recogería las aguas pluviales en la zona. Dicha zanja se encontraba rellena por la UE 169 en su parte superior, mientras que en la campaña 2018, encontramos un nuevo relleno bajo el anterior, UE 347, un estrato de tierra marrón grisáceo, de escasa consistencia, con alguna piedra de mediano y pequeño tamaño que tienden a concentrarse en el extremo sur de la zanja.

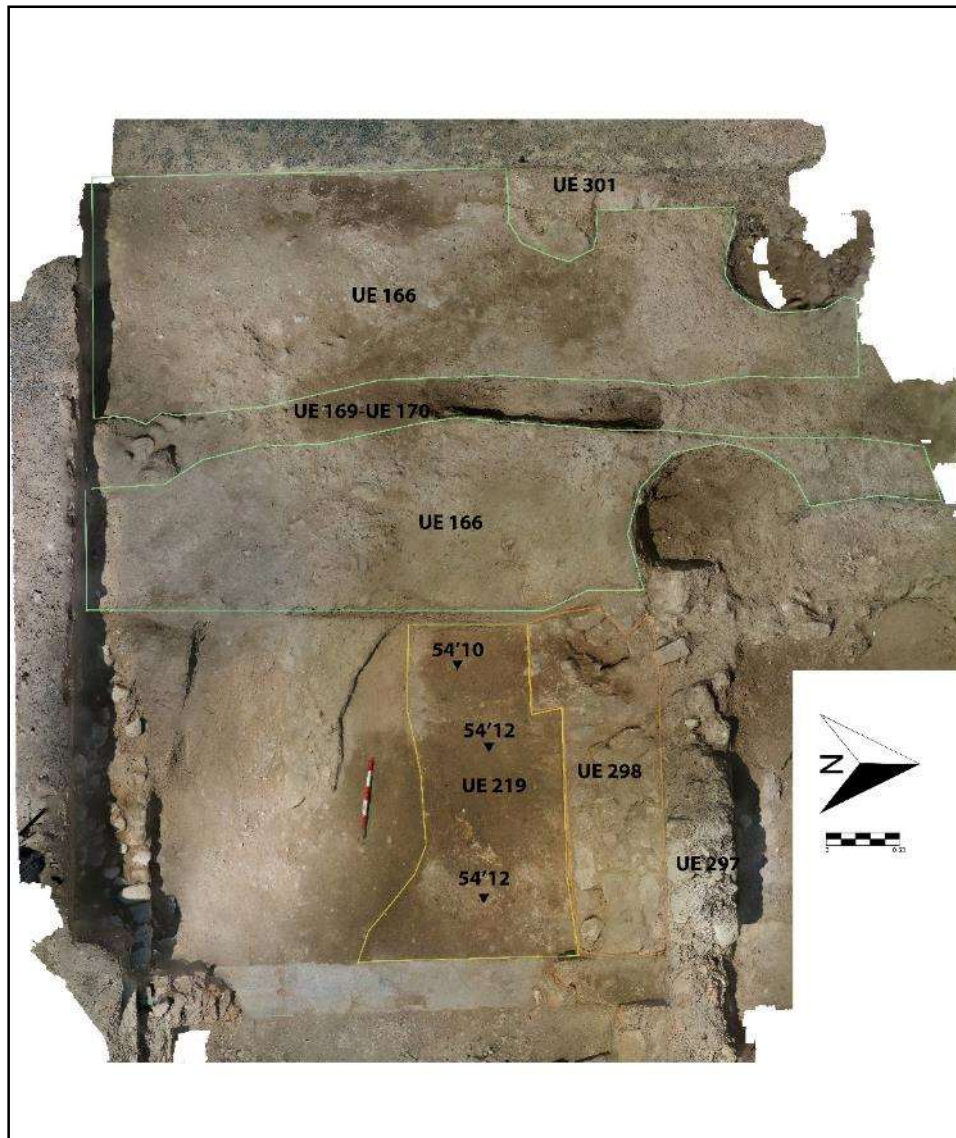


Fig. 86. UE219, UE298, UE166, UE301.

Tras la excavación del pavimento UE 166 apareció un nuevo nivel, UE 360 (54'11/54'12; FIG. 87), también de superficie horizontal, al oeste de la zanja UE 170, y UE 361 (54'05/54'02; FIG.87) al oeste. Ambos niveles, UE 360 y UE 361, presentan el mismo aspecto por lo que es razonable pensar que estamos ante estratos iguales, pero separados por la comentada zanja. Dichos niveles, tienen una composición similar a la UE 166, un estrato de tierra marrón claro, muy compacto, con abundantes cantos rodados de pequeño tamaño y pequeños fragmentos de cerámica. Su superficie, aunque muestra cierta regularidad, se encuentra algo más deteriorado que el estrato superior. Es también reseñable la aparición de una nueva zanja, UE 349, en el extremo oeste de la UE 360, y parcialmente bajo el perfil oeste del corte, que inicialmente estaba cubierta

por el pavimento UE 166. Esta nueva zanja se encuentra rellena por un paquete de tierra, UE 348 (FIG. 87), marrón anaranjado, no muy compacto, sin apreciarse piedras en su composición. La zanja, al igual que la UE 170, se extiende de forma longitudinal a lo largo del corte en dirección norte-sur.

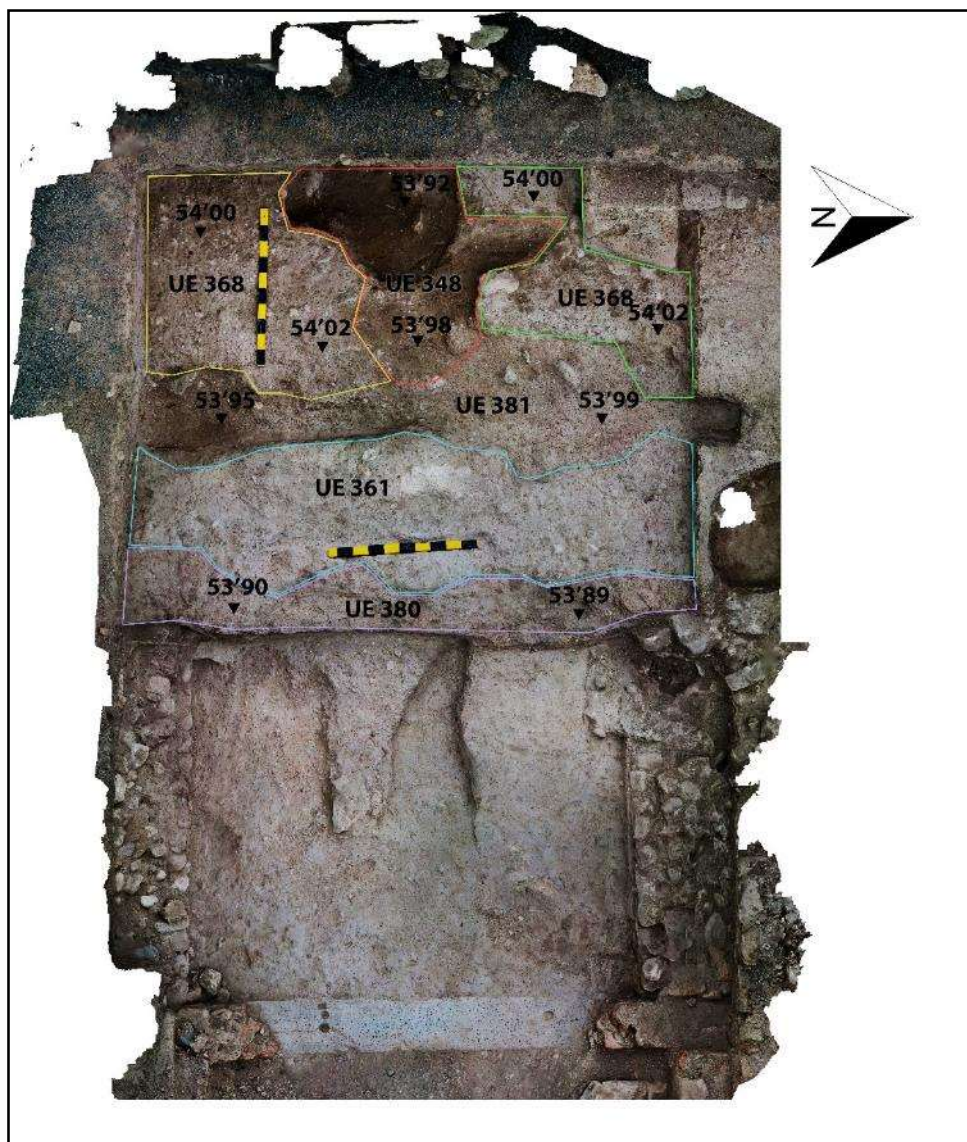


Fig. 87. UE 361, 380, 381, 368 y 348.

De este modo, se procedió a la excavación de los niveles descritos, UE 360 y UE 361. Por un lado, siempre tomando la zanja central como línea divisoria, en la mitad este apareció un nuevo nivel horizontal, UE 380 (53'90/53'89; FIG. 88), cuya superficie se encontraba muy deteriorada, pero dejaba entrever una composición de tierra marrón grisácea, con pequeños cantos rodados y fragmentos de cerámica. En la mitad occidental del corte, por el contrario, la situación era distinta: aunque localizamos también un nivel de

superficie horizontal, UE 368 (54'00/54'02; FIG. 88), aparecía roto por una gran fosa, UE 349, que parte esta mitad del corte en dirección este-oeste, rellena por un paquete de tierra marrón oscuro, no muy compacta y alguna piedra de mediano y pequeño tamaño, UE 348 (53'98; FIG. 88). De hecho, llegados a este punto, la zanja que UE 170 se unía con la nueva zanja UE 349 en su lado oeste, cubriendo inicialmente el relleno de la primera, UE 381 (FIG. 88) al relleno de la segunda, UE 348.

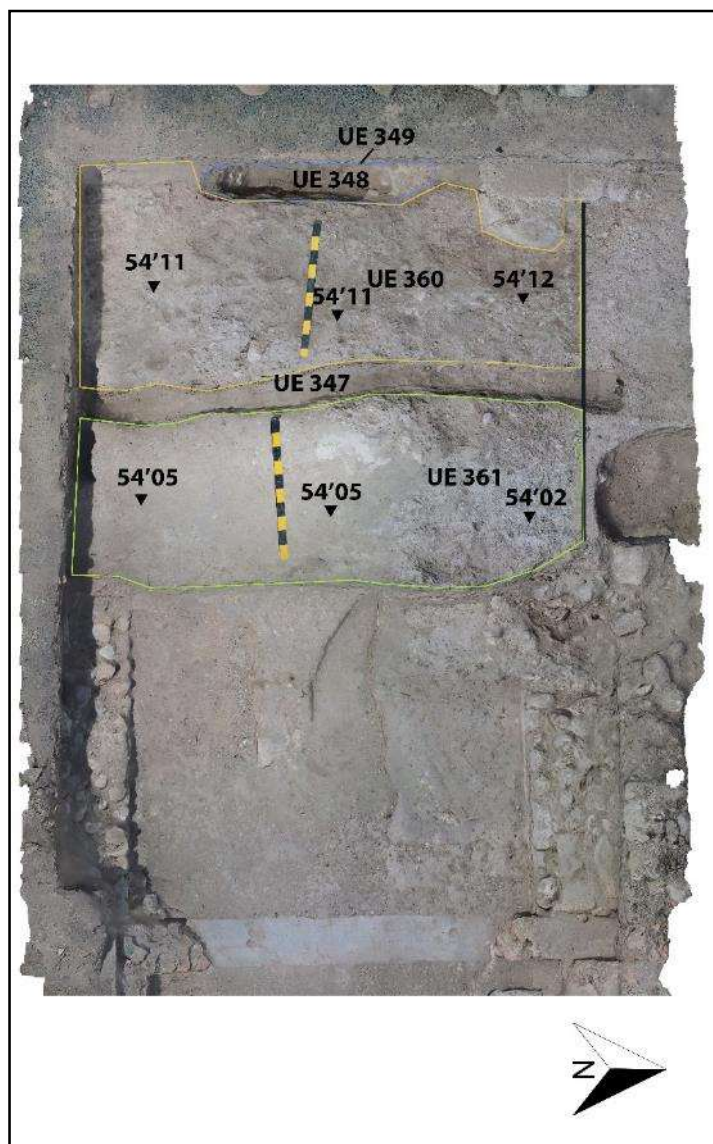


Fig. 88. UE 361, UE347, UE360, UE349 y UE348.

Una vez delimitados los nuevos pavimentos, así como los límites de las zanjas documentadas, se procedió a la excavación de los rellenos de estas, en primer lugar, la UE 381 y posteriormente la UE 348. Durante la excavación de esta última unidad observamos como en su extremo occidental aparecieron una serie de losas, destacando

la central, de gran tamaño, que parecían estar posicionadas de una forma intencionada. De hecho, durante su limpieza, pudimos observar como entre los espacios se filtraba la arena, entendiéndose que en realidad estábamos ante un cegado o cobertura de un nuevo espacio inferior.

Una vez delimitado el conjunto de losas, UE 389 (53'85; FIG. 89), se inició su cuidadosa retirada, para lo cual nos pusimos en contacto con el Consorcio Provincial de Bomberos de Alicante, que amablemente se pusieron a nuestra disposición para supervisar los trabajos de extracción. Tras la extracción pudimos ver con claridad que estas losas se encontraban cubriendo un nuevo pozo de registro perteneciente al sistema de saneamiento de la ciudad romana.

El fondo del registro se encontraba colapsado por un paquete de tierra, UE 390, de color marrón claro, no muy compacta, y que tenía unos diez cm. De potencia, probablemente producto de las filtraciones de arena entre los resquicios de las losas. De hecho, justo bajo la UE 390 pudimos observar la presencia de un nuevo estrato, UE 391, de tierra marrón oscuro, bastante más compacta que la anterior y que se extendía de forma uniforme por el interior del registro.

A pesar de las reducidas dimensiones del registro conseguimos excavar parcialmente la UE 391 hasta observar en las paredes de la estructura la aparición de unas dovelas, que nos marcaban la conducción proveniente desde la cloaca de las termas en la cara este.

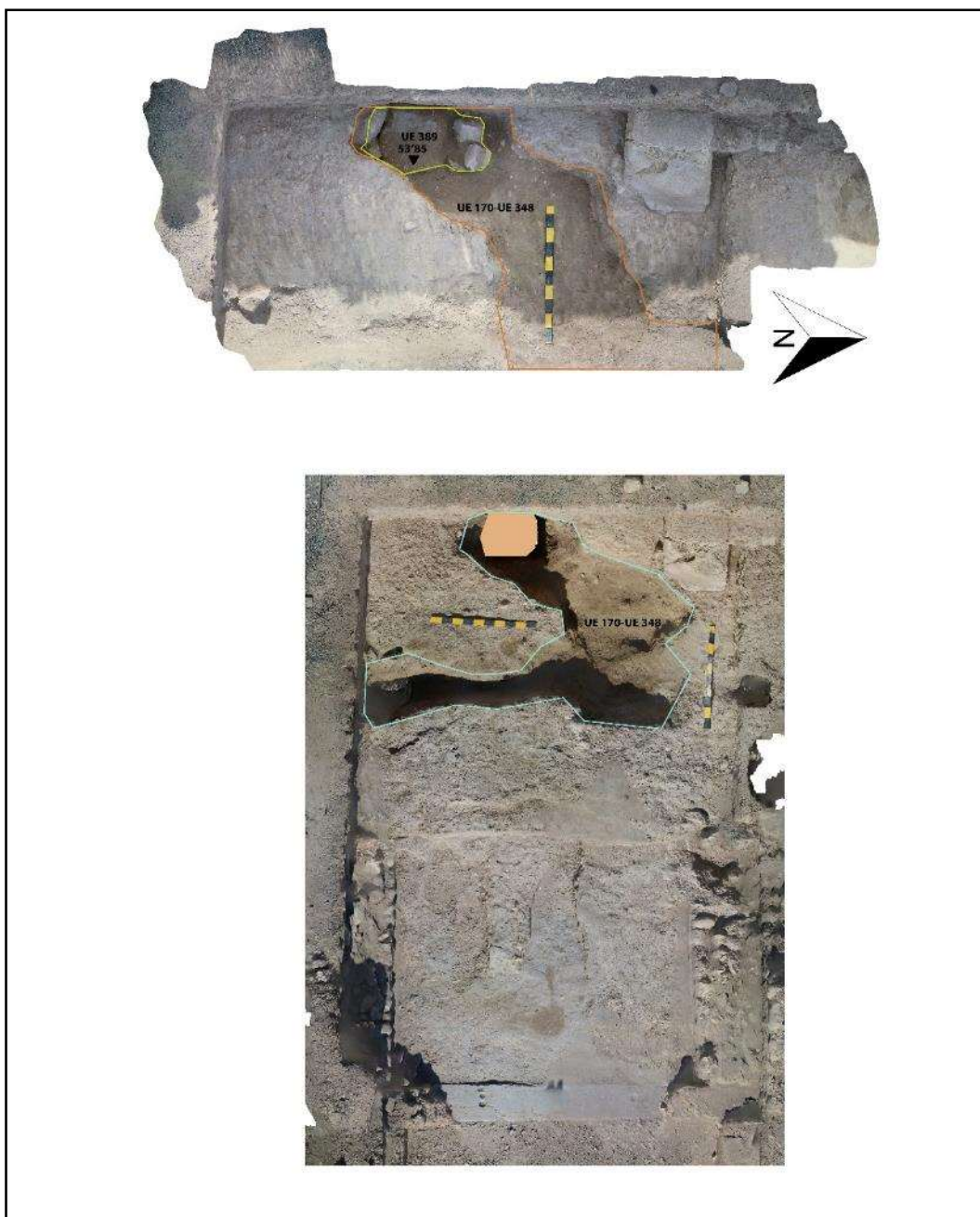


Fig. 89. UE 170-348 y UE 389.

En la cara oeste del pozo pudimos observar esta misma situación, una línea de dovelas, a una cota similar, que nos dejaba entrever una salida de la cloaca hacia la zona occidental del yacimiento. De este modo, desde la parte superior del pozo hasta la cota superior de la clave en la línea de dovelas medía aproximadamente un metro, a lo que hay que sumar 50 cm. de altura a las dovelas.

Las cuatro paredes del pozo presentaban un modo constructivo similar, mampuesto ordinario de mediano y pequeño tamaño, trabado con mortero de cal, trabando

claramente entre si los cuatro lados. Así, denominamos a la cara oeste UE 395, a la cara norte UE 392, a la cara este UE 394 y a la cara sur UE 393 (FIG. 90).

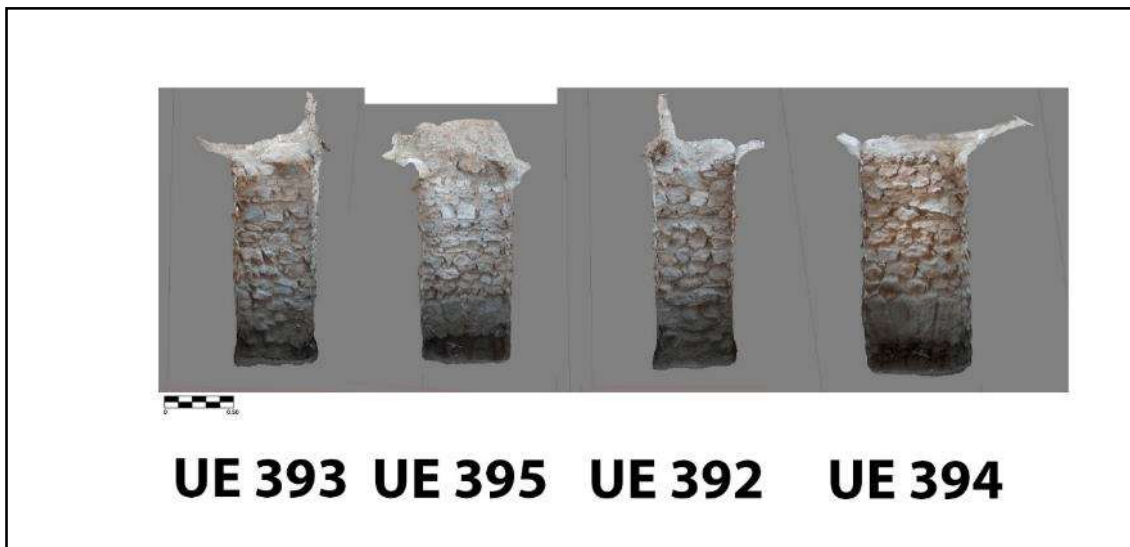


Fig.90. UUEE 392-393-394-395.

Delimitada así la estructura descrita proseguimos con la excavación de los nuevos niveles de paso también comentados, por un lado en la mitad occidental de la calle, UE 368 y por otro lado en la mitad oriental, la UE 380.

Bajo la UE 380 pudimos localizar un nuevo nivel horizontal, UE 404 (53'80/53'82; FIG. 91), que se restringía claramente únicamente a la parte más occidental, y que ofrecía una gran dureza. Compuesto por mortero amarillento, con gran cantidad de cal y alguna piedra de pequeño tamaño. Tanto su extremo sur como su extremo norte se encontraba muy deteriorado, mostrando su preparación, UE 405, compuesto por un árido muy fino, también de color amarillento y graba también de tono amarillento, igualmente fina.

En la mitad occidental de la calle, tras excavar el pavimento UE 368 quedó a la vista su preparación, UE 408 (53'94/53'90; FIG. 91), compuesto por tierra marrón anaranjado, abundantes cantos rodados, nódulos de cal y algún fragmento de cerámica. Bajo este preparado, que se conservaba únicamente en la esquina suroeste del corte, localizamos un nuevo nivel de paso, UE 452, compuesto por tierra marrón claro, cantos rodados de pequeño tamaño y algún fragmento de cerámica, muy alterado en su parte oriental y septentrional por las fosas UE 170-UE 349.

Dividiendo el espacio de la calle, seguimos avanzando en la excavación de la zanja central, UE 170-UE 349, que en su cota superior se encontraba rellena por las UUEE 348 y 381, para cubrir al último de sus rellenos, UE 406 (53'72/53'70; FIG. 91). Este nuevo estrato era mucho menos compacto que los anteriores, tenía un aspecto ceniciento y no se observaba la presencia de piedras.



Fig. 91. UE481, UE404, UE368, UE406 y UE408.

Continuando la excavación en la mitad occidental de la calle pudimos observar un nuevo nivel horizontal, UE 450 (53'75/53'72; FIG. 92), compuesto por tierra marrón oscuro, muy apelmazada, y abundantes cantos rodados de pequeño tamaño. Llama la atención como en la parte occidental de la unidad aparecieron algunos fragmentos de cerámica dispuestos de forma intencionada para facilitar la creación del nivel horizontal.



Fig. 93. UE448, UE450, UE451, UE447, UE 452 y UE453.

Entendemos este nivel como un preparado para recibir un nivel de paso, probablemente compuesto por elementos pétreos. Así, pudimos observar como en la zona meridional del estrato aparecía recortado o parcialmente destruido, algo que vendría a reforzar aun más la idea de estar ante un pavimento realizado con piedra, expoliada en su totalidad. Precisamente en esa zona, en lugar del nivel descrito, UE 450, encontramos un estrato, UE 447 (53'66; FIG. 93), de tierra marrón oscuro, no muy compacta y con alguna piedra de mediano y pequeño tamaño.

En la parte occidental del corte, bajo el preparado UE 408 encontramos dos niveles, de composición muy distinta, pero con una superficie horizontal que parecía coincidir en cota. Por un lado, la UE 452 (53'70; FIG. 93), de tierra marrón anaranjada muy compacta, de aspecto arcilloso. Y, por otro lado, la UE 453 (53'71; FIG. 93), de tierra marrón grisáceo, también muy compacta, y como la anterior, con una superficie tendente a la horizontalidad, aunque presentando algún canto rodado.

Para finalizar, se procedió a una limpieza de la mitad oriental del corte, donde en la anterior campaña se intervino hasta dejar a la vista la UE 219 (FIG. 7), un nivel de pavimentación que cubría parcialmente el espacio inmediatamente al norte del umbral. Tras su excavación en la presente campaña pudimos constatar un nuevo estrato, UE 448 (53'67/53'60; FIG. 13), que ofrecía una superficie horizontal, y que estaba compuesto por tierra marrón claro, y algún canto rodado de pequeño tamaño, extendiéndose de forma irregular por todo el espacio comprendido entre el umbral y la calle. Aunque con una pendiente descendiente hacia el este, este nuevo nivel de paso nos ofrece una morfología similar al nivel de paso UE 450, descrito previamente.

De este modo, finalizamos el proceso de excavación del Ambiente 11W definiendo dos niveles de paso que funcionan de forma contemporánea, UE 448 y UE 450, tanto en la calle como en el espacio inmediatamente al oeste del umbral de acceso al complejo termal.

Por otro lado, en la zona denominada calle, además de haber definido claramente un último nivel de paso, UE 450, en la mitad occidental dejamos definido por un lado el acceso al registro de la cloaca, que recogía las aguas procedentes del complejo termal y que las canalizaba hacia la presumible red de alcantarillado en la zona oeste. Y por otro lado, un nivel de paso, UE 452, localizado en la esquina suroeste que por el momento es el último constatado dentro de la calle, a falta de proseguir en posteriores campañas la excavación en esta zona (FIG. 94 SECCIÓN; FIG. 95 DIAGRAMA ESTRATIGRÁFICO).

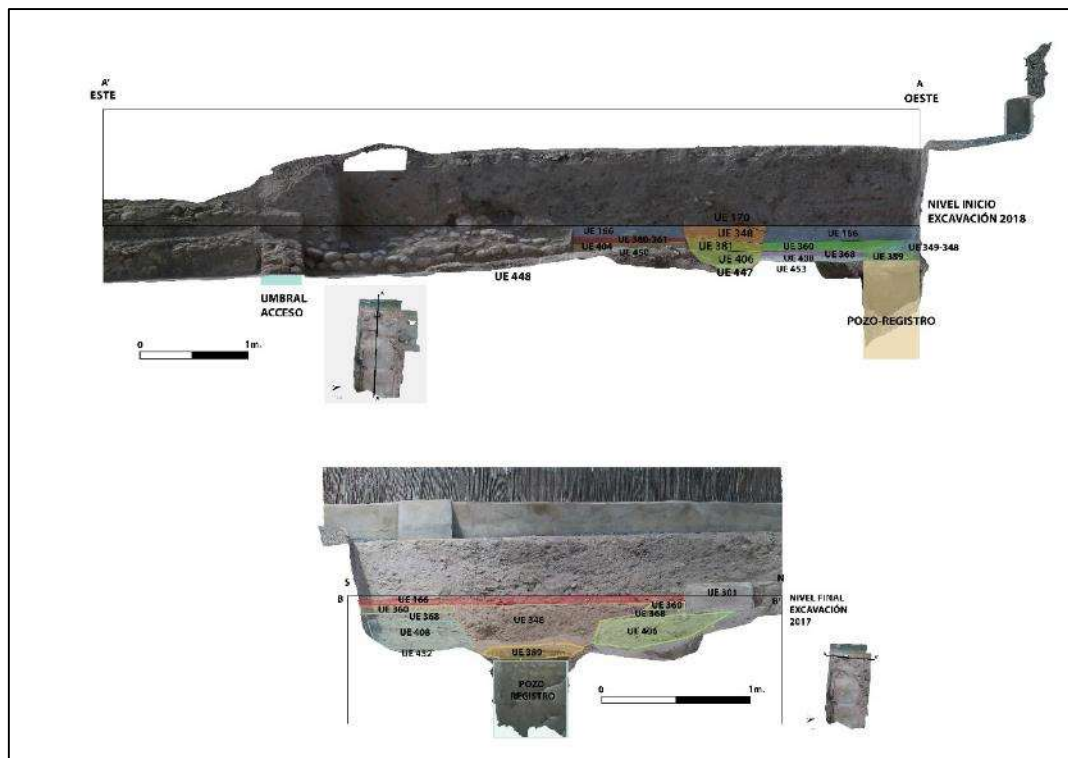


Fig. 94. Sección general

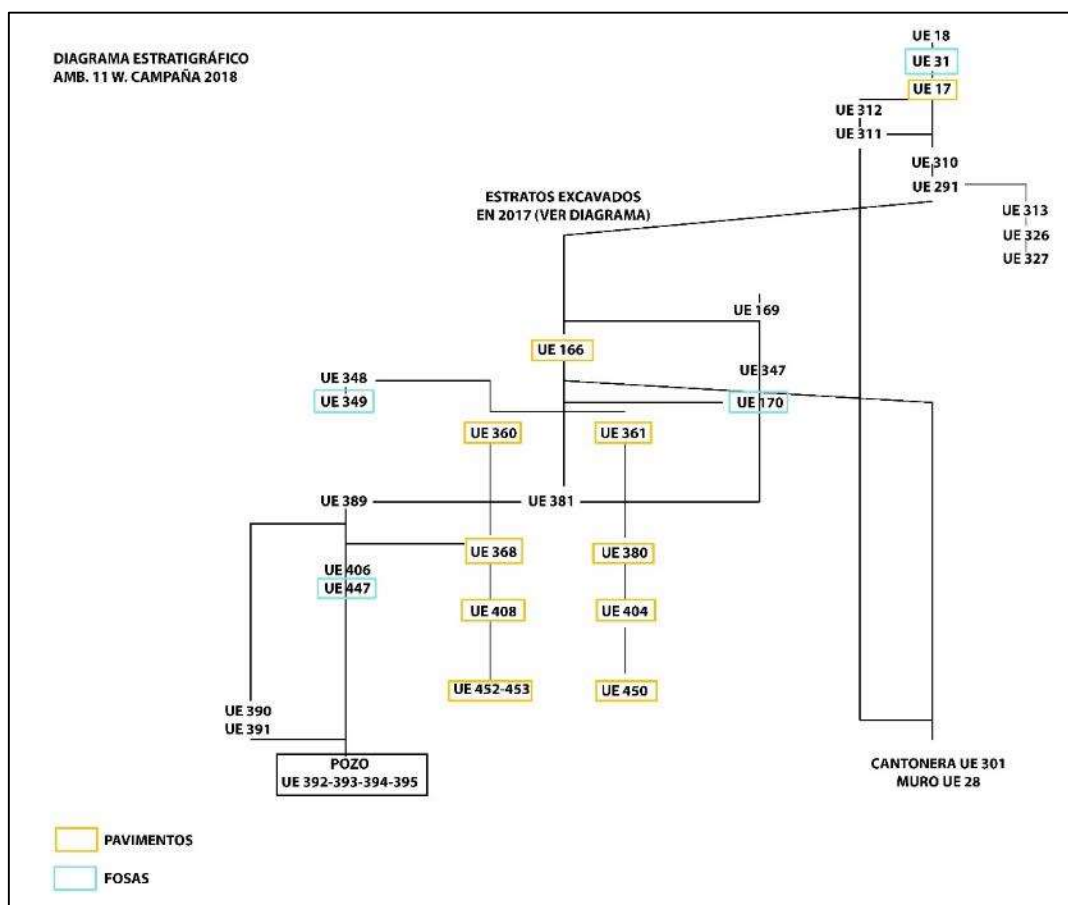


Fig. 95. Diagrama general

Interpretación estratigráfica del Ambiente 11W – Campaña 2018

Tal como ya hemos detallado en la parte correspondiente a la descripción de la excavación durante la campaña 2018, a continuación, pasamos describir las relaciones estratigráficas y su agrupación por fases. Cabe decir que dicha interpretación se basa exclusivamente en la relación entre estratos excavados, sin poder asignar en el momento de la redacción de esta memoria cronologías basadas en el estudio del material arqueológico aparecido.

La excavación en el Ambiente 11 W retoma los niveles estratigráficos excavados durante la campaña 2017, centrándonos de forma especial en la mitad occidental del corte que ya en la anterior campaña identificamos como una posible calle. El último de los niveles de paso detectados en la anterior campaña corresponde con la UE 166, y ya desde los niveles superiores se vino detectando un canal, UE 170, que recorría de norte a sur el espacio excavado, dividiendo el espacio de la calle en dos partes. Así, esta división estratigráfica condicionó desde el principio la propia excavación, siendo este canal o zanja un elemento separados de los niveles de paso detectados en la parte occidental y en el parte oriental.

Así, bajo el nivel de calle UE 166 llegamos a detectar hasta 9 niveles distintos de pavimentación correspondientes a momentos distintos de uso de la propia calle, pudiendo establecer cuatro grandes momentos de uso previos al primero de los niveles de paso que sirvió de punto de partida en esta campaña.

Del mismo modo, también resulta interesante recordar que durante la excavación de dichos niveles se han localizado también distintas fosas o zanjas que parecen perseguir distintos objetivos que a continuación pasaremos a describir. Estas fosas, buscan dos objetivos: por un lado, la aparente canalización o recogida de aguas pluviales en la calle (UE 170) y por otro lado la búsqueda del registro de cloaca que hallamos en el extremo occidental del corte.

Bajo el nivel de paso UE 166, que parece ser el que canceló dicho registro de cloaca, que comentaremos más adelante, sella una gran zanja (UE 349 y UE 447) que rompe todos los niveles de paso documentados bajo el anterior nivel de calle. De este modo, al menos en esta zona, la búsqueda y posterior sellado de la cloaca condicionó definitivamente el uso del espacio viario.

Los niveles de paso detectados bajo la UE 166:

- -nivel 368-380
- -nivel 404-408
- -nivel 452-453-450

son rotos por las fosas antes comentadas, colocándose la nueva cubierta de la cloaca (UE 389) por encima del nivel de paso 368-380, pero por debajo del nivel 360-361, pudiendo ser este el último nivel de uso que contemplo el uso del registro. Precisamente en este nivel de paso pudimos apreciar una pequeña rotura, UE 349, que coincidía con la ubicación del registro, aunque la cota superior del relleno de esta fosa coincidía con la cota de uso del pavimento.

Así, quedará por aclarar en posteriores campañas varias cuestiones relacionadas tanto con los niveles de uso de la calle, así como la propia construcción del registro hallado. Aunque el descubrimiento del registro descrito en la memoria, que une con la cloaca de las termas por su zona noreste, evidencia un uso durante los niveles 368/380, 404/408, 452/453/450 y tal vez 360/361, quedaría por esclarecer su momento de construcción y si este correspondería a un nivel de uso de la calle previo al último de los niveles detectados durante la campaña 2018.

También queda pendiente la excavación y estudio en profundidad del registro de cloaca comentado, quedando su excavación en la cota superior de la UE 391, y cuyo colapso interno nos proporcionará material arqueológico de gran valor para fechar el abandono efectivo del sistema de alcantarillado en esta parte de la ciudad.

8. CUBRICIÓN Y PROTECCIÓN DE LA ZONA EXCAVADAL

Tras finalizar las labores de excavación en el sector 7F se optó por tres tipos de cubriciones preventivas: protección de las zonas de excavación con previsión de ser recuperadas en la siguiente campaña; cubrición de espacios susceptibles de ser inundados por lluvias y cubrición-protección de elementos arquitectónicos en especial peligro de daño o deterioro.

De este modo, dentro del primer tipo de cubrición se optó por la utilización de láminas de polietileno negro, cubriendo de forma directa la situación estratigráfica resultante de los trabajos de excavación llevados a cabo durante la campaña. Así, se intervino de este modo sobre los ambientes 5, 7, 25, 29 y 30, que fueron cubiertos con láminas de polietileno negro, tal como hemos mencionado, fijándolos a la superficie de excavación mediante piedras de mediano tamaño para evitar así la degradación de los últimos niveles exhumados.



Fig. 96. Cubrición-protección de elementos arquitectónicos.



Fig. 97. Cubrición-protección de A11W.

El segundo tipo de cubrición afectó directamente al Ambiente 28, un espacio polilobulado cuyo suelo se encuentra a 1'6 m. por debajo del nivel de paso, dando lugar a un espacio estanco. En caso de lluvias, la inundación del ambiente podría provocar serios daños no solo a la mampostería de los muros, sino también a los enlucidos conservados y las pilae de material latericio que se encuentra en su base. Con el fin de evitar esta situación se preparó una estructura que apoyaba directamente sobre el nivel inferior del hipocausto y que sustentaba un techado provisional realizado con varias telas de valla metálica móvil. Dicha estructura apoyaba a su vez sobre pilares artificiales realizados con cajas de plástico, totalmente inertes y que no afectaban en la zona de contacto con el nivel arqueológico conservado. Esto facilitó una superficie al nivel del pavimento original de la estancia que permitió a su vez cubrirlo con una capa de geotextil, y sobre estas láminas de polietileno negro. La base de geotextil sobre la estructura metálica impediría el contacto directo del metal con el plástico, y por tanto su más que probable rotura debido a la fricción. Esta cobertura provisional del Ambiente 28 evitará, por tanto, el estancamiento de aguas en su interior, reconduciendo así las posibles aguas de lluvia hacia los extremos sur y este del ambiente, donde no supone un problema la correntía pluvial.



Fig. 98. Cubrición-protección de Amb. 28: estructura metálica.



Fig. 99. Cubrición-protección de Amb. 28: geotextiles



Fig. 100. Cubrición-protección de Amb. 28: plásticos

El tercer tipo de cubrición se aplicó sobre el pavimento musivo del Ambiente 1, cuyo pavimento se extiende por toda la habitación, que desde su descubrimiento había permanecido a la intemperie, soportando no solo las inclemencias meteorológicas, sino también el tránsito de personas. Con el objetivo de preservar dicho mosaico cara a una futura intervención de consolidación y puesta en valor prevalecía la protección inmediata puesto que ya en esta campaña se apreció la pérdida de teselas en zonas concretas. Dicha cubrición se realizó en primer lugar colocando una lámina de polietileno negro que ocultaba completamente todo el mosaico. Sobre el polietileno extendimos una capa de 2 cm. de grosor de árido limpio procedente de la misma excavación, para posteriormente cubrirlo con fibra geotextil. Finalmente, la fibra geotextil se protegió con polietileno negro que a su vez cubrimos con grava de gramaje medio color gris. En todo momento se propició una superficie con desnivel hacia el este, para poder así facilitar la evacuación de aguas pluviales, evitando así la acumulación de charcos en su superficie.



Fig.101. Cubrición-protección de mosaico de Amb. 1 con geotextiles, tejidos plásticos transpirables y tierra.



Fig. 102. Fig.101. Cubrición-protección de mosaico de Amb. 1 con plásticos transpirables



Fig. 103. Fig.101. Cubrición-protección de mosaico de Amb. 1 con gravilla

De este modo se ha protegido dentro del Sector 7F distintas zonas con objetivos claramente definidos: la preservación de estructuras para una futura consolidación y puesta en valor, la protección de la estratigrafía final de campaña para su posterior excavación y finalmente evitar el estancamiento de aguas pluviales en zonas sin evacuación o de evacuación dificultosa.

9. Listado de Unidades Estratigráficas

UE	AMBIENTE	TIPO	DESCRIPCIÓN
2017			
1	-	Estrato	Capa superficial presente en todo el yacimiento
2	24B	Estrato	Estrato al E. del muro UE 4, bajo UE 1
3	24A	Estrato	Estrato al W. del muro UE 4, bajo UE 1
4	24A/24B	Muro	Muro de orientación N-S que divide en dos al Amb 24
5	24B	Estrato	Relleno del basurero que recorta la fosa UE 8 en la UE 2
6	Sobre 25	Interfaz	Fosa en forma de cono invertido que recorta a los Amb. 1, 25 y 28
7	24A	Estrato	Posible fosa cubierta por UE 3 al NW del muro UE 4
8	24B	Interfaz	Fosa que recorta a la UE 2, rellena por UE 5
9	24A	Estrato	Derrumbe que se apoya en UE 3, al NW del muro UE 4
10	27W	Estrato	Amontonamiento de piedras con alineación N-S bajo UE 1
11	27W	Estrato	Estrato horizontal ¿pavimento? bajo UE 1
12	27W	Estructura	Pavimento de mortero ¿o. signinum? Bajo UE 11, roto al N por fosa UE 15
13	27W	Estructura	Pavimento equivalente a UE 12, roto al S por fosa UE 15
14	27W	Estructura	Pavimento por definir bajo UUEE 12 y 13
15	27W	Interfaz	Fosa que parece romper los pavimentos UUEE 12 y 13. Rellena por UE 16
16	27W	Estrato	Relleno de la fosa UE 15
17	27W	Estrato	Estrato de tierra marrón claro bajo UE 1, en la zona E del corte
18	27W	Estrato	Estrato de tierra negra muy suelta bajo UE 1, en la zona E del corte
19	24A	Estrato	Estrato gris que forma la capa superior del relleno de la fosa de UE 36
20	24A	Estrato	Nivel de ceniza que rellena a la fosa de UE 36
21	24A	Estrato	Relleno de la fosa de UE 22
22	24A	Interfaz	Fosa realizada contra el muro UE 4, rellena por UE 21
23	Sobre 25	Grupo UUEE	Canal dirección N-S, ligeramente curvado. Posible acequia siglo XIX. Cortada por fosa UE 6
24	Sobre 25	Estrato	Relleno del tramo de acequia del G.U. 23
25	Sobre 25	Estructura	Estructura de piedras al E de la acequia UE 23. Posible brocal
26	Sobre 25	Estructura	Estrato de tendencia horizontal, compacto, situado en la parte E del corte. Posible pavimento
27	27W	Estrato	Estrato de tierra anaranjada que cubre a la UE 11
28	27W	Muro	Muro con orientación N-S bajo UE 1
29	27W	Muro	Muro con orientación N-S, paralelo al E de UE 28
30	27W	Muro	Muro de orientación E-W que hace esquina al W con el muro UE 28
31	27W	Interfaz	Fosa-recorte en la UE 17, rellena por la UE 18
32	27W	Estrato	Estrato de tierra marrón oscuro/negro que rellena una pequeña fosa circular (UE 34). Cubierta por UE 17
34	27W	Interfaz	Fosa-recorte circular relleno por UE 33. Recorta a UE 32
35	Sobre 25	Estrato	Relleno de la fosa UE 6
36	24A	Interfaz	Fosa que recorta a UE 3, rellena por 20
37	Sobre 25	Estructura	Extremo S del partidor E de la acequia de G. U. 23
38	Sobre 25	Estructura	Extremo N del partidor E de la acequia de G. U. 23
39	Sobre 25	Estructura	Fondo del partidor E de la acequia de G.U. 23
40	Sobre 25	Estructura	Extremo W del partidor S de la acequia de G.U. 23

41	Sobre 25	Estructura	Fondo del partidur S de la acequia de G.U. 23
42	Sobre 25	Estructura	Muro W de la acequia de G.U. 23
43	Sobre 25	Estructura	Muro E de la acequia de G.U. 23, que llega hasta el extremo del partidur UE 38
44	Sobre 25	Estructura	Resto de muro que continúa otro ramal de la acequia de G.U. 23, a continuación de UE 37
45	Sobre 25	Estructura	Resto de muro que continúa otro ramal de la acequia de G.U. 23, a continuación de UE 38
46	Sobre 25	Estructura	Tramo de muro de la acequia de G.U. 23 que continúa al muro UE 43 tras la UE 37
47	Sobre 25	Estructura	Tramo de muro de la acequia de G.U. 23 al S del partidur UE 40
48	27W	Estrato	Estrato de tierra marrón pardo, recortado por la fosa UE 31 y cubierto por la UE 17
49	24A	Estrato	Estrato gris con piedras y cerámica. Igualado a UE 20
50	Sobre 25	Estrato	Estrato ceniciento de tendencia horizontal bajo pavimento UE 26
51	Sobre 25	Estructura	Estructura cuadrangular realizada con piedras irregulares, sobre UE 52
52	Sobre 25	Estrato	Estrato de cal disgregada, de tendencia horizontal, sobre UE 50
53	Sobre 25	Estrato	Nivel de tierra de cultivo que colmata todo el corte. Recortado por fosa UE 6
54	24A	Estrato	Estrato gris arcilloso con piedras, bajo UE 20. Relleno fosa
55	24A	Estrato	Estrato arcilloso verde cortado por UE 36 (fin de la fosa)
56	Sobre 25	Estrato	Estrato con gravas bajo UUEE 35 y 53. Ocupa todo el corte
57	Sobre 25	Interfaz	Recorte sobre UE 56 para encajar el canal de G.U. 23
58	27W	Estrato	Estrato de tierra marrón amarillenta bajo UE 11, rellenando a UE 59
59	27W	Interfaz	Recorte en el pavimento UE 11, relleno por UE 58
60	28	Estrato	Acumulación de piedras contra muro UE 3304. Posible derrumbe del mismo
61	Sobre 25	Interfaz	Recorte en UE 56 para hincar el partidur UE 37
62	Sobre 25	Interfaz	Recorte en UE 56 para hincar el partidur UE 38
63	Sobre 25	Interfaz	Recorte en UE 56 para hincar el partidur UE 40
64	28	Interfaz	Recorte practicado en la parte superior del muro UE 3304, destruyendo parte de la exedra
65	28	Interfaz	Relleno del recorte UE 64
66	25	Estrato	Acumulación de piedras ¿derrumbe? que se apoya en el muro UE 67
67	25/28	Muro	Muro orientación W-E que traba con UE 3304 y separa a los Amb 25 y 28. Su cara interna (Amb 28) traza un recorrido curvo
68	28	Estrato	Estrato grisáceo con abundante presencia de material constructivo
69	29	Estrato	Estrato grisáceo con presencia de escoria de metal
70	25	Estrato	Estrato arenoso (mortero disgregado) que continúa hacia el E el recorrido del muro UE 67
71	28	Estrato	Acumulación de paleocharcos, dentro de la exedra. Se apoya en 60 y en 68
72	29	Estrato	Estrato de tierra naranja, con presencia de ladrillo y adobes
73	29	Estructura	Pilar (jamba) que sobresale del muro UE 3304 en dirección E-W
74	11W	Muro	Muro W de posible canalización

75	24B	Estrato	Capa de tierra y restos cerámicos, cenizas y material de construcción rellenando fosa UE 8, bajo UE 5
76	Sobre 25	Estrato	Estrato de cal muy disgregada. Situado entre pavimento UE 26, acequia de G.U. 23 y la UE 52. Sobre UE 53
77	28	Estructura	Enlucido que reviste la cara externa del muro de UE 3304
78	11W	Muro	Muro E de posible canalización
79	11W	Estrato	Relleno entre las UUEE 74 y 78
80	11W	Estrato	Capa de tierra de tonalidad oscura y suelta al W de UE 74
81	11W	Estrato	Estrato de tierra gris oscuro en la zona SE del corte. Posible relleno de fosa
82	11W	Estrato	Estrato de tierra gris oscura en la zona NE del corte. Posible relleno de fosa
83	11W	Muro	Muro de mampostería en piedra caliza, situado al N-NE del corte
84	11W	Estrato	Estrato de tierra gris, compactada y con piedras
85	29	Estructura	Nivel de tierra y acumulación de fragmentos de enlucido parietal
86	25	Estrato	Acumulación de mortero disgregado y de fragmentos de estuco bajo UE 94
87	28	Estructura	Enlucido de estuco en la cara del muro UE 67, hacia el vano
88	28	Estructura	Enlucido de estuco en la cara del muro 89, hacia el vano
89	25/28	Muro	Muro bajo UE 70 que conforma el extremo E del Amb 28. Un tramo continúa el recorrido E-W del muro 67 antes de hacer ángulo en dirección N-S
90	28	Estrato	Estrato de mortero disgregado y revuelto sobre el muro 89
91	25	Estrato	Derrumbe de mortero bajo UE 68 y al NE del muro 3304
92	25	Estructura	Enlucido de estuco en el muro UE 3304 en el ángulo con el muro UE 67
93	25	Estructura	Enlucido de estuco sobre el muro UE 67 en el ángulo con el muro UE 3304
94	25	Estrato	Estrato ataludado cortado por fosa UE 6. Bajo UE 56. Posible derrumbe
95	25	Estrato	Nivel de derrumbe apoyado contra el muro UE 67
96	11W	Estrato	Estrato de tierra marrón claro, bajo UE 82, rellenando a la fosa UE 97
97	11W	Estrato	Fosa rellena por UE 96 y 82
98	29	Interfaz	Fosa que recorta a la UE 72
99	29	Estrato	Relleno de la fosa UE 98
100	29	Interfaz	Interfaz que recorta la UE 85 y rellenada por UE 69
101	11W	Estrato	Estrato de tierra marrón grisáceo bajo UE 1 en la zona SE del corte
102	25	Estrato	Estrato de tierra amarillenta y arenosa, con gran cantidad de enlucidos, bajo UE 94
105	11W	Estrato	Estrato de tierra marrón amarillenta en el fondo de la fosa UE 106
106	11W	Estrato	Recorte-fosa de tendencia ovalada relleno por la UE 81
107	3/4/5	Estrato	Estrato que cubre la cresta de los muros UUEE 3008, 3003 y 3001. Compuesto por tierra suelta de color castaño y piedras de pequeño tamaño
108	5	Estrato	Estrato de tierra anaranjada apelmazada sobre muro UE 3001. Cubre a UE 117
109	28	Estrato	Acumulación de piedras que se apoya en la cara W de UE 74
110	24A	Estrato	Tierra compacta amarillenta sin fragmentos cerámicos. Bajo UE 3
111	24A	Interfaz	Fosa que recorta a UE 110 para apoyar o cimentar muro UE 4

112	30	Estrato	Nivel de tierra parduzca sin material arqueológico que se apoya en la cara E de la UE 89
113	28/29	Muro	Muro dirección E-W que separa los Amb 28 y 29
114	29	Estrato	Nivel de tierra bajo UE 85 y contra la cara N del muro UE 113
115	28	Estrato	Cúmulo de piedras apoyado en la cara S del muro UE 113
116	25	Estrato	Nivel de tierra con material de construcción que colmata el Amb 25, bajo UE 102
117	5	Estrato	Estrato compacto de tierra color castaño con piedras de pequeño tamaño bajo UE 108
118	28	Estrato	Estrato de tendencia horizontal bajo UE 68
119	24B	Estrato	Estrato de tierra bajo UE 5 que se apoya en UE 75, en el interior de la fosa UE 8
120	11W	Estructura	Nivel de pavimentación
121	11W	Estructura	Nivel de pavimento bajo UE 120
122	25	Estrato	Estrato compacto de tonalidad anaranjada en el extremo N que apoya contra el muro UE 67 bajo UE 95
123	29N	Estrato	Colmatación de piedras al N del muro UE 3304
124	11W	Estrato	Estrato de tierra marrón anaranjada bajo UE 122 y UE 184
125	29N	Estrato	Estrato de tierra marrón (zahorra) bajo UE 123
126	29N	Estrato	Tierra de tonalidad cenicienta que rellena a UE 128
127	29N	Estrato	Nivel de tierra, gravas y mortero disgregado recortado por UE 128. Bajo UE 123
128	29N	Interfaz	Fosa que recorta a UUEE 125, 127 y 144
129	29N	Muro	Muro adosado al muro UE 3304. Posible hornacina
130	25	Estructura	Pavimento del Amb 25, bajo UE 116
131	25	Estructura	Media caña hidráulica en el extremo SW del Amb 25
132	25	Estructura	Media caña hidráulica en el extremo NW del Amb 25
133	25	Estructura	Media caña hidráulica en el extremo N del Amb 25, adosada a la UE 67
134	25	Estructura	Posible escalón de acceso al Amb 28 desde el Amb 25, bajo el umbral UE 135
135	25	Estructura	Umbral que comunica al Amb 25 con el 28. Cubierto por UE 66 y sobre UE 134
136	25	Interfaz	Fosa que recorta a UE 130 en el extremo N del Amb 25. Rellena por UE 122
137	25S	Estrato	Tierra anaranjada con escaso material arqueológico que cubre al muro que delimita el extremo S del Amb 25
138	28	Estructura	Enlucidos que revisten la cara W del muro UE 89
139	29	Interfaz	Interfaz que recorta a la UE 114. Relleno por UE 140. Al N del muro UE 113
140	29	Estrato	Relleno de la interfaz 139. Apoya contra el muro UE 113 por el N
141	28	Interfaz	Recorte practicado a la UE 118, relleno por UE 115. Al S del muro UE 113
142	28/29	Estrato	Estrato de tierra que colmata el extremo W de la fosa de UE 139/141
143	29N	Estrato	Nivel compuesto por tierra grisácea de textura arcillosa, con fragmentos de ladrillo y de estuco
144	29N	Muro	3304
145	29N	Estrato	Nivel de textura arenosa
146	24B	Estrato	Estrato de adobes compactados bajo UUEE 75 y 119
147	25	Estructura	Base de piedra con perforación vertical. En el extremo NW del Amb 25
148	25	Estrato	Relleno de la UE 147

149	25	Estrato	Estrato que colmata la fosa UE 150, en el ángulo NE del Amb 25
150	25	Interfaz	Recorte practicado en el ángulo NE del Amb 25, en el pavimento UE 130
151	25	Estructura	Canal construido en el pavimento UE 130
152	25	Estrato	Relleno del canal UE 151
153	25	Estrato	Estrato en talud que desciende en sentido N-S, de tonalidad amarillenta, que cubre parcialmente al pavimento UE 130 y se apoya en el muro UE 189
154	25	Estrato	Estrato en talud que desciende en sentido S-N, formado por tierra y piedras. Cubre parcialmente al pavimento UE 130 y se apoya en la cara N del muro UE 209
155	25	Estructura	Media caña hidráulica con orientación W-E que delimita el extremo S del Amb. 25
156	25	Estructura	Estructura circular sobre el pavimento UE 130. Conectada al canal UE 152. Posible base original del <i>labrum</i>
157	25	Estructura	Canal que une la estructura circular UE 156 con la toma de agua UE 147. Construido en pavimento UE 130
158	28	Estrato	Estrato de tendencia horizontal bajo UE 118. Cubre parcialmente a UE 160. Posible nivel de paso
159	28	Estructura	Media caña hidráulica que bordea la exedra del muro UE 3304
160	28	Estructura	Resto de pavimento de <i>o. signinum</i> bajo UUEE 118 y 158
161	25	Estructura	Estructura circular sobre pavimento UE 130. Posible segunda ubicación del <i>labrum</i>
162	28	Estrato	Nivel de tendencia horizontal bajo UE 158
163	28	Estructura	Nivel horizontal de <i>o. signinum</i> entre muros UUEE 73 y 113 (vano)
164	28	Estructura	Losas bajo UE 163, entre muros UUEE 73 y 113 (vano)
165	25	Elemento	Fragmentos de pavimento que forman parte del vertido UE 116
166	11W	Estrato	Nivel de pavimento formado por abundante cal amarillenta, pequeñas piedras y cerámica
167	2	Interfaz	Interfaz que marca el límite de las excavaciones Ramos
168	2	Estrato	Estrato de tendencia horizontal en el canal al W del Amb. 2
169	11W	Estrato	Estrato de tierra gris que rellena una zanja que recorta el corte en dirección N-S
170	11W	Estrato	Zanja longitudinal que cruza el corte en dirección N-S, rellena por UE 169
171	11W	Estrato	Estrato de tierra gris que rellena una pequeña zanja en la zona N del corte, rompiendo el pavimento UE 121
172	11W	Estrato	Zanja que vemos parcialmente en la zona N del corte, rompiendo UE 121 y rellena por UE 171
173	25	Elemento	Restos humanos dentro de la UE 193, sobre el canal que delimita el extremo S del Amb. 25
175	28E	Estrato	Acumulación de tierra y piedras entre la cara E del muro UE 89 y el límite del corte, bajo UE 53. Se le apoya UE 112
176	5	Estrato	Relleno de la interfaz UE 177. Excavaciones de las campañas Ramos
177	5	Interfaz	Interfaz realizada en las excavaciones de las campañas Ramos
178	5	Estructura	Cimentación del muro S del G.U. 3096, sobre UE 206
179	5	Estrato	Estrato de tierra anaranjada junto a los muros UUEE 3008 y 3003, al N del Amb. 5
180	25	Interfaz	Recorte practicado en la UE 53 con el fin de instalar la acequia de UE 23.
181	5	Muro	Muro bajo el muro UE 185, igual a muro UE 387

182	11W	Estrato	Estrato de tierra marrón pardo con abundante material de construcción, bajo UUEE 101 y 84
183	11W	Estrato	Estrato de tierra marrón oscuro, poco compacta, bajo UE 166 (su preparación)
184	11W	Estrato	Estrato de tierra marrón oscuro tendente al negro, bajo UUEE 182 y 183
185	5	Muro	Muro de orientación N-S sobre muro UE 181, al E del Amb. 5
186	5	Muro	Muro de orientación W-E al N del Amb. 5 ¿trabado? al muro UE 185
187	25	Estructura	Media caña hidráulica que delimita el extremo NE del Amb. 25. Se adosa al muro UE 193
188	25	Estructura	Media caña hidráulica que delimita el extremo E del Amb. 25. Se adosa a UUEE 189, 190 y 191
189	25	Estructura	Muro de orientación N-S que delimita el Amb. 25 en su extremo E
190	25	Estructura	Revestimiento de ladrillo sobre la cara externa del muro UE 189, en el extremo E del Amb. 25. Se adosa a UE 191
191	25	Estructura	Revestimiento de mármol sobre la cara externa del muro UE 189, en el extremo E del Amb. 25. Se le adosa UE 190
192	25/28	Muro	Muro de orientación E-W al E del vano UE 135. Cubierto por muro UE 89
193	25	Estrato	Relleno de la interfaz UE 194, en cuyo interior se encuentran los restos humanos UE 173
194	25	Interfaz	Fosa bajo UE 116 que recorta a UE 154. Rellena por UE 193
195	25	Estrato	Relleno del canal que conforman las UUEE 209 y 3213
196	28	Estrato	Estrato de tendencia ataludada que desciende en sentido E-W, de tonalidad amarillenta y textura granulosa. Bajo UE 162
197	28	Interfaz	Recorte en el Amb. 28 que rompe el mosaico
198	28	Estructura	Pavimento de mosaico cortado por la interfaz UE 197
199	28	Estrato	Nivel de cantos bajo UE 162 y sobre mosaico UE 198, junto al vano UE 135
200	5	Estructura	Base de tendencia horizontal realizada con cantos rodados. Al E del Amb. 5, bajo el muro UE 181 y debajo de la estructura UE 337
201	5	Muro	Muro de orientación NW-SE bajo la UE 176, al E del Amb. 5 y bajo el muro UE 185, igual a UE 227
202	28	Estrato	Tierra cenicienta con huesos que rellena la fosa UE 197. Bajo UE 162
203	28	Estructura	Mosaico bajo UE 199, en el extremo W del Amb. 28. Cortado por UE 197
204	5	Estrato	Estrato de tierra apelmazada de tonalidad castaño oscuro. Situada entre los muros UUEE 181 (E), 201 (N) y 3006 (S). Relleno de la interfaz 177, bajo UE 176
205	5	Estructura	Cimentación del muro N del G.U. 3007, bajo el alzado de o. <i>africanum</i>
206	5	Estrato	Estrato castaño con inclusiones de cal bajo la cimentación de UE 178
207	5	Estrato	Estrato de tierra castaña, apelmazada y compacta, bajo UE 206
208	5	Muro	Muro bajo el muro UE 181 ¿fundación?
209	25	Muro	Muro de orientación N-S que recrece la media caña UE 155 para formar un canal
210	28	Estrato	Estrato compacto de tonalidad marrón. Situado en el ángulo NE del Amb. 28
211	28/29	Estructura	Orificio cuadrangular en el extremo W del muro UE 113
212	28/29	Estructura	Orificio cuadrangular en la parte central del muro UE 113

213	28/29	Estructura	Orificio cuadrangular en la parte E del muro UE 113
214	5	Estrato	Estrato de cal al N del Amb. 5, junto a los muros UUEE 215 y 179
215	5	Estructura	Estructura de cantos rodados de tendencia horizontal al N del Amb. 5, junto a los muros UUEE 186 y 179
216	5	Estructura	Acumulación de piedras al E del Amb. 5, junto a la fundación UE 180
217	5	Muro	Muro de orientación NW-SE al N del Amb. 5. Traba con el muro UE 218
218	5	Muro	Muro de orientación NE-SW al N del Amb. 5. Traba con el muro UE 217
219	11W	Estrato	Pavimento de tierra marrón con pequeños cantos rodados y fragmentos de cerámica bajo UUEE 184 y 185
220	28	Estructura	Restos de pavimento de <i>o. signinum</i> sobre el pavimento anterior (UE 160)
221	28	Estrato	Estrato con abundante presencia de teselas bajo UE 196
222	28	Interfaz	Pequeña fosa sin material y de escasa profundidad que corta a UE 221
223	28	Estrato	Relleno de la fosa UE 222, compuesto por tierra arcillosa de tonalidad marrón oscuro
224	11W	Estrato	Estrato de tierra marrón anaranjado bajo el pavimento UE 219
225	5	Estrato	Concentración de mortero de tendencia horizontal en el ángulo de los muros UUEE 217 y 218. Sobre UE 226
226	5	Estructura	Pavimento al NE del Amb. 5, entre los muros UUEE 217, 218 y 227 que tras la excavación de GU303 se ve que es una estructura para contener líquidos GU337 y es el pavimento de la balsa.
227	5	Muro	Muro de orientación NE-SW bajo UE 176, al E del Amb. 5
228	5	Muro	Continuación del muro UE 217 a partir de su extremo E
229	5	Estructura	Estructura horizontal de orientación W-E bajo muro UE 186
230	5	Estructura	Media caña de orientación NE-SW que se adosa a muro UE 218
231	5	Estructura	Media caña de orientación NE-SW que se adosa al muro UE 227
232	5	Estructura	Media caña adosada a los muros UUEE 217 y 228
233	5	Estrato	Acumulación de piedras junto al muro UE 217, al N del Amb 5
234	5	Estrato	Estrato de tendencia horizontal bajo UE 176. Compuesto por tierra castaña clara de tonalidad arcillosa, en la esquina NE del Amb. 5
235	24B	Estrato	Estrato de tierra arcillosa con gran cantidad de materiales arqueológicos (cerámica, fauna, malacofauna...) bajo UE 5
236	28	Estructura	Pila de hipocausto en posición B4. Ladrillos circulares
237	28	Estructura	Pila de hipocausto en posición B2. Ladrillos circulares
238	28	Estructura	Pila de hipocausto en posición C5. Ladrillos cuadrados
239	28	Estructura	Pila de hipocausto en posición C4. Ladrillos cuadrados
240	28	Estructura	Pila de hipocausto en posición C3. Ladrillos cuadrados
241	28	Estructura	Pila de hipocausto en posición C1. Ladrillos cuadrados
242	28	Estructura	Pila de hipocausto en posición D5. Ladrillos cuadrados
243	28	Estructura	Pila de hipocausto en posición D3. Ladrillos cuadrados
244	28	Estructura	Pila de hipocausto en posición E5. Ladrillos cuadrados
245	28	Estructura	Pila de hipocausto en posición E4. Ladrillos cuadrados
246	28	Estructura	Pila de hipocausto en posición E3. Ladrillos cuadrados
247	28	Estructura	Pila de hipocausto en posición E3. Ladrillos cuadrados
248	28	Estructura	Pila de hipocausto en posición E4. Ladrillos cuadrados
249	28	Estructura	Pila de hipocausto en posición E5. Ladrillos cuadrados

250	28	Estructura	Estructura cuadrangular de <i>o. signinum</i> entre los muros UUEE 192 y 67, junto al mosaico UE 203. Posible jamba de un vano
251	28	Estructura	Pila de hipocausto en posición B3. Ladrillos cuadrados.
252	28	Estrato	Estrato de tierra de tonalidad amarillenta y textura arenosa que cubre parcialmente al mosaico UE 203 y que se apoya en UE 250. Cubierta por el umbral UE 135.
253	28	Estrato	Estrato de tierra de tono ceniciento que colmata el Amb. 28, apoyándose en las <i>pilae</i> del hipocausto. Cubierto por UE 221
254	30	Estrato	Estrato bajo UE 112 al E del muro UE 89
255	28	Estructura	Pila de hipocausto en posición A1. Ladrillos circulares.
256	28	Estructura	Pila de hipocausto en posición B1. Ladrillos circulares.
257	28	Estructura	Pila de hipocausto en posición C2. Ladrillos cuadrados
258	29N	Muro	Muro de orientación W-E que traba con el muro UE 3304 y que delimita las termas en su extremo NW
259	28	Estructura	Pila de hipocausto de ladrillos cuadrados en posición E6.
260	28	Estructura	Pila de hipocausto en posición D4. Ladrillos cuadrados
261	25	Interfaz	Recorte circular practicado en el ángulo SW del pavimento UE 130
262	25	Estrato	Relleno de la interfaz UE 261
263	25	Interfaz	Recorte circular al E de la interfaz UE 261 practicado en el pavimento UE 130
264	25	Estrato	Relleno de la interfaz UE 263, con alta presencia de cenizas
265	25	Interfaz	Recorte de forma circular practicado en el pavimento UE 130, en el centro del Amb. 25
266	25	Estrato	Relleno de la fosa UE 265
267	28	Estructura	Pila de hipocausto en posición D2. Ladrillos cuadrados
268	28	Estructura	Pila de hipocausto en posición D1. Ladrillos cuadrados
269	28	Estructura	Pila de hipocausto en posición E2. Ladrillos cuadrados
270	28	Estructura	Pila de hipocausto en posición E1. Ladrillos cuadrados
271	24B	Estrato	Estrato estéril bajo UE 235
272	24B	Estrato	Estrato de tierra compacta, grisácea, con material arqueológico, que cubre a UE 235
273	24B	Estrato	Estrato de tierra que encontramos entre UE 4 y la cloaca. Posible relleno de la fosa de la cloaca
274	29N	Muro	Muro que traba con el muro UE 129
275	28	Estructura	Pila de hipocausto en posición F4. Ladrillos cuadrados
276	28	Estructura	Pila de hipocausto en posición G4. Ladrillos circulares
277	28	Estructura	Pila de hipocausto en posición G3. Ladrillos circulares
278	28	Estructura	Pila de hipocausto en posición G2. Ladrillos circulares
279	28	Estructura	Pila de hipocausto en posición G1. Ladrillos circulares
280	28	Estructura	Pila de hipocausto en posición H2. Ladrillos circulares
281	28	Estructura	Pila de hipocausto en posición H1. Ladrillos circulares
282	28	Estructura	Fondo del hipocausto, de <i>opus signinum</i>
283	5	Estructura	Pavimento de cal junto a G.U. 3003
284	5	Estructura	Pavimento de cal bajo UE 283
285	5	Estrato	Estrato de color castaño con presencia de piedras bajo UE 179
286	5	Estrato	Estrato de color anaranjado sobre UE 284 y sobre UE 179
287	28E	Estructura	Alineación de mortero y piedras en la base del muro UE 189. Posible zapata o media caña
288	28E	Estructura	Estructura de piedra y mortero que continúa el muro UE 67-89, haciendo ángulo NE con UE 189
289	¿?	Estrato	Limpieza superficial del muro de UE 4033.
290	25	Elemento	Fragmentsos de <i>labrum</i> hallados en el interior de la UE 122.
291	27W	Estructura	Pavimento.
292	27W	Interfaz	Interfaz rellena por UUEE 81, 82 y 84

293	25	Estructura	Muro de orientación N-S con la misma orientación que el muro de UE 3304. Junto a él flanquean al umbral de UE 3215 y delimita el extremo W del Ambiente 25
294	28	Grupo UUEE	Conjunto de <i>pilae</i> que conforman el hipocausto del Ambiente 28
295	28	Estructura	Resto de pavimento de mosaico que arranca de la cara W del muro UE 89. Cortado por interfaz UE 197
296	11W	Estructura	Umbral con orientación N-S bajo los muros UE 297 y UE 299
297	11W	Estructura	Muro de E-W que imbrica al sur con el muro que delimita el Ambiente 11 en el extremo occidental de este.
298	11W	Estructura	Muro con orientación E-W, continuación del muro que delimita en el extremo occidental del Ambiente 11 (por definir), y al que se le apoya el muro UE 299
299	11W	Estructura	Muro con orientación N-S, sobre el umbral UE 296, y que se poya en la cara sur del muro UE 298.
300	11W	Estructura	Muro en el mismo eje de orientación que el muro UE 299, con la misma orientación y sobre el extremo sur del umbral UE 296
301	11W	Estructura	Muro con orientación N-S, posible continuación del muro UE 28 (Ambiente 27W), que presenta en su extremo sur un sillar a modo de esquina roma o cantonera
2018			
302	13	Estrato	Estrato de tierra marrón claro bajo UE 1
303	5	Grupo UUEE	Pavimento en Ambiente 5, entre los muros UUEE 185 y 186 y los GU 3085, 3086, 3088 y 3010
304	5	Estructura	Capa superior del pavimento GU 303, formado por cal y grava
305	5	Estructura	Capa de <i>rudus</i> de UE 303 formada por cantos rodados
306	5	Interfaz	Fosa de fundación de UE 3089
307	5	Estrato	Relleno de fosa UE 306 donde se cimenta UE 3089, con piedras, cantos redondos y tierra
308	5	Estrato	Relleno de fosa de UE 309 donde se cimenta UE 3090, con cantos rodados, piedras y tierra
309	5	Interfaz	Fosa de fundación de UE 3090, relleno por UE 308
310	13	Estrato	Estrato de tierra marrón oscuro con piedras de tamaño mediano bajo UE 302. Posible derrumbe del muro de UE 23
311	12	Estrato	Estrato de tierra marrón oscuro con algún canto rodado, rellenando a fosa de UE 312
312	12	Interfaz	Fosa de tendencia circular, rellena por UE 311, que recorta a los pavimentos UUEE 120 y 121
313	12/13	Estrato	Estrato de tierra marrón anaranjado bajo UE 302, cubriendo a UE 310
314	Sobre Ambientes 24/29	Estrato	Nivel de tierra y cantos rodados que desciende en talud en sentido E-W. Se apoya contra las caras N de los muros UUEE 258 y 343
315	5	Estrato	Estrato de tierra bajo el <i>rudus</i> UE 305, en el pavimento GU 303
316	5	Estrato	Estrato de tierra marrón oscuro bajo UE 305, en la esquina SW del Ambiente 5, rellenando a UE 317
317	5	Estructura	Espacio rectangular realizado con <i>o. caementicium</i> a modo de cubeta amortizado por el <i>rudus</i> UE 305 y relleno por UE 316. Orientación W-S
318	30	Estructura	Estructura adosada a UE 187 que delimita el acceso al Ambiente 30 desde el S

319	30	Estrato	Estrato de tierra compacto con abundantes restos de cal y piedra que se extiende por toda la superficie del Ambiente 30, bajo UE 254
320	30	Estructura	Enlucido que reviste la cara E de UE 89, visible tras excavar UE 254
321	30	Interfaz	Recorte practicado en el pavimento original del Ambiente
322	30	Estrato	Igual a UE 325
323	30	Estructura	Canal adosado a UE 288, relleno por UE 324
324	30	Estrato	Relleno de UE 323
325	30	Estrato	Nivel de colmatación que aparece tras excavar UE 319 y que se extiende por todo el Ambiente 30. Tonalidad anaranjada y concentración de piedras y cal
326	12	Estrato	Estrato de fundación horizontal color marrón oscuro con parte de su superficie anaranjada y con fragmentos de adobes. Bajo UE 313
327	11/12	Estrato	Estrato formado por tierra marrón claro y abundantes fragmentos de cal sobre los muros W y S del Ambiente 12, bajo UE 313
328	11	Estrato	Estrato de tierra marrón oscuro con abundante presencia de carbones, bajo UE 101
329	30	Estructura	Media caña y pavimento en el interior del Ambiente 30, bajo UE 325
330	30	Estructura	Sobre UE 329 y adosado a UE 288. Estructura de cal y piedras, interpretada como la cama de un escalón ya perdido
331	30	Estructura	Situado al E del Ambiente 30, bajo UE 325. Estructura de piedras trabadas con mortero de cal
332	30	Estructura	Pavimento y media caña hidráulica en el extremo N del Ambiente 30. Sobre ella se documentó una olla
333	30	Estrato	Derrumbe de piedras que se apoya en UE 331, bajo UE 325
334	29	Interfaz	Fosa que destruye al pavimento original del Ambiente para convertir su hipocausto en un basurero
335	30	Estrato	Estrato con abundante piedra situado al N del Ambiente 30, bajo UE 325
336	5	Estrato	Estrato de tierra y grava amarillenta en el interior del GU 337
337	5	Grupo UUEE	Balsa de orientación NE-SW debajo del pavimento GU 303 formada por los muros UUEE 217, 218, 227 y 338, el pavimento UE 226, los boceles o cuartos de caña UUEE 230, 231, 232 y 527.
338	5	Muro	Muro S de la balsa GU 337
339	5	Interfaz	Interfaz de destrucción de GU 337
340	5	Estructura	Escalón en Ambiente 5 debajo de GU 303
341	30	Estrato	Estrato de tierra compacta de tonalidad marrón oscuro bajo UE 335
342	30	Estructura	Bajo UE 335. Nivel de mortero de cal. Forma ángulo recto con el muro UE 89. Posible nivel de pavimento original del Ambiente 30
343	29	Muro	Tramo de muro de orientación E-W, perpendicular a muro UE 144, con el que traba en ángulo recto. Límite N del Ambiente 29
344	24	Estrato	Estrato de piedras y tierra que desciende en talud en sentido N-S y que se apoya en los muros UUEE 343y 258. Cubre a UE 346
345	24	Interfaz	Equivale a UE 128. Recorte practicado en el Ambiente 24 y que es rellenado por UE 346
346	24	Estrato	Tierra disgregada y cenicienta que rellena la fosa UE 345. Equivale a UE 126. Posible basurero

347	11W	Estrato	Relleno de tierra marrón claro con fragmentos de enlucido bajo UE 169
348	11W	Estrato	Relleno de tierra marrón oscuro en la fosa UE 349
349	11W	Interfaz	Recorte en la zona W del corte, cortando a los pavimentos UUEE 120, 121 y 166
350	29	Interfaz	Fosa que recorta a UE 85 en el extremo NW del Ambiente 29. Equivale a UE 128
351	29	Estrato	Nivel de tierra disgregada y de textura cenicienta que colmata a UE 350. Equivale a UE 126
352	5	Estrato	Nivel de tierra, grava, piedra y cal debajo de UE 315
353	5	Estrato	Estrato de tierra y cal de tendencia horizontal bajo UE 315 (¿y 352?)
354	5	Estrato	Estrato claro de tierra y cal compacta en el interior de GU 337, similar a 353
355	29	Estrato	Nivel de tendencia horizontal de tierra disgregada y de tonalidad castaña clara. En el ángulo entre los muros 3304 y 144, sobre 357 y 356
356	29	Estrato	Nivel de tierra y material constructivo que colmata el espacio comprendido entre los muros UUEE 3304, 144 y 343. Recortado por UE 128
357	29	Estrato	Nivel de tierra anaranjada de tendencia horizontal, parcialmente cubierto por UE 355
358	29	Muro	Muro de orientación NE-SW que cierra el Ambiente 29 en su extremo E
359	5	Estrato	Estrato de argamasa y piedra en el ángulo SW del Ambiente 5. Posiblemente igual a 340
360	11W	Estrato	Estrato de tierra gris-marrón no muy compacto, bajo UE 166
361	11W	Estrato	Estrato de tierra marrón-gris y de textura poco compacta, bajo UE 166
362	29	Estrato	Nivel ceniciento de tendencia horizontal bajo UUEE 355 y 357, apoyado contra 356 en el ángulo que forman los muros UUEE 3304 y 144
363	24	Estructura	Pavimento de <i>opus caementicium</i> en el extremo E del Ambiente 24 contra el ángulo de los muros UUEE 258 y 144. Cubre a la media caña que bordea el exterior del Ambiente 4
364	5	Estrato	Estrato de tierra amarillenta y textura suelta, diferenciable del resto de estratos
365	29	Estrato	Estrato de tierra marrón oscuro-gris con abundante presencia de piedra trabajada (de estructuras) situado entre los muros de UUEE 144 y 3304. Cubre parcialmente a UE 356
366	29	Elemento	Fragmento de pedestal en el interior de UE 365
367	30	Estrato	Nivel ceniciento de tendencia horizontal que se apoya contra el muro de UE 89, bajo UE 341
368	11W	Estructura	Nivel de pavimento con pequeños cantos rodados bajo UE 360
369	29	Estructura	Paquete de barro endurecido con orientación NE-SW bajo UE 72, paralelo a UE 370
370	29	Estructura	Paquete de barro endurecido bajo UE 72, paralelo a UE 369
371	29	Estrato	Nivel de tierra de tonalidad cenicienta comprendida entre 369 y 370. Posible basurero
372	29	Estrato	Estrato arcilloso de tonalidad castaña-amarillenta que se extiende por todo el Ambiente, bajo UE 356, 85 y 72
373	29	Interfaz	Recorte practicado en UE 372 a modo de zanja en el extremo W del Ambiente
374	29	Estrato	Tierra de tonalidad marrón con material constructivo, piedra y enlucido que rellena UE 373, bajo UE 356

375	24	Estrato	Paquete de tierra arcillosa entre 377 y la cara W de 258, de color castaño oscuro
376	24	Estrato	Paquete de tierra arcillosa y tonalidad castaña clara que se apoya sobre 377
377	24	Estrato	Paquete de tierra con piedras de tamaño medio, sobre 378 y entre 375 y 376
378	24	Estrato	Línea de cantos rodados bajo UUEE 377 y 375
379	24	Estrato	Paquete de tierra arcillosa color castaño oscuro bajo UUEE 378 y 376
380	11W	Estrato	Nivel de pavimento a la misma cota superior que pavimento UE 368, en la zona E del corte, bajo UE 361
381	11W	Estrato	Estrato de tierra marrón anaranjado y ligeramente compacta, similar (y podría ser igual) a UE 348
382	11W	Estrato	Estrato de tonalidad marrón claro bajo UE 169, en el extremo S del corte
383	5	Estrato	Estrato de tierra compacta (posible adobe) sin apenas material arqueológico sobre el que se ha excavado la fosa o hueco de la balsa GU 337
384	5	Estructura	Zapata de fundación del muro UE 3009 debajo del pavimento GU303. La cimentación está realizada con cantos rodados de pequeño tamaño
385	5	Interfaz	Fosa rellena de restos de basura (UE 353) en el lado N del Ambiente 5, entre la balsa GU 337 y la escalera
386	5	Estructura	Solera de cimentación del muro UE 185 sobre muro UE 387 en el interior del Ambiente 5, entre UUEE 185 y 186
387	5	Muro	Muro de piedra debajo de las estructuras del pavimento de UUEE 303, 305 y 318, con orientación SW-NE
388	5	Interfaz	Interfaz de recorte en la que se construye la balsa GU 337
389	11W	Estructura	Grupo de piedras que cubre la zona superior de la cloaca. Cubierta por UE 368
390	11W	Estrato	Estrato de tierra suelta de tonalidad marrón oscuro en el interior de la cloaca, cubriendo a UE 391
391	11W	Estrato	Estrato de tierra marrón oscuro, muy compacta, bajo UE 390, en el interior de la cloaca
392	11W	Estructura	Pared N del registro de la cloaca
393	11W	Estructura	Pared S del registro de la cloaca
394	11W	Estructura	Pared E del registro de la cloaca
395	11W	Estructura	Pared W del registro de la cloaca
396	11W	Estrato	Estrato de tierra marrón anaranjado bajo UE 368
397	29	Estrato	Bajo UE 372. Nivel horizontal arcilloso con presencia de cal y un escaso aporte de ceniza
398	29	Estrato	Bajo 372 y sobre 397. Nivel de tierra granulosa con restos de enlucidos en el extremo W del Ambiente 29
399	29	Estrato	Bajo UE 372 y sobre UE 397. Igual a UE 398, pero situada en el ángulo SE del Ambiente
400	29/31	Interfaz	Fosa de algarrobo. Corta la estratigrafía hasta el muro de UE 343
401	29/31	Estrato	Relleno de UE 400
402	29	Interfaz	Recorte en UE 397, relleno por UE 371
403	5	Estructura	Alineación de piedras E-W paralela al muro S del GU 337, dando forma a UE 383 (al S)
404	11W	Estrato	Estrato de tierra marrón claro con cal bajo UE 380 a modo de preparado
405	11W	Estrato	Estrato de tierra oscura amarillenta y muy suelta bajo UE 380 en su zona E

406	11W	Estrato	Estrato de tierra marrón oscuro bajo UE 380 que colmata el canal-cloaca que recorre el corte en dirección N-S
407	5	Estrato	Estrato de tierra al S del GU 337 (383) debajo de UE 403 y 383, sobre el pavimento UE 200
408	11W	Estrato	Estrato de tierra marrón grisácea, muy compacta, con cantos rodados, bajo pavimento de UE 368
409	24	Estrato	Nivel horizontal de tierra amarillenta y gravas bajo UE 377 y sobre UE 378
410	29	Interfaz	Orificio de la <i>concameratio</i> en la cara N del muro UE 3304, en posición B1
411	29	Interfaz	Orificio de la <i>concameratio</i> en la cara N del muro UE 3304, en posición C1
412	29	Interfaz	Orificio de la <i>concameratio</i> en la cara N del muro UE 3304, en posición B2
413	29	Interfaz	Orificio de la <i>concameratio</i> en la cara N del muro UE 3304, en posición C2
414	29	Interfaz	Orificio de la <i>concameratio</i> en la cara N del muro UE 3304, en posición A3
415	29	Interfaz	Orificio de la <i>concameratio</i> en la cara N del muro UE 3304, en posición B3
416	29	Interfaz	Orificio de la <i>concameratio</i> en la cara N del muro UE 3304, en posición C3
417	29	Interfaz	Orificio de la <i>concameratio</i> en la cara E del muro UE 144, en posición A1
418	29	Interfaz	Orificio de la <i>concameratio</i> en la cara E del muro UE 144, en posición B1
419	29	Interfaz	Orificio de la <i>concameratio</i> en la cara E del muro UE 144, en posición B8
420	29	Interfaz	Orificio de la <i>concameratio</i> en la cara E del muro UE 144, en posición C1
421	29	Interfaz	Orificio de la <i>concameratio</i> en la cara E del muro UE 144, en posición C2
422	29	Interfaz	Orificio de la <i>concameratio</i> en la cara E del muro UE 144, en posición C3
423	29	Interfaz	Orificio de la <i>concameratio</i> en la cara E del muro UE 144, en posición C4
424	29	Interfaz	Orificio de la <i>concameratio</i> en la cara E del muro UE 144, en posición C5
425	29	Interfaz	Orificio de la <i>concameratio</i> en la cara E del muro UE 144, en posición C6
426	29	Interfaz	Orificio de la <i>concameratio</i> en la cara E del muro UE 144, en posición C7
427	29	Interfaz	Orificio de la <i>concameratio</i> en la cara S del muro UE 343, en posición A1
428	29	Interfaz	Orificio de la <i>concameratio</i> en la cara S del muro UE 343, en posición B1
429	29	Interfaz	Orificio de la <i>concameratio</i> en la cara S del muro UE 343, en posición B2
430	29	Interfaz	Orificio de la <i>concameratio</i> en la cara S del muro UE 343, en posición C1
431	29	Interfaz	Orificio de la <i>concameratio</i> en la cara S del muro UE 343, en posición C2
432	29	Interfaz	Orificio de la <i>concameratio</i> en la cara S del muro UE 343, en posición C3
433	29	Interfaz	Orificio de la <i>concameratio</i> en la cara W del muro UE 358, en posición A1

434	29	Interfaz	Orificio de la <i>concameratio</i> en la cara W del muro UE 358, en posición A2
435	29	Estrato	Nivel ceniciento entre UUEE 369 y 370 (horno), bajo UE 371. Posible nivel de abandono del horno
436	29	Estrato	Nivel de tierra gris con material de construcción, piedra y cerámica que colmata el interior del hipocausto bajo UE 397
437	11W	Estrato	Estrato horizontal muy compacto con cantos redondos y cerámica. De similar morfología a UE 404. Bajo UE 408
438	11W	Estrato	Estrato de tierra marrón grisácea que rellena a UE 439, apoyándose en UE 437
439	11W	Interfaz	Recorte en UE 437, relleno por UE 438
440	11W	Estrato	Estrato de tierra marrón claro, muy suelta, rellenando el recorte UE 441. Cubierto por UE 380
441	11W	Interfaz	Recorte de forma ovalada en UE 404 relleno por UE 440
442	5	Estrato	Estrato de tierra con restos de adobe y materia orgánica con poca cerámica sobre el que se recorta la fosa UE 385
443	29	Estructura	Fondo del horno bajo el relleno de UE 435 y entre sus restos de alzando UUEE 369 y 370
444	5	Estrato	Nivel de tierra en el ángulo NW del Ambiente 5, bajo UE 285
445	5	Interfaz	Fosa de fundación del muro UE 387
446	5	Estrato	Relleno de la fosa UE 445
447	11W	Estrato	Estrato de tierra marrón anaranjado con piedras de tamaño mediano inmediatamente al W del pavimento de UE 219
448	11W	Estrato	Nivel horizontal (pavimento) con superficie de cal blanca, en la zona NE del corte
449	11W	Estrato	Estrato de tierra marrón blanquecina con nódulos de cal y grava sobre UE 437
450	11W	Estrato	Estrato de tierra marrón anaranjado con abundantes gravas y algunas piedras, bajo UE 447
451	11W	Estrato	Estrato de tierra marrón grisácea bajo UE 447 en la zona S del corte
452	11W	Estrato	Estrato de superficie horizontal muy arcilloso, marrón oscuro, con cantos rodados y cerámica, bajo UE 457
453	11W	Estrato	Estrato de tierra grisácea al W de UE 452, cubierto por UE 437
454	29	Estructura	Enlucido del muro UE 343
455	5	Estrato	Estrato de adobes en el ángulo NW del Ambiente 5, debajo de UUEE 179, 285 y 444
456	29	Estrato	Estrato ceniciento bajo UE 436 en el que empiezan a aflorar las <i>pilae</i> del hipocausto
457	29	Estructura	<i>Pila</i> de hipocausto en posición A1
458	29	Estructura	<i>Pila</i> de hipocausto en posición A2
459	29	Estructura	<i>Pila</i> de hipocausto en posición A3
460	29	Estructura	<i>Pila</i> de hipocausto en posición A4
461	29	Estructura	<i>Pila</i> de hipocausto en posición B1
462	29	Estructura	<i>Pila</i> de hipocausto en posición B2
463	29	Estructura	<i>Pila</i> de hipocausto en posición B3
464	29	Estructura	<i>Pila</i> de hipocausto en posición B4
465	29	Estructura	<i>Pila</i> de hipocausto en posición C2
466	29	Estructura	<i>Pila</i> de hipocausto en posición C3
467	29	Estructura	<i>Pila</i> de hipocausto en posición C4
468	29	Estructura	<i>Pila</i> de hipocausto en posición D2
469	29	Estructura	<i>Pila</i> de hipocausto en posición D3
470	29	Estructura	<i>Pila</i> de hipocausto en posición D4
471	29	Estructura	<i>Pila</i> de hipocausto en posición E4

472	29	Estructura	<i>Pila</i> de hipocausto en posición E9
473	29	Estructura	<i>Pila</i> de hipocausto en posición F5
474	29	Estructura	<i>Pila</i> de hipocausto en posición F6
475	29	Estructura	<i>Pila</i> de hipocausto en posición F7
476	29	Estructura	<i>Pila</i> de hipocausto en posición F8
477	29	Estructura	<i>Pila</i> de hipocausto en posición G7
478	29	Estructura	<i>Pila</i> de hipocausto en posición G8
479	29	Muro	Muro de orientación E-W en el extremo N del Ambiente 29. Igual a UE 343
480	29	Estructura	Arco que une a los muros UUEE 343 y 479
481	29	Estructura	Capa de ceniza que reviste al muro UE 144
482	29	Estructura	Capa de ceniza que reviste al muro UE 113
483	29	Estructura	Capa de ceniza que reviste al muro UE 343
484	29	Estructura	Capa de ceniza que reviste al muro UE 358
485	29	Estructura	Enlucido del muro UE 144
486	29	Interfaz	Negativo de la presencia de un pavimento de mosaico en los muros que delimitan el Ambiente
487	31	Muro	Muro N-S que forma el ángulo SW del Ambiente 31 y que liga al W con UE 258
488	24C	Muro	Restos de muro en el perfil N del Ambiente 24C, compuesto por piedras de tamaño mediano alineadas E-W
489	24C/32	Muro	Sillar de esquina de los muros UUEE 490 y 493, en el Ambiente 32
490	32	Muro	Muro N-S al E del Ambiente 32
491	32	Muro	Muro E-W al N del Ambiente 32
492	32	Muro	Muro N-S al W del Ambiente 32
493	24C/32	Muro	Muro E-W al S del Ambiente 32
494	24C	Estructura	Nivel de cantos rodados para la cimentación del muro UE 493
495	24C	Estrato	Nivel de tierra debajo del muro UUEE 393 y 394
496	24C	Muro	Parte del muro W del Ambiente 24C formado por un gran sillar
497	24C	Estructura	Posible estructura de cimentación de un umbral con orientación E-W, formado por un muro de mortero y cal con superficie superior plana
498	24C	Estrato	Nivel de tierra sobre el muro UUEE 500, 496 y 499, debajo de UE 1
499	24C	Estrato	Nivel de tierra y piedras al E de UE 497 y debajo de UE 498
500	24C	Muro	Muro E-W de piedra y mortero al W del Ambiente 24C, debajo de UE 498
501	34	Muro	Muro N-S que hace esquina con UE 500 (formando un Ambiente nuevo pendiente de excavar) en su lado W
502	34	Interfaz	Interfaz de fosa que rompe el muro UUEE 504, 500 y 505, al N del Ambiente 24C
503	35	Estrato	Nivel de relleno de la fosa UE 502 formado por tierra gris con abundante material y restos orgánicos
504	24C	Estructura	Estructura restaurada entre los muros 500 y 505, que podría ser parte de un muro dañado por la fosa UE 502
505	24C	Muro	Muro de piedra E-W en línea al W de UUEE 504 y 500
506	24	Muro	Sillar del muro de UUEE 505, 507 y 508
507	24C	Muro	Muro de piedra al W de UE 505, formando el lado E del Ambiente
508	33/34	Muro	Muro N-S al N de UE 506 en el lado E del Ambiente 33
509	24C/33	Muro	Muro E-W de piedra y mortero al S del Ambiente 33

510	24C	Estructura	Cuarto de bocel en el lado N de la <i>natatio</i> (Ambiente 20), sobre pavimento de UE 512
511	24C	Estructura	Restos de piedras que ocupan el espacio entre UE 510 y el muro UE 500. Posible estructura (banco) adosada a muro UE 500
512	24C	Estructura	Pavimento de <i>opus signinum</i> en Ambiente 24C al norte del Ambiente 20 (<i>natatio</i>)
513	32	Estructura	Sillar de esquina entre muros UUEE 491 y 492
514	5	Estructura	Estructura de tierra con pocos materiales en el ángulo NW del Ambiente 5, debajo de UE 444
515	28/29	Estructura	Capa de mortero de cal horizontal que constituye el preparado sobre el que se asentaría el nivel de paso del vano que comunica a los Ambientes 28 y 29
516	29	Estructura	Fragmento de <i>clavus coctile</i> en el interior del orificio UE 416, en el muro UE 3304
517	29	Estructura	Orificio de la <i>concameratio</i> en la cara W del muro UE 144, en posición C8
518	29	Estructura	Fragmento de <i>clavus coctile</i> en el interior del orificio UE 428, en el muro UE 343
519	29	Estructura	Fragmento de <i>clavus coctile</i> en el interior del orificio UE 429, en el muro UE 343
520	29	Estructura	Fragmento de <i>clavus coctile</i> en el interior del orificio UE 432, en el muro UE 343
521	29	Grupo UUEE	Conjunto de <i>pilae</i> del hipocausto del Ambiente 29
522	29	Grupo UUEE	Conjunto de orificios de <i>concameratio</i> y de los restos de sus <i>clavi coctiles</i> del muro UE 3304
523	29	Grupo UUEE	Conjunto de orificios de <i>concameratio</i> y de los restos de sus <i>clavi coctiles</i> del muro UE 144
524	29	Grupo UUEE	Conjunto de orificios de <i>concameratio</i> y de los restos de sus <i>clavi coctiles</i> del muro UE 343
525	29	Grupo UUEE	Conjunto de orificios de <i>concameratio</i> y de los restos de sus <i>clavi coctiles</i> del muro UE 358
526	29	Grupo UUEE	Conjunto de revoques y de enlucidos que revisten a los muros del Ambiente
527	5	Estructura	Cuarto de caña/ bocel de la estructura GU337 al sur de 226 y junto a UE 338
528	29	Interfaz	Orificio de la <i>concameratio</i> en la cara N del muro UE 3304, en posición A2
529	29	Interfaz	Orificio para <i>concameratio</i> en la cara E del muro UE 144, en posición B6
530	29	Interfaz	Orificio para <i>concameratio</i> en la cara E del muro UE 144, en posición B7
531	29	Estructura	Fragmento de <i>clavus coctile</i> en el interior del orificio UE 426, en el muro UE 144
532	29	Interfaz	Orificio para <i>concameratio</i> en la cara S del muro UE 343, en posición C2
533	29	Estructura	Pila de hipocausto en posición G8
534	29	Interfaz	Orificio para <i>concameratio</i> en la cara w del muro UE 358, en posición A2
535	29	Interfaz	Orificio para <i>concameratio</i> en la cara w del muro UE 358, en posición A3
536	29	Estructura	Fragmento de <i>clavus coctile</i> en el interior del orificio UE 534, en el muro UE 358

10. INVENTARIO

NUM.	UE	CO-Amb	SEC	C	FOR	MAT	TPM	NF
49	1	29	7F	2018	1	C	ANF	1
50	1	29	7F	2018	1	C	ANF	1
51	1	29	7F	2018	1	C	ANF	1
52	1	29	7F	2018	1	C	ANF	1
53	1	29	7F	2018	7	C	ANF	1
54	1	29	7F	2018	7	C	ANF	1
55	1	29	7F	2018	7	C	ANF	1
56	1	29	7F	2018	7	C	ANF	1
57	1	29	7F	2018	7	C	ANF	1
58	1	29	7F	2018	7	C	ANF	1
59	1	29	7F	2018	7	C	ANF	1
60	1	29	7F	2018	7	C	ANF	1
61	1	29	7F	2018	7	C	ANF	1
62	1	29	7F	2018	7	C	ANF	1
63	1	29	7F	2018		C	ANF	1
64	1	29	7F	2018	0	C	ANF	16
65	1	29	7F	2018	1	C	MODERNA	1
66	1	29	7F	2018	1	C	MODERNA	2
67	1	29	7F	2018	1	C	CM	1
68	1	29	7F	2018	1	C	CM	1
69	1	29	7F	2018	1	C	CM	1
70	1	29	7F	2018	1	C	CM	1
71	1	29	7F	2018	1	C	CM	1
72	1	29	7F	2018	1	C	CM	1
73	1	29	7F	2018	1	C	CM	1
74	1	29	7F	2018	1	C	CM	1
75	1	29	7F	2018	1	C	CM	1
76	1	29	7F	2018	1	C	CM	1
77	1	29	7F	2018	1	C	CM	1
78	1	29	7F	2018	1	C	CM	1
79	1	29	7F	2018	1	C	CM	1
80	1	29	7F	2018	1	C	CM	1
81	1	29	7F	2018	7	C	CM	1
82	1	29	7F	2018	7	C	CM	1
83	1	29	7F	2018	7	C	CM	1
84	1	29	7F	2018	7	C	CM	1
85	1	29	7F	2018	7	C	CM	1
86	1	29	7F	2018	7	C	CM	1
87	1	29	7F	2018	7	C	CM	1
88	1	29	7F	2018	7	C	CM	1

89	1	29	7F	2018	7	C	CM	1
90	1	29	7F	2018	7	C	CM	1
91	1	29	7F	2018	7	C	CM	1
92	1	29	7F	2018	7	C	CM	1
93	1	29	7F	2018	7	C	CM	1
94	1	29	7F	2018	7	C	CM	1
95	1	29	7F	2018	7	C	CM	1
96	1	29	7F	2018	7	C	CM	1
97	1	29	7F	2018	4	C	CM	1
98	1	29	7F	2018	4	C	CM	1
99	1	29	7F	2018	4	C	CM	1
100	1	29	7F	2018	4	C	CM	1
101	1	29	7F	2018	4	C	CM	1
102	1	29	7F	2018	4	C	CM	1
103	1	29	7F	2018	0	C	CM	7
104	1	29	7F	2018	1	C	MORTERO	1
105	1	29	7F	2018	1	C	MORTERO	1
106	1	29	7F	2018	1	C	TS	1
107	1	29	7F	2018	1	C	TS	1
108	1	29	7F	2018	1	C	TS	1
109	1	29	7F	2018	1	C	TS	1
110	1	29	7F	2018	1	C	PT	1
111	1	29	7F	2018	4	C	PT	1
112	1	29	7F	2018	0	C	PT	1
113	1	29	7F	2018	0	C	PT	1
114	1	29	7F	2018	0	C	PT	1
115	1	29	7F	2018	0	C	PT	1
116	1	29	7F	2018	1	C	CCA	1
117	1	29	7F	2018	1	C	CCA	1
118	1	29	7F	2018	1	C	CCA	1
119	1	29	7F	2018	4	C	CCA	1
120	1	29	7F	2018	4	C	CCA	1
121	1	29	7F	2018	4	C	CCA	1
122	1	29	7F	2018	4	C	CCA	1
123	1	29	7F	2018	4	C	CCA	1
124	1	29	7F	2018	1	C	CC	1
125	1	29	7F	2018	1	C	CC	1
126	1	29	7F	2018	1	C	CC	1
127	1	29	7F	2018	1	C	CC	1
128	1	29	7F	2018	1	C	CC	1
129	1	29	7F	2018	1	C	CC	1
130	1	29	7F	2018	7	C	CC	1
131	1	29	7F	2018	7	C	TARD	1
132	1	29	7F	2018	4	C	TARD	1
133	1	29	7F	2018	0	C	TARD	2
134	1	29	7F	2018		CO	PIZARRRA	1

135	1	29	7F	2018		T	TTE	2
136	1	29	7F	2018		T	TLA	2
137	1	29	7F	2018		CO	MODERNO	2
138	1	29	7F	2018		CO	ENL	3
139	1	29	7F	2018		L	LHI	2
140	1	29	7F	2018		F	F	2
141	1	29	7F	2018		F	FVMA	5
142	1	29	7F	2018	1	C	ANF	1
143	1	29	7F	2018	1	C	ANF	1
144	1	29	7F	2018	7	C	ANF	1
145	1	29	7F	2018	7	C	ANF	1
146	1	29	7F	2018	7	C	ANF	1
147	1	29	7F	2018	4	C	ANF	1
148	1	29	7F	2018	4	C	ANF	1
149	1	29	7F	2018	4	C	ANF	1
150	1	29	7F	2018	0	C	ANF	16
151	1	29	7F	2018	1	C	CM	1
152	1	29	7F	2018	1	C	CM	1
153	1	29	7F	2018	1	C	CM	1
154	1	29	7F	2018	1	C	CM	1
155	1	29	7F	2018	1	C	CM	1
156	1	29	7F	2018	1	C	CM	1
157	1	29	7F	2018	1	C	CM	1
158	1	29	7F	2018	1	C	CM	1
159	1	29	7F	2018	1	C	CM	1
160	1	29	7F	2018	1	C	CM	1
161	1	29	7F	2018	1	C	CM	1
162	1	29	7F	2018	1	C	CM	1
163	1	29	7F	2018	1	C	CM	1
164	1	29	7F	2018	1	C	CM	1
165	1	29	7F	2018	1	C	CM	1
166	1	29	7F	2018	1	C	CM	1
167	1	29	7F	2018	7	C	CM	1
168	1	29	7F	2018	7	C	CM	1
169	1	29	7F	2018	7	C	CM	1
170	1	29	7F	2018	7	C	CM	1
171	1	29	7F	2018	7	C	CM	1
172	1	29	7F	2018	7	C	CM	1
173	1	29	7F	2018	7	C	CM	1
174	1	29	7F	2018	7	C	CM	1
175	1	29	7F	2018	7	C	CM	1
176	1	29	7F	2018	7	C	CM	1
177	1	29	7F	2018	7	C	CM	1
178	1	29	7F	2018	4	C	CM	1
179	1	29	7F	2018	0	C	CM	34
180	1	29	7F	2018	7	C	ANF	2

181	1	29	7F	2018	7	C	ANF	1
182	1	29	7F	2018	7	C	ANF	1
183	1	29	7F	2018	1	C	TS	1
184	1	29	7F	2018	4	C	TS	1
185	1	29	7F	2018	4	C	TS	1
186	1	29	7F	2018	4	C	TS	1
187	1	29	7F	2018	4	C	TS	1
188	1	29	7F	2018	4	C	TS	1
189	1	29	7F	2018	1	C	CCA	1
190	1	29	7F	2018	1	C	CCA	1
191	1	29	7F	2018	1	C	CCA	1
192	1	29	7F	2018	1	C	CCA	1
193	1	29	7F	2018	1	C	CCA	1
194	1	29	7F	2018	1	C	CCA	1
195	1	29	7F	2018	1	C	CCA	1
196	1	29	7F	2018	1	C	CCA	1
197	1	29	7F	2018	1	C	CCA	1
198	1	29	7F	2018	4	C	CCA	1
199	1	29	7F	2018	4	C	CCA	1
200	1	29	7F	2018	0	C	CCA	3
201	1	29	7F	2018	4	C	RP	1
202	1	29	7F	2018	7	C	LUC	1
203	1	29	7F	2018	7	C	LUC	1
204	1	29	7F	2018		C	LUC	1
205	1	29	7F	2018		C	LUC	1
206	1	29	7F	2018	4	C	LUC	1
207	1	29	7F	2018	1	C	CC	1
208	1	29	7F	2018	1	C	CC	1
209	1	29	7F	2018	1	C	CC	1
210	1	29	7F	2018	1	C	CC	1
211	1	29	7F	2018	1	C	CC	1
212	1	29	7F	2018	1	C	CC	1
213	1	29	7F	2018	1	C	CC	1
214	1	29	7F	2018	0	C	CC	5
215	1	29	7F	2018		T	TLA	4
216	1	29	7F	2018		T	TTE	2
217	1	29	7F	2018		T	TIM	1
218	1	29	7F	2018		CO	MARMOL	1
219	1	29	7F	2018		CO	EST	1
220	1	5	7F	2018	7	C	ANF	1
221	1	5	7F	2018	0	C	ANF	11
222	1	5	7F	2018	1	C	CM	1
223	1	5	7F	2018	1	C	CM	1
224	1	5	7F	2018	7	C	CM	1
225	1	5	7F	2018	4	C	CM	1
226	1	5	7F	2018	0	C	CM	1

227	1	5	7F	2018	1	C	TS	1
228	1	5	7F	2018	0	C	TS	1
229	1	5	7F	2018	0	C	TS	1
230	1	5	7F	2018	1	C	CCA	1
231	1	5	7F	2018	4	C	CCA	1
232	1	5	7F	2018	4	C	CCA	1
233	1	5	7F	2018	1	C	PT	1
234	1	5	7F	2018	1	C	PT	1
235	1	5	7F	2018	0	C	PT	1
236	1	5	7F	2018	4	C	CCA	1
237	1	5	7F	2018	0	C	PF	1
238	1	5	7F	2018		F	FVMA	1
239	1	5	7F	2018		CO	EST	1
240	1		7F	2018	0	C	ANF	1
241	1		7F	2018	1	C	CM	1
242	1		7F	2018	1	C	CM	1
243	1		7F	2018	1	C	CM	1
244	1		7F	2018	7	C	CM	1
245	1		7F	2018	7	C	CM	1
246	1		7F	2018	4	C	CM	1
247	1		7F	2018	4	C	CM	1
248	1		7F	2018	4	C	CM	1
249	1		7F	2018	4	C	CM	1
250	1		7F	2018	1	C	CM	1
251	1		7F	2018	0	C	CM	74
252	1		7F	2018	0	C	PT	1
253	1		7F	2018	0	C	PT	1
254	1		7F	2018	0	C	PT	1
255	1		7F	2018	0	C	PT	1
256	1		7F	2018	1	C	CC	1
257	1		7F	2018	1	C	CC	1
258	1		7F	2018	4	C	CC	1
259	1		7F	2018	0	C	CC	10
260	1		7F	2018	1	C	PF	1
261	1		7F	2018	0	C	PF	3
262	1		7F	2018	4	C	TS	1
263	1		7F	2018	4	C	TS	1
264	1		7F	2018	1	C	CCA	1
265	1		7F	2018	1	C	CCA	1
266	1		7F	2018	4	C	CCA	1
267	1		7F	2018	0	C	CCA	3
268	1		7F	2018	0	C	TS	1
269	1		7F	2018		F	FA	39
270	1		7F	2018		CO	EST	2
271	1		7F	2018		CO	TE	1
272	1		7F	2018		L	LHI	1

273	1		7F	2018	1	VD	VI	1
274	1		7F	2018	1	VD	VI	1
275	1		7F	2018	7	VD	VI	1
276	1		7F	2018	0	VD	VI	7
277	1		7F	2018	1	VD	VI	5
278	1	11	7F	2018	1	C	ANF	1
279	1	11	7F	2018	1	C	ANF	1
280	1	11	7F	2018	0	C	ANF	21
281	1	11	7F	2018	1	C	CM	1
282	1	11	7F	2018	1	C	CM	1
283	1	11	7F	2018	7	C	CM	1
284	1	11	7F	2018	7	C	CM	1
285	1	11	7F	2018	7	C	CM	1
286	1	11	7F	2018	4	C	CM	1
287	1	11	7F	2018	4	C	CM	1
288	1	11	7F	2018	0	C	CM	40
289	1	11	7F	2018	0	C	MODERNA	2
290	1	11	7F	2018	1	C	CC	1
291	1	11	7F	2018	1	C	CC	1
292	1	11	7F	2018	7	C	CC	1
293	1	11	7F	2018	7	C	CC	1
294	1	11	7F	2018	0	C	CC	3
295	1	11	7F	2018	0	C	PT	1
296	1	11	7F	2018	0	C	PT	1
297	1	11	7F	2018	0	C	PT	1
298	1	11	7F	2018	0	C	PT	1
299	1	11	7F	2018	1	C	TS	1
300	1	11	7F	2018	4	C	TS	1
301	1	11	7F	2018	4	C	TS	1
302	1	11	7F	2018	0	C	TS	1
303	1	11	7F	2018	0	C	TS	1
304	1	11	7F	2018	0	C	TS	1
305	1	11	7F	2018	1	C	CCA	1
306	1	11	7F	2018	1	C	CCA	1
307	1	11	7F	2018	4	C	CCA	1
308	1	11	7F	2018	0	C	CCA	4
309	1	11	7F	2018	1	C	TARD	1
310	1	11	7F	2018		CO	MARMOL	1
311	1	11	7F	2018		T	BIP	1
312	1	11	7F	2018		CO	ENL	1
313	1	11	7F	2018		F	FA	7
314	1		7F	2018		HT	AGU	4
315	1		7F	2018	1	VD	VI	1
316	1		7F	2018	4	VD	VI	1
317	1		7F	2018	0	VD	VI	1
318	1		7F	2018		CO	EST	3

319	1		7F	2018		L	LHI	5
320	1	25	7F	2018	1	C	ANF	1
321	1	25	7F	2018	7	C	ANF	1
322	1	25	7F	2018	4	C	ANF	1
323	1	25	7F	2018	0	C	ANF	11
324	1	25	7F	2018	4	C	ANF	1
325	1	25	7F	2018	1	C	CC	1
326	1	25	7F	2018	1	C	CC	1
327	1	25	7F	2018	1	C	CC	1
328	1	25	7F	2018	1	C	CC	1
329	1	25	7F	2018	0	C	CC	7
330	1	25	7F	2018	1	C	CM	1
331	1	25	7F	2018	7	C	CM	1
332	1	25	7F	2018	4	C	CM	1
333	1	25	7F	2018	0	C	CM	42
334	1	25	7F	2018	1	C	CCA	1
335	1	25	7F	2018	1	C	CCA	1
336	1	25	7F	2018	4	C	CCA	1
337	1	25	7F	2018	0	C	RP	2
338	1	25	7F	2018	0	C	PT	1
339	1	25	7F	2018	0	C	TS	1
340	1	25	7F	2018	0	C	LUC	3
341	1	25	7F	2018	1	C	TS	1
342	1	25	7F	2018	1	C	TS	1
343	1	25	7F	2018	1	C	TS	1
344	1	25	7F	2018	0	C	TS	1
345	1	25	7F	2018	4	C	TARD	1
346	1	25	7F	2018	7	C	MODERNA	1
347	1	25	7F	2018		CO	MARMOL	1
348	1	25	7F	2018		L	LHI	1
349	1	25	7F	2018		L	LBR	1
350	1	25	7F	2018		L	LPL	1
351	1	25	7F	2018	0	VD	VI	9
352	1	25	7F	2018		F	FVMA	1
353	1	25	7F	2018		F	FA	28
354	1	25	7F	2018		CO	ENL	4
355	1	13	7F	2018	0	C	ANF	2
356	1	13	7F	2018	7	C	CM	1
357	1	13	7F	2018	0	C	CM	4
358	1	13	7F	2018	0	C	TS	1
359	1	13	7F	2018	0	C	TARD	1
360	1	13	7F	2018		F	FVMA	5
65	17	11	7F	2018	0	C	ANF	7
66	17	11	7F	2018	1	C	CM	1
67	17	11	7F	2018	1	C	CM	1
68	17	11	7F	2018	1	C	CM	1

69	17	11	7F	2018	0	C	CM	1
70	17	11	7F	2018	7	C	CM	20
71	17	11	7F	2018	1	C	CCA	1
72	17	11	7F	2018	1	C	CCA	1
73	17	11	7F	2018	1	C	CCA	1
74	17	11	7F	2018	4	C	CCA	1
75	17	11	7F	2018	4	C	CCA	1
76	17	11	7F	2018	4	C	CCA	1
77	17	11	7F	2018	0	C	CCA	6
78	17	11	7F	2018	1	C	CC	1
79	17	11	7F	2018	0	C	CC	1
80	17	11	7F	2018	4	C	TS	1
81	17	11	7F	2018	4	C	TS	1
82	17	11	7F	2018	1	C	TS	1
83	17	11	7F	2018	0	C	TS	2
84	17	11	7F	2018	4	C	TARD	1
85	17	11	7F	2018	0	C	TARD	1
86	17	11	7F	2018		T	TLA	2
87	17	11	7F	2018		T	TIM	3
88	17	11	7F	2018		C	MORTERO	1
89	17	11	7F	2018	0	C	TS	1
90	17	11	7F	2018		F	FA	1
91	17	11	7F	2018		F	FVMA	1
92	17	11	7F	2018	0	C	TSGM	1
93	17	11	7F	2018	0	C	PT	1
51	18	13	7F	2018	0	C	TS	1
52	18	13	7F	2018	0	C	ANF	5
53	18	13	7F	2018	4	C	CM	1
54	18	13	7F	2018	0	C	CM	18
55	18	13	7F	2018	0	C	CCA	2
56	18	13	7F	2018	4	C	CCA	1
57	18	13	7F	2018	0	C	CCA	2
58	18	13	7F	2018	0	C	TS	1
59	18	13	7F	2018	0	C	TS	1
60	18	13	7F	2018		F	FVMA	6
61	18	13	7F	2018		F	FVMA	1
62	18	13	7F	2018		F	FA	12
44	24	29	7F	2018	7	C	ANF	1
45	24	29	7F	2018	7	C	ANF	1
46	24	29	7F	2018	0	C	ANF	27
47	24	29	7F	2018	1	C	CM	1
48	24	29	7F	2018	1	C	CM	1
49	24	29	7F	2018	1	C	CM	1
50	24	29	7F	2018	1	C	CM	1
51	24	29	7F	2018	1	C	CM	1
52	24	29	7F	2018	1	C	CM	1

53	24	29	7F	2018	7	C	CM	1
54	24	29	7F	2018	7	C	CM	1
55	24	29	7F	2018	4	C	CC	1
56	24	29	7F	2018	4	C	CC	1
57	24	29	7F	2018	4	C	CC	1
58	24	29	7F	2018	4	C	CC	1
59	24	29	7F	2018	4	C	CC	1
60	24	29	7F	2018	0	C	CC	50
61	24	29	7F	2018	1	C	CC	1
62	24	29	7F	2018	1	C	CC	1
63	24	29	7F	2018	0	C	CC	3
64	24	29	7F	2018	1	C	CCA	1
65	24	29	7F	2018	1	C	CCA	1
66	24	29	7F	2018	1	C	CCA	1
67	24	29	7F	2018	1	C	CCA	1
68	24	29	7F	2018	4	C	CCA	1
69	24	29	7F	2018		C	CLCOCTILE	1
70	24	29	7F	2018		T	TLA	3
71	24	29	7F	2018		T	TIM	1
72	24	29	7F	2018	0	C	PT	1
73	24	29	7F	2018	0	C	PT	1
74	24	29	7F	2018	0	C	PT	1
75	24	29	7F	2018	0	C	PT	1
76	24	29	7F	2018	0	C	PT	1
40	53	29	7F	2018	0	C	CC	66
41	53	29	7F	2018	0	C	PT	1
42	53	29	7F	2018	0	C	PT	1
43	53	29	7F	2018	0	C	PT	1
44	53	29	7F	2018	4	C	PT	1
45	53	29	7F	2018	0	C	CCA	1
46	53	29	7F	2018	4	C	CCA	1
47	53	29	7F	2018	4	C	CCA	1
48	53	29	7F	2018	8	C	CCA	1
49	53	29	7F	2018	1	C	TS	1
50	53	29	7F	2018	1	C	TS	1
51	53	29	7F	2018	1	C	TS	1
52	53	29	7F	2018	1	C	TS	1
53	53	29	7F	2018	1	C	TS	1
54	53	29	7F	2018	0	C	TS	1
55	53	29	7F	2018	0	C	TS	1
56	53	29	7F	2018	0	C	TS	1
57	53	29	7F	2018	4	C	TS	1
58	53	29	7F	2018	4	C	TS	1
59	53	29	7F	2018	4	C	TS	1
60	53	29	7F	2018	4	C	TS	1
61	53	29	7F	2018	4	C	TS	1

62	53	29	7F	2018	4	C	TS	1
63	53	29	7F	2018	4	C	TS	1
64	53	29	7F	2018	0	C	BN	1
65	53	29	7F	2018	7	C	LUC	1
66	53	29	7F	2018	4	C	LUC	1
67	53	29	7F	2018	0	C	LUC	1
68	53	29	7F	2018	1	C	TARD	1
69	53	29	7F	2018	4	C	TARD	1
70	53	29	7F	2018	4	C	TARD	1
71	53	29	7F	2018		L	LHI	1
72	53	29	7F	2018		CO	EST	2
73	53	29	7F	2018		F	T	1
74	53	29	7F	2018	1	C	TARD	1
75	53	29	7F	2018	4	C	TARD	1
76	53	29	7F	2018	0	C	BN	1
77	53	29	7F	2018		F	FVMA	1
78	53	29	7F	2018		CO	EST	1
79	53	29	7F	2018	0	C	ANF	39
80	53	29	7F	2018	1	C	MORTERO	1
81	53	29	7F	2018	1	C	CM	1
82	53	29	7F	2018	1	C	CM	1
83	53	29	7F	2018	1	C	CM	1
84	53	29	7F	2018	1	C	CM	1
85	53	29	7F	2018	1	C	CM	1
86	53	29	7F	2018	1	C	CM	1
87	53	29	7F	2018	1	C	CM	1
88	53	29	7F	2018	1	C	CM	1
89	53	29	7F	2018	1	C	CM	1
90	53	29	7F	2018	1	C	CM	1
91	53	29	7F	2018	1	C	CM	1
92	53	29	7F	2018	1	C	CM	1
93	53	29	7F	2018	7	C	CM	1
94	53	29	7F	2018	7	C	CM	1
95	53	29	7F	2018	7	C	CM	1
96	53	29	7F	2018	7	C	CM	1
97	53	29	7F	2018	7	C	CM	1
98	53	29	7F	2018	7	C	CM	1
99	53	29	7F	2018	7	C	CM	1
100	53	29	7F	2018	7	C	CM	1
101	53	29	7F	2018	7	C	CM	1
102	53	29	7F	2018	4	C	CM	1
103	53	29	7F	2018	4	C	CM	1
104	53	29	7F	2018	4	C	CM	1
105	53	29	7F	2018	4	C	CM	1
106	53	29	7F	2018	4	C	CM	1
107	53	29	7F	2018	4	C	CM	1

108	53	29	7F	2018	4	C	CM	1
109	53	29	7F	2018	1	C	ANF	1
110	53	29	7F	2018	1	C	ANF	1
111	53	29	7F	2018	1	C	ANF	1
112	53	29	7F	2018	7	C	ANF	1
113	53	29	7F	2018	7	C	ANF	1
114	53	29	7F	2018		C	ANF	1
115	53	29	7F	2018	1	C	CC	1
116	53	29	7F	2018	1	C	CC	1
117	53	29	7F	2018	1	C	CC	1
38	53	29	7F	2018	0	C	CM	30
70	56	29	7F	2018	1	C	CM	1
71	56	29	7F	2018	1	C	CM	1
72	56	29	7F	2018	7	C	CM	1
73	56	29	7F	2018	7	C	CM	1
74	56	29	7F	2018	7	C	CM	1
75	56	29	7F	2018	7	C	CM	1
76	56	29	7F	2018	7	C	CM	1
77	56	29	7F	2018	7	C	CM	1
78	56	29	7F	2018	0	C	CM	73
79	56	29	7F	2018	4	C	CM	1
80	56	29	7F	2018	4	C	CM	1
81	56	29	7F	2018	4	C	CM	1
82	56	29	7F	2018	4	C	CM	1
83	56	29	7F	2018	1	C	ANF	1
84	56	29	7F	2018	1	C	ANF	1
85	56	29	7F	2018	7	C	ANF	1
86	56	29	7F	2018	7	C	ANF	1
87	56	29	7F	2018	7	C	ANF	1
88	56	29	7F	2018	0	C	ANF	47
89	56	29	7F	2018	4	C	ANF	1
90	56	29	7F	2018		C	MORTERO	1
91	56	29	7F	2018	1	C	CC	1
92	56	29	7F	2018	1	C	CC	1
93	56	29	7F	2018	1	C	CC	1
94	56	29	7F	2018	1	C	CC	1
95	56	29	7F	2018	0	C	CC	12
96	56	29	7F	2018	4	C	TARD	1
97	56	29	7F	2018	1	C	CCA	1
98	56	29	7F	2018	1	C	CCA	1
99	56	29	7F	2018	1	C	CCA	1
100	56	29	7F	2018	1	C	CCA	1
101	56	29	7F	2018	1	C	CCA	1
102	56	29	7F	2018	1	C	CCA	1
103	56	29	7F	2018	1	C	CCA	1
104	56	29	7F	2018	1	C	CCA	1

105	56	29	7F	2018	1	C	CCA	1
106	56	29	7F	2018	1	C	CCA	1
107	56	29	7F	2018	1	C	CCA	1
108	56	29	7F	2018	0	C	CCA	2
109	56	29	7F	2018	0	C	PT	1
110	56	29	7F	2018	0	C	PT	1
111	56	29	7F	2018	0	C	PT	1
112	56	29	7F	2018	0	C	PT	1
113	56	29	7F	2018	0	C	BN	1
114	56	29	7F	2018	0	C	BN	1
115	56	29	7F	2018	1	C	TS	1
116	56	29	7F	2018	1	C	TS	1
117	56	29	7F	2018	1	C	TS	1
118	56	29	7F	2018	1	C	TS	1
119	56	29	7F	2018	0	C	TS	1
120	56	29	7F	2018	0	C	TS	1
121	56	29	7F	2018	0	C	TS	1
122	56	29	7F	2018	0	C	TS	1
123	56	29	7F	2018	4	C	TS	1
124	56	29	7F	2018	4	C	TS	1
125	56	29	7F	2018	4	C	TS	1
126	56	29	7F	2018	4	C	TS	1
127	56	29	7F	2018	4	C	CCA	1
128	56	29	7F	2018	0	C	CLCOTILE	4
129	56	29	7F	2018		L	LHI	10
130	56	29	7F	2018		CO	EST	2
131	56	29	7F	2018		F	FVMA	1
132	56	29	7F	2018		F	FVMA	1
133	56	29	7F	2018		CO	EST	1
134	56	29	7F	2018		C	LO	1
135	56	29	7F	2018	1	VD	VI	1
136	56	29	7F	2018		F	FA	28
137	56	29	7F	2018		L	LBR	1
138	56	29	7F	2018	1	C	PF	1
139	56	29	7F	2018	0	C	TARD	2
140	56	29	7F	2018		T	TTE	1
141	56	29	7F	2018		T	TLA	1
8	72	29	7F	2018	0	C	ANF	5
9	72	29	7F	2018	7	C	ANF	1
10	72	29	7F	2018	4	C	CM	1
11	72	29	7F	2018	0	C	BN	1
12	72	29	7F	2018	0	C	BN	1
13	72	29	7F	2018	1	C	CC	1
14	72	29	7F	2018	0	C	CC	1
15	72	29	7F	2018	4	C	TARD	1
16	72	29	7F	2018	0	C	TARD	2

17	72	29	7F	2018	1	C	TS	1
18	72	29	7F	2018	0	C	TS	1
19	72	29	7F	2018	0	C	TS	1
20	72	29	7F	2018	4	C	TS	1
21	72	29	7F	2018	4	C	CCA	1
22	72	29	7F	2018		F	FA	1
23	72	29	7F	2018		L	LBR	1
24	72	29	7F	2018		T	TAD	2
25	72	29	7F	2018		C	DO	1
26	72	29	7F	2018	1	C	PT	1
27	72	29	7F	2018	0	C	PT	1
28	72	29	7F	2018	0	C	PT	1
29	72	29	7F	2018		CO	EST	1
30	72	29	7F	2018		VD	VI	1
31	72	29	7F	2018	4	C	TARD	1
32	72	29	7F	2018	0	C	CM	14
33	72	29	7F	2018	1	C	ANF	1
34	72	29	7F	2018	1	C	CM	1
35	72	29	7F	2018	1	C	CM	1
36	72	29	7F	2018	1	C	CM	1
37	72	29	7F	2018	1	C	CM	1
38	72	29	7F	2018	1	C	CM	1
38	79	11	7F	2018	0	C	CM	1
39	79	11	7F	2018	1	C	CM	1
40	79	11	7F	2018	0	C	PT	1
41	79	11	7F	2018	4	C	CCA	1
42	79	11	7F	2018	0	C	CCA	1
43	79	11	7F	2018	0	C	TS	1
44	79	11	7F	2018		F	FA	1
6	99	29	7F	2018	0	C	CC	2
7	99	29	7F	2018		C	CLCOCTILE	1
8	99	29	7F	2018		T	TLA	1
9	99	29	7F	2018		T	TTE	1
10	99	29	7F	2018		L	LHI	8
11	99	29	7F	2018	0	C	PT	1
12	99	29	7F	2018		CO	EST	1
13	99	29	7F	2018		F	FVMA	1
14	99	29	7F	2018	0	C	BN	1
15	99	29	7F	2018	8	C		1
16	99	29	7F	2018	1	C	TS	1
17	99	29	7F	2018	1	C	TS	1
18	99	29	7F	2018	1	C	CM	1
19	99	29	7F	2018	1	C	CM	1
20	99	29	7F	2018	0	C	CM	8
65	120	11	7F	2018		CO		1
66	120	11	7F	2018	0	C	ANF	9

67	120	11	7F	2018	0	C	CM	1
68	120	11	7F	2018	1	C	CM	1
69	120	11	7F	2018	0	C	CCA	12
70	120	11	7F	2018	1	C	CCA	1
71	120	11	7F	2018	1	C	CCA	1
72	120	11	7F	2018	1	C	CCA	1
73	120	11	7F	2018	1	C	CCA	1
74	120	11	7F	2018	1	C	CCA	1
75	120	11	7F	2018	1	C	CCA	1
76	120	11	7F	2018	4	C	CCA	1
77	120	11	7F	2018	4	C	CCA	1
78	120	11	7F	2018	0	C	TS	1
79	120	11	7F	2018	0	C	TS	1
80	120	11	7F	2018	7	C	CC	1
81	120	11	7F	2018	1	C	CC	1
82	120	11	7F	2018	1	C	CC	1
83	120	11	7F	2018	1	C	CC	1
84	120	11	7F	2018	0	C	PT	1
85	120	11	7F	2018		L	LBR	1
86	120	11	7F	2018		L	LHI	3
87	120	11	7F	2018		F	FVMA	2
88	120	11	7F	2018		F	FA	1
10	122	11	7F	2018	0	C	ANF	7
11	122	11	7F	2018	1	C	CM	1
12	122	11	7F	2018	7	C	CM	1
13	122	11	7F	2018	4	C	CM	2
14	122	11	7F	2018	4	C	CM	1
15	122	11	7F	2018	0	C	CM	10
16	122	11	7F	2018	1	C	CC	1
17	122	11	7F	2018	8	C	CC	1
18	122	11	7F	2018	1	C	PF	8
19	122	11	7F	2018	1	C	CCA	1
20	122	11	7F	2018	1	C	CCA	1
21	122	11	7F	2018	1	C	CCA	1
22	122	11	7F	2018	4	C	CCA	1
23	122	11	7F	2018	0	C	CCA	4
24	122	11	7F	2018	1	C	TS	1
25	122	11	7F	2018	7	C	LUC	1
26	122	11	7F	2018		T	TLA	1
27	122	11	7F	2018		VD	VI	3
28	122	11	7F	2018		F	FVMA	1
29	122	11	7F	2018		F	FA	15
11	126	29	7F	2018	1	C	TSA	1
12	126	29	7F	2018	0	C	TSA	1
13	126	29	7F	2018	0	C	TSA	1
14	126	29	7F	2018	0	C	TSA	1

15	126	29	7F	2018	0	C	TSA	1
16	126	29	7F	2018	1	C	CCA	1
17	126	29	7F	2018	1	C	CCA	1
18	126	29	7F	2018	0	C	CCA	1
19	126	29	7F	2018	1	C	TARD	1
20	126	29	7F	2018	0	C	TARD	1
21	126	29	7F	2018	1	C	CM	1
22	126	29	7F	2018	0	C	CM	8
23	126	29	7F	2018	4	C	CM	25
24	126	29	7F	2018	0	C	ANF	5
25	126	29	7F	2018		L	MON	1
26	126	29	7F	2018	1	VD	VI	1
27	126	29	7F	2018		F	FA	7
28	126	29	7F	2018	0	C	ANF	2
29	126	29	7F	2018		T	TLA	1
30	126	29	7F	2018	1	C	TS	1
31	126	29	7F	2018		F	FA	2
1	128	29	7F	2018	7	C	ANF	1
2	128	29	7F	2018	1	C	ANF	1
3	128	29	7F	2018	7	C	CM	1
4	128	29	7F	2018	7	C	CM	1
5	128	29	7F	2018	0	C	ANF	8
6	128	29	7F	2018	0	C	BN	1
7	128	29	7F	2018		CO	EST	1
8	128	29	7F	2018		CO	ENL	9
9	128	29	7F	2018		-	-	
10	128	29	7F	2018	0	C	CM	6
11	128	29	7F	2018	0	C	CC	3
12	128	29	7F	2018	7	C	CC	1
13	128	29	7F	2018	4	C	TS	1
14	128	29	7F	2018	4	C	TS	1
15	128	29	7F	2018	1	C	TS	1
16	128	29	7F	2018		F	FA	1
17	128	29	7F	2018	4	CO	CCA	1
18	128	29	7F	2018		??	??	
19	128	29	7F	2018	1	C	CM	1
20	128	29	7F	2018	4	C	CM	1
21	128	29	7F	2018	0	C	MORTERO	1
1	143	29	7F	2018		F	FVMA	1
2	143	29	7F	2018		CO	TE	1
3	143	29	7F	2018		CO	ENL	1
4	143	29	7F	2018		F	FA	17
5	143	29	7F	2018	0	CO	ANF	10
6	143	29	7F	2018	0	C	CC	4
7	143	29	7F	2018	4	C	CC	1
8	143	29	7F	2018	4	C	CCA	1

9	143	29	7F	2018	0	C	CM	4
10	143	29	7F	2018	0	C	TARD	2
11	143	29	7F	2018	4	C	CC	1
1	166E	11W	7F	2018	1	C	ANF	1
2	166E	11W	7F	2018	1	C	ANF	1
3	166E	11W	7F	2018	0	C	ANF	23
4	166E	11W	7F	2018		C	LUC	1
5	166E	11W	7F	2018	7	C	LUC	1
6	166E	11W	7F	2018	1	C	LUC	1
7	166E	11W	7F	2018	1	C	LUC	1
8	166E	11W	7F	2018	1	C	LUC	1
9	166E	11W	7F	2018	1	C	LUC	1
10	166E	11W	7F	2018	1	C	LUC	1
11	166E	11W	7F	2018	4	C	LUC	1
12	166E	11W	7F	2018	4	C	LUC	1
13	166E	11W	7F	2018	4	C	LUC	1
14	166E	11W	7F	2018	0	C	LUC	1
15	166E	11W	7F	2018	0	C	LUC	1
16	166E	11W	7F	2018	0	C	LUC	1
17	166E	11W	7F	2018	0	C	LUC	1
18	166E	11W	7F	2018	0	C	LUC	1
19	166E	11W	7F	2018	0	C	LUC	1
20	166E	11W	7F	2018	0	C	LUC	1
21	166E	11W	7F	2018	0	C	LUC	1
22	166E	11W	7F	2018	1	C	TS	1
23	166E	11W	7F	2018	1	C	TS	1
24	166E	11W	7F	2018	1	C	TS	1
25	166E	11W	7F	2018	1	C	TS	1
26	166E	11W	7F	2018	1	C	TS	1
27	166E	11W	7F	2018	0	C	TS	1
28	166E	11W	7F	2018	0	C	TS	1
29	166E	11W	7F	2018	0	C	TS	1
30	166E	11W	7F	2018	0	C	TS	1
31	166E	11W	7F	2018	0	C	TS	1
32	166E	11W	7F	2018	0	C	TS	1
33	166E	11W	7F	2018	0	C	TS	1
34	166E	11W	7F	2018	0	C	TS	1
35	166E	11W	7F	2018	0	C	TS	1
36	166E	11W	7F	2018	0	C	TS	1
37	166E	11W	7F	2018	0	C	TS	1
38	166E	11W	7F	2018	0	C	TS	1
39	166E	11W	7F	2018	0	C	TS	1
40	166E	11W	7F	2018	0	C	TS	1
41	166E	11W	7F	2018	0	C	TS	1
42	166E	11W	7F	2018	0	C	TS	1
43	166E	11W	7F	2018	0	C	PF	5

44	166E	11W	7F	2018	4	C	RP	1
45	166E	11W	7F	2018	0	C	RP	2
46	166E	11W	7F	2018	1	C	CCA	1
47	166E	11W	7F	2018	1	C	CCA	1
48	166E	11W	7F	2018	1	C	CCA	1
49	166E	11W	7F	2018	1	C	CCA	1
50	166E	11W	7F	2018	1	C	CCA	1
51	166E	11W	7F	2018	1	C	CCA	1
52	166E	11W	7F	2018	1	C	CCA	1
53	166E	11W	7F	2018	1	C	CCA	1
54	166E	11W	7F	2018	1	C	CCA	1
55	166E	11W	7F	2018	1	C	CCA	1
56	166E	11W	7F	2018	1	C	CCA	1
57	166E	11W	7F	2018	1	C	CCA	1
58	166E	11W	7F	2018	1	C	CCA	1
59	166E	11W	7F	2018	1	C	CCA	1
60	166E	11W	7F	2018	1	C	CCA	1
61	166E	11W	7F	2018	1	C	CCA	1
62	166E	11W	7F	2018	1	C	CCA	1
63	166E	11W	7F	2018	1	C	CCA	1
64	166E	11W	7F	2018	1	C	CCA	1
65	166E	11W	7F	2018	1	C	CCA	1
66	166E	11W	7F	2018	1	C	CCA	1
67	166E	11W	7F	2018	1	C	CCA	1
68	166E	11W	7F	2018	4	C	CCA	1
69	166E	11W	7F	2018	4	C	CCA	1
70	166E	11W	7F	2018	4	C	CCA	1
71	166E	11W	7F	2018	4	C	CCA	1
72	166E	11W	7F	2018	4	C	CCA	1
73	166E	11W	7F	2018	4	C	CCA	1
74	166E	11W	7F	2018	4	C	CCA	1
75	166E	11W	7F	2018	4	C	CCA	1
76	166E	11W	7F	2018	4	C	CCA	1
77	166E	11W	7F	2018	4	C	CCA	1
78	166E	11W	7F	2018	4	C	CCA	1
79	166E	11W	7F	2018	4	C	CCA	1
80	166E	11W	7F	2018	4	C	CCA	1
81	166E	11W	7F	2018	4	C	CCA	1
82	166E	11W	7F	2018	4	C	CCA	1
83	166E	11W	7F	2018	4	C	CCA	1
84	166E	11W	7F	2018	4	C	CCA	1
85	166E	11W	7F	2018	4	C	CCA	1
86	166E	11W	7F	2018	4	C	CCA	1
87	166E	11W	7F	2018	4	C	CCA	1
88	166E	11W	7F	2018	0	C	CCA	26
89	166E	11W	7F	2018	1	C	CM	1

90	166E	11W	7F	2018	1	C	CM	1
91	166E	11W	7F	2018	1	C	CM	1
92	166E	11W	7F	2018	1	C	CM	1
93	166E	11W	7F	2018	1	C	CM	1
94	166E	11W	7F	2018	1	C	CM	1
95	166E	11W	7F	2018	1	C	CM	1
96	166E	11W	7F	2018	1	C	CM	1
97	166E	11W	7F	2018	1	C	CM	1
98	166E	11W	7F	2018	1	C	CM	1
99	166E	11W	7F	2018	1	C	CM	1
100	166E	11W	7F	2018	1	C	CM	1
101	166E	11W	7F	2018	1	C	CM	1
102	166E	11W	7F	2018	1	C	CM	1
103	166E	11W	7F	2018	1	C	CM	1
104	166E	11W	7F	2018	1	C	CM	1
105	166E	11W	7F	2018	1	C	CM	1
106	166E	11W	7F	2018	7	C	CM	2
107	166E	11W	7F	2018	0	C	CM	307
108	166E	11W	7F	2018	1	C	CC	1
109	166E	11W	7F	2018	1	C	CC	1
110	166E	11W	7F	2018	1	C	CC	1
111	166E	11W	7F	2018	1	C	CC	1
112	166E	11W	7F	2018	1	C	CC	1
113	166E	11W	7F	2018	1	C	CC	1
114	166E	11W	7F	2018	1	C	CC	1
115	166E	11W	7F	2018	1	C	CC	1
116	166E	11W	7F	2018	1	C	CC	1
117	166E	11W	7F	2018	1	C	CC	1
118	166E	11W	7F	2018	0	C	CC	36
119	166E	11W	7F	2018	4	C	PT	1
120	166E	11W	7F	2018	1	C	PT	1
121	166E	11W	7F	2018	0	C	PT	1
122	166E	11W	7F	2018	0	C	PT	1
123	166E	11W	7F	2018	0	C	PT	1
124	166E	11W	7F	2018	0	C	PT	1
125	166E	11W	7F	2018	0	C	PT	1
126	166E	11W	7F	2018	0	C	PT	1
127	166E	11W	7F	2018	0	C	PT	1
128	166E	11W	7F	2018		CO	TE	10
129	166E	11W	7F	2018		L	LHI	6
130	166E	11W	7F	2018		F	FA	168
131	166E	11W	7F	2018		F	FVMA	7
132	166E	11W	7F	2018		F	FVMA	1
133	166E	11W	7F	2018		VD	VI	10
134	166E	11W	7F	2018	4	C	PT	1
135	166E	11W	7F	2018		HT	AGU	2

136	166E	11W	7F	2018		CO	MARMOL	1
137	166E	11W	7F	2018	0	C	ANF	17
138	166E	11W	7F	2018	7	C	ANF	1
139	166E	11W	7F	2018	0	C	CM	134
140	166E	11W	7F	2018	1	C	CM	1
141	166E	11W	7F	2018	1	C	CM	1
142	166E	11W	7F	2018	1	C	CM	1
143	166E	11W	7F	2018	1	C	CM	1
144	166E	11W	7F	2018	1	C	CM	1
145	166E	11W	7F	2018	1	C	CM	1
146	166E	11W	7F	2018	1	C	CM	1
147	166E	11W	7F	2018	7	C	CM	1
148	166E	11W	7F	2018	7	C	CM	1
149	166E	11W	7F	2018	7	C	CM	1
150	166E	11W	7F	2018	7	C	CM	1
151	166E	11W	7F	2018	1	C	BN	1
152	166E	11W	7F	2018	0	C	BN	1
153	166E	11W	7F	2018	0	C	PT	1
154	166E	11W	7F	2018	0	C	PT	1
155	166E	11W	7F	2018	0	C	PT	1
156	166E	11W	7F	2018	0	C	PT	1
157	166E	11W	7F	2018	0	C	PT	1
158	166E	11W	7F	2018	1	C	CC	1
159	166E	11W	7F	2018	1	C	CC	1
160	166E	11W	7F	2018	1	C	CC	1
161	166E	11W	7F	2018	0	C	CC	23
162	166E	11W	7F	2018	1	C	LUC	1
163	166E	11W	7F	2018	1	C	LUC	1
164	166E	11W	7F	2018	1	C	LUC	1
165	166E	11W	7F	2018	1	C	LUC	1
166	166E	11W	7F	2018		C	LUC	1
167	166E	11W	7F	2018	1	C	CCA	1
168	166E	11W	7F	2018	1	C	CCA	1
169	166E	11W	7F	2018	1	C	CCA	1
170	166E	11W	7F	2018	1	C	CCA	1
171	166E	11W	7F	2018	1	C	CCA	1
172	166E	11W	7F	2018	1	C	CCA	1
173	166E	11W	7F	2018	1	C	CCA	1
174	166E	11W	7F	2018	1	C	CCA	1
175	166E	11W	7F	2018	1	C	CCA	1
176	166E	11W	7F	2018	4	C	CCA	1
177	166E	11W	7F	2018	4	C	CCA	1
178	166E	11W	7F	2018	4	C	CCA	1
179	166E	11W	7F	2018	4	C	CCA	1
180	166E	11W	7F	2018	4	C	CCA	1
181	166E	11W	7F	2018	0	C	CCA	27

182	166E	11W	7F	2018	1	C	PF	1
183	166E	11W	7F	2018	1	C	PF	1
184	166E	11W	7F	2018		VD	VI	9
185	166E	11W	7F	2018		CO	TE	3
186	166E	11W	7F	2018		L	LHI	5
187	166E	11W	7F	2018	1	C	TS	1
188	166E	11W	7F	2018	1	C	TS	1
189	166E	11W	7F	2018	1	C	TS	1
190	166E	11W	7F	2018	1	C	TS	1
191	166E	11W	7F	2018	1	C	TS	1
192	166E	11W	7F	2018	1	C	TS	1
193	166E	11W	7F	2018	1	C	TS	1
194	166E	11W	7F	2018	1	C	TS	1
195	166E	11W	7F	2018	1	C	TS	1
196	166E	11W	7F	2018		F	FA	57
197	166E	11W	7F	2018		CO	PAVIMENT O	5
27	169	11	7F	2018	0	C	ANF	1
28	169	11	7F	2018	0	C	CM	1
29	169	11	7F	2018	1	C	CCA	1
30	169	11	7F	2018	4	C	CCA	1
31	169	11	7F	2018	4	C	CCA	1
32	169	11	7F	2018		CO	EST	1
33	169	11	7F	2018		T	TLA	1
34	169	11	7F	2018		F	FA	1
35	169	11	7F	2018	1	C	CM	1
36	169	11	7F	2018	0	C	TS	1
37	169	11	7F	2018	0	C	TS	1
1	179	5	7F	2018	1	C	ANF	1
2	179	5	7F	2018	0	C	ANF	3
3	179	5	7F	2018	4	C	CM	1
4	179	5	7F	2018	4	C	CM	1
5	179	5	7F	2018	7	C	CM	1
6	179	5	7F	2018	0	C	CM	16
7	179	5	7F	2018	0	C	CC	7
8	179	5	7F	2018	0	C	BN	1
9	179	5	7F	2018	4	C	CCA	1
10	179	5	7F	2018	0	C	TS	1
11	179	5	7F	2018	0	C	TS	1
12	179	5	7F	2018	0	C	TS	1
13	179	5	7F	2018	1	C	TSGM	1
14	179	5	7F	2018		F	FA	1
15	179	5	7F	2018	0	C	PT	1
16	179	5	7F	2018	0	C	PT	1
17	179	5	7F	2018	0	C	PT	1
18	179	5	7F	2018	0	C	PT	1
19	179	5	7F	2018	0	C	PT	1

8	183	4	7F	2018	7	C	ANF	1
9	183	4	7F	2018	0	C	ANF	3
10	183	4	7F	2018	1	C	CM	1
11	183	4	7F	2018	7	C	CM	1
12	183	4	7F	2018	7	C	CM	1
13	183	4	7F	2018	4	C	CM	1
14	183	4	7F	2018	4	C	CM	1
15	183	4	7F	2018	0	C	CM	12
16	183	4	7F	2018	1	C	PF	1
17	183	4	7F	2018	1	C	LUC	1
18	183	4	7F	2018	0	C	CC	1
19	183	4	7F	2018	0	C	TARD	1
20	183	4	7F	2018	0	C	CCA	1
21	183	4	7F	2018		F	FVMA	1
22	183	4	7F	2018		F	FA	6
23	183	4	7F	2018		CO	ENL	1
24	183	4	7F	2018		C	MORTERO	1
1	185	5	7F	2018	1	C	TS	1
2	185	5	7F	2018	1	C	TS	1
7	207	5	7F	2018	0	C	CM	17
8	207	5	7F	2018		F	FA	4
9	207	5	7F	2018	0	C	PT	1
10	207	5	7F	2018	0	C	PT	1
11	207	5	7F	2018	0	C	PT	1
12	207	5	7F	2018	0	C	PT	1
13	207	5	7F	2018	0	C	PT	1
5	207	5	7F	2018	0	C	PT	1
1	208	5	7F	2018	0	C	ANF	1
2	208	5	7F	2018	0	C	CM	1
1	213	13	7F	2018	0	C	ANF	4
2	213	13	7F	2018	0	C	CM	5
3	213	13	7F	2018		T	TTE	1
4	213	13	7F	2018		F	FA	3
5	213	13	7F	2018		L	LHI	1
8	219		7F	2018	0	C	ANF	3
9	219		7F	2018	0	C	CM	5
10	219		7F	2018	0	C	TS	1
11	219		7F	2018	0	C	TS	1
12	219		7F	2018	0	C	PT	1
13	219		7F	2018	0	C	PF	2
14	219		7F	2018		CO	ENL	1
1	225	5	7F	2018	0	C	PT	1
2	225	5	7F	2018	0	C	CM	1
3	225	5	7F	2018		F	FA	1
1	233	5	7F	2018	0	C	ANF	3
2	233	5	7F	2018	0	C	CM	12

3	233	5	7F	2018	4	C	CM	1
4	233	5	7F	2018	7	C	CM	1
5	233	5	7F	2018	1	C	CM	1
6	233	5	7F	2018	1	C	CM	1
7	233	5	7F	2018	1	C	BN	1
8	233	5	7F	2018	0	VD	VI	1
9	233	5	7F	2018	0	C	PT	1
10	233	5	7F	2018	0	C	PT	1
11	233	5	7F	2018	0	C	PT	1
12	233	5	7F	2018	1	C	PT	1
13	233	5	7F	2018		CO	EST	6
14	233	5	7F	2018		F	FA	10
15	233	5	7F	2018		F	FVMA	2
16	233	5	7F	2018		F	FVMA	13
1	254	30	7F	2018	7	C	ANF	1
2	254	30	7F	2018	4	C	ANF	1
3	254	30	7F	2018	0	C	ANF	6
4	254	30	7F	2018	4	C	TSA	1
5	254	30	7F	2018	4	C	TSA	1
6	254	30	7F	2018	0	C	TSA	1
7	254	30	7F	2018	0	C	TSA	1
8	254	30	7F	2018	0	C	TSA	1
9	254	30	7F	2018	0	C	TSA	1
10	254	30	7F	2018	0	C	CM	25
11	254	30	7F	2018	1	C	CC	1
12	254	30	7F	2018	7	C	CM	1
13	254	30	7F	2018	1	C	CM	1
14	254	30	7F	2018	0	C	PT	1
15	254	30	7F	2018	4	C	CCA	1
16	254	30	7F	2018	0	C	CCA	1
17	254	30	7F	2018		F	FVMA	1
18	254	30	7F	2018		F	FVMA	1
19	254	30	7F	2018		F	FA	1
1	285	5	7F	2018	1	C	PT	1
2	285	5	7F	2018	1	C	PT	1
3	285	5	7F	2018	1	C	PT	1
4	285	5	7F	2018	0	C	PT	1
5	285	5	7F	2018	0	C	PT	1
6	285	5	7F	2018	0	C	PT	1
7	285	5	7F	2018	0	C	PT	1
8	285	5	7F	2018	0	C	PT	1
9	285	5	7F	2018	0	C	PT	1
10	285	5	7F	2018	0	C	PT	1
11	285	5	7F	2018	0	C	PT	1
12	285	5	7F	2018	0	C	PT	1
13	285	5	7F	2018	0	C	PT	1

14	285	5	7F	2018	0	C	PT	1
15	285	5	7F	2018	0	C	PT	1
16	285	5	7F	2018	0	C	PT	1
17	285	5	7F	2018	0	C	PT	1
18	285	5	7F	2018	0	C	PT	1
19	285	5	7F	2018	0	C	PT	1
20	285	5	7F	2018	0	C	TS	1
21	285	5	7F	2018	0	C	ANF	5
22	285	5	7F	2018	1	C	CM	1
23	285	5	7F	2018	1	C	CM	1
24	285	5	7F	2018	1	C	CM	1
25	285	5	7F	2018	1	C	CM	1
26	285	5	7F	2018	4	C	CM	1
27	285	5	7F	2018	4	C	CM	1
28	285	5	7F	2018	4	C	CM	1
29	285	5	7F	2018	7	C	CM	1
30	285	5	7F	2018	0	C	CM	48
31	285	5	7F	2018	1	C	CM	1
32	285	5	7F	2018	0	C	CM	3
33	285	5	7F	2018	0	C	PF	1
34	285	5	7F	2018	0	C	RP	2
35	285	5	7F	2018	0	C	RP	1
36	285	5	7F	2018	0	C	RP	1
37	285	5	7F	2018	0	C	RP	1
38	285	5	7F	2018		F	FVMA	2
39	285	5	7F	2018		F	FVMA	1
40	285	5	7F	2018		F	FA	5
1	302	12	7F	2018	7	C	ANF	1
2	302	12	7F	2018	0	C	ANF	37
3	302	12	7F	2018	0	C	DO	1
4	302	12	7F	2018	0	C	BN	1
5	302	12	7F	2018	0	C	PT	1
6	302	12	7F	2018	0	C	PT	1
7	302	12	7F	2018	0	C	PT	1
8	302	12	7F	2018	0	C	PT	1
9	302	12	7F	2018	0	C	PT	1
10	302	12	7F	2018	1	C	CM	1
11	302	12	7F	2018	1	C	CM	1
12	302	12	7F	2018	1	C	CM	1
13	302	12	7F	2018	7	C	CM	1
14	302	12	7F	2018	7	C	CM	1
15	302	12	7F	2018	7	C	CM	1
16	302	12	7F	2018	4	C	CM	1
17	302	12	7F	2018	0	C	CM	48
18	302	12	7F	2018	0	C	RS	1
19	302	12	7F	2018	1	C	CCA	2

20	302	12	7F	2018	0	C	CCA	6
21	302	12	7F	2018	1	C	TARD	1
22	302	12	7F	2018	4	C	TARD	1
23	302	12	7F	2018	4	C	TARD	1
24	302	12	7F	2018	1	C	CC	1
25	302	12	7F	2018	1	C	CC	1
26	302	12	7F	2018	1	C	CC	1
27	302	12	7F	2018	1	C	CC	1
28	302	12	7F	2018	1	C	CC	1
29	302	12	7F	2018	0	C	CC	17
30	302	12	7F	2018		CO	TE	1
31	302	12	7F	2018		T	TIM	2
32	302	12	7F	2018		T	TLA	2
33	302	12	7F	2018		F	FA	17
34	302	12	7F	2018		F	FVMA	24
35	302	12	7F	2018	4	C	MODERNA	1
1	304	5	7F	2018	1	C	TS	1
2	304	5	7F	2018	0	C	TS	1
3	304	5	7F	2018	0	C	TS	1
4	304	5	7F	2018	0	C	TS	1
5	304	5	7F	2018	0	C	TS	1
6	304	5	7F	2018	0	C	TS	1
7	304	5	7F	2018	0	C	PF	1
8	304	5	7F	2018	0	C	PT	1
9	304	5	7F	2018	0	C	PT	1
10	304	5	7F	2018	0	C	PT	1
11	304	5	7F	2018	0	C	CC	3
12	304	5	7F	2018	1	C	CM	1
13	304	5	7F	2018	1	C	CM	1
14	304	5	7F	2018	1	C	CM	1
15	304	5	7F	2018	1	C	CM	1
16	304	5	7F	2018	1	C	CM	1
17	304	5	7F	2018	1	C	CM	1
18	304	5	7F	2018	1	C	CM	1
19	304	5	7F	2018	1	C	CM	1
20	304	5	7F	2018	1	C	CM	1
21	304	5	7F	2018	1	C	CM	1
22	304	5	7F	2018	1	C	CM	1
23	304	5	7F	2018	1	C	CM	1
24	304	5	7F	2018	7	C	CM	1
25	304	5	7F	2018	7	C	CM	1
26	304	5	7F	2018	4	C	CM	1
27	304	5	7F	2018	0	C	CM	189
28	304	5	7F	2018	0	C	ANF	17
29	304	5	7F	2018	0	C	MORTERO	72
30	304	5	7F	2018		L	LHI	1

31	304	5	7F	2018		F	FA	4
32	304	5	7F	2018		VD	VI	1
1	305	5	7F	2018	0	C	CM	42
2	305	5	7F	2018		CO	EST	1
3	305	5	7F	2018		CO	TE	1
4	305	5	7F	2018		F	FVMA	1
5	305	5	7F	2018		F	FA	14
6	305	5	7F	2018	0	C	ANF	11
7	305	5	7F	2018	0	C	CC	4
8	305	5	7F	2018	1	C	CC	1
9	305	5	7F	2018	1	C	LUC	1
10	305	5	7F	2018	0	C	RP	1
11	305	5	7F	2018	0	C	PT	1
12	305	5	7F	2018	0	C	PT	1
13	305	5	7F	2018	0	C	PT	1
14	305	5	7F	2018	0	C	PT	1
15	305	5	7F	2018	0	C	PT	1
16	305	5	7F	2018	0	C	PT	1
17	305	5	7F	2018	0	C	PT	1
18	305	5	7F	2018	0	C	PT	1
19	305	5	7F	2018	0	C	PT	1
20	305	5	7F	2018	0	C	PT	1
21	305	5	7F	2018	0	C	PT	1
22	305	5	7F	2018	0	C	PT	1
23	305	5	7F	2018	1	C	PT	1
24	305	5	7F	2018	1	C	TS	1
25	305	5	7F	2018	0	C	TS	1
26	305	5	7F	2018	0	C	TS	1
27	305	5	7F	2018	0	C	TS	1
28	305	5	7F	2018	1	C	BN	1
29	305	5	7F	2018	0	C	BN	1
30	305	5	7F	2018	0	C	BN	1
31	305	5	7F	2018	0	C	BN	1
32	305	5	7F	2018	1	C	CM	1
33	305	5	7F	2018	1	C	CM	1
34	305	5	7F	2018	1	C	CM	1
1	307	5	7F	2018	0	C	CM	1
2	307	5	7F	2018		L	LPL	1
1	310	11	7F	2018	1	C	ANF	2
2	310	11	7F	2018	0	C	ANF	20
3	310	11	7F	2018	1	C	CM	1
4	310	11	7F	2018	1	C	CM	1
5	310	11	7F	2018	1	C	CM	1
6	310	11	7F	2018	1	C	CM	1
7	310	11	7F	2018	1	C	CM	1
8	310	11	7F	2018	1	C	CM	1

9	310	11	7F	2018	7	C	CM	1
10	310	11	7F	2018	4	C	CM	1
11	310	11	7F	2018	4	C	CM	1
12	310	11	7F	2018	0	C	CM	79
13	310	11	7F	2018	7	C	PT	1
14	310	11	7F	2018	0	C	PT	1
15	310	11	7F	2018	0	C	PT	1
16	310	11	7F	2018	0	C	PT	1
17	310	11	7F	2018	1	C	CC	1
18	310	11	7F	2018	4	C	CC	1
19	310	11	7F	2018	0	C	CC	19
20	310	11	7F	2018	1	C	CCA	1
21	310	11	7F	2018	1	C	CCA	1
22	310	11	7F	2018	1	C	CCA	1
23	310	11	7F	2018	1	C	CCA	1
24	310	11	7F	2018	0	C	CCA	8
25	310	11	7F	2018		T	TLA	1
26	310	11	7F	2018		CO	MARMOL	1
27	310	11	7F	2018		F	FA	21
28	310	11	7F	2018		F	FVMA	6
29	310	11	7F	2018	1	C	ANF	1
30	310	11	7F	2018	7	C	ANF	1
31	310	11	7F	2018	7	C	ANF	1
32	310	11	7F	2018	7	C	ANF	1
33	310	11	7F	2018	4	C	ANF	1
34	310	11	7F	2018	1	C	CM	1
35	310	11	7F	2018	1	C	CM	1
36	310	11	7F	2018	1	C	CM	1
37	310	11	7F	2018	1	C	CM	1
38	310	11	7F	2018	1	C	PT	1
39	310	11	7F	2018	0	C	PT	1
40	310	11	7F	2018	0	C	PT	1
41	310	11	7F	2018	0	C	PT	1
42	310	11	7F	2018	0	C	PT	1
43	310	11	7F	2018	1	C	CC	1
44	310	11	7F	2018	7	C	CC	1
45	310	11	7F	2018	1	C	CCA	1
46	310	11	7F	2018	1	C	CCA	1
47	310	11	7F	2018	1	C	CCA	1
48	310	11	7F	2018	1	C	CCA	1
49	310	11	7F	2018	1	C	CCA	1
50	310	11	7F	2018	1	C	CCA	1
51	310	11	7F	2018	1	C	CM	1
52	310	11	7F	2018	1	C	TARD	1
53	310	11	7F	2018	1	C	TARD	1
54	310	11	7F	2018	4	C	BN	1

55	310	11	7F	2018		CO	MARMOL	
56	310	11	7F	2018	0	VD	VI	3
57	310	11	7F	2018		CO	ENL	4
58	310	11	7F	2018		CO	MORTERO	5
59	310	11	7F	2018	0	C	PF	2
60	310	11	7F	2018	7	C	LUC	1
61	310	11	7F	2018	7	C	LUC	1
62	310	11	7F	2018	1	C	LUC	1
63	310	11	7F	2018	0	C	TS	1
64	310	11	7F	2018	0	C	TS	1
65	310	11	7F	2018	0	C	TS	1
66	310	11	7F	2018	0	C	TS	1
67	310	11	7F	2018	0	C	TS	1
68	310	11	7F	2018	0	C	TS	1
69	310	11	7F	2018	1	C	TS	1
70	310	11	7F	2018	1	C	TS	1
71	310	11	7F	2018	1	C	TS	1
72	310	11	7F	2018	1	C	TS	1
73	310	11	7F	2018	4	C	TS	1
74	310	11	7F	2018	4	C	TS	1
75	310	11	7F	2018	4	C	TS	1
1	311	13	7F	2018	0	C	CM	9
2	311	13	7F	2018	0	C	CC	2
3	311	13	7F	2018	0	C	CCA	1
4	311	13	7F	2018		CO	EST	1
5	311	13	7F	2018		F	FA	1
6	311	13	7F	2018		F	FVMA	2
7	311	13	7F	2018		MU	CA	4
1	314	24	7F	2018	1	C	ANF	1
2	314	24	7F	2018	7	C	ANF	1
3	314	24	7F	2018	7	C	ANF	1
4	314	24	7F	2018	4	C	ANF	1
5	314	24	7F	2018	4	C	ANF	1
6	314	24	7F	2018	0	C	ANF	27
7	314	24	7F	2018	1	C	TS	1
8	314	24	7F	2018	1	C	TS	1
9	314	24	7F	2018	1	C	TS	1
10	314	24	7F	2018	1	C	TS	1
11	314	24	7F	2018	1	C	TS	1
12	314	24	7F	2018	1	C	TS	1
13	314	24	7F	2018	1	C	TS	1
14	314	24	7F	2018	4	C	TS	1
15	314	24	7F	2018	0	C	TS	1
16	314	24	7F	2018	0	C	TS	1
17	314	24	7F	2018	0	C	TS	1
18	314	24	7F	2018	0	C	TS	1

19	314	24	7F	2018	0	C	TS	1
20	314	24	7F	2018	0	C	TS	1
21	314	24	7F	2018	0	C	TS	1
22	314	24	7F	2018	0	C	TS	1
23	314	24	7F	2018	0	C	TS	1
24	314	24	7F	2018	0	C	TS	1
25	314	24	7F	2018	0	C	TS	1
26	314	24	7F	2018	0	C	TS	1
27	314	24	7F	2018	0	C	TS	1
28	314	24	7F	2018	0	C	TS	1
29	314	24	7F	2018	0	C	TS	1
30	314	24	7F	2018	0	C	TS	1
31	314	24	7F	2018	0	C	TS	1
32	314	24	7F	2018	0	C	TS	1
33	314	24	7F	2018	0	C	TS	1
34	314	24	7F	2018	1	C	CM	1
35	314	24	7F	2018	1	C	CM	1
36	314	24	7F	2018	1	C	CM	1
37	314	24	7F	2018	1	C	CM	1
38	314	24	7F	2018	1	C	CM	1
39	314	24	7F	2018	1	C	CM	1
40	314	24	7F	2018	7	C	CM	1
41	314	24	7F	2018	4	C	CM	1
42	314	24	7F	2018	0	C	CM	31
43	314	24	7F	2018	1	C	CC	1
44	314	24	7F	2018	1	C	CC	1
45	314	24	7F	2018	7	C	CC	1
46	314	24	7F	2018	0	C	CC	9
47	314	24	7F	2018	0	C	PF	1
48	314	24	7F	2018	1	C	CCA	1
49	314	24	7F	2018	1	C	CCA	1
50	314	24	7F	2018	1	C	CCA	1
51	314	24	7F	2018	0	C	CCA	7
52	314	24	7F	2018	4	C	CM	1
53	314	24	7F	2018		CO	TE	1
54	314	24	7F	2018		T	TIM	2
55	314	24	7F	2018		T	TLA	1
56	314	24	7F	2018		CO	MARMOL	1
57	314	24	7F	2018		CO	TE	2
58	314	24	7F	2018		F	FVMA	1
59	314	24	7F	2018		F	FA	1
60	314	24	7F	2018		VD	VI	1
1	315	5	7F	2018	1	C	BNAT	1
2	315	5	7F	2018	1	C	BN	2
3	315	5	7F	2018	1	C	BN	1
4	315	5	7F	2018	0	C	BN	1

5	315	5	7F	2018	0	C	BN	1
6	315	5	7F	2018	0	C	BN	1
7	315	5	7F	2018	0	C	BN	1
8	315	5	7F	2018	0	C	BN	1
9	315	5	7F	2018	0	C	BN	1
10	315	5	7F	2018	7	C	PF	1
11	315	5	7F	2018	1	C	PF	1
12	315	5	7F	2018	1	C	PF	1
13	315	5	7F	2018	1	C	PF	1
14	315	5	7F	2018	1	C	PF	1
15	315	5	7F	2018	0	C	PF	1
16	315	5	7F	2018	0	C	PF	1
17	315	5	7F	2018	0	C	PF	1
18	315	5	7F	2018	0	C	PF	1
19	315	5	7F	2018	0	C	PF	1
20	315	5	7F	2018	0	C	PF	1
21	315	5	7F	2018	4	C	PF	1
22	315	5	7F	2018	4	C	LUC	1
23	315	5	7F	2018	7	C	LUC	1
24	315	5	7F	2018		C	LUC	1
25	315	5	7F	2018		C	LUC	1
26	315	5	7F	2018	0	C	LUC	1
27	315	5	7F	2018	0	C	LUC	1
28	315	5	7F	2018	0	C	LUC	1
29	315	5	7F	2018	0	C	LUC	1
30	315	5	7F	2018	1	C	TS	3
31	315	5	7F	2018	1	C	TS	1
32	315	5	7F	2018	1	C	TS	1
33	315	5	7F	2018	1	C	TS	1
34	315	5	7F	2018	1	C	TS	1
35	315	5	7F	2018	1	C	TS	1
36	315	5	7F	2018	1	C	TS	1
37	315	5	7F	2018	1	C	TS	1
38	315	5	7F	2018	4	C	TS	1
39	315	5	7F	2018	4	C	TS	1
40	315	5	7F	2018	0	C	TS	1
41	315	5	7F	2018	0	C	TS	1
42	315	5	7F	2018	0	C	TS	1
43	315	5	7F	2018	0	C	TS	1
44	315	5	7F	2018	0	C	TS	1
45	315	5	7F	2018	0	C	TS	1
46	315	5	7F	2018	0	C	TS	1
47	315	5	7F	2018	0	C	TS	1
48	315	5	7F	2018	0	C	TS	1
49	315	5	7F	2018	0	C	TS	1
50	315	5	7F	2018	0	C	TS	1

51	315	5	7F	2018	0	C	TS	1
52	315	5	7F	2018	0	C	TS	1
53	315	5	7F	2018	0	C	TS	1
54	315	5	7F	2018	1	C	PT	1
55	315	5	7F	2018	1	C	PT	1
56	315	5	7F	2018	1	C	PT	1
57	315	5	7F	2018	1	C	PT	1
58	315	5	7F	2018	1	C	PT	1
59	315	5	7F	2018	1	C	PT	1
60	315	5	7F	2018	1	C	PT	1
61	315	5	7F	2018	1	C	PT	1
62	315	5	7F	2018	1	C	PT	1
63	315	5	7F	2018	0	C	PT	1
64	315	5	7F	2018	0	C	PT	1
65	315	5	7F	2018	0	C	PT	1
66	315	5	7F	2018	0	C	PT	1
67	315	5	7F	2018	0	C	PT	1
68	315	5	7F	2018	0	C	PT	1
69	315	5	7F	2018	0	C	PT	1
70	315	5	7F	2018	0	C	PT	1
71	315	5	7F	2018	0	C	PT	1
72	315	5	7F	2018	0	C	PT	1
73	315	5	7F	2018	0	C	PT	1
74	315	5	7F	2018	0	C	PT	1
75	315	5	7F	2018	0	C	PT	1
76	315	5	7F	2018	0	C	PT	1
77	315	5	7F	2018	0	C	PT	1
78	315	5	7F	2018	0	C	PT	1
79	315	5	7F	2018	0	C	PT	1
80	315	5	7F	2018	0	C	PT	1
81	315	5	7F	2018	0	C	PT	1
82	315	5	7F	2018	0	C	PT	1
83	315	5	7F	2018	0	C	PT	1
84	315	5	7F	2018	0	C	PT	1
85	315	5	7F	2018	0	C	PT	1
86	315	5	7F	2018	0	C	PT	1
87	315	5	7F	2018	0	C	PT	1
88	315	5	7F	2018	0	C	PT	1
89	315	5	7F	2018	0	C	PT	1
90	315	5	7F	2018	0	C	PT	1
91	315	5	7F	2018	0	C	PT	1
92	315	5	7F	2018	0	C	PT	1
93	315	5	7F	2018	0	C	PT	1
94	315	5	7F	2018	0	C	PT	1
95	315	5	7F	2018	0	C	PT	1
96	315	5	7F	2018	0	C	PT	1

97	315	5	7F	2018	0	C	PT	1
98	315	5	7F	2018	0	C	PT	1
99	315	5	7F	2018	0	C	PT	1
100	315	5	7F	2018	0	C	PT	1
101	315	5	7F	2018	0	C	PT	1
102	315	5	7F	2018	0	C	PT	1
103	315	5	7F	2018	0	C	PT	1
104	315	5	7F	2018	0	C	PT	1
105	315	5	7F	2018	0	C	PT	1
106	315	5	7F	2018	0	C	PT	1
107	315	5	7F	2018	0	C	PT	1
108	315	5	7F	2018	0	C	PT	1
109	315	5	7F	2018	0	C	PT	1
110	315	5	7F	2018	0	C	PT	1
111	315	5	7F	2018	0	C	PT	1
112	315	5	7F	2018	0	C	PT	1
113	315	5	7F	2018	0	C	PT	1
114	315	5	7F	2018	0	C	PT	1
115	315	5	7F	2018	0	C	PT	1
116	315	5	7F	2018	0	C	PT	1
117	315	5	7F	2018	0	C	PT	1
118	315	5	7F	2018	0	C	PT	1
119	315	5	7F	2018	0	C	PT	1
120	315	5	7F	2018	0	C	ANF	36
121	315	5	7F	2018	1	C	ANF	1
122	315	5	7F	2018	7	C	ANF	1
123	315	5	7F	2018	0	C	ANF	22
124	315	5	7F	2018	0	C	CM	62
125	315	5	7F	2018	1	C	MORTERO	1
126	315	5	7F	2018		??	??	
127	315	5	7F	2018	1	C	CM	1
128	315	5	7F	2018	1	C	CM	1
129	315	5	7F	2018	1	C	CM	1
130	315	5	7F	2018	1	C	CM	1
131	315	5	7F	2018	1	C	CM	1
132	315	5	7F	2018	4	C	CM	1
133	315	5	7F	2018	4	C	CM	1
134	315	5	7F	2018	4	C	CM	1
135	315	5	7F	2018	7	C	CM	1
136	315	5	7F	2018	7	C	CM	1
137	315	5	7F	2018	7	C	CM	1
138	315	5	7F	2018	1	C	CGC	1
139	315	5	7F	2018	1	C	CGC	1
140	315	5	7F	2018	1	C	CGC	1
141	315	5	7F	2018		-	-	
142	315	5	7F	2018		-	-	

143	315	5	7F	2018		-	-	
144	315	5	7F	2018	0	C	CGC	38
145	315	5	7F	2018		CO		1
146	315	5	7F	2018		VD	VI	4
147	315	5	7F	2018		F	FVMA	1
148	315	5	7F	2018		L	LPL	8
149	315	5	7F	2018		CO	PAVIMENT O	1
150	315	5	7F	2018		CO	ENL	6
151	315	5	7F	2018		F	FA	112
152	315	5	7F	2018		CO	TE	2
153	315	5	7F	2018	1	C	CM	1
154	315	5	7F	2018		C	RP	6
155	315	5	7F	2018	0	C	CM	41
156	315	5	7F	2018	1	C	TS	1
157	315	5	7F	2018	1	C	TS	1
158	315	5	7F	2018	1	C	TS	1
159	315	5	7F	2018	0	C	TS	1
160	315	5	7F	2018	0	C	TS	1
161	315	5	7F	2018	0	C	TS	1
162	315	5	7F	2018	0	C	TS	1
163	315	5	7F	2018	0	C	TS	1
164	315	5	7F	2018	0	C	TS	1
165	315	5	7F	2018	0	C	TS	1
166	315	5	7F	2018	0	C	TS	1
167	315	5	7F	2018	0	C	TS	1
168	315	5	7F	2018	0	C	TS	1
169	315	5	7F	2018	1	C	CM	1
170	315	5	7F	2018	1	C	CM	1
171	315	5	7F	2018	1	C	CC	1
172	315	5	7F	2018		F	FA	4
173	315	5	7F	2018	0	C	ANF	8
174	315	5	7F	2018		CO	PILAE	2
175	315	5	7F	2018		CO	ENL	3
176	315	5	7F	2018	1	C	CM	1
177	315	5	7F	2018	1	C	CM	1
178	315	5	7F	2018	1	C	CM	1
179	315	5	7F	2018	1	C	CM	1
1	316	5	7F	2018	0	C	CM	17
2	316	5	7F	2018	4	C	CM	1
3	316	5	7F	2018	1	C	CM	1
4	316	5	7F	2018	1	C	CM	1
5	316	5	7F	2018	0	C	CC	4
6	316	5	7F	2018	1	C	CC	1
7	316	5	7F	2018	1	C	CC	1
8	316	5	7F	2018	1	C	CC	1
9	316	5	7F	2018	0	C	ANF	6

10	316	5	7F	2018	0	C	PT	1
11	316	5	7F	2018	0	C	PT	1
12	316	5	7F	2018	0	C	PT	1
13	316	5	7F	2018	4	C	TS	1
14	316	5	7F	2018	0	C	TS	1
15	316	5	7F	2018	1	C	LUC	1
16	316	5	7F	2018		CO	EST	3
17	316	5	7F	2018		F	FA	13
1	318	12	7F	2018		D	DLP	1
2	318	12	7F	2018	0	C	PT	1
3	318	12	7F	2018	0	C	PT	1
4	318	12	7F	2018	1	C	PT	1
5	318	12	7F	2018	1	C	CC	1
6	318	12	7F	2018	0	C	CC	2
7	318	12	7F	2018	0	C	CCA	1
8	318	12	7F	2018	0	C	CM	6
1	319	30	7F	2018	4	C	CM	1
2	319	30	7F	2018	0	C	CM	15
3	319	30	7F	2018	4	C	TS	1
4	319	30	7F	2018	4	C	TS	1
5	319	30	7F	2018	4	C	TS	1
6	319	30	7F	2018	4	C	TS	1
7	319	30	7F	2018	0	C	TS	1
8	319	30	7F	2018	1	C	CCA	1
9	319	30	7F	2018	1	C	CCA	1
10	319	30	7F	2018	4	C	CCA	1
11	319	30	7F	2018	4	C	CCA	1
12	319	30	7F	2018	4	C	CCA	1
13	319	30	7F	2018	4	C	CCA	1
14	319	30	7F	2018	4	C	CCA	1
15	319	30	7F	2018	0	C	CCA	1
16	319	30	7F	2018	1	C	CM	1
17	319	30	7F	2018	4	C	CM	1
18	319	30	7F	2018	0	C	CM	1
19	319	30	7F	2018	0	C	PT	1
20	319	30	7F	2018	4	C	CC	1
21	319	30	7F	2018		L	LBR	1
22	319	30	7F	2018		F	FA	2
1	325	30	7F	2018	0	C	BN	1
2	325	30	7F	2018	1	C	TS	1
3	325	30	7F	2018	1	C	TS	1
4	325	30	7F	2018	1	C	TS	1
5	325	30	7F	2018	4	C	TS	1
6	325	30	7F	2018	0	C	TS	1
7	325	30	7F	2018	1	C	ANF	1
8	325	30	7F	2018	1	C	ANF	1

9	325	30	7F	2018	1	C	ANF	1
10	325	30	7F	2018	4	C	ANF	1
11	325	30	7F	2018	4	C	ANF	1
12	325	30	7F	2018	0	C	ANF	11
13	325	30	7F	2018	1	C	CM	1
14	325	30	7F	2018	1	C	CM	1
15	325	30	7F	2018	1	C	CM	1
16	325	30	7F	2018	1	C	CM	1
17	325	30	7F	2018	1	C	CM	1
18	325	30	7F	2018	7	C	CM	1
19	325	30	7F	2018	4	C	CM	1
20	325	30	7F	2018	4	C	CM	1
21	325	30	7F	2018	4	C	CM	1
22	325	30	7F	2018	0	C	CM	100
23	325	30	7F	2018	1	C	CM	31
24	325	30	7F	2018	0	C	PT	1
25	325	30	7F	2018	0	C	PT	1
26	325	30	7F	2018	0	C	PT	1
27	325	30	7F	2018	0	C	PT	1
28	325	30	7F	2018	0	C	PT	1
29	325	30	7F	2018	0	C	PT	1
30	325	30	7F	2018	0	C	PT	1
31	325	30	7F	2018	0	C	PT	1
32	325	30	7F	2018	0	C	PT	1
33	325	30	7F	2018	0	C	PT	1
34	325	30	7F	2018	0	C	PT	1
35	325	30	7F	2018	0	C	PT	1
36	325	30	7F	2018	0	C	PT	1
37	325	30	7F	2018	0	C	PT	1
38	325	30	7F	2018	0	C	PT	1
39	325	30	7F	2018	1	C	CCA	1
40	325	30	7F	2018	1	C	CCA	1
41	325	30	7F	2018	1	C	CCA	1
42	325	30	7F	2018	1	C	CCA	1
43	325	30	7F	2018	1	C	CCA	1
44	325	30	7F	2018	4	C	CCA	1
45	325	30	7F	2018	4	C	CCA	1
46	325	30	7F	2018	4	C	CCA	1
47	325	30	7F	2018	4	C	CCA	1
48	325	30	7F	2018	0	C	CCA	1
49	325	30	7F	2018	0	C	CC	5
50	325	30	7F	2018	4	C	TARD	1
51	325	30	7F	2018	4	C	TARD	1
52	325	30	7F	2018		CO	MARMOL	1
53	325	30	7F	2018		CO	MARMOL	1
54	325	30	7F	2018		CO	MARMOL	1

55	325	30	7F	2018		CO	MARMOL	1
56	325	30	7F	2018		CO	MARMOL	1
57	325	30	7F	2018		F	FA	33
58	325	30	7F	2018		F	FVMA	5
2	328	11	7F	2018	0	C	ANF	4
3	328	11	7F	2018	1	C	TS	2
4	328	11	7F	2018	4	C	TS	1
5	328	11	7F	2018	4	C	TS	1
6	328	11	7F	2018	4	C	TS	1
7	328	11	7F	2018	0	C	TS	1
8	328	11	7F	2018	0	C	TS	1
9	328	11	7F	2018	1	C	CCA	1
10	328	11	7F	2018	0	C	CCA	1
11	328	11	7F	2018	0	C	LUC	1
12	328	11	7F	2018	0	C	CM	5
13	328	11	7F	2018	0	C	CM	2
1	333	30	7F	2018	4	C	ANF	1
2	333	30	7F	2018	4	C	ANF	1
3	333	30	7F	2018	0	C	ANF	4
4	333	30	7F	2018	0	C	CM	4
5	333	30	7F	2018	0	C	PT	1
6	333	30	7F	2018	0	C	PT	1
7	333	30	7F	2018	0	C	PT	1
8	333	30	7F	2018	7	C	CC	2
9	333	30	7F	2018	4	C	CC	1
10	333	30	7F	2018	1	C	CC	1
11	333	30	7F	2018	1	C	TARD	1
12	333	30	7F	2018		CO	EST	3
13	333	30	7F	2018		F	FA	3
1	335	30	7F	2018	1	C	TS	1
2	335	30	7F	2018	1	C	TS	1
3	335	30	7F	2018	0	C	CCA	1
4	335	30	7F	2018	0	C	PT	1
5	335	30	7F	2018	1	C	CM	1
6	335	30	7F	2018	0	C	CM	10
7	335	30	7F	2018	0	C	ANF	1
8	335	30	7F	2018		T	TLA	2
9	335	30	7F	2018		L	LHI	3
10	335	30	7F	2018		MU	CA	1
11	335	30	7F	2018		F	FA	1
12	335	30	7F	2018		F	FVMA	1
1	336	5	7F	2018	0	C	PT	1
2	336	5	7F	2018	4	C	CM	2
3	336	5	7F	2018	7	C	CM	1
4	336	5	7F	2018	1	C	CM	1
5	336	5	7F	2018	0	C	CM	9

6	336	5	7F	2018	0	C	CM	1
7	336	5	7F	2018		F	FVMA	1
8	336	5	7F	2018		CO	PAVIMENT O	1
9	336	5	7F	2018		F	FA	4
10	336	5	7F	2018	1	C	CC	1
11	336	5	7F	2018	0	C	CC	2
12	336	5	7F	2018	0	C	ANF	10
1	341	30	7F	2018	0	C	BN	1
2	341	30	7F	2018		CO	CLCOCTILE	1
3	341	30	7F	2018	0	C	ANF	5
4	341	30	7F	2018	0	C	PT	1
5	341	30	7F	2018	0	C	PT	1
6	341	30	7F	2018	0	C	CM	19
7	341	30	7F	2018	0	C	CC	4
8	341	30	7F	2018	4	C	CM	1
9	341	30	7F	2018		L		1
10	341	30	7F	2018		F	FA	1
11	341	30	7F	2018	0	VD	VI	1
12	341	30	7F	2018	7	VD	VI	1
13	341	30	7F	2018		F	FA	3
1	344	24	7F	2018	1	C	ANF	1
2	344	24	7F	2018	1	C	ANF	1
3	344	24	7F	2018	4	C	ANF	1
4	344	24	7F	2018	0	C	ANF	16
5	344	24	7F	2018	1	C	CM	1
6	344	24	7F	2018	1	C	CM	1
7	344	24	7F	2018	1	C	CM	1
8	344	24	7F	2018	1	C	CM	1
9	344	24	7F	2018	1	C	CM	1
10	344	24	7F	2018	1	C	CM	1
11	344	24	7F	2018	1	C	CM	1
12	344	24	7F	2018	7	C	CM	1
13	344	24	7F	2018	7	C	CM	1
14	344	24	7F	2018	7	C	CM	1
15	344	24	7F	2018	0	C	CM	40
16	344	24	7F	2018	7	C	CM	1
17	344	24	7F	2018	1	C	CC	1
18	344	24	7F	2018	1	C	CC	1
19	344	24	7F	2018	0	C	CC	7
20	344	24	7F	2018	7	C	LUC	1
21	344	24	7F	2018	1	C	TS	1
22	344	24	7F	2018	1	C	TS	1
23	344	24	7F	2018	0	C	TS	1
24	344	24	7F	2018	0	C	TS	1
25	344	24	7F	2018	0	C	CCA	1
26	344	24	7F	2018	0	C	CCA	1

27	344	24	7F	2018	1	C	MORTERO	2
28	344	24	7F	2018	4	C	TARD	2
29	344	24	7F	2018		D	ESU	1
30	344	24	7F	2018		CO	TE	4
31	344	24	7F	2018		L	LBR	1
32	344	24	7F	2018		F	FA	35
33	344	24	7F	2018	0	VD	VI	27
34	344	24	7F	2018	1	VD	VI	1
35	344	24	7F	2018	1	VD	VI	1
36	344	24	7F	2018	1	VD	VI	1
37	344	24	7F	2018	1	VD	VI	1
38	344	24	7F	2018	1	VD	VI	1
39	344	24	7F	2018	1	VD	VI	1
40	344	24	7F	2018	1	VD	VI	1
41	344	24	7F	2018	1	VD	VI	1
42	344	24	7F	2018		CO	EST	5
43	344	24	7F	2018		CO	EST	1
44	344	24	7F	2018		CO	EST	37
45	344	24	7F	2018		F	FVMA	1
1	346	24	7F	2018	1	C	DO	1
2	346	24	7F	2018	0	C	DO	1
3	346	24	7F	2018	0	C	ANF	79
4	346	24	7F	2018	1	C	ANF	1
5	346	24	7F	2018	1	C	ANF	1
6	346	24	7F	2018	1	C	ANF	1
7	346	24	7F	2018	7	C	ANF	1
8	346	24	7F	2018	7	C	ANF	1
9	346	24	7F	2018	7	C	ANF	1
10	346	24	7F	2018	7	C	ANF	1
11	346	24	7F	2018	0	C	CM	48
12	346	24	7F	2018	4	C	LUC	1
13	346	24	7F	2018	4	C	LUC	1
14	346	24	7F	2018	4	C	LUC	1
15	346	24	7F	2018	4	C	LUC	1
16	346	24	7F	2018	1	C	LUC	1
17	346	24	7F	2018	1	C	LUC	1
18	346	24	7F	2018	1	C	LUC	1
19	346	24	7F	2018		C	LUC	1
20	346	24	7F	2018	7	C	LUC	1
21	346	24	7F	2018	4	C	LUC	1
22	346	24	7F	2018	7	C	CM	1
23	346	24	7F	2018	7	C	CM	1
24	346	24	7F	2018	7	C	CM	1
25	346	24	7F	2018	7	C	CM	1
26	346	24	7F	2018	7	C	CM	1
27	346	24	7F	2018	7	C	CM	1

28	346	24	7F	2018	7	C	CM	1
29	346	24	7F	2018	7	C	CM	1
30	346	24	7F	2018	7	C	CM	1
31	346	24	7F	2018	1	C	TARD	3
32	346	24	7F	2018	4	C	TARD	4
33	346	24	7F	2018	4	C	TARD	1
34	346	24	7F	2018	4	C	TARD	1
35	346	24	7F	2018	4	C	TARD	1
36	346	24	7F	2018	4	C	TARD	1
37	346	24	7F	2018	4	C	TARD	1
38	346	24	7F	2018	1	C	TARD	1
39	346	24	7F	2018	0	C	TARD	1
40	346	24	7F	2018	0	C	TARD	1
41	346	24	7F	2018	0	C	TARD	1
42	346	24	7F	2018	0	C	TARD	1
43	346	24	7F	2018	0	C	TARD	1
44	346	24	7F	2018	0	C	TARD	1
45	346	24	7F	2018	2	C	CM	1
46	346	24	7F	2018	1	C	CM	1
47	346	24	7F	2018	1	C	CM	1
48	346	24	7F	2018	1	C	CM	1
49	346	24	7F	2018	1	C	CM	1
50	346	24	7F	2018	1	C	CM	1
51	346	24	7F	2018	1	C	CM	1
52	346	24	7F	2018	1	C	CM	1
53	346	24	7F	2018	1	C	CM	1
54	346	24	7F	2018	1	C	CM	1
55	346	24	7F	2018	1	C	CM	1
56	346	24	7F	2018	1	C	CM	1
57	346	24	7F	2018	1	C	CM	1
58	346	24	7F	2018	1	C	CM	1
59	346	24	7F	2018	4	C	CM	1
60	346	24	7F	2018	4	C	CM	1
61	346	24	7F	2018	4	C	CM	1
62	346	24	7F	2018	4	C	CM	1
63	346	24	7F	2018	4	C	CM	1
64	346	24	7F	2018	4	C	CM	1
65	346	24	7F	2018	4	C	CM	1
66	346	24	7F	2018	4	C	CM	1
67	346	24	7F	2018	4	C	CM	1
68	346	24	7F	2018	4	C	CM	1
69	346	24	7F	2018	4	C	CM	1
70	346	24	7F	2018	1	C	CC	1
71	346	24	7F	2018	1	C	CC	1
72	346	24	7F	2018	1	C	CC	1
73	346	24	7F	2018	1	C	CC	1

74	346	24	7F	2018	1	C	CC	1
75	346	24	7F	2018	1	C	CC	1
76	346	24	7F	2018	1	C	CC	1
77	346	24	7F	2018	1	C	CC	1
78	346	24	7F	2018	7	C	CC	1
79	346	24	7F	2018	0	C	CC	20
80	346	24	7F	2018	4	C	CC	1
81	346	24	7F	2018	0	C	PT	1
82	346	24	7F	2018	0	C	PT	1
83	346	24	7F	2018	0	C	PT	1
84	346	24	7F	2018	0	C	PT	1
85	346	24	7F	2018	1	C	CCA	1
86	346	24	7F	2018	1	C	CCA	1
87	346	24	7F	2018	1	C	CCA	1
88	346	24	7F	2018	1	C	CCA	1
89	346	24	7F	2018	1	C	CCA	1
90	346	24	7F	2018	1	C	CCA	1
91	346	24	7F	2018	1	C	CCA	1
92	346	24	7F	2018	1	C	CCA	1
93	346	24	7F	2018	1	C	CCA	1
94	346	24	7F	2018	1	C	CCA	1
95	346	24	7F	2018	0	C	CCA	5
96	346	24	7F	2018	4	C	CCA	1
97	346	24	7F	2018	4	C	CCA	1
98	346	24	7F	2018	4	C	CCA	1
99	346	24	7F	2018	4	C	CCA	1
100	346	24	7F	2018	4	C	CCA	1
101	346	24	7F	2018	4	C	CCA	1
102	346	24	7F	2018	4	C	CCA	1
103	346	24	7F	2018	1	C	TS	1
104	346	24	7F	2018	1	C	TS	1
105	346	24	7F	2018	1	C	TS	1
106	346	24	7F	2018	1	C	TS	1
107	346	24	7F	2018	1	C	TS	1
108	346	24	7F	2018	0	C	TS	1
109	346	24	7F	2018	0	C	TS	1
110	346	24	7F	2018	0	C	TS	1
111	346	24	7F	2018	0	C	TS	1
112	346	24	7F	2018	0	C	TS	1
113	346	24	7F	2018	0	C	TS	1
114	346	24	7F	2018	0	C	TS	1
115	346	24	7F	2018	4	C	TS	1
116	346	24	7F	2018	4	C	TS	1
117	346	24	7F	2018	4	C	TS	1
118	346	24	7F	2018		VD	VI	15
119	346	24	7F	2018		L	MON	1

120	346	24	7F	2018		F	FVMA	23
121	346	24	7F	2018		F	FA	1
122	346	24	7F	2018		CO	EST	8
123	346	24	7F	2018		CO	EST	1
124	346	24	7F	2018		CO	TE	2
125	346	24	7F	2018		D		1
126	346	24	7F	2018	1	C	TARD	1
127	346	24	7F	2018	1	C	TARD	1
128	346	24	7F	2018	0	C	TARD	3
129	346	24	7F	2018	4	C	TARD	1
130	346	24	7F	2018	1	C	CCA	1
131	346	24	7F	2018	1	C	CCA	1
132	346	24	7F	2018	0	C	CCA	2
133	346	24	7F	2018	4	C	CCA	1
1	348	11	7F	2018	1	C	TS	1
2	348	11	7F	2018	4	C	TS	1
3	348	11	7F	2018	1	C	PF	2
4	348	11	7F	2018	0	C	PF	2
5	348	11	7F	2018	7	C	ANF	1
6	348	11	7F	2018	0	C	ANF	1
7	348	11	7F	2018	0	C	PT	10
8	348	11	7F	2018	1	C	CM	1
9	348	11	7F	2018	1	C	CM	1
10	348	11	7F	2018	1	C	CM	1
11	348	11	7F	2018	1	C	CM	1
12	348	11	7F	2018	1	C	CM	1
13	348	11	7F	2018	7	C	CM	1
14	348	11	7F	2018	0	C	CM	28
15	348	11	7F	2018	0	C	CM	2
16	348	11	7F	2018	4	C	CCA	1
17	348	11	7F	2018	4	C	CCA	1
18	348	11	7F	2018	4	C	CCA	1
19	348	11	7F	2018	7	C	CCA	1
20	348	11	7F	2018	8	C	CCA	1
21	348	11	7F	2018	0	C	CC	9
22	348	11	7F	2018	1	C	CM	2
23	348	11	7F	2018		CO	MARMOL	1
24	348	11	7F	2018		CO	EST	1
25	348	11	7F	2018		T	TLA	1
26	348	11	7F	2018		F	FA	12
27	348	11	7F	2018		VD	VI	4
28	348	11	7F	2018		L	LHI	1
1	351	29	7F	2018	0	C	TS	1
2	351	29	7F	2018	0	C	TS	1
3	351	29	7F	2018	7	C	CM	1
4	351	29	7F	2018	1	C	CM	1

5	351	29	7F	2018	1	C	CM	1
6	351	29	7F	2018	4	C	CM	1
7	351	29	7F	2018	0	C	CM	10
8	351	29	7F	2018	0	C	CGC	2
9	351	29	7F	2018	0	C	ANF	4
10	351	29	7F	2018		L	LBR	1
11	351	29	7F	2018		L	LHI	7
12	351	29	7F	2018		F	FA	6
13	351	29	7F	2018		F	FVMA	2
1	375	29	7F	2018	0		TS	1
2	375	29	7F	2018	0		CM	2
3	375	29	7F	2018	0		ANF	2
4	375	29	7F	2018		F	FA	2
1	352	5	7F	2018	0	C	PF	1
2	352	5	7F	2018	0	C	ANF	5
3	352	5	7F	2018		CO		2
4	352	5	7F	2018	0	C	PT	1
5	352	5	7F	2018	0	C	PT	1
6	352	5	7F	2018	0	C	PT	1
7	352	5	7F	2018	0	C	CM	19
8	352	5	7F	2018	0	C	CC	2
9	352	5	7F	2018		CO	EST	1
10	352	5	7F	2018		F	FA	1
1	353	5	7F	2018	1	C	BN	1
2	353	5	7F	2018	0	C	BN	1
3	353	5	7F	2018	0	C	PF	4
4	353	5	7F	2018	1	C	PF	1
5	353	5	7F	2018	0	C	PF	3
6	353	5	7F	2018	0	C	LUC	2
7	353	5	7F	2018	1	C	PT	1
8	353	5	7F	2018	1	C	PT	1
9	353	5	7F	2018	1	C	PT	1
10	353	5	7F	2018	1	C	PT	1
11	353	5	7F	2018	1	C	PT	1
12	353	5	7F	2018	1	C	PT	1
13	353	5	7F	2018	1	C	PT	1
14	353	5	7F	2018	4	C	PT	1
15	353	5	7F	2018	4	C	PT	1
16	353	5	7F	2018	7	C	PT	1
17	353	5	7F	2018	0	C	PT	1
18	353	5	7F	2018	0	C	PT	1
19	353	5	7F	2018	0	C	PT	1
20	353	5	7F	2018	0	C	PT	1
21	353	5	7F	2018	0	C	PT	1
22	353	5	7F	2018	0	C	PT	1
23	353	5	7F	2018	0	C	PT	1

24	353	5	7F	2018	0	C	PT	1
25	353	5	7F	2018	0	C	PT	1
26	353	5	7F	2018	0	C	PT	1
27	353	5	7F	2018	0	C	PT	1
28	353	5	7F	2018	0	C	PT	1
29	353	5	7F	2018	0	C	PT	1
30	353	5	7F	2018	0	C	PT	1
31	353	5	7F	2018	0	C	PT	1
32	353	5	7F	2018	0	C	PT	1
33	353	5	7F	2018	0	C	PT	1
34	353	5	7F	2018	0	C	PT	1
35	353	5	7F	2018	0	C	PT	1
36	353	5	7F	2018	0	C	PT	1
37	353	5	7F	2018	0	C	PT	1
38	353	5	7F	2018	0	C	PT	1
39	353	5	7F	2018	0	C	PT	1
40	353	5	7F	2018	0	C	PT	1
41	353	5	7F	2018	0	C	PT	1
42	353	5	7F	2018	0	C	PT	1
43	353	5	7F	2018	0	C	PT	1
44	353	5	7F	2018	0	C	PT	1
45	353	5	7F	2018	0	C	PT	1
46	353	5	7F	2018	0	C	PT	1
47	353	5	7F	2018	0	C	PT	1
48	353	5	7F	2018	0	C	PT	1
49	353	5	7F	2018	0	C	PT	1
50	353	5	7F	2018	0	C	PT	1
51	353	5	7F	2018	0	C	PT	1
52	353	5	7F	2018	0	C	PT	1
53	353	5	7F	2018	0	C	PT	1
54	353	5	7F	2018	0	C	PT	1
55	353	5	7F	2018	0	C	PT	1
56	353	5	7F	2018	0	C	PT	1
57	353	5	7F	2018	0	C	PT	1
58	353	5	7F	2018	1	C	CM	1
59	353	5	7F	2018	4	C	MORTERO	2
60	353	5	7F	2018	4	C	RP	3
61	353	5	7F	2018	4	C	RP	1
62	353	5	7F	2018	4	C	RP	1
63	353	5	7F	2018	1	C	CGC	1
64	353	5	7F	2018	1	C	CGC	1
65	353	5	7F	2018	1	C	CGC	1
66	353	5	7F	2018	0	C	CGC	26
67	353	5	7F	2018	0	C	CM	36
68	353	5	7F	2018	4	C	CM	1
69	353	5	7F	2018	4	C	CM	1

70	353	5	7F	2018	4	C	CM	1
71	353	5	7F	2018	4	C	CM	1
72	353	5	7F	2018	4	C	CM	1
73	353	5	7F	2018	4	C	CM	1
74	353	5	7F	2018	4	C	CM	1
75	353	5	7F	2018	4	C	CM	1
76	353	5	7F	2018	4	C	CM	1
77	353	5	7F	2018	0	C	CM	1
78	353	5	7F	2018	7	C	CM	1
79	353	5	7F	2018	1	C	CM	1
80	353	5	7F	2018	1	C	CM	1
81	353	5	7F	2018	1	C	CM	1
82	353	5	7F	2018	1	C	CM	1
83	353	5	7F	2018	1	C	CM	1
84	353	5	7F	2018	1	C	CM	1
85	353	5	7F	2018	1	C	CM	1
86	353	5	7F	2018	1	C	CM	1
87	353	5	7F	2018	1	C	CM	1
88	353	5	7F	2018	1	C	CM	1
89	353	5	7F	2018	7	C	ANF	1
90	353	5	7F	2018	0	C	ANF	5
91	353	5	7F	2018	1	C	ANF	1
92	353	5	7F	2018	7	C	ANF	1
93	353	5	7F	2018	0	C	ANF	23
94	353	5	7F	2018		L	LPL	1
95	353	5	7F	2018		F	FA	12
96	353	5	7F	2018		CO	ENL	3
97	353	5	7F	2018		F	FVMA	1
98	353	5	7F	2018		MU	CA	1
99	353	5	7F	2018	1	C	TS	1
100	353	5	7F	2018	4	C	TS	1
1	354	5	7F	2018	1	C	ANF	1
2	354	5	7F	2018	1	C	ANF	1
3	354	5	7F	2018	0	C	ANF	7
4	354	5	7F	2018	0	C	BN	1
5	354	5	7F	2018	1	C	TS	1
6	354	5	7F	2018	0	C	TS	1
7	354	5	7F	2018	0	C	TS	1
8	354	5	7F	2018	0	C	RP	1
9	354	5	7F	2018	1	C	LUC	1
10	354	5	7F	2018	1	C	PF	1
11	354	5	7F	2018	0	C	PF	1
12	354	5	7F	2018	0	C	PF	1
13	354	5	7F	2018	0	C	PF	1
14	354	5	7F	2018	0	C	PT	1
15	354	5	7F	2018	0	C	PT	1

16	354	5	7F	2018	0	C	PT	1
17	354	5	7F	2018	1	C	CM	1
18	354	5	7F	2018	1	C	CM	1
19	354	5	7F	2018	1	C	CM	1
20	354	5	7F	2018	1	C	CM	1
21	354	5	7F	2018	1	C	CM	1
22	354	5	7F	2018	1	C	CM	1
23	354	5	7F	2018	0	C	CM	42
24	354	5	7F	2018	1	C	CC	1
25	354	5	7F	2018	0	C	CC	3
26	354	5	7F	2018	0	C	TARD	2
27	354	5	7F	2018		T	TTE	1
28	354	5	7F	2018		CO	ENL	4
29	354	5	7F	2018		F	FA	18
30	354	5	7F	2018		F	FVMA	6
1	355	24	7F	2018	1	C	ANF	1
2	355	24	7F	2018	7	C	ANF	1
3	355	24	7F	2018	7	C	ANF	1
4	355	24	7F	2018	4	C	ANF	1
5	355	24	7F	2018	0	C	ANF	2
6	355	24	7F	2018	1	C	CM	1
7	355	24	7F	2018	4	C	CM	1
8	355	24	7F	2018	0	C	CM	10
9	355	24	7F	2018	0	C	PT	1
10	355	24	7F	2018	1	C	CC	1
11	355	24	7F	2018	1	C	TS	1
12	355	24	7F	2018	1	C	TS	1
13	355	24	7F	2018	4	C	TS	1
14	355	24	7F	2018	4	C	TS	1
15	355	24	7F	2018	0	C	TS	1
16	355	24	7F	2018	0	C	TS	1
17	355	24	7F	2018	0	C	TS	1
18	355	24	7F	2018	1	C	CCA	1
19	355	24	7F	2018	1	C	CCA	1
20	355	24	7F	2018	0	C	CCA	1
21	355	24	7F	2018		F	FA	5
22	355	24	7F	2018	0	C	TARD	3
2	356	29	7F	2018	0	C	ANF	20
3	356	29	7F	2018	7	C	ANF	1
4	356	29	7F	2018	1	C	CM	1
5	356	29	7F	2018	1	C	CM	1
6	356	29	7F	2018	1	C	CM	1
7	356	29	7F	2018	1	C	CM	1
8	356	29	7F	2018	1	C	CM	1
9	356	29	7F	2018	7	C	ANF	1
10	356	29	7F	2018	0	C	CM	18

11	356	29	7F	2018	4	C	CM	1
12	356	29	7F	2018	7	C	PF	1
13	356	29	7F	2018	0	C	CC	3
14	356	29	7F	2018	1	C	CC	1
15	356	29	7F	2018	1	C	CCA	1
16	356	29	7F	2018	1	C	CCA	1
17	356	29	7F	2018	4	C	CCA	1
18	356	29	7F	2018	4	C	CCA	1
19	356	29	7F	2018	4	C	TS	1
20	356	29	7F	2018		C	CLCOCTILE	2
21	356	29	7F	2018	1	C	TARD	1
22	356	29	7F	2018	0	C	TARD	1
23	356	29	7F	2018		CO	TE	2
24	356	29	7F	2018		D		2
25	356	29	7F	2018		L	LHI	1
26	356	29	7F	2018		CO	EST	1
27	356	29	7F	2018		CO	EST	3
28	356	29	7F	2018		CO	EST	1
29	356	29	7F	2018		CO	EST	2
30	356	29	7F	2018		F	FA	43
31	356	29	7F	2018		VD	VI	1
32	356	29	7F	2018		CO	TE	1
33	356	29	7F	2018		D		1
34	356	29	7F	2018	0	C	PF	1
35	356	29	7F	2018	7	C	ANF	1
36	356	29	7F	2018	7	C	ANF	1
37	356	29	7F	2018	7	C	CM	1
38	356	29	7F	2018	1	C	CM	1
39	356	29	7F	2018	4	C	CM	1
40	356	29	7F	2018		L		1
1	359	5	7F	2018	0	C	ANF	2
2	359	5	7F	2018	0	C	PF	2
3	359	5	7F	2018	0	C	CM	2
1	361	11	7F	2018	0	C	ANF	1
2	361	11	7F	2018	4	C	ANF	1
3	361	11	7F	2018	4	C	ANF	1
4	361	11	7F	2018	1	C	CM	1
5	361	11	7F	2018	1	C	CM	1
6	361	11	7F	2018	1	C	CM	1
7	361	11	7F	2018	1	C	CM	1
8	361	11	7F	2018	1	C	CM	1
9	361	11	7F	2018	1	C	CM	1
10	361	11	7F	2018	7	C	CM	1
11	361	11	7F	2018	7	C	CM	1
12	361	11	7F	2018	7	C	CM	1
13	361	11	7F	2018	7	C	CM	1

14	361	11	7F	2018	7	C	CM	1
15	361	11	7F	2018	7	C	CM	1
16	361	11	7F	2018	4	C	CM	1
17	361	11	7F	2018	4	C	CM	1
18	361	11	7F	2018	0	C	CM	1
19	361	11	7F	2018	1	C	CC	1
20	361	11	7F	2018	1	C	CC	1
21	361	11	7F	2018	1	C	CC	1
22	361	11	7F	2018	1	C	CC	1
23	361	11	7F	2018	1	C	CC	1
24	361	11	7F	2018	1	C	CC	1
25	361	11	7F	2018	1	C	CC	1
26	361	11	7F	2018	1	C	CC	1
27	361	11	7F	2018	7	C	CC	1
28	361	11	7F	2018	7	C	CC	1
29	361	11	7F	2018	7	C	CC	1
30	361	11	7F	2018	7	C	CC	1
31	361	11	7F	2018	8	C	CC	1
32	361	11	7F	2018	0	C	CC	1
33	361	11	7F	2018	1	C	TS	1
34	361	11	7F	2018	1	C	TS	1
35	361	11	7F	2018	1	C	TS	1
36	361	11	7F	2018	1	C	TS	1
37	361	11	7F	2018	1	C	TS	1
38	361	11	7F	2018	1	C	TS	1
39	361	11	7F	2018	4	C	TS	1
40	361	11	7F	2018	0	C	TS	29
41	361	11	7F	2018	1	C	PT	1
42	361	11	7F	2018	0	C	PT	1
43	361	11	7F	2018	0	C	PT	1
44	361	11	7F	2018	1	C	LUC	1
45	361	11	7F	2018	1	C	LUC	1
46	361	11	7F	2018	1	C	PF	1
47	361	11	7F	2018	0	C	PF	1
48	361	11	7F	2018	1	C	RP	1
49	361	11	7F	2018	0	C	RP	2
50	361	11	7F	2018		CO	TE	4
51	361	11	7F	2018	1	C	CCA	1
52	361	11	7F	2018	1	C	CCA	1
53	361	11	7F	2018	1	C	CCA	1
54	361	11	7F	2018	1	C	CCA	1
55	361	11	7F	2018	1	C	CCA	1
56	361	11	7F	2018	1	C	CCA	1
57	361	11	7F	2018	1	C	CCA	1
58	361	11	7F	2018	1	C	CCA	1
59	361	11	7F	2018	1	C	CCA	1

60	361	11	7F	2018	1	C	CCA	1
61	361	11	7F	2018	1	C	CCA	1
62	361	11	7F	2018	1	C	CCA	1
63	361	11	7F	2018	1	C	CCA	1
64	361	11	7F	2018	1	C	CCA	1
65	361	11	7F	2018	1	C	CCA	1
66	361	11	7F	2018	1	C	CCA	1
67	361	11	7F	2018	1	C	CCA	1
68	361	11	7F	2018	4	C	CCA	1
69	361	11	7F	2018	4	C	CCA	1
70	361	11	7F	2018	1	C	CM	1
71	361	11	7F	2018	0	C	CCA	34
72	361	11	7F	2018		F	FVMA	1
73	361	11	7F	2018		F	FVMA	6
74	361	11	7F	2018		F	FA	38
75	361	11	7F	2018		HU	AGU	1
76	361	11	7F	2018	1	VD	VI	1
77	361	11	7F	2018	4	VD	VI	1
78	361	11	7F	2018	0	VD	VI	11
79	361	11	7F	2018		T	TLA	1
80	361	11	7F	2018		L	LHI	2
1	362	11	7F	2018	1	C	TS	1
2	362	11	7F	2018	1	C	TS	1
3	362	11	7F	2018	1	C	TS	1
4	362	11	7F	2018	1	C	TS	1
5	362	11	7F	2018	1	C	TS	1
6	362	11	7F	2018	1	C	TS	1
7	362	11	7F	2018	1	C	TS	1
8	362	11	7F	2018	1	C	TS	1
9	362	11	7F	2018	4	C	TS	1
10	362	11	7F	2018	4	C	TS	1
11	362	11	7F	2018	4	C	TS	1
12	362	11	7F	2018	4	C	TS	1
13	362	11	7F	2018	4	C	TS	1
14	362	11	7F	2018	0	C	TS	1
15	362	11	7F	2018	0	C	TS	1
16	362	11	7F	2018	0	C	TS	1
17	362	11	7F	2018	0	C	TS	1
18	362	11	7F	2018	0	C	TS	1
19	362	11	7F	2018	0	C	TS	1
20	362	11	7F	2018	0	C	TS	1
21	362	11	7F	2018	0	C	TS	1
22	362	11	7F	2018	0	C	TS	1
23	362	11	7F	2018	0	C	TS	1
24	362	11	7F	2018	0	C	TS	1
25	362	11	7F	2018	0	C	TS	1

26	362	11	7F	2018	0	C	TS	1
27	362	11	7F	2018	0	C	TS	1
28	362	11	7F	2018	0	C	TS	1
29	362	11	7F	2018	0	C	TS	1
30	362	11	7F	2018	0	C	TS	1
31	362	11	7F	2018	0	C	TS	1
32	362	11	7F	2018	0	C	TS	1
33	362	11	7F	2018	0	C	TS	1
34	362	11	7F	2018	0	C	TS	1
35	362	11	7F	2018	0	C	TS	1
36	362	11	7F	2018	0	C	TS	1
37	362	11	7F	2018	0	C	TS	1
38	362	11	7F	2018	0	C	TS	1
39	362	11	7F	2018	0	C	TS	1
40	362	11	7F	2018	0	C	TS	1
41	362	11	7F	2018	0	C	TS	1
42	362	11	7F	2018	0	C	TS	1
43	362	11	7F	2018	0	C	TS	1
44	362	11	7F	2018	0	C	TS	1
45	362	11	7F	2018	0	C	TS	1
46	362	11	7F	2018	0	C	TS	1
47	362	11	7F	2018	0	C	TS	1
48	362	11	7F	2018	0	C	TS	1
49	362	11	7F	2018	0	C	TS	1
50	362	11	7F	2018	0	C	TS	1
51	362	11	7F	2018	0	C	TS	1
52	362	11	7F	2018	0	C	TS	1
53	362	11	7F	2018	0	C	TS	1
54	362	11	7F	2018	0	C	TS	1
55	362	11	7F	2018	0	C	TS	1
56	362	11	7F	2018	0	C	TS	1
57	362	11	7F	2018	0	C	TS	1
58	362	11	7F	2018	0	C	TS	1
59	362	11	7F	2018	0	C	TS	1
60	362	11	7F	2018	1	C	ANF	1
61	362	11	7F	2018	7	C	ANF	1
62	362	11	7F	2018	7	C	ANF	1
63	362	11	7F	2018	7	C	ANF	1
64	362	11	7F	2018	7	C	ANF	1
65	362	11	7F	2018	7	C	ANF	1
66	362	11	7F	2018	4	C	ANF	1
67	362	11	7F	2018	4	C	ANF	1
68	362	11	7F	2018	4	C	ANF	1
69	362	11	7F	2018	0	C	ANF	38
70	362	11	7F	2018	1	C	CM	1
71	362	11	7F	2018	1	C	CM	1

72	362	11	7F	2018	1	C	CM	1
73	362	11	7F	2018	1	C	CM	1
74	362	11	7F	2018	1	C	CM	1
75	362	11	7F	2018	1	C	CM	1
76	362	11	7F	2018	1	C	CM	1
77	362	11	7F	2018	1	C	CM	1
78	362	11	7F	2018	1	C	CM	1
79	362	11	7F	2018	1	C	CM	1
80	362	11	7F	2018	1	C	CM	1
81	362	11	7F	2018	1	C	CM	1
82	362	11	7F	2018	1	C	CM	1
83	362	11	7F	2018		-	-	
84	362	11	7F	2018	7	C	CM	1
85	362	11	7F	2018	7	C	CM	1
86	362	11	7F	2018	7	C	CM	1
87	362	11	7F	2018	7	C	CM	1
88	362	11	7F	2018	7	C	CM	1
89	362	11	7F	2018	4	C	CM	1
90	362	11	7F	2018	0	C	CM	142
91	362	11	7F	2018	8	C	CC	1
92	362	11	7F	2018	1	C	CC	1
93	362	11	7F	2018	1	C	CC	1
94	362	11	7F	2018	1	C	CC	1
95	362	11	7F	2018	1	C	CC	1
96	362	11	7F	2018	1	C	CC	1
97	362	11	7F	2018	1	C	CC	1
98	362	11	7F	2018	1	C	CC	1
99	362	11	7F	2018	1	C	CC	1
100	362	11	7F	2018	1	C	CC	1
101	362	11	7F	2018	1	C	CC	1
102	362	11	7F	2018	1	C	CC	1
103	362	11	7F	2018	1	C	CC	1
104	362	11	7F	2018	1	C	CC	1
105	362	11	7F	2018	1	C	CC	1
106	362	11	7F	2018	1	C	CC	1
107	362	11	7F	2018	1	C	CC	1
108	362	11	7F	2018	1	C	CC	1
109	362	11	7F	2018	1	C	CC	1
110	362	11	7F	2018	1	C	CC	1
111	362	11	7F	2018	0	C	CC	38
112	362	11	7F	2018	1	C	CCA	1
113	362	11	7F	2018	1	C	CCA	1
114	362	11	7F	2018	1	C	CCA	1
115	362	11	7F	2018	1	C	CCA	1
116	362	11	7F	2018	1	C	CCA	1
117	362	11	7F	2018	1	C	CCA	1

118	362	11	7F	2018	1	C	CCA	1
119	362	11	7F	2018	1	C	CCA	1
120	362	11	7F	2018	1	C	CCA	1
121	362	11	7F	2018	1	C	CCA	1
122	362	11	7F	2018	1	C	CCA	1
123	362	11	7F	2018	1	C	CCA	1
124	362	11	7F	2018	1	C	CCA	1
125	362	11	7F	2018		-	-	
126	362	11	7F	2018	4	C	CCA	1
127	362	11	7F	2018	4	C	CCA	1
128	362	11	7F	2018	0	C	CCA	36
129	362	11	7F	2018	1	C	LUC	1
130	362	11	7F	2018	1	C	LUC	1
131	362	11	7F	2018	1	C	LUC	1
132	362	11	7F	2018	1	C	LUC	1
133	362	11	7F	2018	0	C	RP	1
134	362	11	7F	2018	0	C	DO	1
135	362	11	7F	2018		T	TLA	1
136	362	11	7F	2018	1	C	PT	1
137	362	11	7F	2018	1	C	PT	1
138	362	11	7F	2018	0	C	PT	1
139	362	11	7F	2018	0	C	PT	1
140	362	11	7F	2018	0	C	PT	1
141	362	11	7F	2018	0	C	PT	1
142	362	11	7F	2018	0	C	PT	1
143	362	11	7F	2018	0	C	PT	1
144	362	11	7F	2018	0	C	PT	1
145	362	11	7F	2018		CO	EST	2
146	362	11	7F	2018	1	VD	VI	1
147	362	11	7F	2018	1	VD	VI	1
148	362	11	7F	2018	1	VD	VI	1
149	362	11	7F	2018	1	VD	VI	1
150	362	11	7F	2018	1	VD	VI	1
151	362	11	7F	2018	4	VD	VI	1
152	362	11	7F	2018	4	VD	VI	1
153	362	11	7F	2018	0	VD	VI	8
154	362	11	7F	2018		L	LBR	1
155	362	11	7F	2018		L	LHI	3
156	362	11	7F	2018		L	LHI	4
157	362	11	7F	2018		L	LBR	1
158	362	11	7F	2018		F	FA	77
159	362	11	7F	2018		F	FVMA	3
160	362	11	7F	2018		D	DLP	1
1	364	5	7F	2018	1	C	CM	1
2	364	5	7F	2018	1	C	CM	1
3	364	5	7F	2018	0	C	CM	3

4	364	5	7F	2018	7	C	CM	1
5	364	5	7F	2018	4	C	CM	1
6	364	5	7F	2018	4	C	CM	1
7	364	5	7F	2018	4	C	CM	1
8	364	5	7F	2018	1	C	CC	1
9	364	5	7F	2018	1	C	CC	1
10	364	5	7F	2018	1	C	CC	1
11	364	5	7F	2018	0	C	CC	10
12	364	5	7F	2018	0	C	ANF	15
13	364	5	7F	2018	1	C	PT	1
14	364	5	7F	2018	1	C	PT	1
15	364	5	7F	2018	1	C	PT	1
16	364	5	7F	2018	1	C	PT	1
17	364	5	7F	2018	1	C	PT	1
18	364	5	7F	2018	7	C	PT	1
19	364	5	7F	2018	0	C	PT	1
20	364	5	7F	2018	0	C	PT	1
21	364	5	7F	2018	0	C	PT	1
22	364	5	7F	2018	0	C	PT	1
23	364	5	7F	2018	0	C	PT	1
24	364	5	7F	2018	0	C	PT	1
25	364	5	7F	2018	0	C	PT	1
26	364	5	7F	2018	0	C	PT	1
27	364	5	7F	2018	0	C	PT	1
28	364	5	7F	2018	0	C	PT	1
29	364	5	7F	2018	0	C	PT	1
30	364	5	7F	2018	0	C	PT	1
31	364	5	7F	2018	0	C	PT	1
32	364	5	7F	2018	0	C	PT	1
33	364	5	7F	2018	0	C	PT	1
34	364	5	7F	2018	0	C	PT	1
35	364	5	7F	2018	0	C	PT	1
36	364	5	7F	2018	4	C	PT	1
37	364	5	7F	2018	4	C	PT	1
38	364	5	7F	2018	4	C	PT	1
39	364	5	7F	2018	1	C	IB	1
40	364	5	7F	2018	1	C	IB	1
41	364	5	7F	2018	1	C	PF	1
42	364	5	7F	2018	0	C	PF	1
43	364	5	7F	2018	1	C	CCA	1
44	364	5	7F	2018	1	C	CCA	1
45	364	5	7F	2018	1	C	TS	1
46	364	5	7F	2018	0	C	TS	1
47	364	5	7F	2018	4	C	TS	1
48	364	5	7F	2018	4	C	TS	1
49	364	5	7F	2018		L	LHI	3

50	364	5	7F	2018		CO	EST	7
51	364	5	7F	2018		F	FA	1
52	364	5	7F	2018		F	FVMA	1
53	364	5	7F	2018	1	C	LUC	1
54	364	5	7F	2018		CO	EST	1
1	365	29	7F	2018	1	C	ANF	1
2	365	29	7F	2018	7	C	ANF	1
3	365	29	7F	2018	0	C	ANF	3
4	365	29	7F	2018	7	C	CM	1
5	365	29	7F	2018	0	C	CM	1
6	365	29	7F	2018	4	C	CM	1
7	365	29	7F	2018	4	C	CM	1
8	365	29	7F	2018		C	CM	1
9	365	29	7F	2018	1	C	CC	1
10	365	29	7F	2018	1	C	CC	1
11	365	29	7F	2018	1	C	CC	1
12	365	29	7F	2018	0	C	CC	2
13	365	29	7F	2018	0	C	DO	1
14	365	29	7F	2018	0	C	TS	1
15	365	29	7F	2018	4	C	TS	1
16	365	29	7F	2018	4	C	TS	1
17	365	29	7F	2018	4	C	TS	1
18	365	29	7F	2018	4	C	CCA	1
19	365	29	7F	2018		C	CLCOCTILE	
20	365	29	7F	2018	4			
21	365	29	7F	2018		T	TTU	1
22	365	29	7F	2018		CO	TE	1
23	365	29	7F	2018		CO	EST	1
24	365	29	7F	2018		CO	EST	1
25	365	29	7F	2018		F	FA	1
26	365	29	7F	2018		C	CLCOCTILE	1
1	367	30	7F	2018	4	VD	VI	1
2	367	30	7F	2018	4	VD	VI	1
3	367	30	7F	2018	4	VD	VI	1
4	367	30	7F	2018	0	C	TS	1
5	367	30	7F	2018	0	C	ANF	1
6	367	30	7F	2018		MU	TI	1
1	368	11	7F	2018	0	C	ANF	1
2	368	11	7F	2018	0	C	DO	1
3	368	11	7F	2018	0	C	CM	120
4	368	11	7F	2018	7	C	CM	1
5	368	11	7F	2018	7	C	CM	1
6	368	11	7F	2018	1	C	CM	1
7	368	11	7F	2018	1	C	CM	1
8	368	11	7F	2018	1	C	CM	1
9	368	11	7F	2018	1	C	CM	1

10	368	11	7F	2018	0	C	CCA	28
11	368	11	7F	2018	1	C	CCA	1
12	368	11	7F	2018	1	C	CCA	1
13	368	11	7F	2018	1	C	CCA	1
14	368	11	7F	2018	1	C	CCA	1
15	368	11	7F	2018	1	C	CCA	1
16	368	11	7F	2018	4	C	CCA	1
17	368	11	7F	2018	4	C	CCA	1
18	368	11	7F	2018	0	C	CC	1
19	368	11	7F	2018	1	C	CC	1
20	368	11	7F	2018	1	C	CC	1
21	368	11	7F	2018	1	C	CC	1
22	368	11	7F	2018	1	C	CC	1
23	368	11	7F	2018	1	C	CC	1
24	368	11	7F	2018	4	C	CC	1
25	368	11	7F	2018	4	C	CC	1
26	368	11	7F	2018	4	C	CC	1
27	368	11	7F	2018	0	C	TS	1
28	368	11	7F	2018	0	C	TS	1
29	368	11	7F	2018	0	C	TS	1
30	368	11	7F	2018	0	C	TS	1
31	368	11	7F	2018	0	C	TS	1
32	368	11	7F	2018	0	C	TS	1
33	368	11	7F	2018	0	C	TS	1
34	368	11	7F	2018	0	C	TS	1
35	368	11	7F	2018	0	C	TS	1
36	368	11	7F	2018	0	C	TS	1
37	368	11	7F	2018	0	C	TS	1
38	368	11	7F	2018	0	C	TS	1
39	368	11	7F	2018	0	C	TS	1
40	368	11	7F	2018	4	C	TS	1
41	368	11	7F	2018	0	C	BN	1
42	368	11	7F	2018	0	C	BN	1
43	368	11	7F	2018	1	C	LUC	1
44	368	11	7F	2018	1	C	LUC	1
45	368	11	7F	2018	1	C	LUC	1
46	368	11	7F	2018	1	C	LUC	1
47	368	11	7F	2018	0	C	RP	1
48	368	11	7F	2018	0	C	PF	1
49	368	11	7F	2018	0	C	PF	1
50	368	11	7F	2018	0	C	PF	1
51	368	11	7F	2018	0	C	PF	1
52	368	11	7F	2018	0	C	PT	1
53	368	11	7F	2018	0	C	PT	1
54	368	11	7F	2018	0	C	PT	1
55	368	11	7F	2018		CO	TE	1

56	368	11	7F	2018		F	FA	89
57	368	11	7F	2018	0	VD	VI	3
58	368	11	7F	2018		L	LHI	3
59	368	11	7F	2018		HU	AGU	1
1	369	29	7F	2018	7	C	ANF	1
2	369	29	7F	2018	0	C	ANF	3
3	369	29	7F	2018	1	C	CM	1
4	369	29	7F	2018	1	C	CM	1
5	369	29	7F	2018	1	C	CM	1
6	369	29	7F	2018	7	C	CM	1
7	369	29	7F	2018	0	C	CM	18
8	369	29	7F	2018	1	C	CC	1
9	369	29	7F	2018	1	C	CC	1
10	369	29	7F	2018	7	C	CC	1
11	369	29	7F	2018	0	C	CC	4
12	369	29	7F	2018		F	FA	1
13	369	29	7F	2018	1	C	TS	1
14	369	29	7F	2018	0	C	TS	1
15	369	29	7F	2018	4	C	TS	1
16	369	29	7F	2018	4	C	TS	1
17	369	29	7F	2018	4	C	TS	1
18	369	29	7F	2018	0	C	BN	1
19	369	29	7F	2018		F	FVMA	1
20	369	29	7F	2018		CO	EST	1
21	369	29	7F	2018	7	C	ANF	1
22	369	29	7F	2018	0	C	ANF	1
23	369	29	7F	2018	1	C	CCA	1
24	369	29	7F	2018	1	C	CCA	1
25	369	29	7F	2018	1	C	CCA	1
26	369	29	7F	2018	1	C	CCA	1
27	369	29	7F	2018	1	C	CCA	1
28	369	29	7F	2018	4	C	CCA	1
29	369	29	7F	2018	4	C	CCA	1
30	369	29	7F	2018	4	C	CCA	1
31	369	29	7F	2018	4	C	CCA	1
32	369	29	7F	2018	4	C	CCA	1
33	369	29	7F	2018	0	C	CCA	1
34	369	29	7F	2018	0	C	PT	1
35	369	29	7F	2018	4	C	TS	1
36	369	29	7F	2018	0	C	PF	1
37	369	29	7F	2018	1	C	CC	1
38	369	29	7F	2018	1	C	CC	1
39	369	29	7F	2018	0	C	CC	7
40	369	29	7F	2018	1	C	CM	1
41	369	29	7F	2018	7	C	CM	1
42	369	29	7F	2018	0	C	CM	28

43	369	29	7F	2018	1	VD	VI	1
44	369	29	7F	2018	0	VD	VI	1
45	369	29	7F	2018		L	LHI	1
46	369	29	7F	2018		L	LHI	1
47	369	29	7F	2018		L	LHI	1
48	369	29	7F	2018	1	C	CM	1
49	369	29	7F	2018	1	C	TARD	1
50	369	29	7F	2018	0	C	TARD	1
51	369	29	7F	2018		CO	TE	2
52	369	29	7F	2018		CO	EST	1
53	369	29	7F	2018		CO	MARMOL	3
54	369	29	7F	2018		HT	AGU	1
55	369	29	7F	2018		F	FA	1
56	369	29	7F	2018	1	C	CCA	1
57	369	29	7F	2018	4	C	CCA	1
58	369	29	7F	2018	4	C	CCA	1
59	369	29	7F	2018	1	C	CM	1
1	370	29	7F	2018	1	C	CM	1
2	370	29	7F	2018	1	C	CM	1
3	370	29	7F	2018	4	C	CM	1
4	370	29	7F	2018	0	C	CM	20
5	370	29	7F	2018	4	C	CM	1
6	370	29	7F	2018	4	C	CM	1
7	370	29	7F	2018	1	C	ANF	1
8	370	29	7F	2018	1	C	ANF	1
9	370	29	7F	2018	0	C	ANF	12
10	370	29	7F	2018	0	C	PT	1
11	370	29	7F	2018	0	C	PT	1
12	370	29	7F	2018	0	C	PT	1
13	370	29	7F	2018	0	C	PT	1
14	370	29	7F	2018	1	C	LUC	1
15	370	29	7F	2018	7	C	CC	1
16	370	29	7F	2018	0	C	CC	16
17	370	29	7F	2018	1	C	CCA	1
18	370	29	7F	2018	1	C	CCA	1
19	370	29	7F	2018	1	C	TS	1
20	370	29	7F	2018	0	C	TS	1
21	370	29	7F	2018	0	C	TS	1
22	370	29	7F	2018	0	C	TS	1
23	370	29	7F	2018	4	C	BN	1
24	370	29	7F	2018	0	C	BN	1
25	370	29	7F	2018	0	C	BN	1
26	370	29	7F	2018	7	VD	VI	1
27	370	29	7F	2018		L	LHI	1
28	370	29	7F	2018		C	CLCOCTILE	1
29	370	29	7F	2018		T	TTE	1

30	370	29	7F	2018		T	TLA	2
31	370	29	7F	2018		CO	EST	1
32	370	29	7F	2018		F	FA	1
33	370	29	7F	2018		F	FVMA	1
34	370	29	7F	2018		L	MO	3
35	370	29	7F	2018		CO	EST	1
1	371	29	7F	2018	7	C	ANF	1
2	371	29	7F	2018	7	C	ANF	1
3	371	29	7F	2018	0	C	ANF	1
4	371	29	7F	2018	1	C	TARD	1
5	371	29	7F	2018	0	C	TARD	1
6	371	29	7F	2018	0	C	CIBIZA	2
7	371	29	7F	2018	1	C	CM	1
8	371	29	7F	2018	1	C	CM	1
9	371	29	7F	2018	4	C	CM	1
10	371	29	7F	2018	0	C	CM	18
11	371	29	7F	2018	0	C	PT	1
12	371	29	7F	2018	1	C	TS	1
13	371	29	7F	2018		T	TLA	2
14	371	29	7F	2018		CO	TE	28
15	371	29	7F	2018		F	FA	12
16	371	29	7F	2018		F	FA	3
17	371	29	7F	2018	1	C	CC	1
18	371	29	7F	2018	0	C	CC	1
19	371	29	7F	2018	4	C	CC	1
20	371	29	7F	2018	0	C	TS	3
21	371	29	7F	2018	0	C	CCA	1
1	372	29	7F	2018	7	C	ANF	1
2	372	29	7F	2018	7	C	ANF	1
3	372	29	7F	2018	7	C	ANF	1
4	372	29	7F	2018	7	C	ANF	1
5	372	29	7F	2018	7	C	ANF	1
6	372	29	7F	2018	7	C	ANF	1
7	372	29	7F	2018	0	C	ANF	40
8	372	29	7F	2018	4	C	ANF	1
9	372	29	7F	2018	4	C	ANF	1
10	372	29	7F	2018	0	C	PT	1
11	372	29	7F	2018	0	C	PT	1
12	372	29	7F	2018	0	C	PT	1
13	372	29	7F	2018	0	C	PT	1
14	372	29	7F	2018	1	C	CM	1
15	372	29	7F	2018	7	C	CM	1
16	372	29	7F	2018	7	C	CM	1
17	372	29	7F	2018	7	C	CM	1
18	372	29	7F	2018	7	C	CM	1
19	372	29	7F	2018	7	C	CM	1

20	372	29	7F	2018	0	C	CM	25
21	372	29	7F	2018	1	C	CM	1
22	372	29	7F	2018	1	C	CM	1
23	372	29	7F	2018	1	C	CM	1
24	372	29	7F	2018	4	C	CM	1
25	372	29	7F	2018	4	C	CM	1
26	372	29	7F	2018	4	C	CM	1
27	372	29	7F	2018	1	C	CC	1
28	372	29	7F	2018	1	C	CC	1
29	372	29	7F	2018	1	C	CC	1
30	372	29	7F	2018	0	C	CC	2
31	372	29	7F	2018	1	C	CCA	1
32	372	29	7F	2018	4	C	CCA	1
33	372	29	7F	2018	1	C	TS	1
34	372	29	7F	2018	1	C	TS	1
35	372	29	7F	2018	0	C	TS	1
36	372	29	7F	2018	4	C	TS	1
37	372	29	7F	2018	4	C	TS	1
38	372	29	7F	2018	4	C	TS	1
39	372	29	7F	2018	0	C	TS	1
40	372	29	7F	2018	0	C	TS	1
41	372	29	7F	2018		C	MORTERO	1
42	372	29	7F	2018		C	CLCACTILE	1
43	372	29	7F	2018		CO	TE	1
44	372	29	7F	2018		F	FA	1
45	372	29	7F	2018	0	VD	VI	1
1	373	13	7F	2018	1	C	TS	1
2	373	13	7F	2018	1	C	CM	1
3	373	13	7F	2018	1	C	CM	1
4	373	13	7F	2018	1	C	CM	1
5	373	13	7F	2018	7	C	CM	1
6	373	13	7F	2018	0	C	CM	8
7	373	13	7F	2018	0	C	ANF	5
8	373	13	7F	2018	0	C	TARD	1
9	373	13	7F	2018	4	C	TARD	1
10	373	13	7F	2018	0	C	TARD	1
11	373	13	7F	2018		F	FVMA	5
12	373	13	7F	2018	7	C	ANF	1
13	373	13	7F	2018	7	C	ANF	1
14	373	13	7F	2018	4	C	ANF	1
15	373	13	7F	2018	0	C	ANF	17
16	373	13	7F	2018	1	C	PT	1
17	373	13	7F	2018	0	C	PT	1
18	373	13	7F	2018	1	C	CC	1
19	373	13	7F	2018	0	C	CC	1
20	373	13	7F	2018	1	C	CM	1

21	373	13	7F	2018	1	C	CM	11
22	373	13	7F	2018	7	C	CM	1
23	373	13	7F	2018	7	C	CM	1
24	373	13	7F	2018	4	C	CM	1
25	373	13	7F	2018	4	C	CM	1
26	373	13	7F	2018	0	C	CM	22
27	373	13	7F	2018	0	C	TS	1
28	373	13	7F	2018	0	C	TS	1
29	373	13	7F	2018	1	C	TS	2
30	373	13	7F	2018	0	C	PF	1
31	373	13	7F	2018	0	C	CCA	1
32	373	13	7F	2018	7	C	BN	1
33	373	13	7F	2018	0	VD	VI	2
34	373	13	7F	2018		F	FA	12
35	373	13	7F	2018		HT	AGU	1
36	373	13	7F	2018		HT	AGU	1
37	373	13	7F	2018		F	FVMA	15
38	373	13	7F	2018	0	C	RP	2
39	373	13	7F	2018	7	C	CM	1
40	373	13	7F	2018	7	C	CM	1
41	373	13	7F	2018	7	C	CM	1
42	373	13	7F	2018	0	C	CM	23
43	373	13	7F	2018	0	C	TS	1
44	373	13	7F	2018	1	C	PF	1
45	373	13	7F	2018	0	C	PF	4
46	373	13	7F	2018	1	C	TS	1
47	373	13	7F	2018	1	C	TS	1
48	373	13	7F	2018	1	C	CCA	1
49	373	13	7F	2018	4	C	CCA	1
50	373	13	7F	2018	4	C	CCA	1
51	373	13	7F	2018	4	C	CCA	1
52	373	13	7F	2018	0	C	CCA	2
53	373	13	7F	2018	7	C	CC	1
54	373	13	7F	2018	7	C	CC	1
55	373	13	7F	2018	4	C	CC	1
56	373	13	7F	2018	0	C	CC	1
57	373	13	7F	2018		L	LHI	1
58	373	13	7F	2018		VD	VI	1
59	373	13	7F	2018		T	TLA	1
60	373	13	7F	2018		F	FA	12
1	379	24	7F	2018	1	C	ANF	1
2	379	24	7F	2018	7	C	ANF	1
3	379	24	7F	2018	1	C	MORTERO	1
4	379	24	7F	2018		T	TAD	1
5	379	24	7F	2018		L		1
6	379	24	7F	2018	1	C	CM	1

7	379	24	7F	2018	1	C	CM	1
8	379	24	7F	2018	1	C	CM	1
9	379	24	7F	2018	1	C	CM	1
10	379	24	7F	2018	1	C	CM	1
11	379	24	7F	2018	1	C	CM	1
12	379	24	7F	2018	1	C	CM	1
13	379	24	7F	2018	1	C	CM	1
14	379	24	7F	2018	4	C	CM	1
15	379	24	7F	2018	4	C	CM	1
16	379	24	7F	2018	0	C	CM	51
17	379	24	7F	2018	0	C	TARD	1
18	379	24	7F	2018	1	C	CC	1
19	379	24	7F	2018	0	C	CC	4
20	379	24	7F	2018	1	C	BN	1
21	379	24	7F	2018	0	C	BN	1
22	379	24	7F	2018	0	C	BN	1
23	379	24	7F	2018		VD	VI	3
24	379	24	7F	2018		F	FA	30
25	379	24	7F	2018	1	C	TS	1
26	379	24	7F	2018	1	C	TS	1
27	379	24	7F	2018	0	C	TS	1
28	379	24	7F	2018	0	C	TS	1
29	379	24	7F	2018	0	C	TS	1
30	379	24	7F	2018	0	C	TS	1
31	379	24	7F	2018	1	C	LUC	1
32	379	24	7F	2018	0	C	PF	1
33	379	24	7F	2018	7	C	PT	1
34	379	24	7F	2018	0	C	PT	1
35	379	24	7F	2018		CO	ENL	5
36	379	24	7F	2018		CO	TE	16
1	380	11	7F	2018	1	C	ANF	1
2	380	11	7F	2018	7	C	ANF	1
3	380	11	7F	2018	7	C	ANF	1
4	380	11	7F	2018	7	C	ANF	1
5	380	11	7F	2018	7	C	ANF	1
6	380	11	7F	2018	0	C	ANF	17
7	380	11	7F	2018	1	C	TS	1
8	380	11	7F	2018	1	C	TS	1
9	380	11	7F	2018	0	C	TS	1
10	380	11	7F	2018	0	C	TS	1
11	380	11	7F	2018	0	C	TS	1
12	380	11	7F	2018	0	C	TS	1
13	380	11	7F	2018	0	C	TS	1
14	380	11	7F	2018	0	C	TS	1
15	380	11	7F	2018	0	C	TS	1
16	380	11	7F	2018	0	C	TS	1

17	380	11	7F	2018	0	C	TS	1
18	380	11	7F	2018	0	C	TS	1
19	380	11	7F	2018	0	C	TS	1
20	380	11	7F	2018	0	C	TS	1
21	380	11	7F	2018	0	C	TS	1
22	380	11	7F	2018	0	C	TS	1
23	380	11	7F	2018	0	C	TS	1
24	380	11	7F	2018	0	C	TS	1
25	380	11	7F	2018	0	C	TS	1
26	380	11	7F	2018	0	C	TS	1
27	380	11	7F	2018	0	C	TS	1
28	380	11	7F	2018	0	C	TS	1
29	380	11	7F	2018	0	C	TS	1
30	380	11	7F	2018	0	C	TS	1
31	380	11	7F	2018	0	C	TS	1
32	380	11	7F	2018	1	C	LUC	1
33	380	11	7F	2018	1	C	LUC	1
34	380	11	7F	2018	1	C	LUC	1
35	380	11	7F	2018	1	C	CC	1
36	380	11	7F	2018	7	C	CC	1
37	380	11	7F	2018	7	C	CC	1
38	380	11	7F	2018	0	C	CC	15
39	380	11	7F	2018	1	C	CCA	1
40	380	11	7F	2018	1	C	CCA	1
41	380	11	7F	2018	1	C	CCA	1
42	380	11	7F	2018	1	C	CCA	1
43	380	11	7F	2018	0	C	CCA	12
44	380	11	7F	2018	1	C	CM	1
45	380	11	7F	2018	1	C	CM	1
46	380	11	7F	2018	1	C	CM	1
47	380	11	7F	2018	1	C	CM	1
48	380	11	7F	2018	1	C	CM	1
49	380	11	7F	2018	7	C	CM	1
50	380	11	7F	2018	7	C	CM	1
51	380	11	7F	2018	7	C	CM	1
52	380	11	7F	2018	7	C	CM	1
53	380	11	7F	2018	7	C	CM	1
54	380	11	7F	2018	4	C	CM	1
55	380	11	7F	2018	4	C	CM	1
56	380	11	7F	2018	4	C	CM	1
57	380	11	7F	2018	0	C	CM	87
58	380	11	7F	2018	0	C	PF	1
59	380	11	7F	2018	1	C	PT	1
60	380	11	7F	2018	1	C	PT	1
61	380	11	7F	2018	0	C	PT	1
62	380	11	7F	2018	0	C	PT	1

63	380	11	7F	2018	0	C	PT	1
64	380	11	7F	2018	0	C	PT	1
65	380	11	7F	2018	0	C	PT	1
66	380	11	7F	2018		L	LPL	1
67	380	11	7F	2018		L	LHI	7
68	380	11	7F	2018		F	FA	39
69	380	11	7F	2018		CO	MARMOL	2
70	380	11	7F	2018		CO	MARMOL	1
71	380	11	7F	2018		CO	TE	3
72	380	11	7F	2018		T	TLA	2
73	380	11	7F	2018	4	VD	VI	1
74	380	11	7F	2018	0	VD	VI	1
75	380	11	7F	2018	0	C	PF	1
1	381		7F	2018	1	C	TS	1
2	381		7F	2018	1	C	TS	1
3	381		7F	2018	1	C	TS	1
4	381		7F	2018	4	C	TS	1
5	381		7F	2018	0	C	TS	1
6	381		7F	2018	0	C	TS	1
7	381		7F	2018	0	C	TS	1
8	381		7F	2018	0	C	TS	1
9	381		7F	2018	0	C	TS	1
10	381		7F	2018	0	C	TS	1
11	381		7F	2018	0	C	TS	1
12	381		7F	2018	0	C	TS	1
13	381		7F	2018	0	C	TS	1
14	381		7F	2018	0	C	TS	1
15	381		7F	2018	7	C	LUC	1
16	381		7F	2018	1	C	CCA	1
17	381		7F	2018	1	C	CCA	1
18	381		7F	2018	1	C	CCA	1
19	381		7F	2018	1	C	CCA	1
20	381		7F	2018	1	C	CCA	1
21	381		7F	2018	1	C	CCA	1
22	381		7F	2018	1	C	CCA	1
23	381		7F	2018	1	C	CCA	1
24	381		7F	2018	1	C	CCA	1
25	381		7F	2018	1	C	CCA	1
26	381		7F	2018	1	C	CCA	1
27	381		7F	2018	1	C	CCA	1
28	381		7F	2018	1	C	CCA	1
29	381		7F	2018	4	C	CCA	1
30	381		7F	2018	0	C	CCA	10
31	381		7F	2018	4	C	RP	1
32	381		7F	2018	0	C	RP	1
33	381		7F	2018	0	C	PT	1

34	381		7F	2018	1	C	CM	1
35	381		7F	2018	1	C	CM	1
36	381		7F	2018	1	C	CM	1
37	381		7F	2018	1	C	CM	1
38	381		7F	2018	1	C	CM	1
39	381		7F	2018	1	C	CM	1
40	381		7F	2018	1	C	CM	1
41	381		7F	2018	7	C	CM	1
42	381		7F	2018	7	C	CM	1
43	381		7F	2018	0	C	CM	52
44	381		7F	2018		C	ANF	1
45	381		7F	2018		C	ANF	1
46	381		7F	2018	0	C	ANF	16
47	381		7F	2018	1	C	CGC	1
48	381		7F	2018	1	C	CGC	1
49	381		7F	2018	1	C	CGC	1
50	381		7F	2018	0	C	CGC	21
51	381		7F	2018	1	C	CC	1
52	381		7F	2018	0	C	CM	1
53	381		7F	2018		F	FA	36
54	381		7F	2018		L	LHI	4
55	381		7F	2018		HT	AGU	3
56	381		7F	2018		CO	ENL	2
57	381		7F	2018		CO	TE	1
58	381		7F	2018	0	VD	VI	3
1	382	11	7F	2018	1	C	CM	1
2	382	11	7F	2018	1	C	CM	1
3	382	11	7F	2018	0	C	CM	11
4	382	11	7F	2018	1	C	TS	1
5	382	11	7F	2018	4	C	CCA	1
6	382	11	7F	2018	4	C	CCA	1
7	382	11	7F	2018	1	C	CCA	1
8	382	11	7F	2018	0	C	CCA	2
9	382	11	7F	2018		F	FA	14
10	382	11	7F	2018		CO	ENL	1
11	382	11	7F	2018	7	C	CM	1
1	383	5	7F	2018	0	C	PT	1
2	383	5	7F	2018	0	C	PT	1
3	383	5	7F	2018	0	C	PT	1
4	383	5	7F	2018	0	C	PT	1
5	383	5	7F	2018	0	C	CM	14
6	383	5	7F	2018	1	C	CC	1
7	383	5	7F	2018		F	FVMA	7
8	383	5	7F	2018		F	FA	2
1	386		7F	2018	7	C	ANF	1
2	386		7F	2018	0	C	ANF	1

3	386		7F	2018	0	C	PT	1
4	386		7F	2018	0	C	PT	1
5	386		7F	2018	1	C	CM	1
6	386		7F	2018	1	C	CM	1
7	386		7F	2018	7	C	CM	1
8	386		7F	2018	0	C	CM	34
9	386		7F	2018	1	C	PF	1
10	386		7F	2018	1	C	PF	1
11	386		7F	2018	0	C	PF	1
12	386		7F	2018	1	C	TS	1
13	386		7F	2018	1	C	TS	1
14	386		7F	2018	1	C	TS	1
15	386		7F	2018	0	C	TS	1
16	386		7F	2018	0	C	TS	1
17	386		7F	2018	0	C	TS	1
18	386		7F	2018	1	C	LUC	1
19	386		7F	2018	1	C	LUC	1
20	386		7F	2018	1	C	LUC	1
21	386		7F	2018	1	C	CCA	1
22	386		7F	2018	1	C	CCA	1
23	386		7F	2018	1	C	CCA	1
24	386		7F	2018	4	C	CCA	1
25	386		7F	2018	4	C	CCA	1
26	386		7F	2018	4	C	CCA	1
27	386		7F	2018	0	C	CCA	2
28	386		7F	2018		L	LPL	3
29	386		7F	2018	0	VD	VI	2
30	386		7F	2018		F	FA	14
1	390	11W	7F	2018	1	C	ANF	1
2	390	11W	7F	2018	7	C	ANF	1
3	390	11W	7F	2018	0	C	ANF	7
4	390	11W	7F	2018	1	C	CM	1
5	390	11W	7F	2018	0	C	CM	6
6	390	11W	7F	2018	1	C	PF	1
7	390	11W	7F	2018	0	C	PF	1
8	390	11W	7F	2018	0	C	CC	2
9	390	11W	7F	2018	1	C	CCA	1
10	390	11W	7F	2018	1	C	TS	1
11	390	11W	7F	2018		VD	VI	2
1	397	29	7F	2018	1	C	ANF	1
2	397	29	7F	2018	7	C	ANF	1
3	397	29	7F	2018	7	C	ANF	1
4	397	29	7F	2018	4	C	ANF	1
5	397	29	7F	2018	4	C	ANF	1
6	397	29	7F	2018	0	C	ANF	34
7	397	29	7F	2018	1	C	CM	1

8	397	29	7F	2018	1	C	CM	1
9	397	29	7F	2018	1	C	CM	1
10	397	29	7F	2018	1	C	CM	1
11	397	29	7F	2018	1	C	CM	1
12	397	29	7F	2018	1	C	CM	1
13	397	29	7F	2018	1	C	CM	1
14	397	29	7F	2018	1	C	CM	1
15	397	29	7F	2018	1	C	CM	1
16	397	29	7F	2018	4	C	CM	1
17	397	29	7F	2018	4	C	CM	1
18	397	29	7F	2018	4	C	CM	1
19	397	29	7F	2018	7	C	CM	1
20	397	29	7F	2018	7	C	CM	1
21	397	29	7F	2018	7	C	CM	1
22	397	29	7F	2018	7	C	CM	1
23	397	29	7F	2018	0	C	CM	42
24	397	29	7F	2018	0	C	CC	10
25	397	29	7F	2018	1	C	CCA	6
26	397	29	7F	2018	1	C	CCA	1
27	397	29	7F	2018	1	C	CCA	1
28	397	29	7F	2018	4	C	CCA	1
29	397	29	7F	2018	4	C	CCA	1
30	397	29	7F	2018	1	C	PT	1
31	397	29	7F	2018	1	C	TS	1
32	397	29	7F	2018	1	C	TS	1
33	397	29	7F	2018	4	C	TS	1
34	397	29	7F	2018	4	C	TS	1
35	397	29	7F	2018	0	C	TS	1
36	397	29	7F	2018	0	C	TS	1
37	397	29	7F	2018	0	C	TS	1
38	397	29	7F	2018	1	C	TARD	3
39	397	29	7F	2018	7	C	TARD	1
40	397	29	7F	2018		D		2
41	397	29	7F	2018		CO	MARMOL	1
42	397	29	7F	2018		T	TLA	1
43	397	29	7F	2018		C	CLCOCTILE	3
44	397	29	7F	2018		D		1
45	397	29	7F	2018		F	FA	1
46	397	29	7F	2018		CO	EST	2
1	399	29	7F	2018	1	C	CM	1
2	399	29	7F	2018	0	C	CM	1
3	399	29	7F	2018	0	C	ANF	2
4	399	29	7F	2018	1	C	TS	1
5	399	29	7F	2018		C	CLCOCTILE	1
6	399	29	7F	2018		CO	TE	3
7	399	29	7F	2018		CO	EST	1

1	401	29	7F	2018	7	C	ANF	1
2	401	29	7F	2018	7	C	CM	1
3	401	29	7F	2018	1	C	CM	1
4	401	29	7F	2018	1	C	CM	1
5	401	29	7F	2018	4	C	CM	1
6	401	29	7F	2018	4	C	CM	1
7	401	29	7F	2018	0	C	CM	7
8	401	29	7F	2018	0	C	TARD	1
9	401	29	7F	2018		T	TLA	1
10	401	29	7F	2018		C	CLCOCTILE	1
11	401	29	7F	2018	1	C	LUC	1
12	401	29	7F	2018	1	C	TS	1
13	401	29	7F	2018		F	FA	4
14	401	29	7F	2018		F	FA	2
1	404	13	7F	2018	0	C	ANF	47
2	404	13	7F	2018	7	C	ANF	1
3	404	13	7F	2018	0	C	CM	1
4	404	13	7F	2018	4	C	LUC	1
5	404	13	7F	2018	0	C	LUC	1
6	404	13	7F	2018		D	SI	1
7	404	13	7F	2018		F	FVMA	2
8	404	13	7F	2018		F	FA	1
9	404	13	7F	2018	4	C	TS	1
10	404	13	7F	2018	4	C	TS	1
11	404	13	7F	2018	1	C	TS	1
12	404	13	7F	2018	1	C	TS	1
13	404	13	7F	2018	1	C	TS	1
14	404	13	7F	2018	0	C	TS	1
15	404	13	7F	2018	0	C	TS	1
16	404	13	7F	2018	0	C	TS	1
17	404	13	7F	2018	0	C	TS	1
18	404	13	7F	2018	0	C	TS	1
19	404	13	7F	2018	0	C	TS	1
20	404	13	7F	2018	0	C	TS	1
21	404	13	7F	2018	0	C	TS	1
22	404	13	7F	2018	0	C	TS	1
23	404	13	7F	2018	0	C	TS	1
24	404	13	7F	2018	0	C	TS	1
25	404	13	7F	2018	0	C	TS	1
26	404	13	7F	2018	0	C	TS	1
27	404	13	7F	2018	0	C	TS	1
28	404	13	7F	2018		T	TLA	1
29	404	13	7F	2018	1	C	BN	1
30	404	13	7F	2018	0	C	MORTERO	1
31	404	13	7F	2018		CO	CAL	1
32	404	13	7F	2018		CO	CAL	1

33	404	13	7F	2018	1	C	PT	1
34	404	13	7F	2018	1	C	PT	1
35	404	13	7F	2018	1	C	PT	1
36	404	13	7F	2018	0	C	PT	1
37	404	13	7F	2018	0	C	PT	1
38	404	13	7F	2018	0	C	PT	1
39	404	13	7F	2018	0	C	PT	1
40	404	13	7F	2018	0	C	PT	1
41	404	13	7F	2018	0	C	PT	1
42	404	13	7F	2018	0	C	PT	1
43	404	13	7F	2018	0	C	PT	1
44	404	13	7F	2018	0	C	PT	1
45	404	13	7F	2018	0	C	PT	1
46	404	13	7F	2018	0	C	PT	1
47	404	13	7F	2018	0	C	PT	1
48	404	13	7F	2018	0	C	PT	1
49	404	13	7F	2018	0	C	PT	1
50	404	13	7F	2018	0	C	PT	1
51	404	13	7F	2018		D		1
52	404	13	7F	2018		D		1
53	404	13	7F	2018		L	LHI	1
54	404	13	7F	2018		L	LHI	1
55	404	13	7F	2018		L	LHI	1
56	404	13	7F	2018		L	LBR	1
57	404	13	7F	2018		L	LPL	2
58	404	13	7F	2018		L	LHI	11
59	404	13	7F	2018	1	C	CM	1
60	404	13	7F	2018	1	C	CM	1
61	404	13	7F	2018	1	C	CM	1
62	404	13	7F	2018	1	C	CM	1
63	404	13	7F	2018	1	C	CM	1
64	404	13	7F	2018	1	C	CM	1
65	404	13	7F	2018	1	C	CM	1
66	404	13	7F	2018	1	C	CM	1
67	404	13	7F	2018	4	C	CCA	1
68	404	13	7F	2018	1	C	PF	1
69	404	13	7F	2018	1	C	CCA	1
70	404	13	7F	2018	1	C	CCA	1
71	404	13	7F	2018	1	C	CCA	1
72	404	13	7F	2018	1	C	CCA	1
73	404	13	7F	2018	0	C	CCA	13
74	404	13	7F	2018	4	C	CCA	1
1	406	11	7F	2018		CO	MARMOL	1
2	406	11	7F	2018		CO	MARMOL	1
3	406	11	7F	2018		CO	TE	1
4	406	11	7F	2018		CO	TE	1

5	406	11	7F	2018		CO		4
6	406	11	7F	2018	4	C	TS	1
7	406	11	7F	2018	4	C	TS	1
8	406	11	7F	2018	4	C	TS	1
9	406	11	7F	2018	0	C	TS	1
10	406	11	7F	2018	0	C	TS	1
11	406	11	7F	2018	0	C	TS	1
12	406	11	7F	2018	0	C	TS	1
13	406	11	7F	2018	0	C	TS	1
14	406	11	7F	2018	0	C	TS	1
15	406	11	7F	2018	0	C	TS	1
16	406	11	7F	2018	0	C	TS	1
17	406	11	7F	2018	0	C	TS	1
18	406	11	7F	2018	0	C	TS	1
19	406	11	7F	2018	0	C	TS	1
20	406	11	7F	2018	0	C	TS	1
21	406	11	7F	2018	0	C	TS	1
22	406	11	7F	2018	0	C	TS	1
23	406	11	7F	2018	0	C	TS	1
24	406	11	7F	2018	0	C	TS	1
25	406	11	7F	2018	0	C	TS	1
26	406	11	7F	2018	0	C	TS	1
27	406	11	7F	2018	0	C	TS	1
28	406	11	7F	2018	1	C	TS	1
29	406	11	7F	2018	1	C	TS	1
30	406	11	7F	2018	1	C	TS	1
31	406	11	7F	2018	1	C	TS	1
32	406	11	7F	2018	1	C	TS	1
33	406	11	7F	2018	1	C	TS	1
34	406	11	7F	2018	1	C	TS	1
35	406	11	7F	2018	0	C	CCA	1
36	406	11	7F	2018	0	C	CCA	1
37	406	11	7F	2018	0	C	CCA	1
38	406	11	7F	2018	0	C	CCA	1
39	406	11	7F	2018	4	C	CCA	1
40	406	11	7F	2018	4	C	CCA	1
41	406	11	7F	2018	4	C	CCA	1
42	406	11	7F	2018	4	C	CCA	1
43	406	11	7F	2018	4	C	CCA	1
44	406	11	7F	2018	4	C	CCA	1
45	406	11	7F	2018	4	C	CCA	1
46	406	11	7F	2018	1	C	CCA	1
47	406	11	7F	2018	1	C	CCA	1
48	406	11	7F	2018	1	C	CCA	1
49	406	11	7F	2018	1	C	CCA	1
50	406	11	7F	2018	1	C	CCA	1

51	406	11	7F	2018	1	C	CCA	1
52	406	11	7F	2018	1	C	CCA	1
53	406	11	7F	2018	1	C	CCA	1
54	406	11	7F	2018	1	C	CCA	1
55	406	11	7F	2018	0	C	RP	2
56	406	11	7F	2018	0	C	CM	137
57	406	11	7F	2018	1	C	CM	1
58	406	11	7F	2018	1	C	CM	1
59	406	11	7F	2018	1	C	CM	1
60	406	11	7F	2018	1	C	CM	1
61	406	11	7F	2018	1	C	CM	1
62	406	11	7F	2018	4	C	CM	1
63	406	11	7F	2018	7	C	CM	1
64	406	11	7F	2018	7	C	CM	1
65	406	11	7F	2018	7	C	LUC	1
66	406	11	7F	2018	7	C	LUC	1
67	406	11	7F	2018	7	C	LUC	1
68	406	11	7F	2018	7	C	LUC	1
69	406	11	7F	2018	7	C	LUC	1
70	406	11	7F	2018	7	C	LUC	1
71	406	11	7F	2018	1	C	CC	1
72	406	11	7F	2018	1	C	CC	1
73	406	11	7F	2018	0	C	CC	6
74	406	11	7F	2018		L	LHI	3
75	406	11	7F	2018		F	FA	20
76	406	11	7F	2018	0	C	PT	1
77	406	11	7F	2018	0	C	PT	1
78	406	11	7F	2018	0	C	PT	1
79	406	11	7F	2018	0	C	PT	1
80	406	11	7F	2018	0	C	PT	1
81	406	11	7F	2018	0	C	PT	1
82	406	11	7F	2018	0	C	ANF	1
1	407	5	7F	2018	1	C	ANF	1
2	407	5	7F	2018	7	C	ANF	1
3	407	5	7F	2018	0	C	ANF	1
4	407	5	7F	2018		CO		2
5	407	5	7F	2018	1	C	BN	1
6	407	5	7F	2018	0	C	BN	1
7	407	5	7F	2018	1	C	ANF	1
8	407	5	7F	2018	1	C	CC	1
9	407	5	7F	2018	1	C	CC	1
10	407	5	7F	2018	1	C	CC	1
11	407	5	7F	2018	1	C	CC	1
12	407	5	7F	2018	0	C	CC	10
13	407	5	7F	2018	1	C	CM	1
14	407	5	7F	2018	1	C	CM	1

15	407	5	7F	2018	1	C	CM	1
16	407	5	7F	2018	0	C	CM	25
17	407	5	7F	2018	0	C	PT	1
18	407	5	7F	2018	0	C	PT	1
19	407	5	7F	2018	0	C	PT	1
20	407	5	7F	2018	0	C	PT	1
21	407	5	7F	2018	0	C	PT	1
22	407	5	7F	2018	0	C	PT	1
23	407	5	7F	2018	0	C	PT	1
24	407	5	7F	2018	0	C	PT	1
25	407	5	7F	2018	1	C	P	2
26	407	5	7F	2018	1	C	P	1
27	407	5	7F	2018		F	FA	1
28	407	5	7F	2018		CO	ENL	3
29	407	5	7F	2018	0	C	PF	1
30	407	5	7F	2018		F	FVMA	1
1	408	11	7F	2018		F	FA	1
2	408	11	7F	2018		VD	VI	1
3	408	11	7F	2018	1	C	CM	1
4	408	11	7F	2018	7	C	CM	1
5	408	11	7F	2018	7	C	CM	1
6	408	11	7F	2018	4	C	TARD	1
7	408	11	7F	2018	0	C	ANF	1
8	408	11	7F	2018	1	C	ANF	1
9	408	11	7F	2018	7	C	ANF	1
10	408	11	7F	2018	0	C	CGC	1
11	408	11	7F	2018	0	C	CM	1
12	408	11	7F	2018	0	C	CCA	1
13	408	11	7F	2018	0	C	TS	1
14	408	11	7F	2018	0	C	TS	1
15	408	11	7F	2018	0	C	TS	1
16	408	11	7F	2018	0	C	TS	1
17	408	11	7F	2018	1	C	TS	1
18	408	11	7F	2018	4	C	TS	1
19	408	11	7F	2018	4	C	CCA	1
20	408	11	7F	2018	4	C	CCA	1
21	408	11	7F	2018	4	C	CCA	1
22	408	11	7F	2018	4	C	CCA	1
23	408	11	7F	2018	4	C	CCA	1
24	408	11	7F	2018	4	C	CCA	1
25	408	11	7F	2018	4	C	CCA	1
26	408		7F	2018	1	C	CCA	1
1	415	5	7F	2018	1	C	TS	1
2	415	5	7F	2018	0	C	TS	1
3	415	5	7F	2018	0	C	DO	1
4	415	5	7F	2018	0	C	ANF	1

5	415	5	7F	2018	0	C	CGC	1
6	415	5	7F	2018	0	C	PT	1
7	415	5	7F	2018	0	C	PT	1
8	415	5	7F	2018	0	C	PT	1
9	415	5	7F	2018	0	C	PT	1
10	415	5	7F	2018	0	C	PT	1
11	415	5	7F	2018	0	C	PT	1
12	415	5	7F	2018		CO		6
13	415	5	7F	2018	1	C	CM	1
14	415	5	7F	2018	0	C	CM	18
15	415	5	7F	2018		D	SI	1
16	415	5	7F	2018		F	FA	12
1	435	29	7F	2018	0	C	ANF	13
2	435	29	7F	2018	1	C	CM	1
3	435	29	7F	2018	1	C	CM	1
4	435	29	7F	2018	1	C	CM	1
5	435	29	7F	2018	1	C	CM	1
6	435	29	7F	2018	1	C	CM	1
7	435	29	7F	2018	1	C	CM	1
8	435	29	7F	2018	1	C	CM	1
9	435	29	7F	2018	1	C	CM	1
10	435	29	7F	2018	1	C	CM	1
11	435	29	7F	2018	1	C	CM	1
12	435	29	7F	2018	7	C	CM	1
13	435	29	7F	2018	7	C	CM	1
14	435	29	7F	2018	4	C	CM	1
15	435	29	7F	2018	0	C	CM	35
16	435	29	7F	2018	1	C	CC	1
17	435	29	7F	2018	1	C	CC	1
18	435	29	7F	2018	1	C	CC	1
19	435	29	7F	2018	1	C	CC	1
20	435	29	7F	2018	0	C	C	36
21	435	29	7F	2018	0	C	TARD	3
22	435	29	7F	2018	1	C	TS	1
23	435	29	7F	2018	1	C	TS	1
24	435	29	7F	2018	4	C	TS	1
25	435	29	7F	2018	4	C	TS	1
26	435	29	7F	2018	4	C	TS	1
27	435	29	7F	2018	0	C	TS	1
28	435	29	7F	2018	0	C	TS	1
29	435	29	7F	2018	0	C	TS	1
30	435	29	7F	2018	0	C	TS	1
31	435	29	7F	2018	0	C	TS	1
32	435	29	7F	2018	0	C	TS	1
33	435	29	7F	2018	1	C	BN	1
34	435	29	7F	2018	0	C	PT	1

35	435	29	7F	2018		F	FA	1
36	435	29	7F	2018		F	FVMA	2
37	435	29	7F	2018		CO	EST	1
38	435	29	7F	2018		CO	MARMOL	1
39	435	29	7F	2018	1	VD	VI	1
40	435	29	7F	2018	0	VD	VI	1
41	435	29	7F	2018	0	VD	VI	1
42	435	29	7F	2018		MU	CA	1
6	436	29	7F	2018	0	C	ANF	178
7	436	29	7F	2018	1	C	CM	1
8	436	29	7F	2018	1	C	CM	1
9	436	29	7F	2018	1	C	CM	1
10	436	29	7F	2018	1	C	CM	1
11	436	29	7F	2018	1	C	CM	1
12	436	29	7F	2018	1	C	CM	1
13	436	29	7F	2018	1	C	CM	1
14	436	29	7F	2018	1	C	CM	1
15	436	29	7F	2018	1	C	CM	1
16	436	29	7F	2018	1	C	CM	1
17	436	29	7F	2018	1	C	CM	1
18	436	29	7F	2018	1	C	CM	1
19	436	29	7F	2018	1	C	CM	1
20	436	29	7F	2018	1	C	CM	1
21	436	29	7F	2018	1	C	CM	1
22	436	29	7F	2018	1	C	CM	1
23	436	29	7F	2018	1	C	CM	1
24	436	29	7F	2018	1	C	CM	1
25	436	29	7F	2018	1	C	CM	1
26	436	29	7F	2018	1	C	CM	1
27	436	29	7F	2018	1	C	CM	1
28	436	29	7F	2018	1	C	CM	1
29	436	29	7F	2018	1	C	CM	1
30	436	29	7F	2018	1	C	CM	1
31	436	29	7F	2018	1	C	CM	1
32	436	29	7F	2018	1	C	CM	1
33	436	29	7F	2018	1	C	CM	1
34	436	29	7F	2018	1	C	CM	1
35	436	29	7F	2018	1	C	CM	1
36	436	29	7F	2018	1	C	CM	1
37	436	29	7F	2018	1	C	CM	1
38	436	29	7F	2018	1	C	CM	1
39	436	29	7F	2018	1	C	CM	1
40	436	29	7F	2018	1	C	CM	1
41	436	29	7F	2018	1	C	CM	1
42	436	29	7F	2018	1	C	CM	1
43	436	29	7F	2018	1	C	CM	1

44	436	29	7F	2018	1	C	CM	1
45	436	29	7F	2018	1	C	CM	1
46	436	29	7F	2018	1	C	CM	1
47	436	29	7F	2018	1	C	CM	1
48	436	29	7F	2018	1	C	CM	1
49	436	29	7F	2018	4	C	CM	1
50	436	29	7F	2018	4	C	CM	1
51	436	29	7F	2018	4	C	CM	1
52	436	29	7F	2018	4	C	CM	1
53	436	29	7F	2018	4	C	CM	1
54	436	29	7F	2018	4	C	CM	1
55	436	29	7F	2018	4	C	CM	1
56	436	29	7F	2018	4	C	CM	1
57	436	29	7F	2018	4	C	CM	1
58	436	29	7F	2018	4	C	CM	1
59	436	29	7F	2018	4	C	CM	1
60	436	29	7F	2018	4	C	CM	1
61	436	29	7F	2018	4	C	CM	1
62	436	29	7F	2018	4	C	CM	1
63	436	29	7F	2018	4	C	CM	1
64	436	29	7F	2018	4	C	CM	1
65	436	29	7F	2018	4	C	CM	1
66	436	29	7F	2018	4	C	CM	1
67	436	29	7F	2018	4	C	CM	1
68	436	29	7F	2018	4	C	CM	1
69	436	29	7F	2018	4	C	CM	1
70	436	29	7F	2018	4	C	CM	1
71	436	29	7F	2018	7	C	CM	1
72	436	29	7F	2018	7	C	CM	1
73	436	29	7F	2018	7	C	CM	1
74	436	29	7F	2018	7	C	CM	1
75	436	29	7F	2018	7	C	CM	1
76	436	29	7F	2018	7	C	CM	1
77	436	29	7F	2018	7	C	CM	1
78	436	29	7F	2018	7	C	CM	1
79	436	29	7F	2018	7	C	CM	1
80	436	29	7F	2018	7	C	CM	1
81	436	29	7F	2018	7	C	CM	1
82	436	29	7F	2018	7	C	CM	1
83	436	29	7F	2018		C	CLCOCTILE	1
84	436	29	7F	2018		C	CLCOCTILE	7
85	436	29	7F	2018		T	TTE	2
86	436	29	7F	2018		T	TLA	5
87	436	29	7F	2018	4	C	TS	1
88	436	29	7F	2018	0	C	TS	1
89	436	29	7F	2018	0	C	TS	1

90	436	29	7F	2018	0	C	TS	1
91	436	29	7F	2018	0	C	TS	1
92	436	29	7F	2018	0	C	TS	1
93	436	29	7F	2018	0	C	TS	1
94	436	29	7F	2018	0	C	TS	1
95	436	29	7F	2018	0	C	TS	1
96	436	29	7F	2018	0	C	TS	1
97	436	29	7F	2018	0	C	TS	1
98	436	29	7F	2018	0	C	TS	1
99	436	29	7F	2018	0	C	TS	1
100	436	29	7F	2018	0	C	TS	1
101	436	29	7F	2018	0	C	TS	1
102	436	29	7F	2018	0	C	TS	1
103	436	29	7F	2018	0	C	TS	1
104	436	29	7F	2018	0	C	TS	1
105	436	29	7F	2018	0	C	TS	1
106	436	29	7F	2018	0	C	TS	1
107	436	29	7F	2018	0	C	TS	1
108	436	29	7F	2018	0	C	TS	1
109	436	29	7F	2018	0	C	TS	1
110	436	29	7F	2018	0	C	TS	1
111	436	29	7F	2018	0	C	TS	1
112	436	29	7F	2018	0	C	TS	1
113	436	29	7F	2018	0	C	TS	1
114	436	29	7F	2018	0	C	TS	1
115	436	29	7F	2018	0	C	TS	1
116	436	29	7F	2018	1	C	TS	1
117	436	29	7F	2018	1	C	TS	1
118	436	29	7F	2018	1	C	TS	1
119	436	29	7F	2018	1	C	TS	1
120	436	29	7F	2018	1	C	TS	1
121	436	29	7F	2018	1	C	TS	1
122	436	29	7F	2018	1	C	TS	1
123	436	29	7F	2018	1	C	TS	1
124	436	29	7F	2018	1	C	TS	1
125	436	29	7F	2018	1	C	TS	1
126	436	29	7F	2018	1	C	TS	1
127	436	29	7F	2018	1	C	TS	1
128	436	29	7F	2018	1	C	TS	1
129	436	29	7F	2018	0	C	TS	1
130	436	29	7F	2018	7	C	ANF	1
131	436	29	7F	2018	7	C	ANF	1
132	436	29	7F	2018	7	C	ANF	1
133	436	29	7F	2018	7	C	ANF	1
134	436	29	7F	2018	7	C	ANF	1
135	436	29	7F	2018	7	C	ANF	1

136	436	29	7F	2018	7	C	ANF	1
137	436	29	7F	2018	7	C	ANF	1
138	436	29	7F	2018	7	C	ANF	1
139	436	29	7F	2018	7	C	ANF	1
140	436	29	7F	2018	7	C	ANF	1
141	436	29	7F	2018	7	C	ANF	1
142	436	29	7F	2018	7	C	ANF	1
143	436	29	7F	2018	7	C	ANF	1
144	436	29	7F	2018	7	C	ANF	1
145	436	29	7F	2018	7	C	ANF	1
146	436	29	7F	2018	7	C	ANF	1
147	436	29	7F	2018	7	C	ANF	1
148	436	29	7F	2018	7	C	ANF	1
149	436	29	7F	2018	7	C	ANF	1
150	436	29	7F	2018	7	C	ANF	1
151	436	29	7F	2018	7	C	ANF	1
152	436	29	7F	2018	7	C	ANF	1
153	436	29	7F	2018	7	C	ANF	1
154	436	29	7F	2018	7	C	ANF	1
155	436	29	7F	2018	7	C	ANF	1
156	436	29	7F	2018	7	C	ANF	1
157	436	29	7F	2018	0	C	DO	1
158	436	29	7F	2018	1	C	BN	1
159	436	29	7F	2018	0	C	CM	125
160	436	29	7F	2018	1	C	LUC	1
161	436	29	7F	2018	7	C	LUC	1
162	436	29	7F	2018	1	C	ANF	1
163	436	29	7F	2018	1	C	ANF	1
164	436	29	7F	2018	1	C	ANF	1
165	436	29	7F	2018	1	C	ANF	1
166	436	29	7F	2018	1	C	ANF	1
167	436	29	7F	2018	1	C	ANF	1
168	436	29	7F	2018	1	C	ANF	1
169	436	29	7F	2018	1	C	ANF	1
170	436	29	7F	2018	1	C	ANF	1
171	436	29	7F	2018	1	C	ANF	1
172	436	29	7F	2018	1	C	ANF	1
173	436	29	7F	2018	1	C	ANF	1
174	436	29	7F	2018	1	C	ANF	1
175	436	29	7F	2018	1	C	ANF	1
176	436	29	7F	2018	1	C	ANF	1
177	436	29	7F	2018	1	C	ANF	1
178	436	29	7F	2018	1	C	ANF	1
179	436	29	7F	2018	1	C	ANF	1
180	436	29	7F	2018	0	C	CC	27
181	436	29	7F	2018	4	C	ANF	1

182	436	29	7F	2018	4	C	ANF	1
183	436	29	7F	2018	4	C	ANF	1
184	436	29	7F	2018	4	C	ANF	1
185	436	29	7F	2018	4	C	ANF	1
186	436	29	7F	2018	4	C	ANF	1
187	436	29	7F	2018	4	C	ANF	1
188	436	29	7F	2018	4	C	ANF	1
189	436	29	7F	2018	4	C	ANF	1
190	436	29	7F	2018	4	C	ANF	1
191	436	29	7F	2018	4	C	ANF	1
192	436	29	7F	2018	4	C	ANF	1
193	436	29	7F	2018	4	C	ANF	1
194	436	29	7F	2018	4	C	ANF	1
195	436	29	7F	2018	4	C	ANF	1
196	436	29	7F	2018	4	C	ANF	1
197	436	29	7F	2018	4	C	ANF	1
198	436	29	7F	2018	4	C	ANF	1
199	436	29	7F	2018		CO	MARMOL	1
200	436	29	7F	2018	7	C	ANF	1
201	436	29	7F	2018	1	C	CC	1
202	436	29	7F	2018	1	C	CC	1
203	436	29	7F	2018	1	C	CC	1
204	436	29	7F	2018	1	C	CC	1
205	436	29	7F	2018	1	C	CC	1
206	436	29	7F	2018	1	C	CC	1
207	436	29	7F	2018	1	C	CC	1
208	436	29	7F	2018	1	C	CC	1
209	436	29	7F	2018	1	C	CC	1
210	436	29	7F	2018	1	C	CC	1
211	436	29	7F	2018	1	C	CC	1
212	436	29	7F	2018	7	C	CC	1
213	436	29	7F	2018	7	C	CC	1
214	436	29	7F	2018	4	C	CC	1
215	436	29	7F	2018	8	C	CC	1
216	436	29	7F	2018		F	FVMA	1
217	436	29	7F	2018		F	FVMA	7
218	436	29	7F	2018		F	FA	182
219	436	29	7F	2018		L	LHI	8
220	436	29	7F	2018		L	LHI	3
221	436	29	7F	2018		L	LHI	1
222	436	29	7F	2018		C	MORTERO	1
223	436	29	7F	2018		CO	MARMOL	1
224	436	29	7F	2018	0	C	CCA	69
225	436	29	7F	2018	0	C	PF	1
226	436	29	7F	2018	1	C	CCA	1
227	436	29	7F	2018	1	C	CCA	1

228	436	29	7F	2018	1	C	CCA	1
229	436	29	7F	2018	1	C	CCA	1
230	436	29	7F	2018	1	C	CCA	1
231	436	29	7F	2018	1	C	CCA	1
232	436	29	7F	2018	1	C	CCA	1
233	436	29	7F	2018	0	VD	VI	18
234	436	29	7F	2018	1	VD	VI	1
235	436	29	7F	2018	0	C	PT	1
236	436	29	7F	2018	1	C	PT	1
237	436	29	7F	2018		HT		3
238	436	29	7F	2018		C	CLCOCTILE	2
239	436	29	7F	2018	7	C	ANF	1
240	436	29	7F	2018		CO		1
241	436	29	7F	2018		CO	EST	14
242	436	29	7F	2018		CO	MARMOL	1
243	436	29	7F	2018		D	LOSA	1
1	437		7F	2018	0	C	PT	1
2	437		7F	2018	0	C	PT	1
3	437		7F	2018	0	C	PT	1
4	437		7F	2018	0	C	PT	1
5	437		7F	2018	0	C	PT	1
6	437		7F	2018	0	C	PT	1
7	437		7F	2018	0	C	PT	1
8	437		7F	2018	0	C	PT	1
9	437		7F	2018	4	C	BN	1
10	437		7F	2018	4	C	BN	1
11	437		7F	2018	1	C	RP	1
12	437		7F	2018	1	C	TS	1
13	437		7F	2018	1	C	TS	1
14	437		7F	2018	4	C	TS	1
15	437		7F	2018	4	C	TS	1
16	437		7F	2018	0	C	TS	1
17	437		7F	2018	0	C	TS	1
18	437		7F	2018	0	C	TS	1
19	437		7F	2018	0	C	TS	1
20	437		7F	2018	0	C	TS	1
21	437		7F	2018	0	C	TS	1
22	437		7F	2018	0	C	TS	1
23	437		7F	2018	0	C	TS	1
24	437		7F	2018	0	C	TS	1
25	437		7F	2018	0	C	TS	1
26	437		7F	2018	0	C	TS	1
27	437		7F	2018	1	C	LUC	1
28	437		7F	2018	1	C	LUC	1
29	437		7F	2018	0	C	ANF	11
30	437		7F	2018	1	C	CCA	1

31	437		7F	2018	1	C	CCA	1
32	437		7F	2018	1	C	CCA	1
33	437		7F	2018	1	C	CCA	1
34	437		7F	2018	1	C	CCA	1
35	437		7F	2018	1	C	CCA	1
36	437		7F	2018	0	C	CCA	6
37	437		7F	2018	1	C	CC	1
38	437		7F	2018	1	C	CC	1
39	437		7F	2018	1	C	CC	1
40	437		7F	2018	1	C	CC	1
41	437		7F	2018	4	C	CC	1
42	437		7F	2018	0	C	CC	12
43	437		7F	2018	1	C	CM	1
44	437		7F	2018	1	C	CM	1
45	437		7F	2018	1	C	CM	1
46	437		7F	2018	1	C	CM	1
47	437		7F	2018	1	C	CM	1
48	437		7F	2018	1	C	CM	1
49	437		7F	2018	1	C	CM	1
50	437		7F	2018	7	C	CM	1
51	437		7F	2018	4	C	CM	1
52	437		7F	2018	4	C	CM	1
53	437		7F	2018	0	C	CM	78
54	437		7F	2018		VD	VI	9
55	437		7F	2018		F	FA	63
56	437		7F	2018		L	LHI	1
57	437		7F	2018		L	LPL	4
58	437		7F	2018		F	FVMA	1
59	437		7F	2018		F	FVMA	1
60	437		7F	2018	4	C	BN	1
61	437		7F	2018	1	C	CM	1
62	437		7F	2018	0	C	CM	27
63	437		7F	2018	1	C	PT	1
64	437		7F	2018	0	C	PT	1
65	437		7F	2018	0	C	PT	1
66	437		7F	2018	0	C	PT	1
67	437		7F	2018	4	C	TS	1
68	437		7F	2018	0	C	LUC	1
69	437		7F	2018		F	FA	3
70	437		7F	2018		L	LHI	2
71	437		7F	2018		D	PONDUS	1
72	437		7F	2018		L	SI	1
1	442	5	7F	2018	1	C	PT	1
2	442	5	7F	2018	1	C	PT	1
3	442	5	7F	2018	1	C	PT	1
4	442	5	7F	2018	0	C	PT	1

5	442	5	7F	2018	0	C	PT	1
6	442	5	7F	2018	0	C	PT	1
7	442	5	7F	2018	0	C	PT	1
8	442	5	7F	2018	0	C	PT	1
9	442	5	7F	2018	0	C	PT	1
10	442	5	7F	2018	0	C	PT	1
11	442	5	7F	2018	0	C	PT	1
12	442	5	7F	2018	0	C	PT	1
13	442	5	7F	2018	0	C	PT	1
14	442	5	7F	2018	0	C	PT	1
15	442	5	7F	2018	0	C	PT	1
16	442	5	7F	2018	1	C	PF	1
17	442	5	7F	2018	0	C	PF	1
18	442	5	7F	2018	0	C	PF	1
19	442	5	7F	2018	0	C	PF	1
20	442	5	7F	2018	1	C	BN	1
21	442	5	7F	2018	1	C	BN	1
22	442	5	7F	2018	0	C	ANF	13
23	442	5	7F	2018	1	C	CC	1
24	442	5	7F	2018	1	C	CC	1
25	442	5	7F	2018	0	C	CC	28
26	442	5	7F	2018		C	CM	1
27	442	5	7F	2018	4	C	CM	1
28	442	5	7F	2018	0	C	CM	110
29	442	5	7F	2018	1	C	PT	1
30	442	5	7F	2018	0	C	PT	1
31	442	5	7F	2018	0	C	PT	1
32	442	5	7F	2018		F	FVMA	12
33	442	5	7F	2018		F	FVMA	2
34	442	5	7F	2018		L	LPL	1
35	442	5	7F	2018		F	FA	9
1	444	5	7F	2018	1	C	PF	1
2	444	5	7F	2018	0	C	PF	2
3	444	5	7F	2018	0	C	BN	1
4	444	5	7F	2018	0	C	TS	2
5	444	5	7F	2018	1	C	LUC	1
6	444	5	7F	2018	1	C	PT	1
7	444	5	7F	2018	1	C	PT	1
8	444	5	7F	2018	1	C	PT	1
9	444	5	7F	2018	4	C	PT	1
10	444	5	7F	2018	4	C	PT	1
11	444	5	7F	2018	0	C	PT	1
12	444	5	7F	2018	0	C	PT	1
13	444	5	7F	2018	0	C	PT	1
14	444	5	7F	2018	0	C	PT	1
15	444	5	7F	2018	0	C	PT	1

16	444	5	7F	2018	0	C	PT	1
17	444	5	7F	2018	0	C	PT	1
18	444	5	7F	2018	0	C	PT	1
19	444	5	7F	2018	0	C	PT	1
20	444	5	7F	2018	0	C	PT	1
21	444	5	7F	2018	0	C	PT	1
22	444	5	7F	2018	0	C	PT	1
23	444	5	7F	2018	0	C	PT	1
24	444	5	7F	2018	0	C	PT	1
25	444	5	7F	2018	0	C	PT	1
26	444	5	7F	2018	0	C	PT	1
27	444	5	7F	2018	0	C	PT	1
28	444	5	7F	2018	0	C	PT	1
29	444	5	7F	2018	0	C	PT	1
30	444	5	7F	2018	0	C	PT	1
31	444	5	7F	2018	0	C	PT	1
32	444	5	7F	2018	0	C	PT	1
33	444	5	7F	2018	0	C	PT	1
34	444	5	7F	2018	1	C	CM	1
35	444	5	7F	2018	1	C	CM	1
36	444	5	7F	2018	1	C	CM	1
37	444	5	7F	2018	0	C	CM	73
38	444	5	7F	2018	1	C	CC	1
39	444	5	7F	2018	0	C	CC	4
40	444	5	7F	2018		L	LHI	2
41	444	5	7F	2018		L	LHI	3
42	444	5	7F	2018		F	FVMA	7
43	444	5	7F	2018		F	FA	13
44	444	5	7F	2018	0	C	ANF	6
1	446	5	7F	2018	7	C	ANF	1
2	446	5	7F	2018	0	C	ANF	2
3	446	5	7F	2018	0	C	PT	1
4	446	5	7F	2018		F	FVMA	13
1	447	11	7F	2018	0	C	ANF	19
2	447	11	7F	2018	0	C	DO	7
3	447	11	7F	2018	1	C	CM	1
4	447	11	7F	2018	1	C	CM	1
5	447	11	7F	2018	1	C	CM	1
6	447	11	7F	2018	1	C	CM	1
7	447	11	7F	2018	7	C	CM	1
8	447	11	7F	2018	0	C	CM	184
9	447	11	7F	2018	1	C	CM	30
10	447	11	7F	2018		CO		1
11	447	11	7F	2018	4	C	TS	1
12	447	11	7F	2018	0	C	TS	1
13	447	11	7F	2018	7	C	CC	1

14	447	11	7F	2018	0	C	CC	1
15	447	11	7F	2018	0	C	PT	1
16	447	11	7F	2018	0	C	PT	1
17	447	11	7F	2018	0	C	PT	1
18	447	11	7F	2018	0	C	PT	1
19	447	11	7F	2018	0	C	PT	1
20	447	11	7F	2018	0	C	PT	1
21	447	11	7F	2018	0	C	PT	1
22	447	11	7F	2018	0	C	PT	1
23	447	11	7F	2018	0	C	PT	1
24	447	11	7F	2018	0	C	PT	1
25	447	11	7F	2018	0	C	PT	1
26	447	11	7F	2018	0	C	PT	1
27	447	11	7F	2018	0	C	PT	1
28	447	11	7F	2018	0	C	PT	1
29	447	11	7F	2018	0	C	PT	1
30	447	11	7F	2018	0	C	PT	1
31	447	11	7F	2018	0	C	PT	1
32	447	11	7F	2018	0	C	PT	1
33	447	11	7F	2018	0	C	PT	1
34	447	11	7F	2018	0	C	PT	1
35	447	11	7F	2018	0	C	PT	1
36	447	11	7F	2018	0	C	PT	1
37	447	11	7F	2018	0	C	PT	1
38	447	11	7F	2018	0	C	PT	1
39	447	11	7F	2018	0	C	PT	1
40	447	11	7F	2018	0	C	PT	1
41	447	11	7F	2018	0	C	PT	1
42	447	11	7F	2018	0	C	PT	1
43	447	11	7F	2018	0	C	PT	1
44	447	11	7F	2018	0	C	PT	1
45	447	11	7F	2018	0	C	PT	1
46	447	11	7F	2018	0	C	PT	1
47	447	11	7F	2018	0	C	PT	1
48	447	11	7F	2018	0	C	PT	1
49	447	11	7F	2018	0	C	PT	1
50	447	11	7F	2018	0	C	PT	1
51	447	11	7F	2018	0	C	PT	1
52	447	11	7F	2018	0	C	PT	1
53	447	11	7F	2018	0	C	PT	1
54	447	11	7F	2018	0	C	PT	1
55	447	11	7F	2018	0	C	PT	1
56	447	11	7F	2018		F	FA	1
57	447	11	7F	2018		-	-	
58	447	11	7F	2018		L	LHI	1
59	447	11	7F	2018		L	LPL	1

60	447	11	7F	2018		CO	EST	1
61	447	11	7F	2018	1	C	BN	1
62	447	11	7F	2018	4	C	BN	1
63	447	11	7F	2018	0	C	BN	1
64	447	11	7F	2018	4	C	CCA	1
65	447	11	7F	2018	0	C	CCA	1
1	448		7F	2018	1	C	CM	1
2	448		7F	2018	7	C	CM	1
3	448		7F	2018	0	C	CM	9
4	448		7F	2018	1	C	BN	1
5	448		7F	2018	0	C	BN	1
6	448		7F	2018	0	C	PT	1
7	448		7F	2018	0	C	PT	1
8	448		7F	2018	0	C	PT	1
9	448		7F	2018	0	C	PT	1
10	448		7F	2018		L	LPL	4
1	449	11	7F	2018	0	C	ANF	1
2	449	11	7F	2018	1	C	CM	1
3	449	11	7F	2018	0	C	CM	10
4	449	11	7F	2018	0	C	PT	1
5	449	11	7F	2018	0	C	PT	1
6	449	11	7F	2018	0	C	BN	1
7	449	11	7F	2018	1	C	TS	1
8	449	11	7F	2018	1	C	TS	1
9	449	11	7F	2018	4	C	TS	1
10	449	11	7F	2018	4	C	TS	1
11	449	11	7F	2018	1	C	CCA	1
12	449	11	7F	2018	0	C	CCA	1
13	449	11	7F	2018	4	C	TARD	1
14	449	11	7F	2018	1	C	CC	1
15	449	11	7F	2018	0	C	CC	1
16	449	11	7F	2018	0	C	PF	2
17	449	11	7F	2018	0	C	LUC	1
18	449	11	7F	2018		F	FA	9
19	449	11	7F	2018		F	FVMA	1
20	449	11	7F	2018	4	VD	VI	1
21	449	11	7F	2018	1	VD	VI	1
22	449	11	7F	2018	9	VD	VI	2
1	450		7F	2018	7	C	ANF	1
2	450		7F	2018	7	C	ANF	1
3	450		7F	2018	0	C	ANF	7
4	450		7F	2018	1	C	PT	1
5	450		7F	2018	0	C	PT	1
6	450		7F	2018	0	C	PT	1
7	450		7F	2018	0	C	PT	1
8	450		7F	2018	0	C	PT	1

9	450		7F	2018	0	C	PT	1
10	450		7F	2018	0	C	PT	1
11	450		7F	2018	0	C	PT	1
12	450		7F	2018	0	C	PT	1
13	450		7F	2018	0	C	PT	1
14	450		7F	2018	0	C	PT	1
15	450		7F	2018	0	C	PT	1
16	450		7F	2018	0	C	PT	1
17	450		7F	2018	0	C	PT	1
18	450		7F	2018	0	C	PT	1
19	450		7F	2018	0	C	BN	1
20	450		7F	2018	0	C	BN	1
21	450		7F	2018	0	C	BN	1
22	450		7F	2018	0	C	BN	1
23	450		7F	2018	0	C	BN	1
24	450		7F	2018	0	C	RP	1
25	450		7F	2018	4	C	PF	1
26	450		7F	2018	0	C	PF	1
27	450		7F	2018	1	C	CM	1
28	450		7F	2018	1	C	CM	1
29	450		7F	2018	1	C	CM	1
30	450		7F	2018	7	C	CM	1
31	450		7F	2018	4	C	CM	1
32	450		7F	2018	4	C	CM	1
33	450		7F	2018	0	C	CM	38
34	450		7F	2018	1	C	CC	1
35	450		7F	2018	1	C	CC	1
36	450		7F	2018		L	LPL	6
37	450		7F	2018		L	LHI	1
38	450		7F	2018		F	FA	9
1	451	11W	7F	2018	0	C	ANF	6
2	451	11W	7F	2018	1	C	PT	1
3	451	11W	7F	2018	1	C	PT	1
4	451	11W	7F	2018	0	C	PT	1
5	451	11W	7F	2018	0	C	PT	1
6	451	11W	7F	2018	0	C	PT	1
7	451	11W	7F	2018	0	C	PT	1
8	451	11W	7F	2018	0	C	PT	1
9	451	11W	7F	2018	0	C	PT	1
10	451	11W	7F	2018	0	C	PT	1
11	451	11W	7F	2018	0	C	PT	1
12	451	11W	7F	2018	0	C	PT	1
13	451	11W	7F	2018	0	C	PT	1
14	451	11W	7F	2018	0	C	PT	1
15	451	11W	7F	2018	0	C	PT	1
16	451	11W	7F	2018	0	C	PT	1

17	451	11W	7F	2018	0	C	PT	1
18	451	11W	7F	2018	0	C	PT	1
19	451	11W	7F	2018	0	C	PT	1
20	451	11W	7F	2018	0	C	PT	1
21	451	11W	7F	2018	0	C	PT	1
22	451	11W	7F	2018	0	C	PT	1
23	451	11W	7F	2018	0	C	PT	1
24	451	11W	7F	2018	0	C	PT	1
25	451	11W	7F	2018	0	C	PT	1
26	451	11W	7F	2018	0	C	PT	1
27	451	11W	7F	2018	0	C	PT	1
28	451	11W	7F	2018	0	C	PT	1
29	451	11W	7F	2018	0	C	PT	1
30	451	11W	7F	2018	0	C	PT	1
31	451	11W	7F	2018	1	C	PF	1
32	451	11W	7F	2018	0	C	PF	3
33	451	11W	7F	2018	1	C	BN	1
34	451	11W	7F	2018	4	C	BN	1
35	451	11W	7F	2018	0	C	BN	2
36	451	11W	7F	2018	1	C	CM	1
37	451	11W	7F	2018	1	C	CM	1
38	451	11W	7F	2018	1	C	CM	1
39	451	11W	7F	2018	1	C	CM	1
40	451	11W	7F	2018	1	C	CM	1
41	451	11W	7F	2018	1	C	CM	1
42	451	11W	7F	2018	8	C	CM	1
43	451	11W	7F	2018	8	C	CM	1
44	451	11W	7F	2018	4	C	CM	1
45	451	11W	7F	2018	4	C	CM	1
46	451	11W	7F	2018	0	C	CM	53
47	451	11W	7F	2018	0	C	CC	5
48	451	11W	7F	2018	0	C	CCA	5
49	451	11W	7F	2018		F	FA	10
50	451	11W	7F	2018		F	FVMA	1
51	451	11W	7F	2018		VD	VI	1
52	451	11W	7F	2018		L	LHI	1
53	451	11W	7F	2018		L	LPL	18
54	451	11W	7F	2018	1	C	PF	1
1	453	11	7F	2018	0	C	ANF	17
2	453	11	7F	2018	1	C	CM	1
3	453	11	7F	2018	1	C	CM	1
4	453	11	7F	2018	1	C	CM	1
5	453	11	7F	2018	1	C	CM	1
6	453	11	7F	2018	1	C	CM	1
7	453	11	7F	2018	1	C	CM	1
8	453	11	7F	2018	1	C	CM	1

9	453	11	7F	2018	1	C	CM	1
10	453	11	7F	2018	1	C	CM	1
11	453	11	7F	2018	1	C	CM	1
12	453	11	7F	2018	7	C	CM	1
13	453	11	7F	2018	4	C	CM	1
14	453	11	7F	2018	4	C	CM	1
15	453	11	7F	2018	4	C	CM	1
16	453	11	7F	2018	4	C	CM	1
17	453	11	7F	2018	4	C	CM	1
18	453	11	7F	2018	0	C	CM	53
19	453	11	7F	2018	1	C	PF	1
20	453	11	7F	2018	1	C	PF	1
21	453	11	7F	2018	1	C	PF	1
22	453	11	7F	2018	1	C	PF	1
23	453	11	7F	2018	1	C	PF	1
24	453	11	7F	2018	0	C	PF	7
25	453	11	7F	2018	4	C	PF	1
26	453	11	7F	2018	0	C	BN	1
27	453	11	7F	2018	0	C	BN	1
28	453	11	7F	2018	0	C	BN	1
29	453	11	7F	2018	0	C	BN	1
30	453	11	7F	2018	0	C	BN	1
31	453	11	7F	2018	0	C	BN	1
32	453	11	7F	2018	0	C	CC	9
33	453	11	7F	2018	0	C	RP	2
34	453	11	7F	2018		L	LHI	6
35	453	11	7F	2018	1	C	PT	1
36	453	11	7F	2018	7	C	PT	1
37	453	11	7F	2018	0	C	PT	1
38	453	11	7F	2018	0	C	PT	1
39	453	11	7F	2018	0	C	PT	1
40	453	11	7F	2018	0	C	PT	1
41	453	11	7F	2018	0	C	PT	1
42	453	11	7F	2018	0	C	PT	1
43	453	11	7F	2018	0	C	PT	1
44	453	11	7F	2018	0	C	PT	1
45	453	11	7F	2018	0	C	PT	1
46	453	11	7F	2018	0	C	PT	1
47	453	11	7F	2018	0	C	PT	1
48	453	11	7F	2018	0	C	PT	1
49	453	11	7F	2018	0	C	PT	1
50	453	11	7F	2018	0	C	PT	1
51	453	11	7F	2018	0	C	PT	1
52	453	11	7F	2018	0	C	PT	1
53	453	11	7F	2018	0	C	PT	1
54	453	11	7F	2018	0	C	PT	1

55	453	11	7F	2018	0	C	PT	1
56	453	11	7F	2018	0	C	PT	1
57	453	11	7F	2018	0	C	PT	1
58	453	11	7F	2018	0	C	PT	1
59	453	11	7F	2018	0	C	PT	1
60	453	11	7F	2018	0	C	PT	1
61	453	11	7F	2018	0	C	PT	1
62	453	11	7F	2018	0	C	PT	1
63	453	11	7F	2018	0	C	PT	1
64	453	11	7F	2018	0	C	PT	1
65	453	11	7F	2018	0	C	PT	1
66	453	11	7F	2018	0	C	PT	1
67	453	11	7F	2018	0	C	PT	1
68	453	11	7F	2018	0	C	PT	1
69	453	11	7F	2018	0	C	PT	1
70	453	11	7F	2018	0	C	PT	1
71	453	11	7F	2018	0	C	PT	1
72	453	11	7F	2018	0	C	PT	1
73	453	11	7F	2018	0	C	PT	1
74	453	11	7F	2018	0	C	PT	1
75	453	11	7F	2018	0	C	PT	1
76	453	11	7F	2018		F	FA	11
1	455	5	7F	2018	0	C	TS	1
2	455	5	7F	2018	0	C	TS	1
3	455	5	7F	2018	1	C	BN	1
4	455	5	7F	2018	1	C	BN	1
5	455	5	7F	2018	1	C	PF	1
6	455	5	7F	2018	4	C	PF	1
7	455	5	7F	2018	0	C	PF	1
8	455	5	7F	2018	0	C	PF	1
9	455	5	7F	2018	1	C	RP	1
10	455	5	7F	2018	7	C	PT	1
11	455	5	7F	2018	4	C	PT	1
12	455	5	7F	2018	0	C	PT	1
13	455	5	7F	2018	0	C	PT	1
14	455	5	7F	2018	0	C	PT	1
15	455	5	7F	2018	0	C	PT	1
16	455	5	7F	2018	0	C	PT	1
17	455	5	7F	2018	0	C	PT	1
18	455	5	7F	2018	0	C	PT	1
19	455	5	7F	2018	4	C	RP	1
20	455	5	7F	2018	0	C	CM	24
21	455	5	7F	2018	8	C	C,	1
22	455	5	7F	2018	0	C	CGC	1
23	455	5	7F	2018		C	ANF	1
24	455	5	7F	2018	0	C	ANF	10

25	455	5	7F	2018		D	SI	1
26	455	5	7F	2018		F	FVMA	3
1	459	11W	7F	2018	0	C	ANF	9
2	459	11W	7F	2018	7	C	ANF	1
3	459	11W	7F	2018	0	C	CM	21
4	459	11W	7F	2018	1	C	CM	1
5	459	11W	7F	2018	4	C	CM	1
6	459	11W	7F	2018	0	C	PT	1
7	459	11W	7F	2018	0	C	PT	1
8	459	11W	7F	2018	1	C	PT	1
9	459	11W	7F	2018	4	C	BN	1
10	459	11W	7F	2018	1	C	RP	1
11	459	11W	7F	2018	0	C	CC	4
12	459	11W	7F	2018	1	C	CC	1
13	459	11W	7F	2018	7	C	CC	1
14	459	11W	7F	2018	0	C	CC	1
15	459	11W	7F	2018	0	C	CCA	5
16	459	11W	7F	2018	1	C	CCA	1
17	459	11W	7F	2018	1	C	CCA	1
18	459	11W	7F	2018	4	C	CCA	1
19	459	11W	7F	2018	0	C	TS	1
20	459	11W	7F	2018	0	C	TS	1
21	459	11W	7F	2018	0	C	TS	1
22	459	11W	7F	2018	0	C	TS	1
23	459	11W	7F	2018	0	C	TS	1
24	459	11W	7F	2018	0	C	TS	1
25	459	11W	7F	2018	1	VD	VI	1
26	459	11W	7F	2018		CO	EST	1
27	459	11W	7F	2018		CO	EST	1
28	459	11W	7F	2018		F	FA	1
244	436	29	7F	2018	0	C	TARD	4
245	436	29	7F	2018	1-3	C	TARD	5
246	436	29	7F	2018	0	C	TARD	13
247	436	29	7F	2018	1-3	C	TARD	6
248	436	29	7F	2018	0	C	TARD	7
249	436	29	7F	2018	1-4	C	TARD	12
29	397	29	7F	2018	1-3	C	TARD	4

Listado de cajas depositadas en el museo de la fundación de L'Alcúdia

Nº Caja	Campaña	Ambiente	UUEE
52	2018	29	416
53	2018	29	436
54	2018		1
55	2018	29	372
56	2018	29	436
57	2018	29	436, 126, 128, 369, 365, 435
58	2018	29	346
59	2018	29	56
60	2018	29	371
61	2018	29	370, 72
62	2018	29	346, 397
63	2018	29	435, 351, 126, 143
64	2018	29	436 (sigillata)
65	2018	29	436
66	2018	29	72
67	2018	30	325, 367
68	2018	29 y 35	369, 128, 353 (malacofauna)
69	2018	11	380, 381
70	2018		397
71	2018		1
72	2018	29	436
73	2018	29	436
74	2018	24	346, 355
75	2018	29	397
76	2018	13	311, 404, 213, 313, 122
77	2018	12-3 y 13	1, 313, 1
78	2018	11w/11	459, 438, 406, 386, 368, 328, 169
79	2018	11	183, 17, 120, 79, 437, 390, 449
80	2018	29	365
81	2018	11	384, 365, 361, 450
82	2018	11	310, 1
83	2018	30	319, 335, 333, 254, 341
84	2018	11	453, 219, 451, 408, 166, 362, 448, 382
85	2018	11	437, 362, 447, 166
86	2018	5	467, 364
87	2018	5	354, 415, 442, 407, 185, 1
88	2018		455, 221, 336
89	2018	28	14, 99
90	2018		1
91	2018	29	356
92	2018	5	353
93	2018	5	315

94	2018	5	208, 185, 307, 305, 304, 316, 233, 352, 446, 444, 383, 207, 359, 179
95	2018	12 y 13	
96	2018	29	436
97	2018	29	397, 435, 344, 346, 351, 143
98	2018	11w	Material seleccionado (estudiar)
99	2018	24	344
100	2018	12	310, 302, 318
101	2018	29	314
102	2018	29	436
103	2018	29	53
104	2018	29	436-2, MOSAICO
105	2017	29	436-4, COCTILE
106	2018	29	436-1, ENLUCIDO PINTADO
107	2018	29	436-3, MOSAICO
108	2018	29	356-1, LATERICIO
109	2019	29	456-4-8-9, 42-52, 436-8, 436-5, 436-7, 436-9, 436-6
110	2019	29	436
111	2019	29	436
112	2019	29	436
113	2019	29	436
114	2019	29	436
115	2019	29	436
116	2019	29	436
117	2019	29	436
118	2019	29	436
119	2019	29	436
120	2019	29	456-1-41, 55-74
121	2019	29	436-3, 342-6, 2
122	2018	29	436
123	2018	29	346-2
124	2018	11W	166 (AGUJAS)
125	2018	29	436, ENLUCIDOS MOLDURADOS
126	2018	12	ESQUELETO DE ANIMAL

Acta de depósito del museo



copia1/2 depositario

ACTA DE INGRESO DE MATERIALES

En Elche/Elx a 4 de ABRIL de 2019

En el Museo Monográfico L'Alcúdia, sito en Pda. Alzabares Bajo, pol. 1, 138, 03290 de Elche, reunidos, en la fecha arriba indicada, de una parte D. Jaime Molina Vidal con DNI nº 21.474.593-E, en representación de la intervención arqueológica Proyecto Astero y el subdirector del Museo de L'Alcúdia D. Alejandro Ramos Molina, con DNI 21.995.523-W, entregan y reciben, respectivamente, los materiales arqueológicos recuperados en ella, que se relacionan e inventarían en el anexo único que se adjunta a este acta.

DECLARAN:

PRIMERO.- La Dirección Territorial de Cultura i Esports d'Alacant es el órgano competente en materia de patrimonio cultural, según lo dispuesto en la Ley 4/98 de 11 de Junio de Patrimonio Cultural Valenciano, concedió permiso de excavación con el expediente nº 2016/0790-A (SS.TT.: A-2004-055), en el yacimiento de L'Alcúdia a D. Jaime Molina Vidal con DNI 21.474.593-E, D. Francisco Javier Muñoz Ojeda con DNI 52.764.257-A y D. Juan Francisco Álvarez Tortora con DNI 48.320.267-G, y cuyas fechas de desarrollo de la intervención arqueológica han sido desde el 17 de marzo hasta el 15 de abril de 2017.

SEGUNDO.- En el mencionado permiso de intervención arqueológica, atendiendo al artículo 64.2 de la ley de Patrimonio Cultural Valenciano, se estimaba oportuno que una vez finalizada la actuación los materiales arqueológicos fruto de los trabajos se depositaran en el Museo de L'Alcúdia.

TERCERO.- El Museo Monográfico L'Alcúdia es una institución integrada en el Sistema de Museos de la Comunitat Valenciana, y está dedicado a la conservación del patrimonio arqueológico del propio yacimiento de L'Alcúdia.

CUARTO.- La Generalitat Valenciana ostenta la titularidad de los materiales que se entregan, de acuerdo con lo dispuesto Decreto 107/2017 Reglamento de regulación de las actuaciones arqueológicas en la Comunidad Valenciana, que regula las actuaciones arqueológicas en la Comunidad Valenciana y la custodia, traslado, entrega y depósito, investigación, difusión y restauración de los materiales de naturaleza arqueológica.

Àrees de Arqueologia y Catalogación
Fundación Universitaria L'Alcúdia
Tel. 96 661 1506- 647798939
Pda. Alzabares Bajo, Pol. 1, nº 138, 03290,
Elche
ana.ronda@ua.es; mercedes.tendero@ua.es



copia 1/2 depositario

QUINTO.- Por todo ello, el director de la intervención hace entrega al Museo de los materiales arqueológicos que se relacionan en el anexo adjunto.

La presente acta de entrega de materiales se levanta por duplicado.

Y para que así conste lo firman:

Fdo. D. Jaime Molina Vidal

Fdo. D. Alejandro Ramos Molina.

Áreas de Arqueología y Catalogación
Fundación Universitaria L'Alcúdia
Tel. 96 6611506- 647798939
Pda. Alzabaras Bajo, Pol. 1, nº 138, 03290,
Elche
ana.ronda@ua.es; mercedes.tendero@ua.es